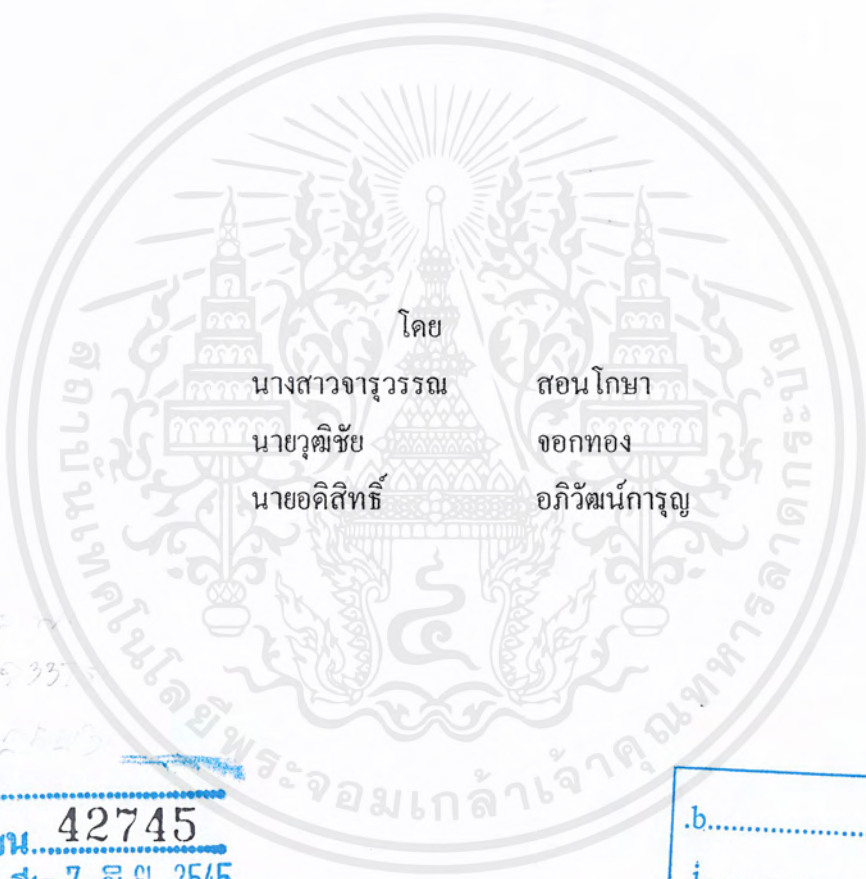


รถสำรวจ

SURVEY VEHICLE



โดย นางสาวจรรุวรรณ สอนโกษา นายวุฒิชัย จอกทอง นายอดิสิทธิ์ อภิวัฒน์การุญ

เลขหมู่..... เลขทะเบียน 42745 วัน, เดือน, ปี- 7 ส.ย. 2545

b..... i.....

ปริญญานิพนธ์นี้เป็นส่วนหนึ่งของการศึกษาคามหลักสูตรปริญญาวิศวกรรมศาสตรบัณฑิต สาขาวิชาอิเล็กทรอนิกส์ สถาบันเทคโนโลยีพระจอมเกล้าเจ้าคุณทหารลาดกระบัง ปีการศึกษา 2543

เอกสารนี้เป็นเอกสารที่สงวนไว้สำหรับการใช้งานเพื่อการศึกษาเท่านั้น ไม่อนุญาตให้นำไปใช้ประโยชน์ด้านการค้า ไม่ว่ากรณีใดๆ ทั้งสิ้น อีกทั้งห้ามมิให้ตัดแปลงเนื้อหาและต้องอ้างอิงถึงเจ้าของเอกสารทุกครั้งที่มีการนำไปใช้ b: 1101 3528

รถสำรวจ


SERVEY VEHICLE

นางสาวจารุวรรณ สอนโกษา 41013245

นายวุฒิชัย จอกทอง 41013266

นายอดิสิทธิ์ อภิวัฒน์การุญ 41013276

รายงานนี้ได้ผ่านการตรวจสอบโดยอาจารย์ที่ปรึกษาแล้ว



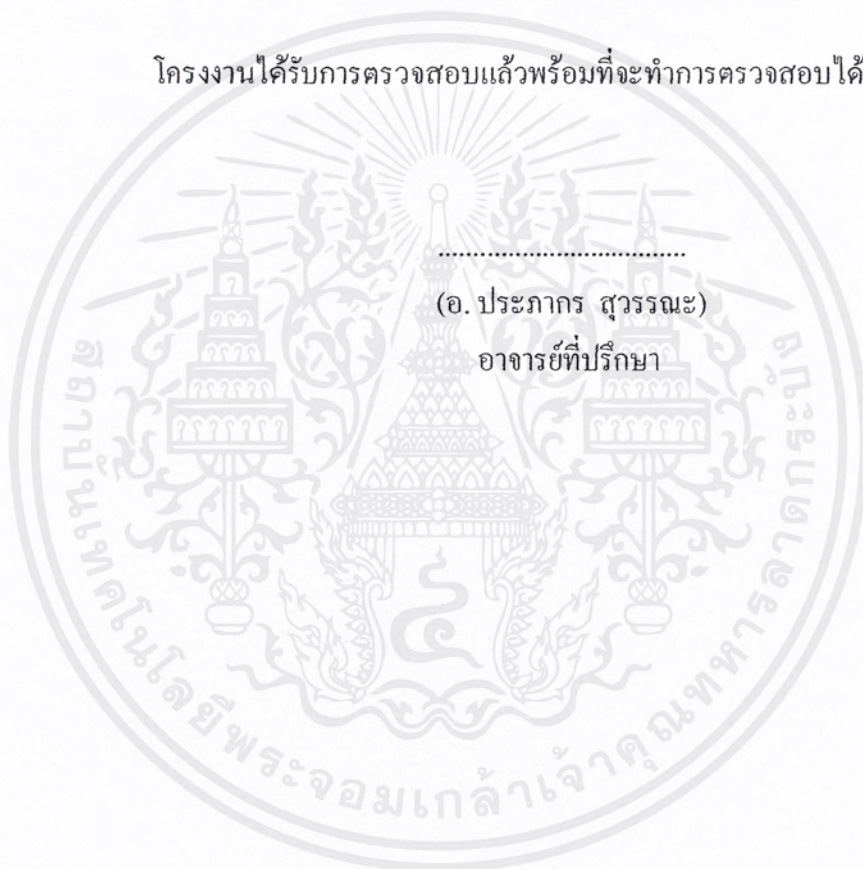
(อ. ประภากร สุวรรณะ)

12 / 4 / 2544

เอกสารนี้เป็นเอกสารที่สงวนไว้สำหรับการใช้งานเพื่อการศึกษาเท่านั้น ไม่อนุญาตให้นำไปใช้ประโยชน์ด้านการค้า
ไม่ว่ากรณีใดๆ ทั้งสิ้น อีกทั้งห้ามมิให้ตัดแปลงเนื้อหาและต้องอ้างอิงถึงเจ้าของเอกสารทุกครั้งที่มีการนำไปใช้

หัวข้อปริญญานิพนธ์	รถสำรวจ		
	SURVEY VEHICLE		
ชื่อนักศึกษา	นางสาวจรรุวรรณ	สอนโกษา	41013245
	นายวุฒิชัย	จอกทอง	41013266
	นายอดิสิทธิ์	อภิวัฒน์การุญ	41013276

โครงการได้รับการตรวจสอบแล้วพร้อมที่จะทำการตรวจสอบได้



เอกสารนี้เป็นเอกสารที่สงวนไว้สำหรับการใช้งานเพื่อการศึกษาเท่านั้น ไม่อนุญาตให้นำไปใช้ประโยชน์ด้านการค้า
ไม่ว่ากรณีใดๆ ทั้งสิ้น อีกทั้งห้ามมิให้ตัดแปลงเนื้อหาและต้องอ้างอิงถึงเจ้าของเอกสารทุกครั้งที่มีการนำไปใช้

กิตติกรรมประกาศ

โครงการนี้เกิดขึ้นไม่ได้ถ้าไม่มีอาจารย์ประภากร สุวรรณะ ที่กรุณาให้คำปรึกษา ถ่ายทอดความรู้และประสบการณ์ ให้เราเป็นอย่างดี จึงขอขอบพระคุณอาจารย์เป็นอย่างสูง รวมถึงกำลังใจจากเพื่อน ๆ ที่คอยให้ความช่วยเหลือ และให้คำแนะนำที่ดีมาโดยตลอด ทำให้โครงการชิ้นนี้สำเร็จลุล่วงไปได้ด้วยดี

.....
นางสาวจรรวณ สอนโกษา

(นางสาวจรรวณ สอนโกษา)

.....
นายวุฒิชัย จอกทอง

(นายวุฒิชัย จอกทอง)

.....
นายอดิสิทธิ์ อภิวัฒน์การุญ

(นายอดิสิทธิ์ อภิวัฒน์การุญ)

ผู้จัดทำ

เอกสารนี้เป็นเอกสารที่สงวนไว้สำหรับการใช้งานเพื่อการศึกษาเท่านั้น ไม่อนุญาตให้นำไปใช้ประโยชน์ด้านการค้าไม่ว่ากรณีใดๆ ทั้งสิ้น อีกทั้งห้ามมิให้ตัดแปลงเนื้อหาและต้องอ้างอิงถึงเจ้าของเอกสารทุกครั้งที่มีการนำไปใช้

รถสำรวจ
SURVEY VEHICLE

นางสาวจรรุวรรณ	สอนโกษา
นายวุฒิชัย	จอกทอง
นายอดิสิทธิ์	อภิวัฒน์การุญ
อาจารย์ประภากร	สุวรรณะ (อาจารย์ที่ปรึกษา)

บทคัดย่อ

ปริญญานิพนธ์ฉบับนี้นำเสนอ การส่งผ่านข้อมูลดิจิทัลผ่านคลื่นวิทยุในย่านความถี่ 46 MHz โดยรหัสควบคุมใช้รหัสแอสกีจากคอมพิวเตอร์ ส่งผ่านออกมาทางพอร์ตอนุกรมด้วย Baud rate 600 bps รหัสควบคุมที่ได้จะนำไปมอดคูเลทแบบ FSK (Frequency shift keying) ก่อนจะส่งออกอากาศไปยังเครื่องรับ

ในส่วนของ FSK มอดคูเลชั่น ได้ใช้เฟสล็อกูปเป็นตัวกำหนดสัญญาณ FSK จากสัญญาณรหัสควบคุมที่รับมาจากคอมพิวเตอร์ แล้วผ่านวงจรกรองความถี่ต่ำผ่านก่อนที่จะนำไปผ่านการมอดคูเลทแบบ Frequency Modulation (FM) และส่งออกอากาศ และในส่วนของ FSK ดิมมอดคูเลชั่น ได้ใช้เฟสล็อกูปร่วมกับวงจรคอมพิวเตอร์ในการดิมมอดคูเลทสัญญาณ FSK จากเครื่องรับกลับมาเป็นสัญญาณรหัสควบคุม เพื่อนำไปควบคุมการเคลื่อนที่ของรถต่อไป

ในส่วนของเครื่องรับใช้ไอซีเครื่องรับ FM เบอร์ MC13135 ในการรับสัญญาณจากสายอากาศแล้วดิมมอดคูเลทสัญญาณ FM ที่รับเข้ามาให้กลับเป็นสัญญาณ FSK ดังเดิม ซึ่งเครื่องรับที่ใช้ความถี่ไอเอฟที่สองเท่ากับ 455 KHz และใช้เฟสล็อกูปเบอร์ MC145166 ในการควบคุมการกำหนดความถี่ของภาคโลคอลลอสซิทัลเตอร์ที่ 1

จากผลการทดลองส่งข้อมูลจากคอมพิวเตอร์แล้วผ่าน FSK มอดคูเลเตอร์ แล้วนำสัญญาณ FSK ที่ได้ส่งตรงไปยัง FSK ดิมมอดคูเลเตอร์ แล้วนำข้อมูลที่ได้ผ่านไปยังไมโครคอนโทรลเลอร์ ซึ่งใช้เป็นมอโมเตอร์ ปรากฏว่าสามารถส่งข้อมูลได้อย่างถูกต้อง และในส่วนของเครื่องรับจากการทดลองป้อนสัญญาณ RF ที่อินพุทของเครื่องรับ ปรากฏว่าสามารถดิมมอดคูเลทสัญญาณกลับมาได้

SURVEY VEHICLE

Miss.Jaruvan	Sonkosa
Mr.Woottichai	Jokthong
Mr.Adisit	Apivotkaroon
Mr.Prapakorn	Suvanna (advisor)

Abstract

This paper presents a transmission of digital information via radio frequency in the range of 46 MHz to control a vehicle, by using an Ascci code from the computer and transmitted out through the serial port .The control codes are modulated on FSK (Frequency Shift Keying) modulator before sending the signal through free space

Phase locked loop is used to produce FSK signal from control code received from computer in the section of FSK modulator. A low-pass filter is to used convert pulse signal to analog signal before modulating the signal again in the FM method to radiate the signal through free-space. In the section of FSK demodulator using the phase locked loop and comparator to modulate FSK signal from FM receiver and produce control code to control a vehicle.

In the section of FM receiver using MC13135 ; a narrowband , dual conversion FM communication receiver to recei RF signal from transmitter. IF1 and IF2 used 10.7 MHZ and 455 KHz respectively. And used MC145166 to produce the first local oscillator frequency.

In the experiment of sending data from computer through FSK modulator and taking the FSK signal directly from FSK demodulator, using microcontroller to monitor the data ; is the data transmitted correctly .And in the section of FM receiver by inject RF signal at the input of a receiver , now we can extract data signal.

สารบัญ

	หน้า
กิตติกรรมประกาศ	I
บทคัดย่อ	II
สารบัญ	IV
สารบัญรูปภาพ	VI
สารบัญตาราง	X
บทที่ 1 บทนำ	1
บทที่ 2 ทฤษฎีและหลักการ	
2.1 การสื่อสารทางด้านอิเล็กทรอนิกส์	3
2.1.1 พื้นฐานการสื่อสารทางด้านอิเล็กทรอนิกส์	3
2.1.2 การมอดคูเลทและการดีมอดคูเลท	3
2.1.3 ดิจิตอลมอดคูเลชั่น	7
2.2 การมอดคูเลทเชิงความถี่	8
2.2.1 การมอดคูเลทเชิงความถี่	8
2.2.2 สเปกตรัมความถี่ของสัญญาณ FM ที่มอดคูเลทด้วย สัญญาณไซน์ซอซซ์	12
2.2.3 แบนด์วิดท์สำหรับคลื่น FM	15
2.2.4 กำลังงานเฉลี่ยของคลื่น FM	18
2.3 เฟสล็อกคูลูป	20
2.3.1 พื้นฐานของเฟสล็อกคูลูป	20
2.3.2 คลาสสิกคอลลิจิตอลเฟสล็อกคูลูป	25
2.4 เครื่องรับ FM และระบบ	40
2.4.1 พารามิเตอร์ของเครื่องรับ	40
2.4.2 เครื่องรับ FM	42
2.5 รายละเอียดอื่น ๆ ที่เกี่ยวข้อง	48
2.5.1 Visual Basic	48
2.5.2 สเต็ปเปอร์มอเตอร์แบบยูนิโพลาร์	54
2.5.3 การทำงานของเซอร์โวมอเตอร์	57
2.5.4 หลักการเบื้องต้นของการแพร่ภาพ	58

เอกสารนี้เป็นเอกสารที่สงวนไว้สำหรับการใช้งานเพื่อการศึกษาเท่านั้น ไม่อนุญาตให้นำไปใช้ประโยชน์ด้านการค้า
ไม่ว่ากรณีใดๆ ทั้งสิ้น อีกทั้งห้ามมิให้ตัดแปลงเนื้อหาและต้องอ้างอิงถึงเจ้าของเอกสารทุกครั้งที่มีการนำไปใช้

บทที่ 3 การออกแบบและการสร้าง	63
3.1 FSK มอดคูเลเตอร์และดีมอดคูเลเตอร์	63
3.2 เครื่องรับ FM	76
3.3 เครื่องส่ง FM	81
3.4 โปรแกรมควบคุมการทำงาน	84
3.5 โปรแกรมในส่วนของการขับเคลื่อนรถและควบคุมกล้อง	85
3.6 เครื่องส่งสัญญาณวีดีโอ	85
บทที่ 4 การทดลองและผลการทดลอง	88
4.1 การทดลองในส่วน of เครื่องส่ง	88
4.1.1 วงจรแปลงระดับสัญญาณ RS-232 เป็น TTL	88
4.1.2 วงจร FSK มอดคูเลเตอร์	89
4.1.3 ผลตอบสนองทางความถี่ของวงจรกรองความถี่ต่ำผ่าน	93
4.1.4 การผลิตความถี่ของวงจรผลิตความถี่ที่ควบคุมแรงดันด้วย PLL	94
4.1.5 วงจรขยายสัญญาณ RF	96
4.2 การทดลองในส่วน of เครื่องรับ	98
4.2.1 การผลิตความถี่ของวงจร โดคัลลออสซิลเลเตอร์ภาคแรก ของเครื่องรับ FM	98
4.2.2 การควบคุมการผลิตความถี่ด้วยเฟสล็อกคูลูปของวงจร โดคัลลออสซิลเลเตอร์ภาคแรก	99
4.2.3 การทำงานโดยรวมของเครื่องรับ FM	101
4.2.4 วงจร FSK ดีมอดคูเลเตอร์	105
บทที่ 5 ปัญหาแนวทางแก้ไขและบทสรุป	107
5.1 ปัญหาและแนวทางแก้ไข	107
5.2 สรุปผลการดำเนินงาน	108
บรรณานุกรม	
ภาคผนวก	

สารบัญรูปภาพ

		หน้า
รูปที่ 1	บล็อกโคอะแกรมของโครงการรถสำรวจ	2
รูปที่ 2.1.1	แสดงส่วนประกอบหลักรวมของระบบสื่อสารทางด้านอิเล็กทรอนิกส์	3
รูปที่ 2.1.2	แสดงการมอดคูเลทแบบต่าง ๆ	5
รูปที่ 2.1.3	บล็อกโคอะแกรมของระบบสื่อสารอย่างง่าย	6
รูปที่ 2.1.4	ดิจิตอลมอดคูเลชันแบบต่าง ๆ	7
รูปที่ 2.2.1	คลื่น FM ที่ถูกมอดคูเลทด้วยสัญญาณข้อมูลความถี่เดียว	10
รูปที่ 2.2.2	พลอทของสัมประสิทธิ์ของ Bessel function ที่ดัชนีมอดคูเลทต่าง ๆ	14
รูปที่ 2.2.3	สเปกตรัมความถี่ดังตัวอย่าง	15
รูปที่ 2.2.4	เปรียบเทียบสเปกตรัมความถี่ระหว่าง Carson's rule กับ Bessel table	17
รูปที่ 2.3.1	พื้นฐานของเฟสล็อกคูลูป (PLL)	21
รูปที่ 2.3.2	ผลตอบสนองทรานเซียนของเฟสล็อกคูลูปอันเนื่องมาจากการเปลี่ยนแปลงความถี่ของสัญญาณอ้างอิง	23
รูปที่ 2.3.3	บล็อกโคอะแกรมของดิจิตอลเฟสล็อกคูลูป	26
รูปที่ 2.3.4	เฟสดีเทคเตอร์ที่นิยมใช้ใน DPLL	27
รูปที่ 2.3.5	รูปคลื่นสัญญาณของ XOR เฟสดีเทคเตอร์	27
รูปที่ 2.3.6	พลอทค่าเฉลี่ยของ Ud กับ θ_c	29
รูปที่ 2.3.7	รูปคลื่นของสัญญาณ JK – FlipFlop เป็นเฟสดีเทคเตอร์	29
รูปที่ 2.3.8	พลอทค่าเฉลี่ยของ Ud กับ θ_c ของ JK – FlipFlop เฟสดีเทคเตอร์	31
รูปที่ 2.3.9	สเตรโคอะแกรมของ PFD	32
รูปที่ 2.3.10	รูปคลื่นสัญญาณของ PFD	33
รูปที่ 2.3.11	พลอทของเอาท์พุทเฉลี่ยของ Ud ของ PFD	34
รูปที่ 2.3.12	พลอทของควิตซ์ไซเคิลเฉลี่ยของสัญญาณเอาท์พุท Ud ของ PFD	36
รูปที่ 2.3.13	วงจรรูปฟิลเตอร์แบบต่าง ๆ	37
รูปที่ 2.3.14	โบคโคอะแกรมของฟิลเตอร์ทั้ง 3 แบบ	38
รูปที่ 2.4.1	บล็อกโคอะแกรมของเครื่องรับ FM แบบซูเปอร์เฮเทอโรโรคาอัน	43
รูปที่ 2.4.2	FM คีมอดคูเลเตอร์ แบบควอคราเทอร์	46
รูปที่ 2.5.1	อินเทอร์เฟซของ Microsoft Visual Basic Version 6.0	49
รูปที่ 2.5.2	ใน Windows ตัวโปรแกรมจะประกอบด้วยส่วนต่าง ๆ	51
รูปที่ 2.5.3	ไฟล์ซาร์ทแสดง Event-driven Programming	52

เอกสารนี้เป็นเอกสารที่สงวนไว้สำหรับการใช้งานเพื่อการศึกษาเท่านั้น ไม่อนุญาตให้นำไปใช้ประโยชน์ด้านการค้าไม่ว่ากรณีใดๆ ทั้งสิ้น อีกทั้งห้ามมิให้ดัดแปลงเนื้อหาและต้องอ้างอิงถึงเจ้าของเอกสารทุกครั้งที่มีการนำไปใช้

รูปที่ 2.5.4	ไฟล์ชาร์ทแสดง Procedural Programming	52
รูปที่ 2.5.5	ขั้นตอนการออกแบบและเขียน โปรแกรมคอมพิวเตอร์	54
รูปที่ 2.5.6	โครงสร้างอย่างง่ายของสตีปเปอร์มอเตอร์แบบยูนิโพลาร์	54
รูปที่ 2.5.7	การควบคุมของเซอร์โวมอเตอร์	57
รูปที่ 2.5.8	แสดงบล็อกไดอะแกรมเบื้องต้นของกระบวนการแพร่ภาพ โทรทัศน์	58
รูปที่ 2.5.9	รูปคลื่นความกว้างของช่องโทรทัศน์ CCIR 1 ช่อง	60
รูปที่ 2.5.10	การผสมสัญญาณภาพกับคลื่นพาหะ	61
รูปที่ 2.5.11	การผสมสัญญาณเสียงกับคลื่นพาหะ	62
รูปที่ 3.1 (ก)	บล็อกไดอะแกรมของวงจร FSK มอดูเลเตอร์ทั้งหมด	64
รูปที่ 3.1 (ข)	ความสัมพันธ์ระหว่างสัญญาณอินพุทและเอาต์พุทของ FSK มอดูเลเตอร์	64
รูปที่ 3.2	ความสัมพันธ์ระหว่างสัญญาณที่มีระดับแรงดัน TTL กับสัญญาณที่มีระดับแรงดัน RS-232	64
รูปที่ 3.3	วงจรแปลงระดับสัญญาณ RS-232 เป็น TTL	65
รูปที่ 3.4	แสดงความสัมพันธ์ระหว่างสัญญาณอินพุทและเอาต์พุทของ FSK มอดูเลเตอร์	66
รูปที่ 3.5	การออกแบบวงจรผลิตความถี่ควบคุมด้วยแรงดัน	67
รูปที่ 3.6	วงจร VCO ของภาค FSK มอดูเลเตอร์	69
รูปที่ 3.7	ความสัมพันธ์ระหว่างอินพุทและเอาต์พุทของวงจรรองความถี่ต่ำผ่าน	70
รูปที่ 3.8	โครงสร้างของวงจร Sallen and Key	70
รูปที่ 3.9	การออกแบบวงจรรองความถี่ต่ำแบบบัทเทอร์เวิร์ทอันดับที่ 5	71
รูปที่ 3.10	วงจรรองความถี่ต่ำผ่านแบบบัทเทอร์เวิร์ทอันดับที่ 5 ความถี่คัทออฟเท่ากับ 3 KHz	73
รูปที่ 3.11(ก)	บล็อกไดอะแกรมของ FSK ดีมอดูเลเตอร์	74
รูปที่ 3.11(ข)	แสดงความสัมพันธ์ระหว่างสัญญาณที่อินพุทและเอาต์พุทของ FSK ดีมอดูเลเตอร์	74
รูปที่ 3.12	FSK ดีเทคเตอร์	75
รูปที่ 3.13	วงจรคอมพาราเตอร์	75
รูปที่ 3.14	วงจร FSK ดีมอดูเลเตอร์ทั้งหมด	76
รูปที่ 3.15	วงจรการทดลองหาค่า L	78

	หน้า	
รูปที่ 3.16	ส่วนควบคุมการผลิตความถี่ด้วยเฟสล็อกคูลูป	78
รูปที่ 3.17	วงจรถุนด์	79
รูปที่ 3.18	ควอดคอคอยล์	80
รูปที่ 3.19	วงจรถ่ายรับ FM	80
รูปที่ 3.20 (ก)	วงจรถ่ายความถี่ที่ควบคุมด้วยแรงดัน	81
รูปที่ 3.20 (ข)	วงจรถ่ายเฟสล็อกคูลูปที่ใช้ในการควบคุมการผลิตความถี่	82
รูปที่ 3.21	วงจรถ่ายสัญญาณ RF	83
รูปที่ 3.22	โปรแกรมควบคุมการทำงานขณะออกแบบ	84
รูปที่ 3.23	วงจรถ่ายขับเคลื่อนรถและควบคุมกล้อง	86
รูปที่ 3.24	วงจรถ่ายส่งสัญญาณวิดีโอ	87
รูปที่ 4.1	วงจรถ่ายแปลงระดับสัญญาณ RS 232 เป็น TTL	88
รูปที่ 4.2	สัญญาณที่ขา 13 ของ MAX 232 เทียบกับขาสัญญาณ 12	89
รูปที่ 4.3	วงจรถ่ายแปลง FSK มอดูเลเตอร์	90
รูปที่ 4.4 (ก)	แสดงสัญญาณอินพุตกับสัญญาณที่ขา 4 ของ MC 14046	91
รูปที่ 4.4 (ข)	แสดงสัญญาณที่อินพุตและเอาต์พุตของวงจรถ่ายความถี่ต่ำผ่าน	91
รูปที่ 4.5	สัญญาณที่เอาต์พุตของวงจรถ่ายความถี่ต่ำผ่านพร้อมทั้งสเปกตรัมความถี่	92
รูปที่ 4.6	พล็อตของผลตอบสนองทางความถี่ของวงจรถ่ายความถี่ต่ำผ่าน	94
รูปที่ 4.7	วงจรถ่ายแปลงการผลิตความถี่ของวงจรถ่ายความถี่ที่ควบคุมแรงดันด้วย PLL	95
รูปที่ 4.8	สัญญาณเอาต์พุตของวงจรถ่ายความถี่ที่ควบคุมแรงดันด้วย PLL	95
รูปที่ 4.9	วงจรถ่ายสัญญาณ RF	96
รูปที่ 4.10	รูปคลื่นสัญญาณที่เอาต์พุตของวงจรถ่ายสัญญาณ RF พร้อมทั้งสเปกตรัมความถี่	97
รูปที่ 4.11	วงจรถ่ายแปลงการผลิตความถี่ของวงจรถ่าย โลคัลออสซิลเลเตอร์ภาคแรก ของเครื่องรับ FM	98
รูปที่ 4.12	วงจรถ่ายแปลงการผลิตความถี่ที่ควบคุมด้วยเฟสล็อกคูลูป	99
รูปที่ 4.13	สัญญาณความถี่ โลคัลออสซิลเลเตอร์ (ขา 3 ของ MC13135)	100
รูปที่ 4.14	วงจรถ่ายแปลงเครื่องรับ FM	100
รูปที่ 4.15	สัญญาณเอาต์พุตของ MIXER ภาคแรก (ขา 30 ของ MC13135)	101
รูปที่ 4.16	สัญญาณ IF ₁ (ขา 18 ของ MC13135)	102
รูปที่ 4.17	สัญญาณเอาต์พุตของ MIXER ภาคที่สอง (ขา 7 ของ MC13135)	102

เอกสารนี้เป็นเอกสารที่สงวนไว้สำหรับการใช้งานเพื่อการศึกษาเท่านั้น ไม่อนุญาตให้นำไปใช้ประโยชน์ด้านการค้า
ไม่ว่ากรณีใดๆ ทั้งสิ้น อีกทั้งห้ามมิให้ดัดแปลงเนื้อหาและต้องอ้างอิงถึงเจ้าของเอกสารทุกครั้งที่มีการนำไปใช้

		หน้า
รูปที่ 4.18	สัญญาณ IF_2 (ขา 9 ของ MC13135)	103
รูปที่ 4.19	สัญญาณที่คีมอคคูเลทออกมาแล้ว	103
รูปที่ 4.20	วงจรทดลองของส่วน FSK มอคคูเลเตอร์	105
รูปที่ 4.21	สัญญาณที่ขา 10 ของ MC14046 เทียบกับสัญญาณอินพุทของ FSK มอคคูเลเตอร์	106
รูปที่ 4.22	สัญญาณที่เอาต์พุทของคอมพาราเตอร์เทียบกับสัญญาณอินพุทของ FSK มอคคูเลเตอร์	106



เอกสารนี้เป็นเอกสารที่สงวนไว้สำหรับการใช้งานเพื่อการศึกษาเท่านั้น ไม่อนุญาตให้นำไปใช้ประโยชน์ด้านการค้า
ไม่ว่ากรณีใดๆ ทั้งสิ้น อีกทั้งห้ามมิให้ตัดแปลงเนื้อหาและต้องอ้างอิงถึงเจ้าของเอกสารทุกครั้งที่มีการนำไปใช้

สารบัญตาราง

	หน้า	
ตารางที่ 2.2.1	Bessel Function of the first kind of the order n	11
ตารางที่ 2.5.1	แสดงลำดับการทำงานของขดลวดในแต่ละเฟสของมอเตอร์เมื่อได้รับการกระตุ้นแบบหนึ่งเฟส	54
ตารางที่ 2.5.2	แสดงลำดับการทำงานของขดลวดในแต่ละเฟสของมอเตอร์เมื่อได้รับการกระตุ้นแบบสองเฟส	54
ตารางที่ 2.5.3	แสดงลำดับการทำงานของขดลวดในแต่ละเฟสของมอเตอร์เมื่อได้รับการกระตุ้นแบบครึ่งสเต็ป	54
ตารางที่ 3.1	แสดงค่าของตัวเก็บประจุของวงจรแปลงระดับสัญญาณ RS-232 เป็น TTL	63
ตารางที่ 3.2	ตารางวงจรรองความถี่แบบบัทเทอร์เวิร์ท	68
ตารางที่ 3.3	แสดงค่า L ที่เลือกใช้ในการผลิตความถี่	75
ตารางที่ 4.1	ขนาดของสัญญาณเอาต์พุตของวงจรรองความถี่ต่ำผ่านที่ความถี่ต่าง ๆ	91
ตารางที่ 4.2	แสดงความถี่ของสัญญาณเอาต์พุตของวงจรผลิตความถี่ที่ควบคุมแรงดันด้วย PLL	92
ตารางที่ 4.3	ความถี่เอาต์พุตของวงจร โคลด์ลอสซิลเลเตอร์ภาคแรกที่แรงดัน V_{IN} 0 ถึง 5 โวลท์	96
ตารางที่ 4.4	ความถี่ของวงจร โคลด์ลอสซิลเลเตอร์ภาคแรกที่ช่องต่าง ๆ	97

บทที่ 1

บทนำ

ในระยะเวลาเพียงไม่กี่ปีที่ผ่านมา เทคโนโลยีการสื่อสารไร้สายได้ถูกพัฒนาไปเป็นอย่างมาก ไม่ว่าจะเป็นเทคโนโลยีการสื่อสารทางด้านพาณิชย์ เทคโนโลยีการสื่อสารทางด้านทหาร ซึ่งเทคโนโลยีการสื่อสารเหล่านี้ ถูกนำไปประยุกต์ใช้ในกิจกรรมต่างๆ มากมาย อาทิเช่น การสื่อสารข้อมูลคอมพิวเตอร์ในเครือข่าย การสื่อสารข้อมูลทางการแพทย์ เพื่อประโยชน์ในการรักษาผู้ป่วย การสื่อสารข้อมูลจากการวัด เพื่อประโยชน์ในการควบคุมหรือการดูแลระบบ เป็นต้น ความต้องการในการสื่อสารผนวกกับเทคโนโลยีของสารกึ่งตัวนำที่ได้พัฒนาอย่างรวดเร็ว ส่งผลให้อุปกรณ์ในวงจรอิเล็กทรอนิกส์ทางด้านสื่อสาร ทำงานได้มีประสิทธิภาพสูงขึ้น ที่ความถี่ที่สูงขึ้น ด้วยขนาดที่เล็กลง

ในปัจจุบันเทคโนโลยีการควบคุมไร้สาย ก็เป็นอีกเทคโนโลยีอีกอย่างหนึ่ง ซึ่งได้รับความสนใจเป็นอย่างมาก ซึ่งการควบคุมแบบไร้สายนี้มีประโยชน์เป็นอย่างมากในการควบคุมและการวัดผลในระยะไกล ๆ การควบคุมและการวัดผลที่มนุษย์ไม่สามารถเข้าไปปฏิบัติการด้วยตนเองได้ หรือความต้องการในการส่งผลข้อมูลจากการวัดไปยังอีกสถานที่หนึ่ง ซึ่งอยู่ห่างจากจุดที่วัดมาก

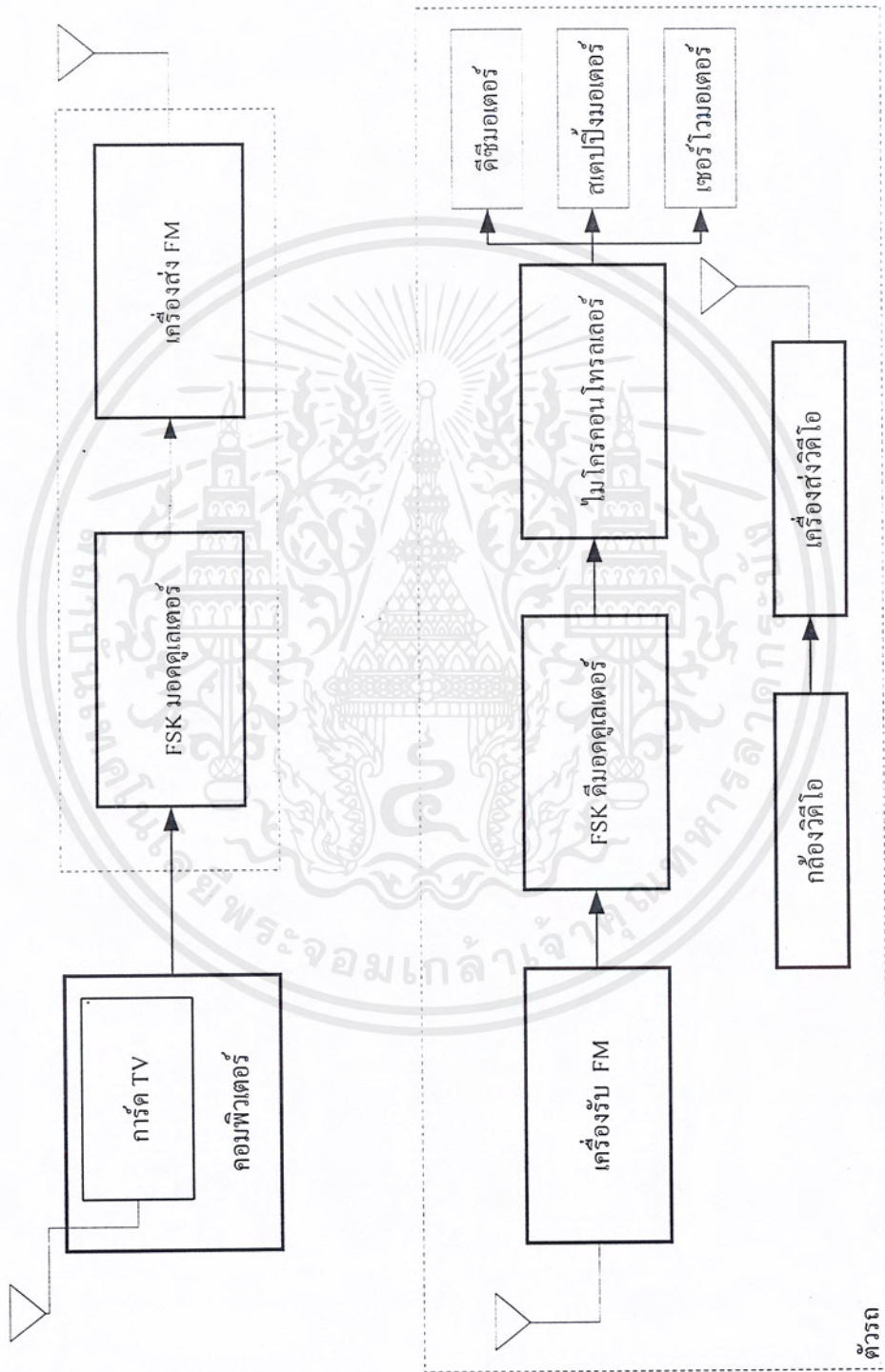
สำหรับโครงการนี้ได้ทำการศึกษาและสร้างระบบการควบคุมไร้สาย โดยนำมาประยุกต์ใช้ในการควบคุมรถตำรวจ ซึ่งเป็นรถจำลองขนาดเล็ก โดยในที่นี้ได้ใช้คอมพิวเตอร์ในการกำเนิดสัญญาณควบคุมโดยส่งออกมาทางพอร์ตอนุกรม สัญญาณควบคุมที่ได้จะถูกผ่านการมอดูเลตแบบ FSK เพื่อให้สัญญาณอยู่ในรูปของสัญญาณอะนาล็อกก่อนที่จะนำสัญญาณไปมอดูเลตแบบ FM เพื่อส่งข้อมูลออกอากาศ ที่เครื่องรับ สัญญาณ FSK จะถูกดีมอดูเลตกลับมาอีกครั้ง และถูกเปลี่ยนเป็นสัญญาณดิจิทัลโดย FSK ดีมอดูเลเตอร์ สัญญาณดิจิทัลดังกล่าวจะถูกนำไปประมวลผลโดยไมโครคอนโทรลเลอร์เพื่อควบคุมการเคลื่อนที่ของรถและกล้องวิดีโอรูปที่ 1 แสดงบล็อกไดอะแกรมของโครงการรถตำรวจ

วัตถุประสงค์ของโครงการ

1. เพื่อศึกษาการมอดูเลตและดีมอดูเลตแบบ FSK ในการส่งข้อมูลอนุกรมความเร็ว 600 bps และสร้าง FSK มอดูเลเตอร์ และดีมอดูเลเตอร์ดังกล่าว เพื่อนำไปใช้ประโยชน์ในการควบคุมแบบไร้สาย

2. เพื่อศึกษาการมอดูเลตและดีมอดูเลตแบบ FM แถบความถี่แคบ เพื่อประโยชน์ในการรับและส่งสัญญาณ FSK

เอกสารนี้เป็นเอกสารที่สงวนไว้สำหรับการใช้งานเพื่อการศึกษาเท่านั้น ไม่อนุญาตให้นำไปใช้ประโยชน์ด้านการค้าไม่ว่ากรณีใดๆ ทั้งสิ้น อีกทั้งห้ามมิให้ตัดแปลงเนื้อหาและต้องอ้างอิงถึงเจ้าของเอกสารทุกครั้งที่มีการนำไปใช้



รูปที่ 1 บล็อกไดอะแกรมของโครงงานรถลำवारจ

เอกสารนี้เป็นเอกสารที่สงวนไว้สำหรับการใช้งานเพื่อการศึกษาเท่านั้น ไม่อนุญาตให้นำไปใช้ประโยชน์ด้านการค้า
ไม่ว่ากรณีใดๆ ทั้งสิ้น อีกทั้งห้ามมิให้ดัดแปลงเนื้อหาและต้องอ้างอิงถึงเจ้าของเอกสารทุกครั้งที่มีการนำไปใช้

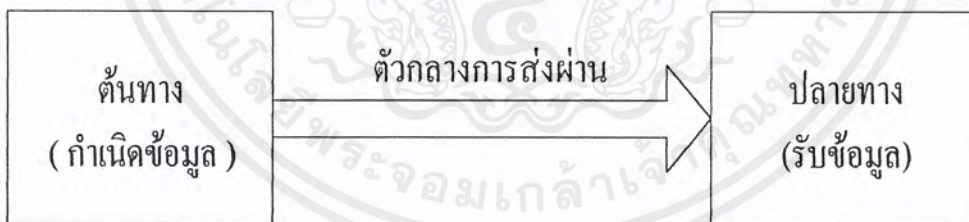
บทที่ 2

ทฤษฎีและหลักการ

2.1 การสื่อสารทางด้านอิเล็กทรอนิกส์

2.1.1 พื้นฐานการสื่อสารทางด้านอิเล็กทรอนิกส์

การสื่อสารทางด้านอิเล็กทรอนิกส์ (Electronic Communication) คือ การส่ง การรับ และการประมวลผลข้อมูลข่าวสาร (Information) โดยใช้วงจรอิเล็กทรอนิกส์ รูปที่ 2.1.1 แสดงส่วนประกอบหลักของระบบสื่อสารทางด้านอิเล็กทรอนิกส์ ซึ่งประกอบไปด้วยส่วนประกอบหลัก ๆ อันได้แก่ ต้นทาง (source) ปลายทาง (destination) และตัวกลางการส่งผ่าน (transmission medium) ข้อมูลข่าวสารที่จะส่งผ่านระบบสื่อสารอาจจะเป็นสัญญาณอะนาล็อก (analog signal) ตัวอย่างเช่น เสียงพูดของมนุษย์ ภาพสัญญาณวิดีโอหรือเสียงดนตรี หรืออาจจะเป็นสัญญาณดิจิทัล (digital signal) อย่างเช่น รหัสเลขฐานสอง รหัสของตัวเลขหรือตัวอักษร สัญลักษณ์รูปภาพ ออปโค้ดของไมโครโปรเซสเซอร์หรือฐานข้อมูลก็ได้ อย่างไรก็ตาม บ่อยครั้งที่รูปแบบของสัญญาณข้อมูลที่ต้นทางจะต้องถูกเปลี่ยนให้อยู่ในรูปแบบที่เหมาะสมก่อนที่จะส่งออกไป ตัวอย่างเช่น ในระบบสื่อสารดิจิทัล สัญญาณอะนาล็อก จะต้องเปลี่ยนให้อยู่ในรูปดิจิทัลก่อนจะส่งออกไป และในระบบสื่อสารอะนาล็อก ข้อมูลดิจิทัลจะต้องเปลี่ยนให้อยู่ในรูปสัญญาณอะนาล็อกก่อนจะส่งออกไป



รูปที่ 2.1.1 แสดงส่วนประกอบหลักของระบบสื่อสารทางด้านอิเล็กทรอนิกส์

2.1.2 การมอดดูเลทและการดีมอดดูเลท (Modulation and Demodulation)

ในการสื่อสารทางอิเล็กทรอนิกส์ มีความจำเป็นที่จะต้องนำสัญญาณข้อมูลไปมอดดูเลทกับสัญญาณพาหะเสียก่อน โดยสัญญาณพาหะคือ สัญญาณไซน์ซอยด์ (sinusoidal signal) ความถี่เดียว คำว่ามอดดูเลท ถ้าจะกล่าวกันอย่างง่าย ๆ คือ เปลี่ยนแปลงนั่นเอง ดังนั้น สัญญาณข้อมูลจึงเรียกว่า สัญญาณมอดดูเลท (modulating signal) สัญญาณที่จะถูกมอดดูเลทเรียกว่า สัญญาณพาหะ และผลที่ได้จากการมอดดูเลท คือ สัญญาณที่มอดดูเลทแล้ว (modulated signal)

เอกสารนี้เป็นเอกสารที่สงวนไว้สำหรับการใช้งานเพื่อการศึกษาเท่านั้น ไม่อนุญาตให้นำไปใช้ประโยชน์ด้านการค้าไม่ว่ากรณีใดๆ ทั้งสิ้น อีกทั้งห้ามมิให้ตัดแปลงเนื้อหาและต้องอ้างอิงถึงเจ้าของเอกสารทุกครั้งที่มีการนำไปใช้

ในระบบสื่อสารอะนาล็อก การมอดคูเลท (modulation) คือ กระบวนการในการเปลี่ยนแปลงคุณสมบัติบางประการของสัญญาณพาหะให้เป็นไปตามสัญญาณข้อมูล ส่วนการดีมอดคูเลท (demodulation) คือ การเปลี่ยนสัญญาณพาหะให้กลับมาเป็นสัญญาณข้อมูลดั้งเดิม

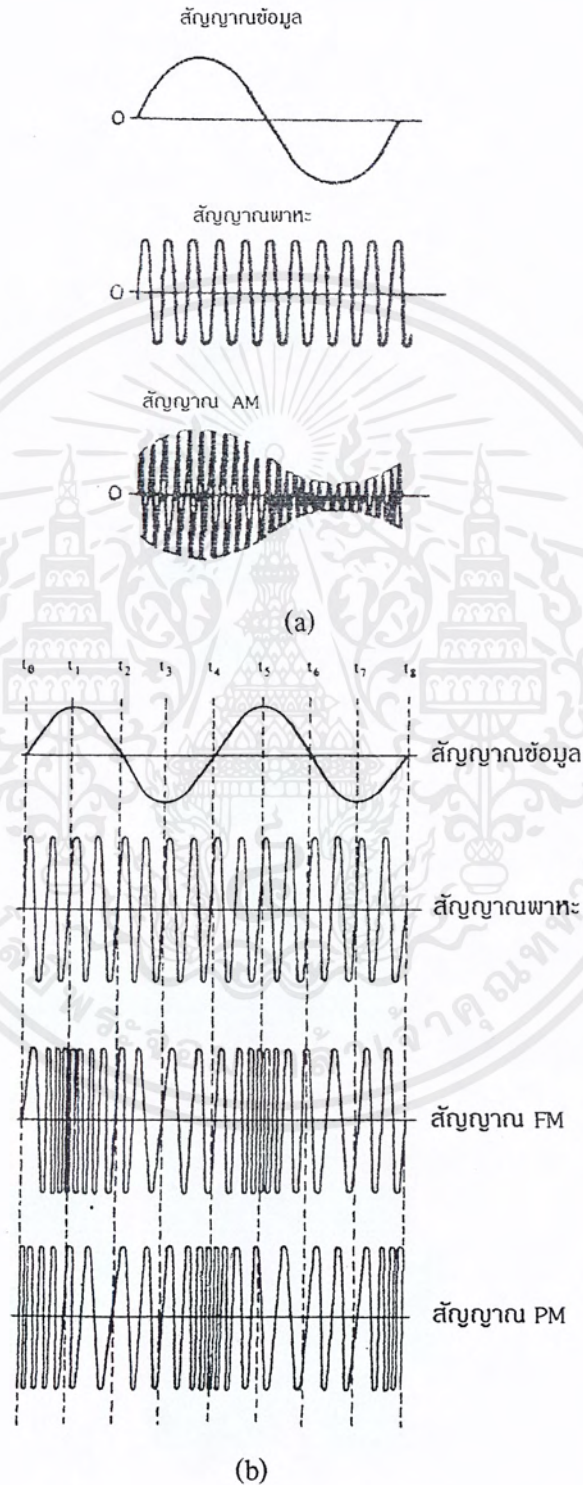
พิจารณานิพจน์ของสัญญาณคลื่นไซน์ ซึ่งจะพิจารณาให้เป็นสัญญาณพาหะ

$$V = V_p \sin (\omega t + \theta) \quad (2.1.1)$$

เมื่อ V = ค่า ณ เวลาใดเวลาหนึ่งของคลื่นไซน์ที่เปลี่ยนแปลงตามเวลา
 V_p = ขนาดสูงสุดของคลื่นไซน์
 ω = ความถี่เชิงมุม (angular frequency) = $2 \pi f$
 θ = มุมเฟส

จากสมการที่ 2.1.1 จะเห็นว่ามีความสัมพันธ์ 3 ประการของคลื่นไซน์ที่สามารถเปลี่ยนแปลงได้คือ ขนาด ความถี่และเฟส ถ้าขนาดของคลื่นไซน์เปลี่ยนแปลงตามสัญญาณข้อมูลเรียกว่า การมอดคูเลทเชิงขนาด (Amplitude Modulation : AM) ถ้าความถี่ของคลื่นไซน์เปลี่ยนแปลงตามสัญญาณข้อมูลเรียกว่าการมอดคูเลทเชิงความถี่ (Frequency Modulation : FM) และถ้าเฟสของคลื่นไซน์เปลี่ยนแปลงตามสัญญาณข้อมูล เรียกว่า การมอดคูเลทเชิงเฟส (Phase Modulation : PM) รูปที่ 2.1.2 แสดงการมอดคูเลทแบบต่าง ๆ และสำหรับการมอดคูเลทเชิงความถี่จะกล่าวถึงโดยละเอียดอีกครั้งในหัวข้อ 2.2

รูปที่ 2.1.3 แสดงตัวอย่างระบบสื่อสารแบบง่าย ๆ ในรูปของบล็อกไดอะแกรม ซึ่งประกอบไปด้วย เครื่องส่ง (transmitter) เครื่องรับ (receiver) และตัวกลางการส่งผ่าน ที่เครื่องรับภาคมอดคูเลทจะรับสัญญาณอินพุทเข้ามา 2 สัญญาณ คือ สัญญาณข้อมูล (information signal) และสัญญาณพาหะ (carrier signal) แล้วทำการมอดคูเลทสัญญาณทั้งสองเข้าด้วยกัน ทำให้ได้สัญญาณพาหะที่ถูกมอดคูเลทแล้ว (modulated signal) จากนั้นจึงนำสัญญาณดังกล่าวไปทำการขยายก่อนที่จะส่งออกไป ซึ่งการส่งผ่านสัญญาณที่ถูกมอดคูเลทแล้วออกไปสามารถกระทำได้โดยใช้สายอากาศ (antennas) ท่อนำคลื่น (waveguides) เส้นใยนำแสง (optical fibers) หรือสายส่ง (transmission lines) วิธีใดวิธีหนึ่ง

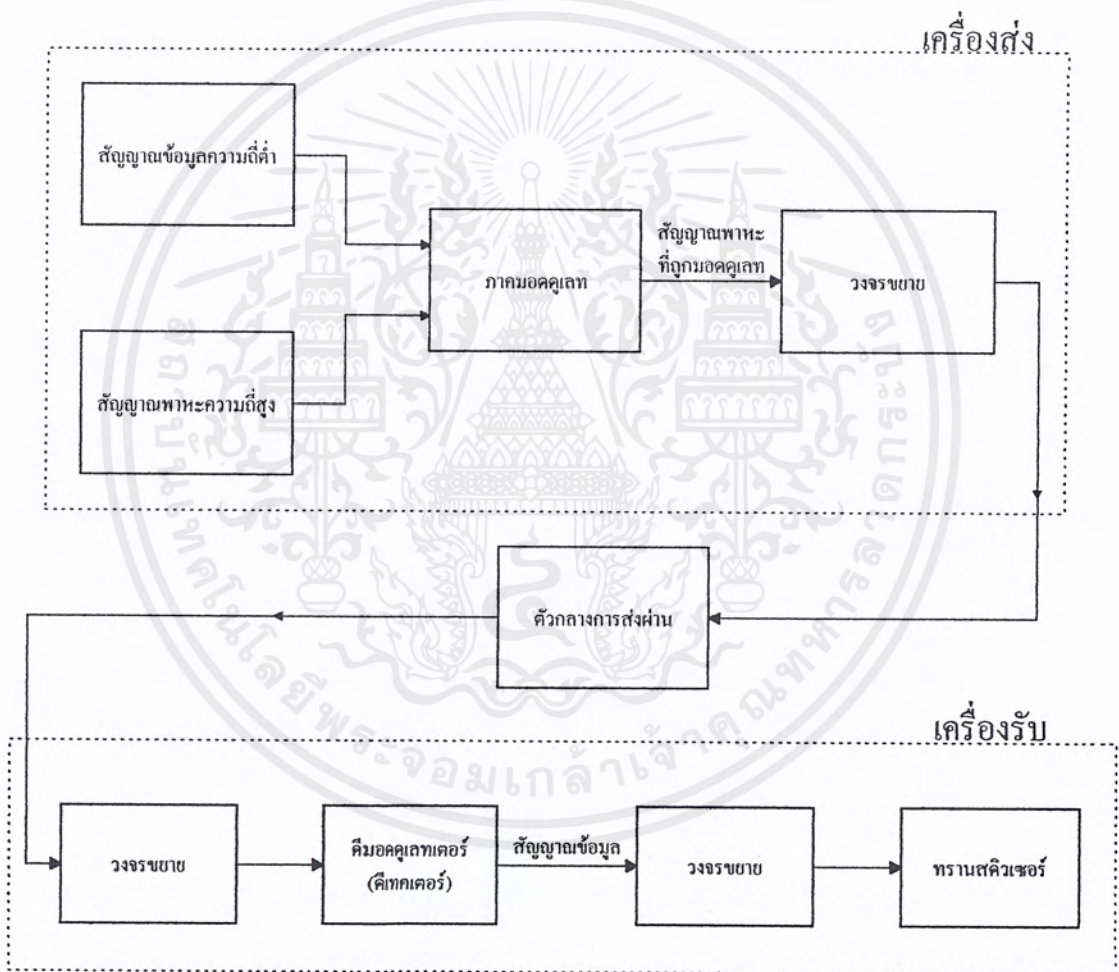


รูปที่ 2.1.2 แสดงการมอดดูเลทแบบต่าง ๆ

(a) การมอดดูเลทเชิงขนาด (b) การมอดดูเลทเชิงความถี่และการมอดดูเลทเชิงเฟส

เอกสารนี้เป็นเอกสารที่สงวนไว้สำหรับการใช้งานเพื่อการศึกษาเท่านั้น ไม่อนุญาตให้นำไปใช้ประโยชน์ด้านการค้าไม่ว่ากรณีใดๆ ทั้งสิ้น อีกทั้งห้ามมิให้ตัดแปลงเนื้อหาและต้องอ้างอิงถึงเจ้าของเอกสารทุกครั้งที่มีการนำไปใช้

ที่เครื่องรับ เมื่อรับสัญญาณที่ส่งมาได้แล้วก็ทำการขยายสัญญาณเสียก่อน เนื่องจากในระหว่างกระบวนการการส่ง สัญญาณได้ถูกลดทอนไปอย่างมาก เมื่อได้ทำการขยายสัญญาณแล้ว ก็ส่งสัญญาณไปยังคิมอคคูเลเตอร์(หรืออาจเรียกว่าดีเทกเตอร์) เพื่อที่จะทำการแยกสัญญาณข้อมูลออกมา แล้วนำสัญญาณข้อมูลที่ได้ไปขยายอีกครั้ง เพื่อทำให้ระดับสัญญาณสามารถนำไปจับทรานสดิวเซอร์ได้ โดยทรานสดิวเซอร์ คือ อุปกรณ์ที่ทำหน้าที่เปลี่ยนพลังงานในรูปแบบหนึ่งไปเป็นพลังงานในอีกรูปแบบ อย่างเช่น ลำโพง



รูปที่ 2.1.3 บล็อกไดอะแกรมของระบบสื่อสารอย่างง่าย

เอกสารนี้เป็นเอกสารที่สงวนไว้สำหรับการใช้งานเพื่อการศึกษาเท่านั้น ไม่อนุญาตให้นำไปใช้ประโยชน์ด้านการค้าไม่ว่ากรณีใดๆ ทั้งสิ้น อีกทั้งห้ามมิให้ตัดแปลงเนื้อหาและต้องอ้างอิงถึงเจ้าของเอกสารทุกครั้งที่มีการนำไปใช้

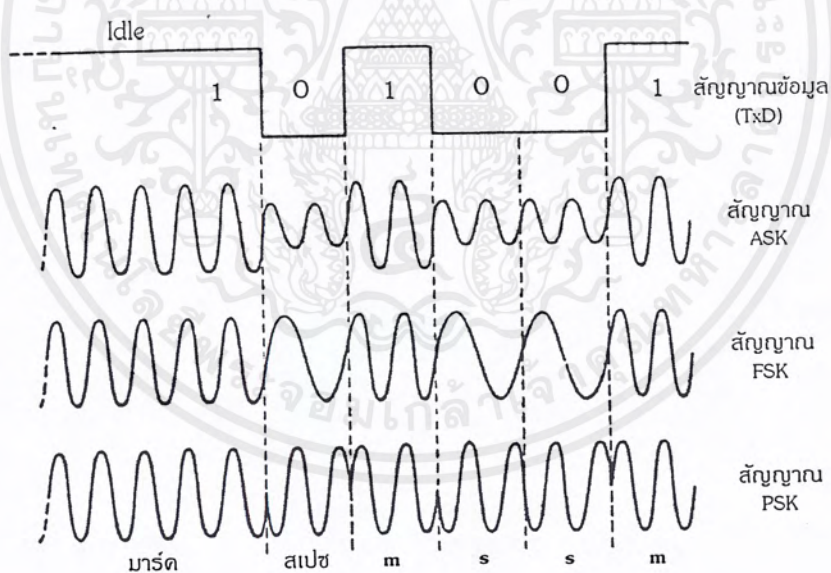
2.1.3 ดิจิตอลมอดูเลชัน (Digital Modulation)

การมอดูเลชันที่ได้กล่าวมาแล้วนั้น สัญญาณข้อมูลที่จะนำมาทำการมอดูเลท จะเป็น สัญญาณอะนาล็อกดังนั้นเราอาจกล่าวได้ว่า การมอดูเลทเชิงขนาด การมอดูเลทเชิงความถี่ และการมอดูเลทเชิงเฟส คือ กระบวนการมอดูเลทแบบอะนาล็อกในกรณีที่สัญญาณข้อมูลอยู่ในรูป ของสัญญาณดิจิทัล กระบวนการมอดูเลชันจะเรียกว่า ดิจิตอลมอดูเลชัน

ดิจิตอลมอดูเลชัน สามารถแบ่งออกได้เป็น 3 ชนิดใหญ่ ๆ ได้ดังนี้ คือ

1. แอมพลิจูดชิฟคีย์อิง (Amplitude Shift Keying : ASK)
2. ฟรีควนซีชิฟคีย์อิง (Frequency Shift Keying : FSK)
3. เฟสชิฟคีย์อิง (Phase Shift Keying : PSK)

รูปที่ 2.1.4 แสดงการมอดูเลชัน ทั้ง 3 แบบ ซึ่งจะสังเกตเห็นได้ว่า ASK, FSK และ PSK จะมีลักษณะคล้ายกับ AM, FM และ PM ตามลำดับ เพียงแต่ว่า สัญญาณที่นำมามอดูเลท จะมีลักษณะที่แตกต่างกัน แต่สัญญาณพาหะยังคงเหมือนกัน



รูปที่ 2.1.4 ดิจิตอลมอดูเลชันแบบต่าง ๆ

2.2 การมอดคูเลทเชิงความถี่

ดังได้กล่าวมาแล้วว่า คุณสมบัติ 3 ประการของสัญญาณอะนาลอกที่สามารถเปลี่ยนแปลงได้ก็คือ ขนาด , ความถี่ และ เฟส ในหัวข้อนี้เราจะกล่าวถึงแนวคิดเบื้องต้นเกี่ยวกับ การมอดคูเลทเชิงความถี่ เมื่อเทียบกับการมอดคูเลทเชิงขนาดแล้ว การมอดคูเลทเชิงความถี่ จะมีข้อดีว่าการมอดคูเลทเชิงขนาด คือ มีผลต่อสัญญาณรบกวนน้อยกว่า แต่อย่างไรก็ตาม การมอดคูเลทเชิงความถี่ต้องการแถบความถี่ (bandwidth) มากกว่าการมอดคูเลทเชิงขนาด ที่ความถี่ข้อมูลหรือความถี่ที่จะนำมามอดคูเลท (modulating signal) และความถี่พาหะเดียวกัน และวงจรรับส่งยังมีความซับซ้อนมากกว่าอีกด้วย

2.2.1 การมอดคูเลทเชิงความถี่

การมอดคูเลทเชิงความถี่ คือการเปลี่ยนแปลงความถี่ของสัญญาณพาหะ(carrier signal) ที่มีขนาดคงที่ ให้เป็นสัดส่วนกับขนาดของสัญญาณที่จะนำมามอดคูเลท และมีอัตราการเปลี่ยนแปลงเท่ากับความถี่ของสัญญาณที่จะนำมามอดคูเลท ถ้าให้คลื่นสัญญาณพาหะแทนด้วยสมการทางคณิตศาสตร์เป็น

$$m(t) = V_c \cos [\omega_c t + \theta(t)] \quad (2.2.1)$$

เมื่อ

$$m(t) = \text{คือ คลื่นสัญญาณพาหะ}$$

$$V_c = \text{แอมพลิจูดของคลื่นสัญญาณพาหะ (โวลท์)}$$

$$\omega_c = \text{ความถี่เชิงมุมของคลื่นพาหะ เท่ากับ } 2\pi f_c \text{ (เรเดียน / วินาที)}$$

$$\theta(t) = \text{การเบี่ยงเบนของเฟส ณ เวลาใดเวลาหนึ่ง (เรเดียน)}$$

เพื่อให้เข้าใจถึงการมอดคูเลทเชิงความถี่ได้ดียิ่งขึ้น จะขออนุญาตต่าง ๆ เหล่านี้ ดังนี้

1. Instantaneous phase deviation คือ การเปลี่ยนแปลงไปของเฟสของสัญญาณพาหะ ที่เวลาช่วงสั้น ๆ ที่กำหนด และแสดงให้เห็นว่าเฟสของสัญญาณพาหะเปลี่ยนไปเล็กน้อยเพียงใดเมื่อเทียบกับเฟสอ้างอิงของมัน และสามารถแสดงในทางคณิตศาสตร์ได้ดังนี้

$$\text{instantaneous phase deviation} = \theta(t) \quad (\text{เรเดียน}) \quad (2.2.2)$$

2. Instantaneous phase คือ เฟสที่คงที่ของสัญญาณพาหะ ณ เวลาใด เวลาหนึ่ง และแสดงได้เป็น

$$\text{instantaneous phase} = \omega_c t + \theta(t) \quad (\text{เรเดียน}) \quad (2.2.3)$$

3. Instantaneous frequency deviation คือ การเปลี่ยนแปลงไปของความถี่ของสัญญาณพาหะ ที่ช่วง

เวลาสั้น ๆ ที่กำหนด และนิยามได้เป็นอนุพันธ์อันดับหนึ่งของ instantaneous phase deviation ดัง

เอกสารนี้เป็นเอกสารที่สงวนไว้สำหรับการใช้ในเพื่อการศึกษาเท่านั้น ไม่อนุญาตให้นำไปเผยแพร่หรือใช้

ไม่ว่ากรณีใดๆ ทั้งสิ้น อีกทั้งห้ามมิให้ตัดแปลงเนื้อหาและต้องอ้างอิงถึงเจ้าของเอกสารทุกครั้งที่มีการนำไปใช้

นั่นจากสมการ (2.2.2) instantaneous frequency deviation แสดงเป็นนิพจน์ทางคณิตศาสตร์ ได้เป็น

$$\text{instantaneous frequency deviation} = \frac{d\theta(t)}{dt} = \theta'(t) \quad (\text{เฮิร်ทซ์}) \quad (2.2.4)$$

4. Instantaneous frequency คือ ความถี่ที่แน่นอนของสัญญาณพาหะ ณ เวลาใดเวลาหนึ่ง และนิยามได้เป็นอนุพันธ์อันดับหนึ่งของ instantaneous phase จากสมการ (2.2.3) สามารถแสดง instantaneous frequency ได้เป็น

$$\begin{aligned} \text{instantaneous frequency} &= \omega_i(t) \\ &= \frac{d}{dt} [\omega_c t + \theta(t)] \\ &= \omega_c + \theta'(t) \quad (\text{เรเดียน / วินาที}) \quad (2.2.5) \end{aligned}$$

หรือ

$$f_i(t) = f_c + \frac{\theta'(t)}{2\pi} \quad (\text{เฮิร်ทซ์}) \quad (2.2.6)$$

ถ้าห้รับ frequency modulation ค่าของ instantaneous frequency deviation $\theta'(t)$ จะเปลี่ยนแปลงอย่างเป็นสัดส่วนกับแรงดันของสัญญาณที่นำมามอดคูเลท หรือ $\theta'(t)$ เป็นฟังก์ชันของ $v_m(t)$

$$\theta'(t) = F[v_m(t)] \quad (2.2.7)$$

เมื่อ

$$v_m(t) = V_m \sin(\omega_m t)$$

$$\omega_m = \text{ความถี่เชิงมุมของสัญญาณที่นำมามอดคูเลท (เรเดียน / วินาที)}$$

$$f_m = \text{ความถี่ของสัญญาณที่นำมามอดคูเลท (เฮิร်ทซ์)}$$

$$V_m = \text{ขนาดสูงสุดของสัญญาณที่นำมามอดคูเลท (โวลท์)}$$

และเราสามารถเขียนความสัมพันธ์ระหว่าง $\theta'(t)$ กับ $v_m(t)$ ได้ดังนี้

$$\theta'(t) = K v_m(t) \quad (2.2.8)$$

เมื่อ K คือ deviation sensitivities ของ frequency modulator และ นิยามได้เป็นฟังก์ชันถ่ายโอน (transfer function) ระหว่างอินพุทและเอาท์พุทของ modulator ค่าของ K มีหน่วยเป็น

เอกสารนี้เป็นเอกสารที่สงวนไว้สำหรับการใช้งานเพื่อการศึกษาเท่านั้น ไม่อนุญาตให้นำไปใช้ประโยชน์ด้านการค้าไม่ว่ากรณีใดๆ ทั้งสิ้น อีกทั้งห้ามมิให้ตัดแปลงเนื้อหาและต้องอ้างอิงถึงเจ้าของเอกสารทุกครั้งที่มีการนำไปใช้

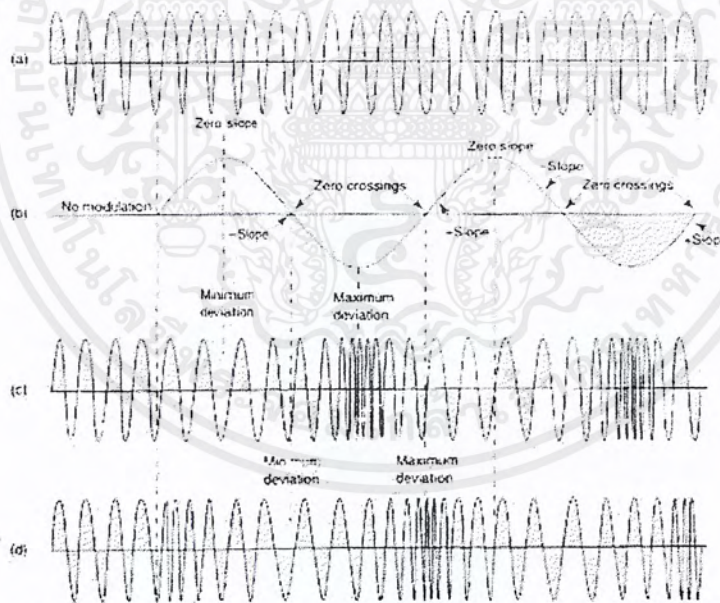
$$\frac{\text{rad/s}}{v} \quad \text{หรือ} \quad \frac{\text{rad}}{Vs} \quad (2.2.9)$$

จากความสัมพันธ์ทางคณิตศาสตร์ที่กล่าวมาทั้งหมดและจากความสัมพันธ์ของ $\theta(t)$ และ $\theta'(t)$

$$\begin{aligned} \theta(t) &= \int \theta'(t) dt \\ &= \int K V_m(t) dt \\ &= K \int V_m(t) dt \end{aligned} \quad (2.2.10)$$

เราสามารถเขียนนิพจน์ของสัญญาณพาหะ $v(t)$ ที่ถูกมอดูเลตด้วยสัญญาณ $v_m(t) = V_m \cos \omega_m t$ ได้ดังนี้

$$\begin{aligned} v(t) &= V_c \cos [\omega_c t + \theta(t)] \\ &= V_c \cos [\omega_c t + \int \theta'(t) dt] \\ &= V_c \cos [\omega_c t + K \int V_m(t) dt] \\ &= V_c \cos [\omega_c t + K \int V_m \cos \omega_m t dt] \\ &= V_c \cos [\omega_c t + \frac{KV_m}{\omega_m} \sin(\omega_m t)] \end{aligned} \quad (2.2.11)$$



รูปที่ 2.2.1 คลื่น FM ที่ถูกมอดูเลตด้วยสัญญาณข้อมูลความถี่เดียว

(a) สัญญาณพาหะ (b) สัญญาณข้อมูล (c) สัญญาณ FM (d) สัญญาณ PM

รูปที่ 2.2.1 แสดงคลื่น FM ที่ถูกมอดูเลตด้วยสัญญาณข้อมูลความถี่เดียว จากรูปจะเห็นว่า ความถี่ของสัญญาณพาหะจะเปลี่ยนแปลงไปสูงสุดเมื่อขนาดของสัญญาณที่นำมามอดูเลตเป็นบวกหรือเป็นลบสูงสุด และอัตราการเปลี่ยนแปลงของความถี่ของสัญญาณพาหะเท่ากับความถี่ของสัญญาณที่นำมามอดูเลต

เอกสารนี้เป็นเอกสารที่สงวนไว้สำหรับการใช้งานเพื่อการศึกษาเท่านั้น ไม่อนุญาตให้นำไปใช้ประโยชน์ด้านการค้าไม่ว่ากรณีใดๆ ทั้งสิ้น อีกทั้งห้ามมิให้ตัดแปลงเนื้อหาและต้องอ้างอิงถึงเจ้าของเอกสารทุกครั้งที่มีการนำไปใช้

ดัชนีการมอดคูเลท (modulation index)

จากนิพจน์ของสัญญาณพาหะที่ถูกมอดคูเลทด้วยสัญญาณข้อมูลความถี่เดียวหรือสมการที่ (2.2.11) เราสามารถนำมาเขียนในรูปทั่วไปได้เป็น

$$v(t) = V_c \cos [\omega_c t + m \cos (\omega_m t)] \quad (2.2.12)$$

เมื่อ m แสดงถึง peak phase deviation และเรียกว่า ดัชนีการมอดคูเลท (modulation index)

สำหรับสัญญาณพาหะที่ถูกมอดคูเลททางความถี่ ดัชนีการมอดคูเลทจะเป็นสัดส่วนโดยตรงกับขนาดของสัญญาณที่นำมามอดคูเลท และเป็นสัดส่วนกลับกับความถี่ที่นำมามอดคูเลท หรือเขียนได้เป็น

$$m = \frac{KV_m}{\omega_m} \quad (2.2.13)$$

$$= \frac{KV_m}{2\pi f_m} \quad (\text{ไม่มีหน่วย}) \quad (2.2.14)$$

เมื่อ KV_m = ความถี่เบี่ยงเบนในหน่วยเรเดียน / วินาที
 $KV_m / 2\pi$ = ความถี่เบี่ยงเบนในหน่วยเฮิรตซ์
 K = deviation sensitivity (เรเดียน / โวลต์ วินาที)

ความถี่เบี่ยงเบน คือ การเปลี่ยนแปลงในความถี่ของสัญญาณพาหะเมื่อถูกกระทำด้วยสัญญาณที่นำมามอดคูเลท และโดยทั่วไป จะถูกกำหนดเป็นการเลื่อนไปของความถี่ Δf ในหน่วยเฮิรตซ์ และเป็นผลคูณของ deviation sensitivity กับแรงดันของสัญญาณที่นำมามอดคูเลทด้วย โดยปกติสำหรับการมอดคูเลทเชิงความถี่ ดัชนีการมอดคูเลทจะแสดงเป็นอัตราส่วนของความถี่เบี่ยงเบนสูงสุด (peak frequency deviation) กับความถี่ของสัญญาณที่นำมามอดคูเลท หรือ

$$m = \frac{\Delta f}{f_m} \quad (2.2.15)$$

เมื่อ $\Delta f = KV_m / 2\pi$ (เฮิรตซ์)

อย่างเช่น FM modulator ตัวหนึ่ง มี deviation sensitivity , K เท่ากับ 5 KHz / V และสัญญาณที่นำมามอดคูเลท คือ $v_m(t) = 2\cos(2\pi 2000t)$ เราสามารถหา peak frequency deviation

ได้เป็น

เอกสารนี้เป็นเอกสารที่สงวนไว้สำหรับการใช้งานเพื่อการศึกษาเท่านั้น ไม่อนุญาตให้นำไปใช้ประโยชน์ด้านการค้าไม่ว่ากรณีใดๆ ทั้งสิ้น อีกทั้งห้ามมิให้ตัดแปลงเนื้อหาและต้องอ้างอิงถึงเจ้าของเอกสารทุกครั้งที่มีการนำไปใช้

$$\Delta f = \frac{5\text{KHz}}{V} \times 2V = 10 \text{ KHz}$$

และ

$$m = \frac{\Delta f}{f_m} = \frac{10 \text{ KHz}}{2 \text{ KHz}} = 5$$

เปอร์เซ็นต์มอดดูเลชัน (Percent modulation) เปอร์เซ็นต์การมอดดูเลชัน นิยามได้เป็นอัตราส่วนระหว่าง ความถี่เบี่ยงเบนที่เกิดขึ้นจริงกับความถี่เบี่ยงเบนสูงสุดที่อนุญาตให้มีได้ในทางกฎหมาย ในรูปของเปอร์เซ็นต์ หรือ

$$\text{เปอร์เซ็นต์การมอดดูเลชัน} = \frac{\Delta f (\text{จริง})}{\Delta f (\text{สูงสุด})} \times 100 \quad (2.2.16)$$

ตัวอย่างเช่น หน่วยงาน FCC (Federal Communication Commission) ได้กำหนดความถี่เบี่ยงเบนสูงสุด สำหรับ เครื่องส่งวิทยุกระจายเสียง FM ไว้ที่ $\pm 75 \text{ KHz}$ ถ้าสัญญาณที่นำมามอดดูเลท ทำให้ความถี่ของสัญญาณพาหะเบี่ยงเบนไป $\pm 50 \text{ KHz}$ แล้ว

$$\text{เปอร์เซ็นต์การมอดดูเลชัน} = \frac{50 \text{ KHz}}{75 \text{ KHz}} \times 100 = 67 \%$$

2.2.2 สเปกตรัมความถี่ของสัญญาณ FM ที่ถูกมอดดูเลทด้วยสัญญาณไซน์ซออยด์ (Frequency Spectrum for Sinusoid FM)

การวิเคราะห์หาสเปกตรัมความถี่ของสัญญาณ FM สามารถทำได้ โดยใช้วิธีของฟูเรียร์ ซึ่งในการวิเคราะห์จริง ๆ นั้น มีความซับซ้อนมาก ดังนั้น ในที่นี้เราจะแสดงให้เห็นถึงการได้มาของสเปกความถี่ของสัญญาณ FM อย่างง่าย ๆ ได้ดังนี้

จากสมการ (2.2.11)

$$\begin{aligned} v(t) &= V_c \cos [\omega_c t + \frac{KV_m}{\omega_m} \sin(\omega_m t)] \\ &= V_c \cos [\omega_c t + m \sin(\omega_m t)] \\ &= V_c [\cos \omega_c t \cos(m \sin \omega_m t) - \sin \omega_c t \sin(m \sin \omega_m t)] \end{aligned} \quad (2.2.17)$$

ซึ่งเทอม $\cos(m \sin \omega_m t)$ และเทอม $\sin(m \sin \omega_m t)$ ในสมการ (2.2.17) สามารถกระจายเป็นอนุกรมฟูเรียร์ได้ดังนี้

เอกสารนี้เป็นเอกสารที่สงวนไว้สำหรับการใช้งานเพื่อการศึกษาเท่านั้น ไม่อนุญาตให้นำไปใช้ประโยชน์ด้านการค้าไม่ว่ากรณีใดๆ ทั้งสิ้น อีกทั้งห้ามมิให้ตัดแปลงเนื้อหาและต้องอ้างอิงถึงเจ้าของเอกสารทุกครั้งที่มีการนำไปใช้

$$\begin{aligned} \cos(m \sin \omega_m t) &= J_0(m) + 2J_2(m) \cos 2\omega_m t + 2J_4(m) \cos 4\omega_m t + \dots \\ &= J_0(m) + 2 \sum_{n=1}^{\infty} J_{2n}(m) \cos 2n\omega_m t \end{aligned} \quad (2.2.18)$$

$$\begin{aligned} \sin(m \sin \omega_m t) &= 2J_1(m) \sin \omega_m t + 2J_3(m) \sin 3\omega_m t + \dots \\ &= 2 \sum_{n=0}^{\infty} J_{2n+1}(m) \sin(2n+1)\omega_m t \end{aligned} \quad (2.2.19)$$

m	$J_0(m)$	$J_1(m)$	$J_2(m)$	$J_3(m)$	$J_4(m)$	$J_5(m)$	$J_6(m)$	$J_7(m)$	$J_8(m)$	$J_9(m)$	$J_{10}(m)$
0	1.000	—	—	—	—	—	—	—	—	—	—
0.2	0.990	0.099	0.005	—	—	—	—	—	—	—	—
0.4	0.960	0.196	0.019	0.001	—	—	—	—	—	—	—
0.6	0.912	0.286	0.043	0.004	—	—	—	—	—	—	—
0.8	0.846	0.368	0.075	0.010	0.001	—	—	—	—	—	—
1.0	0.765	0.440	0.114	0.019	0.002	—	—	—	—	—	—
2.0	0.223	0.576	0.352	0.128	0.034	0.007	0.001	—	—	—	—
3.0	-0.260	0.339	0.486	0.309	0.132	0.043	0.011	0.002	—	—	—
4.0	-0.397	-0.066	0.364	0.430	0.281	0.132	0.049	0.015	0.004	—	—
5.0	-0.177	-0.327	0.046	0.364	0.391	0.261	0.131	0.053	0.018	0.005	0.001
6.0	0.150	-0.276	-0.242	0.114	0.357	0.362	0.245	0.129	0.056	0.021	0.006
7.0	0.300	-0.004	-0.301	-0.167	0.157	0.347	0.339	0.233	0.128	0.058	0.023
8.0	0.171	0.234	-0.113	-0.291	-0.105	0.185	0.337	0.320	0.223	0.126	0.060
9.0	-0.090	0.245	0.144	-0.180	-0.265	-0.055	0.204	0.327	0.305	0.214	0.124
10.0	-0.245	0.045	0.254	0.058	-0.219	-0.234	-0.014	0.216	0.317	0.291	0.207

ตารางที่ 2.2.1 Bessel Function of the first kind of order n

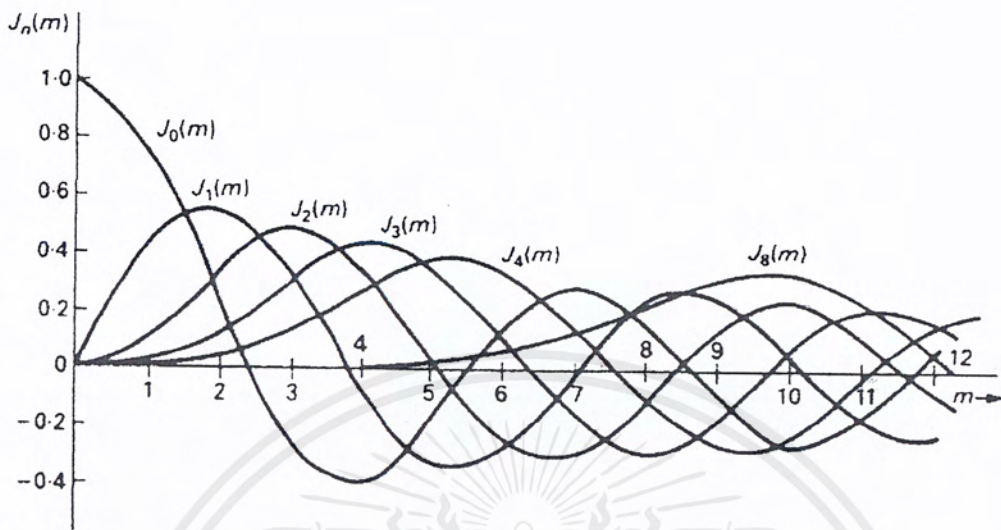
เมื่อ $J_n(\phi_m)$ คือสัมประสิทธิ์ของ Bessel Function of the first kind of order n ซึ่งโดยทั่วไปจะแสดงอยู่ในรูปของตาราง ดังตารางที่ 2.2.1 และพล็อตของ Bessel Function แสดงดังรูปที่ 2.2.2 ดังนั้น การกระจายของสเปกตรัมของสัญญาณ FM สามารถหาได้โดยการแทน (2.2.18) และ (2.2.19) ลงใน (2.2.11) ดังนี้

$$v(t) = V_c \left(\begin{aligned} &\cos \omega_c t \left[J_0(m) + 2J_2(m) \cos 2\omega_m t + 2J_4(m) \cos 4\omega_m t + \dots \right] \\ &- \sin \omega_c t \left[2J_1(m) \sin \omega_m t + 2J_3(m) \sin 3\omega_m t + \dots \right] \end{aligned} \right) \quad (2.2.20)$$

และจาก

$$\cos A \cos B = \frac{1}{2} \left[\cos(A - B) + \cos(A + B) \right]$$

เอกสารนี้เป็นเอกสารที่สงวนไว้สำหรับการใช้ภายในเพื่อการศึกษาเท่านั้น ไม่อนุญาตให้นำไปใช้ประโยชน์ด้านการค้าไม่ว่ากรณีใดๆ ทั้งสิ้น อีกทั้งห้ามมิให้ดัดแปลงเนื้อหาและต้องอ้างอิงถึงเจ้าของเอกสารทุกครั้งที่มีการนำไปใช้



รูปที่ 2.2.2 พล็อตของสัมประสิทธิ์ของ Bessel function ที่ดัชนีมอดคูลค่าต่าง ๆ

เราจะได้สมการ

$$v(t) = V_c \left\{ \begin{aligned} &J_0(m) \cos \omega_c t - J_1(m) [\cos(\omega_c - \omega_m)t - \cos(\omega_c + \omega_m)t] \\ &+ J_2(m) [\cos(\omega_c - 2\omega_m)t + \cos(\omega_c + 2\omega_m)t] \\ &- J_3(m) [\cos(\omega_c - 3\omega_m)t - \cos(\omega_c + 3\omega_m)t] \end{aligned} \right\} \quad 2.2.21$$

สมการที่ (2.2.21) แสดงให้เห็นว่า สัญญาณ FM จะประกอบด้วยเทอมของพาหะ $J_0(m) \cos \omega_c t$ และไซด์แบนด์จำนวนนับอนันต์ ดังนี้

เทอม

$$V_c J_1(m) [\cos(\omega_c - \omega_m)t - \cos(\omega_c + \omega_m)t] \quad \text{คือ ไซด์แบนด์คู่ที่แรก}$$

เทอม

$$V_c J_2(m) [\cos(\omega_c - 2\omega_m)t + \cos(\omega_c + 2\omega_m)t] \quad \text{คือ ไซด์แบนด์คู่ที่สอง}$$

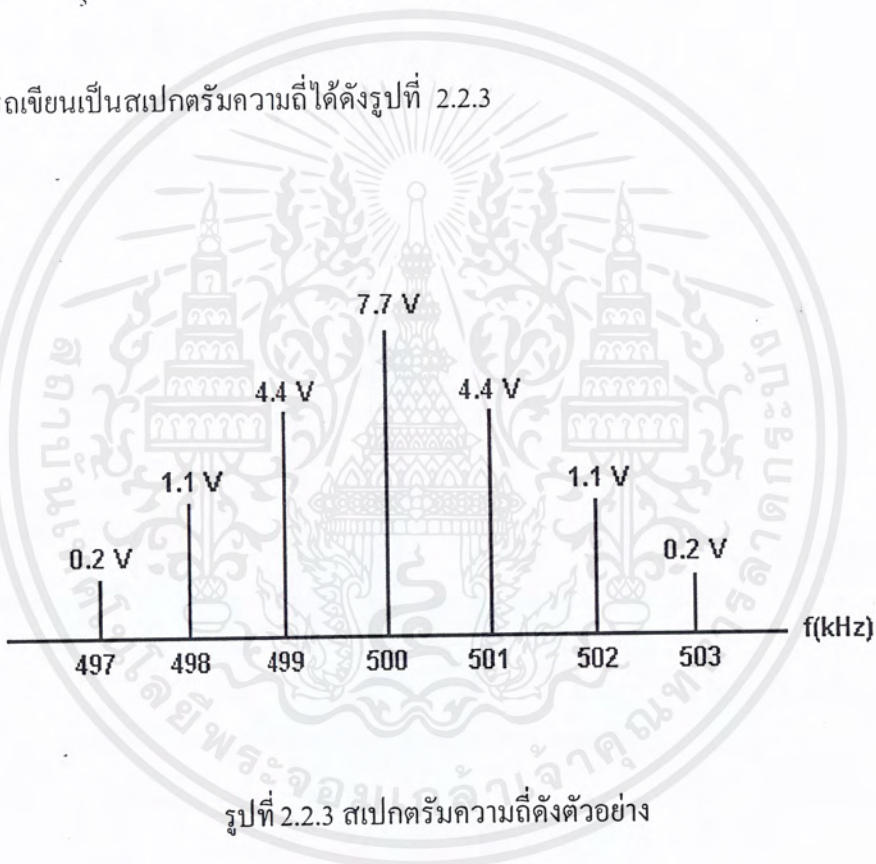
และต่อ ๆ ไป

เอกสารนี้เป็นเอกสารที่สงวนไว้สำหรับการใช้งานเพื่อการศึกษาเท่านั้น ไม่อนุญาตให้นำไปใช้ประโยชน์ด้านการค้าไม่ว่ากรณีใดๆ ทั้งสิ้น อีกทั้งห้ามมิให้ตัดแปลงเนื้อหาและต้องอ้างอิงถึงเจ้าของเอกสารทุกครั้งที่มีการนำไปใช้

ตัวอย่างเช่น FM modulator ตัวหนึ่ง มีดัชนีการมอดดูเลท $m = 1$ และมีสัญญาณที่นำมามอดดูเลท $v_m(t) = V_m \sin(2\pi 1000t)$ และ สัญญาณพาหะ $v_c(t) = 10 \sin(2\pi 5 \times 10^5 t)$ จากตาราง 2.2.1 จะเห็นสเปกตรัมความถี่ของคลื่น FM ที่ $m = 1$ มีจำนวนไซด์แบนด์เท่ากับ 3 คู่ และขนาดของความถี่พาหะ ความถี่ของแต่ละไซด์แบนด์คือ

$$\begin{aligned} J_0 &= 0.77 (10) = 7.7 \text{ V} \\ J_1 &= 0.44 (10) = 4.4 \text{ V} \\ J_2 &= 0.11 (10) = 1.1 \text{ V} \\ J_3 &= 0.02 (10) = 0.2 \text{ V} \end{aligned}$$

และสามารถเขียนเป็นสเปกตรัมความถี่ได้ดังรูปที่ 2.2.3



รูปที่ 2.2.3 สเปกตรัมความถี่ดังตัวอย่าง

2.2.3 แบนด์วิดท์สำหรับคลื่น FM

(Bandwidth Requirements for Frequency modulated waves)

แบนด์วิดท์ของคลื่น FM เป็นฟังก์ชันของความถี่ของสัญญาณที่นำมามอดดูเลทและดัชนีการมอดดูเลท โดยทั่วไปคลื่น FM จะถูกแบ่งออกเป็น 3 ประเภท คือ

1. คลื่น FM ดัชนีต่ำ (Low-index FM wave) คือ คลื่น FM ที่มีดัชนีการมอดดูเลท น้อยกว่า 1
2. คลื่น FM ดัชนีสูง (High-index FM wave) คือ คลื่น FM ที่มีดัชนีการมอดดูเลท มากกว่า 10
3. คลื่น FM ดัชนีปานกลาง (Medium-index FM wave) คือ คลื่น FM ที่มีดัชนีการมอดดูเลท

ในช่วง 1 ถึง 10

เอกสารนี้เป็นเอกสารที่สงวนไว้สำหรับการใช้งานเพื่อการศึกษาเท่านั้น ไม่อนุญาตให้นำไปใช้ประโยชน์ด้านการค้าไม่ว่ากรณีใดๆ ทั้งสิ้น อีกทั้งห้ามมิให้ตัดแปลงเนื้อหาและต้องอ้างอิงถึงเจ้าของเอกสารทุกครั้งที่มีการนำไปใช้

แบนด์วิดท์ที่ต่ำที่สุดที่ทำให้ไซด์แบนด์ที่มีนัยสำคัญของคลื่น FM ผ่านไปได้เท่ากับสองเท่าของผลคูณของความถี่ที่สูงที่สุดของสัญญาณที่นำมามอดคูเลทกับจำนวนของ side band ที่มีนัยสำคัญ ซึ่งหาได้จากตารางของ Bessel function หรือเขียนได้เป็น

$$B = 2(n \times f_m) \quad \text{เฮิร์ตซ} \quad (2.2.22)$$

เมื่อ

$$n = \text{จำนวน ของ side band ที่มีนัยสำคัญ}$$

$$f_m = \text{ความถี่ของสัญญาณที่นำมามอดคูเลท}$$

ซึ่ง B ในสมการ (2.2.22) คือ แบนด์วิดท์ที่ต่ำที่สุดที่สามารถส่งผ่านคลื่น FM ได้แต่ J.R. Carson ได้ทำการประมาณค่าของแบนด์วิดท์ของคลื่น FM โดยไม่สนใจดัชนีการมอดคูเลท และเรียกว่า Carson's Rule และกล่าวไว้ว่า “แบนด์วิดท์ที่ต่ำที่สุดโดยประมาณของคลื่น FM เท่ากับสองเท่าของผลรวมของ peak frequency deviation และความถี่สูงสุดของสัญญาณที่นำมามอดคูเลท” หรือ

$$B = 2[\Delta f + f_{m(\max)}] \quad \text{เฮิร์ตซ} \quad (2.2.23)$$

เมื่อ

$$\Delta f = \text{peak frequency deviation (เฮิร์ตซ)}$$

$$f_{m(\max)} = \text{ความถี่สูงสุดของสัญญาณที่นำมามอดคูเลท (เฮิร์ตซ)}$$

พิจารณา 2 กรณีพิเศษ ดังนี้

1. เมื่อดัชนีการมอดคูเลทมีค่าต่ำ ๆ นั่นคือ $f_{m(\max)}$ มากกว่า Δf มาก ๆ จากสมการที่ (2.2.23) จะได้

$$B = 2 f_{m(\max)} \quad (2.2.24)$$

นั่นคือ แบนด์วิดท์ที่ต้องการมีค่าประมาณ 2 เท่า ของ ความถี่สูงสุดของสัญญาณที่นำมามอดคูเลท และเรียกระบบ FM ที่มีดัชนีการมอดคูเลทต่ำ ๆ นี้ว่า Narrowband FM ซึ่งในระบบนี้ ข้อมูลของสัญญาณส่วนใหญ่จะถูกนำพาไปโดย sideband คู่แรก

2. เมื่อดัชนีการมอดคูเลทมีค่าสูง ๆ นั่นคือ Δf มากกว่า $f_{m(\max)}$ มาก ๆ จากสมการที่ (2.2.23) จะได้

เอกสารนี้เป็นเอกสารที่สงวนลิขสิทธิ์ไว้สำหรับครูและนักเรียนเพื่อการศึกษาเท่านั้น ไม่อนุญาตให้นำไปใช้ (2.2.25) หน้าที่ 1 จาก 1 หน้า
ไม่ว่ากรณีใดๆ ทั้งสิ้น อีกทั้งห้ามมิให้ตัดแปลงเนื้อหาและต้องอ้างอิงถึงเจ้าของเอกสารทุกครั้งที่มีการนำไปใช้

นั่นคือ แบนด์วิดท์ที่ต้องการมีค่าประมาณ 2 เท่า ของ peak frequency deviation

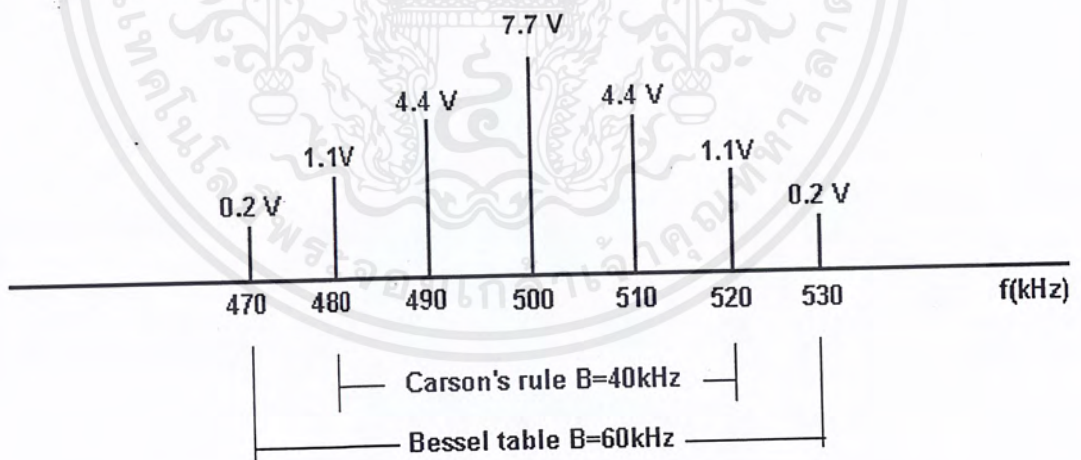
พิจารณาการหาแบนด์วิดท์ของคลื่นของ FM ของ FM modulator ที่มี peak frequency deviation $\Delta f = 10 \text{ KHz}$, $V_c = 10 \text{ V}$ และความถี่พาหะเท่ากับ 500 KHz เมื่อนำไปหาแบนด์วิดท์ที่ต่ำที่สุดโดยหาจากรายของ Bessel function จะได้

$$B = 60 \text{ KHz}$$

และเมื่อหาโดยใช้ Carson's Rule จะได้

$$B = 40 \text{ KHz}$$

และแสดงดังรูปที่ 2.2.4 ซึ่งจะเห็นว่าแบนด์วิดท์ที่ได้จาก Carson's Rule จะมีค่าต่ำกว่าค่าที่ได้จากการหาด้วยตารางของ Bessel table อันที่จริงแบนด์วิดท์จาก Carson's Rule จะส่งผ่านกำลังงานของคลื่น FM ออกไปประมาณ 98 % ของกำลังงานทั้งหมด ดังนั้นระบบที่ออกแบบโดยใช้ Carson's Rule จะมีประสิทธิภาพต่ำกว่า อย่างไรก็ตาม ที่ดัชนีการมอดคูเลทมากกว่า 5 การประมาณด้วย Carson's Rule จะมีค่าใกล้เคียงกับแบนด์วิดท์ที่ต้องการจริงๆ



รูปที่ 2.2.4 เปรียบเทียบสเปกตรัมความถี่ระหว่าง Carson's rule กับ Bessel table

อัตราส่วนการเบี่ยงเบน (Deviation Ratio : DR) คือ ดัชนีการมอดคูเลทที่เลวร้ายที่สุดที่จะเกิดขึ้น และมีค่าเท่ากับ peak frequency deviation สูงสุดหารด้วยความถี่ของสัญญาณที่นำมามอดคูเลทสูงสุด นั่นคือ

$$DR = \frac{\Delta f_{(max)}}{f_{m(max)}} \quad (2.2.26)$$

เมื่อ DR = อัตราส่วนการเบี่ยงเบน (ไม่มีหน่วย)

$\Delta f_{m(max)}$ = peak frequency deviation สูงสุด (เฮิร်ทซ์)

$f_{m(max)}$ = ความถี่ของสัญญาณที่นำมามอดคูเลทสูงสุด (เฮิร်ทซ์)

อย่างเช่น กรณีของสถานีโทรทัศน์ FCC ได้กำหนดสัญญาณเสียงให้มี peak frequency deviation สูงสุด เท่ากับ 50 KHz และกำหนดความถี่สูงสุดของสัญญาณที่นำมามอดคูเลท ไว้ที่ 15 KHz ดังนี้

$$DR = \frac{50 \text{ KHz}}{15 \text{ KHz}} = 3.33$$

ซึ่งในที่นี้ไม่ได้หมายความว่า เมื่อดัชนีการมอดคูเลทเท่ากับ 3.33 เกิดขึ้น จะทำให้แบนด์วิดท์มีค่ากว้างที่สุด แต่หมายความว่า เมื่อดัชนีการมอดคูเลทเท่ากับ 3.33 เกิดขึ้นที่ความถี่สูงสุดของสัญญาณที่นำมามอดคูเลท จะทำให้แบนด์วิดท์กว้างมากที่สุด

2.2.4 กำลังงานเฉลี่ยของคลื่น FM

ความแตกต่างที่สำคัญอีกอย่างหนึ่งระหว่างการมอดคูเลทเชิงความถี่กับการมอดคูเลทเชิงขนาดคือ การกระจายของกำลังงานในคลื่นที่ถูกมอดคูเลทแล้ว คลื่น FM จะแตกต่างกับคลื่น AM คือ กำลังงานรวมในคลื่น FM จะเท่ากับกำลังงานคลื่นพาหะที่ยังไม่ได้มอดคูเลท (นั่นคือ sideband ไม่ได้เพิ่มกำลังงานให้กับ composite modulated signal) ดังนั้นในการมอดคูเลทเชิงความถี่ กำลังงานที่มีอยู่เดิมในคลื่นพาหะที่ยังไม่ได้มอดคูเลท จะกระจายอยู่ในความถี่พาหะ และ sideband เมื่อผ่านการมอดคูเลทแล้ว ซึ่งเราอาจกล่าวได้ว่า กำลังงานเฉลี่ยของคลื่น FM ไม่ได้ขึ้นอยู่กับสัญญาณที่นำมามอดคูเลท , ดัชนีการมอดคูเลท และการเบี่ยงเบนของความถี่แต่กำลังงานเฉลี่ยของคลื่น FM จะเท่ากับกำลังงานเฉลี่ยของสัญญาณพาหะที่ยังไม่ได้มอดคูเลท กำลังงานเฉลี่ยในสัญญาณพาหะที่ยังไม่ได้มอดคูเลท คือ

$$P_c = \frac{V_c^2}{2R} \quad (\text{วัตต์}) \quad (2.2.27)$$

เมื่อ P_c = กำลังงานของคลื่นพาหะ (วัตต์)

V_c = แรงดันพีคของคลื่นพาหะที่ยังไม่ได้มอดคูเลท (โวลท์)

R = ความต้านทานโหลด (โอห์ม)

เอกสารนี้เป็นเอกสารที่สงวนไว้สำหรับการใช้งานเพื่อการศึกษาเท่านั้น ไม่อนุญาตให้นำไปใช้ประโยชน์ด้านการค้าไม่ว่ากรณีใดๆ ทั้งสิ้น อีกทั้งห้ามมิให้ตัดแปลงเนื้อหาและต้องอ้างอิงถึงเจ้าของเอกสารทุกครั้งที่มีการนำไปใช้

และกำลังงานรวมในคลื่น FM คือ

$$P_t = \frac{m^2(t)}{R} \quad (\text{วัตต์}) \quad (2.2.28)$$

แทน $m(t) = V_c \cos [\omega_c t + \theta(t)]$ จะได้

$$\begin{aligned} P_t &= \frac{V_c^2}{R} \cos^2 [\omega_c t + \theta(t)] \\ &= \frac{V_c^2}{R} \left\{ \frac{1}{2} + \frac{1}{2} \cos [2\omega_c t + 2\theta(t)] \right\} \end{aligned} \quad (2.2.29)$$

ในสมการที่ (2.2.29) ค่ากำลังงานเฉลี่ยในเทอมที่สองเท่ากับศูนย์ ดังนั้น กำลังงานเฉลี่ยของคลื่นพาหะที่มอดคูเลทแล้ว คือ

$$P_t = \frac{V_c^2}{2R} \quad (\text{วัตต์}) \quad (2.2.30)$$

ซึ่งจะเห็นว่า สมการที่ (2.2.27) และ (2.2.28) มีค่าเท่ากัน ดังนั้น กำลังงานเฉลี่ยของสัญญาณพาหะที่มอดคูเลทแล้ว จะเท่ากับ กำลังงานเฉลี่ยของสัญญาณพาหะที่ยังไม่มอดคูเลท กำลังงานเฉลี่ยของสัญญาณพาหะที่มอดคูเลทแล้ว จะเท่ากับผลรวมของกำลังงานของความถี่พาหะกับ side band นั่นคือ

$$\begin{aligned} P_t &= P_0 + P_1 + P_2 + P_3 + \dots + P_n \\ &= \frac{V_c^2}{2R} + \frac{2V_1^2}{2R} + \frac{2V_2^2}{2R} + \frac{2V_3^2}{2R} + \dots + \frac{2V_n^2}{2R} \end{aligned} \quad (2.2.31)$$

- เมื่อ
- P_t = กำลังงานรวม
 - P_0 = กำลังงานของความถี่พาหะ
 - P_1 = กำลังงานใน side band แรก
 - P_2 = กำลังงานใน side band ที่สอง
 - P_3 = กำลังงานใน side band ที่สาม
 - P_n = กำลังงานใน side band ที่ n

ตัวอย่างเช่น สมมติให้ สัญญาณพาหะ ของ FM modulator ตัวหนึ่งคือ $v_c(t) = 10 \sin (2\pi \times 10^6 t)$ และสมมติให้ความต้านทานโหลด $R_L = 50 \Omega$ เราสามารถหากำลังงานเฉลี่ยของสัญญาณพาหะที่ยังไม่มอดคูเลทนี้ได้เป็น

เอกสารนี้เป็นเอกสารที่สงวนไว้สำหรับการใช้งานเพื่อการศึกษาเท่านั้น ไม่อนุญาตให้นำไปใช้ประโยชน์ด้านการค้าไม่ว่ากรณีใดๆ ทั้งสิ้น อีกทั้งห้ามมิให้ตัดแปลงเนื้อหาและต้องอ้างอิงถึงเจ้าของเอกสารทุกครั้งที่มีการนำไปใช้

$$P_c = \frac{10^2}{2(50)} = 1W$$

และเมื่อสัญญาณพาหะดังกล่าวถูกมอดูเลท เราสามารถหาค่ากำลังงานเฉลี่ยของคลื่นที่ถูก มอดูเลทแล้วได้เป็น

$$\begin{aligned} P_t &= \frac{(7.7)^2}{2(50)} + \frac{2(4.4)^2}{2(50)} + \frac{2(1.1)^2}{2(50)} + \frac{2(0.2)^2}{2(50)} \\ &= 0.5929 + 0.3872 + 0.0242 + 0.0008 \\ &= 1.0051 W \end{aligned}$$

ซึ่งจะเห็นว่าค่าที่หาได้ทั้งสองไม่ได้เท่ากันพอดี เนื่องจากค่าที่ได้จากตาราง Bessel Function เป็นค่าที่ถูกปัดเศษแล้ว แต่อย่างไรก็ตาม ผลที่ได้ก็ใกล้เคียงกันจนสามารถแสดงให้เห็นได้ว่า กำลังงานของสัญญาณพาหะที่มอดูเลทแล้วเท่ากับกำลังงานของสัญญาณพาหะที่ยังไม่มอดูเลท

2.3 เฟสล็อกคูลูป

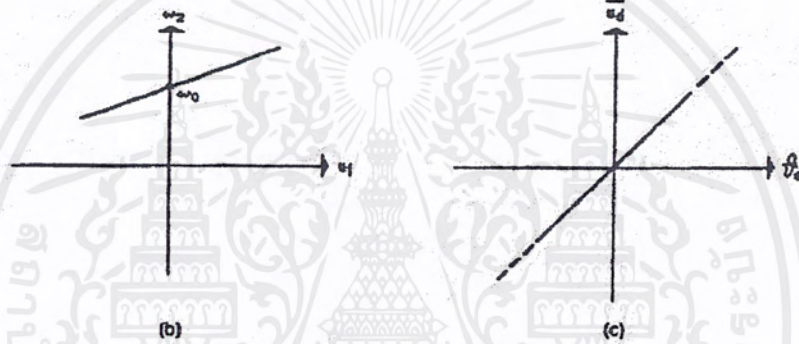
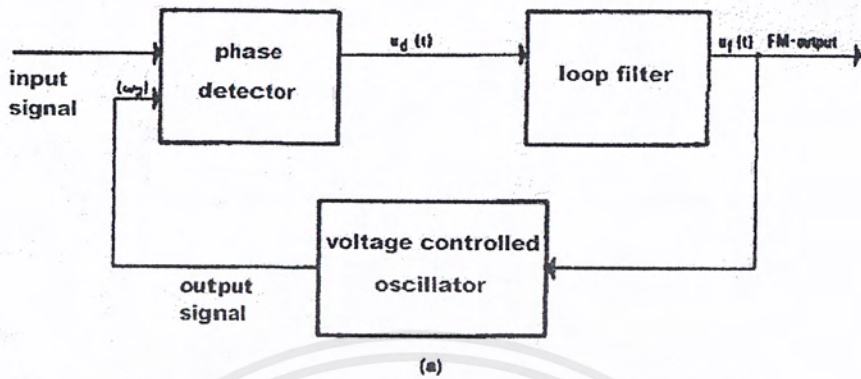
2.3.1 พื้นฐานของเฟสล็อกคูลูป

เฟสล็อกคูลูป (Phase Locked Loop) คือ วงจรที่จะทำการซิงโครไนซ์ (synchronize) ความถี่หรือ เฟสของสัญญาณเอาท์พุท (ที่ผลิตโดยออสซิลเลเตอร์) กับสัญญาณอ้างอิงหรือสัญญาณอินพุท เมื่อ ซิงโครไนซ์กันแล้ว ซึ่งมักจะเรียกว่า อยู่ในสภาวะล็อก (lock state) ความแตกต่างระหว่างเฟสของสัญญาณเอาท์พุทจากออสซิลเลเตอร์ กับสัญญาณอ้างอิงจะมีค่าเท่ากับศูนย์หรือน้อยมาก

บล็อกไดอะแกรมของ PLL แสดงดังรูปที่ 2.3.1(a) ซึ่งประกอบไปด้วย บล็อกการทำงานพื้นฐานดังนี้

1. ออสซิลเลเตอร์ที่ควบคุมด้วยแรงดัน (Voltage - Controlled Oscillator :VCO)
2. เฟสดีเทคเตอร์ (Phase Detector : PD)
3. ลูปฟิลเตอร์ (Loop Filter : LF)

วงจรเฟสล็อกคูลูปบางวงจรจะใช้ออสซิลเลเตอร์ที่ควบคุมด้วยกระแส (current- controlled oscillator : CCO) แทนที่จะใช้ออสซิลเลเตอร์ที่ควบคุมด้วยแรงดัน ในกรณีนี้สัญญาณเอาท์พุทของเฟสดีเทคเตอร์ จะเป็นแหล่งจ่ายกระแส แทนที่จะเป็นแหล่งจ่ายแรงดัน อย่างไรก็ตาม หลักการทำงานก็ยังคงเหมือนกัน



รูปที่ 2.3.1 (a) บล็อกไดอะแกรมของเฟสล็อกคูลูป
 (b) ทรานสเฟอร์ฟังก์ชันของ VCO
 (c) ทรานสเฟอร์ฟังก์ชันของเฟสดีเทคเตอร์

ก่อนที่จะกล่าวถึง หลักการทำงานของ PLL จะขอกำหนดสัญญาณต่าง ๆ ใน PLL ดังต่อไปนี้

- สัญญาณอ้างอิง (หรือสัญญาณอินพุท) $U_1(t)$
- ความถี่เชิงมุม ω_1 ของสัญญาณอ้างอิง
- สัญญาณเอาต์พุท $U_2(t)$ ของ VCO
- ความถี่เชิงมุม ω_2 ของสัญญาณเอาต์พุท
- สัญญาณเอาต์พุท $U_d(t)$ ของเฟสดีเทคเตอร์
- สัญญาณเอาต์พุท $U_f(t)$ ของ ลูปฟิลเตอร์
- ความต่างเฟส (phase error) θ_e นิยามเป็น ความต่างเฟส ระหว่างสัญญาณ $U_1(t)$ และ $U_2(t)$

เอกสารนี้เป็นเอกสารที่สงวนไว้สำหรับการใช้งานเพื่อการศึกษาเท่านั้น ไม่อนุญาตให้นำไปใช้ประโยชน์ด้านการค้าไม่ว่ากรณีใดๆ ทั้งสิ้น อีกทั้งห้ามมิให้ตัดแปลงเนื้อหาและต้องอ้างอิงถึงเจ้าของเอกสารทุกครั้งที่มีการนำไปใช้

จากบล็อกไดอะแกรมของเฟสล็อกคัลป์ VCO จะผลิตความถี่ที่ความถี่เชิงมุม ω_2 ซึ่งกำหนดโดยสัญญาณเอาต์พุตของลูปฟิลเตอร์ หรือเขียนเป็นสมการได้เป็น

$$\omega_2(t) = \omega_0 + K_0 U_f(t) \quad (2.3.1)$$

เมื่อ ω_0 คือความถี่(เชิงมุม)กลางของ VCO และ K_0 คือ เกนของ VCO (VCO GAIN) มีหน่วยเป็น $S^{-1}V^{-1}$ สมการ (2.3.1) สามารถพลอตเป็นกราฟได้ ดังรูป 2.3.1(b)

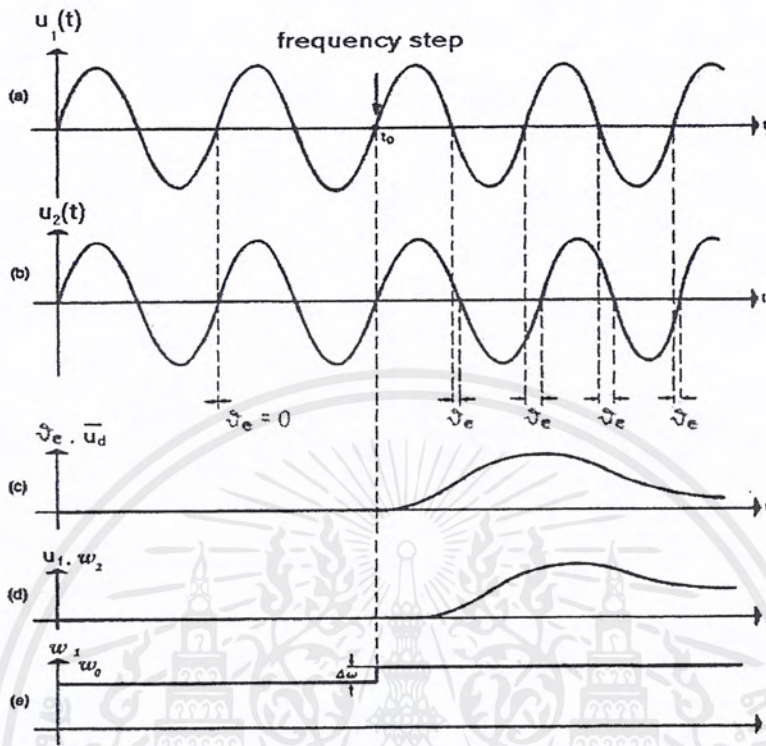
เฟสดีเทคเตอร์(หรือ อาจจะเรียกว่า เฟสคอมพาราเตอร์) จะทำหน้าที่เปรียบเทียบเฟสของสัญญาณเอาต์พุต กับเฟสของสัญญาณอ้างอิง และทำให้เกิดสัญญาณเอาต์พุต $U_d(t)$ ซึ่งเป็นสัดส่วนโดยประมาณกับความต่างเฟส θ_e เขียนเป็นสมการได้เป็น

$$U_d(t) = K_d \theta_e \quad (2.3.2)$$

เมื่อ K_d คือ เกนของเฟสดีเทคเตอร์ มีหน่วยเป็น $V \text{ rad}^{-1}$

สัญญาณเอาต์พุตของเฟสดีเทคเตอร์ จะเป็นสัญญาณ ac ที่ซึ่(superimposed) อยู่บนส่วนประกอบทาง dc แต่สัญญาณ ac เป็นสิ่งที่ไม่ต้องการ (เราต้องการสัญญาณ dc ที่ไม่มีริบเบิ้ล ไปป้อนให้กับ VCO เพื่อผลิตความถี่ที่คงที่ค่าใดค่าหนึ่ง) ดังนั้นลูปฟิลเตอร์จะทำหน้าที่กำจัดสัญญาณ ac ออกไป ซึ่งโดยทั่วไปจะใช้วงจรกรองความถี่ต่ำผ่านอันดับที่หนึ่ง (first-order lowpass filter) ซึ่งจะได้กล่าวถึงในส่วนต่อไป

ต่อไปพิจารณาการทำงาน โดยรวมของเฟสล็อกคัลป์ อันดับแรก สมมติให้ความถี่เชิงมุม ω_1 ของสัญญาณอินพุต $U_i(t)$ เท่ากับความถี่กลาง ω_0 ในสภาวะนี้ VCO จะทำงานโดยผลิตความถี่ที่ความถี่กลางของมัน และจะเห็นว่าความต่างเฟส θ_e เท่ากับศูนย์ สัญญาณเอาต์พุต $U_d(t)$ ของเฟสดีเทคเตอร์จะเป็นศูนย์ด้วย ดังนั้นสัญญาณเอาต์พุตของลูปฟิลเตอร์ U_f จะเท่ากับศูนย์ ซึ่งสภาวะที่ความถี่อินพุต ω_1 เท่ากับความถี่กลางของ VCO นี้เป็นเงื่อนไขที่ทำให้ VCO ผลิตความถี่ที่ความถี่กลางของ VCO



รูปที่ 2.3.2 ผลตอบสนองทรานเซียนของเฟสล็อกคิวนเนื่องมาจากการเปลี่ยนแปลงความถี่ของสัญญาณอ้างอิง

- สัญญาณอ้างอิง
- สัญญาณเอาต์พุต $U_1(t)$ ของ VCO
- สัญญาณ $U_d(t)$ ซึ่งเป็นฟังก์ชันของเวลา
- ความถี่เชิงมุม ω_2 ของ VCO ซึ่งเป็นฟังก์ชันของเวลา
- ความถี่เชิงมุม ω_1 ของสัญญาณอ้างอิง $U_1(t)$

สมมติให้ในสถานะเริ่มต้นความต่างเฟส θ_e ไม่เท่ากับศูนย์ สัญญาณเอาต์พุตของเฟสดีเทคเตอร์ $U_d(t)$ ก็จะไม่เท่ากับศูนย์ หลังจากช่วงเวลาหนึ่ง สัญญาณเอาต์พุตของลูปฟิลเตอร์ก็จะมีค่าหนึ่งๆ (ที่ไม่เท่ากับศูนย์) ทำให้ VCO ผลิตความถี่ขึ้นมาค่าหนึ่ง ซึ่งในที่สุดจะทำให้ความต่างเฟส θ_e เท่ากับศูนย์

ต่อไปสมมติให้ความถี่ของสัญญาณอินพุตเปลี่ยนแปลงอย่างทันทีทันใดที่เวลา t_0 เป็นจำนวน $\Delta\omega$ ดังแสดงในรูปที่ 2.3.2 ซึ่งจะทำให้เฟสของสัญญาณอินพุตเริ่มที่จะนำ (leading) เฟสของสัญญาณเอาต์พุต และทำให้เกิดความต่างเฟสขึ้นและเพิ่มขึ้นตามเวลา ทำให้สัญญาณเอาต์พุต $U_d(t)$ ของเฟสดีเทคเตอร์เพิ่มขึ้นตามเวลาด้วย หลังจากช่วงเวลาหนึ่งที่กำหนดโดยลูปฟิลเตอร์ เอกสารนี้เป็นเอกสารที่สงวนไว้สำหรับการใช้งานเพื่อการศึกษาเท่านั้น ไม่นอนุญาตให้นำไปใช้ประโยชน์ทางการค้า ไม่ว่าจะกรณีใดๆ ทั้งสิ้น อีกทั้งห้ามมิให้ตัดแปลงเนื้อหาและต้องอ้างอิงถึงเจ้าของเอกสารทุกครั้งที่มีการนำไปใช้

สัญญาณเอาต์พุต $U_r(t)$ ของลูปฟิลเตอร์ก็จะเพิ่มขึ้นและมีผลทำให้ VCO ผลิตความถี่ที่สูงขึ้น ซึ่งจะทำให้ความต่างเฟสมีค่าน้อยลง หลังจากช่วงเวลาหนึ่ง VCO ก็จะผลิตความถี่ที่เท่ากับความถี่ของสัญญาณอินพุต ค่าความต่างเฟสในสภาวะล๊อค จะมีค่าเท่ากับศูนย์หรือค่าใดค่าหนึ่ง ขึ้นอยู่กับชนิดของลูปฟิลเตอร์ที่ใช้

จะเห็นว่าในขณะนี้ VCO จะผลิตความถี่ซึ่งมากกว่าความถี่กลาง ω_0 ของ VCO เป็นจำนวน $\Delta\omega$ ซึ่งจะทำให้สุดท้ายสัญญาณ $U_r(t)$ มีค่า $U_r = \Delta\omega / K_0$ ถ้าความถี่กลางของสัญญาณอินพุตถูกมอดูเลตทางความถี่ (frequency modulated) โดยสัญญาณความถี่ต่ำใด ๆ แล้ว สัญญาณเอาต์พุตของลูปฟิลเตอร์จะเป็นสัญญาณที่ถูกดีมอดูเลตแล้ว (demodulated signal) ดังนั้นเราอาจใช้ PLL เป็น FM ดีเทคเตอร์ได้ การพิจารณาอย่างง่าย ๆ ที่ผ่านมานี้ แสดงให้เห็นว่า เฟสล๊อคลูปไม่มีอะไรซับซ้อน เป็นเพียงแค่ระบบเซอร์โว (servo system) ซึ่งควบคุมเฟสของสัญญาณเอาต์พุต $U_2(t)$

ดังได้แสดงมาแล้วในรูปที่ 2.3.2 PLL จะทำให้เฟสของสัญญาณเอาต์พุตเท่ากับเฟสของสัญญาณอินพุตเสมอ ระบบนี้จะล๊อคอยู่ตลอดเวลา อย่างไรก็ตามในบางกรณีที่มีความถี่ของสัญญาณอินพุตเปลี่ยนแปลงไปมากอย่างทันทีทันใด อาจทำให้ระบบ “ไม่ล๊อค” ได้ ซึ่งกลไกภายในของเฟสล๊อคลูปจะพยายามกลับมาอยู่ที่สภาวะล๊อคอีกครั้ง แต่จะล๊อคได้หรือไม่ ขึ้นอยู่กับเงื่อนไขต่าง ๆ ซึ่งจะได้กล่าวต่อไป โดยพื้นฐานแล้วมีปัญหา 2 อย่าง ที่จะต้องพิจารณาใน PLL คือ

- PLL อยู่ในสภาวะล๊อคตั้งแต่เริ่มต้น เงื่อนไขใดที่จะทำให้ PLL ยังคงล๊อคต่อไป ?
- ในสภาวะแรก PLL ไม่ได้ล๊อค เงื่อนไขใดที่จะทำให้ PLL ล๊อคอีกครั้งคือ ?

การแบ่งประเภทของ PLL

เฟสล๊อคลูปได้ถูกคิดค้นขึ้นมาครั้งแรกตั้งแต่ ก่อนปี ค.ศ. 1932 โดยวิศวกรชาวฝรั่งเศสชื่อ de Bellescize ซึ่งเขาได้รับการยกย่องว่าเป็น ผู้คิดค้น “coherent communication” เฟสล๊อคลูป ถูกนำมาใช้อย่างแพร่หลายในทางอุตสาหกรรมเมื่อมันถูกผลิตมาในรูปแบบของวงจรรวมแล้ว ไอซีเฟสล๊อคลูปตัวแรกเกิดขึ้นราว ๆ ปี ค.ศ. 1965 และเป็นอุปกรณ์อะนาลอกล้วน ๆ โดยใช้ analog multiplier (four – quadrant multiplier) เป็นเฟสดีเทคเตอร์ และลูปฟิลเตอร์ใช้วงจรกรองความถี่ RC แบบพาสซีฟหรือแอคทีฟ และใช้ ออสซิลเลเตอร์ที่ควบคุมด้วยแรงดัน (VCO) ในการผลิตความถี่เอาต์พุตของเฟสล๊อคลูป ทุกวันนี้เฟสล๊อคลูปชนิดนี้เรียกว่า ลินีเยร์เฟสล๊อคลูป (Linear Phase Locked Loop : PLL) หลายปีผ่านไปเฟสล๊อคลูปไม่มีการเปลี่ยนแปลงอะไรมากนัก แต่ก็เริ่มเข้าสู่ส่วนที่เป็นดิจิทัล ดิจิตอลเฟสล๊อคลูปตัวแรกเกิดขึ้นราวปี ค.ศ. 1970 ซึ่งเป็นอุปกรณ์ผสม (hybrid device) นั่นคือ เฉพาะส่วนที่เป็นเฟสดีเทคเตอร์เท่านั้น ที่สร้างจาก

เอกสารนี้เป็นเอกสารที่สงวนไว้สำหรับการใช้งานเพื่อการศึกษาเท่านั้น ไม่นอนุญาตให้นำไปใช้ประโยชน์ทางการค้าไม่ว่ากรณีใดๆ ทั้งสิ้น อีกทั้งห้ามมิให้ตัดแปลงเนื้อหาและต้องอ้างอิงถึงเจ้าของเอกสารทุกครั้งที่มีการนำไปใช้

วงจรถิจริตอล ซึ่งสร้างมาจากเอ็กซ์คลูซีฟออร์เกท (Exclusive - OR Gate) หรือ J-K FlipFlop ส่วนที่เหลือยังคงเป็นวงจระนาลอก เฟสล็อกคูลูปชนิดนี้อาจเรียกว่า คลาสสิกคอลลิจิตอลเฟสล็อกคูลูป(Classical Digital Phase Locked Loop : DPLL) ไม่กี่ปีต่อมา ดิจิตอลเฟสล็อกคูลูปทั้งหมด (All - Digital Phase Locked Loop : ADPLL) ได้ถูกสร้างขึ้น ซึ่งทุกส่วนของวงจรเป็นดิจิตอลทั้งหมด จึงไม่มีตัวต้านทานหรือตัวเก็บประจุอยู่ในเฟสล็อกคูลูปชนิดนี้ เฟสล็อกคูลูปก็เหมือนกับวงจรรองความถี่ ซึ่งสามารถสร้างได้ด้วยซอฟต์แวร์ ในกรณีนี้การทำงานของเฟสล็อกคูลูปจะไม่เกี่ยวข้องกับฮาร์ดแวร์ (ตัวต้านทาน ตัวเก็บประจุ หรืออื่น ๆ) แต่จะเป็นโปรแกรมคอมพิวเตอร์ PLL ชนิดนี้เรียกว่า ซอฟต์แวร์เฟสล็อกคูลูป (Software Phase Lock Loop : SPPL)

ในปัจจุบัน DPLL นิยมใช้กันมาก เนื่องจากสามารถนำมาประยุกต์ใช้งานได้โดยทั่วไป มีราคาถูก ดังนั้นในที่นี้เราจะกล่าวถึงเฉพาะ DPLL เท่านั้น

2.3.2 คลาสสิกคอลลิจิตอลเฟสล็อกคูลูป (Classical Digital Phase Locked Loop)

ดังได้กล่าวมาแล้วว่าจริง ๆ แล้ว DPLL เป็นระบบผสม (hybrid system) ซึ่งสร้างมาจากวงจระนาลอกและวงจรถิจริตอล ส่วนประกอบของ DPLL ที่เป็นวงจรถิจริตอลมีเพียงส่วนเดียวคือ เฟสดีเทคเตอร์ การทำงานหลาย ๆ อย่างของ DPLL จะเหมือนกับ LPLL เนื่องจากส่วนของ ลูปฟิลเตอร์และ VCO ของ DPLL และ LPLL เหมือนกัน อย่างไรก็ตามมีพฤติกรรมบางอย่างของ DPLL แตกต่างจาก LPLL โดยสิ้นเชิง ซึ่งในหัวข้อนี้เราจะกล่าวถึง คุณสมบัติพื้นฐานของฟังก์ชันบล็อกต่าง ๆ ที่ประกอบกันเป็น DPLL

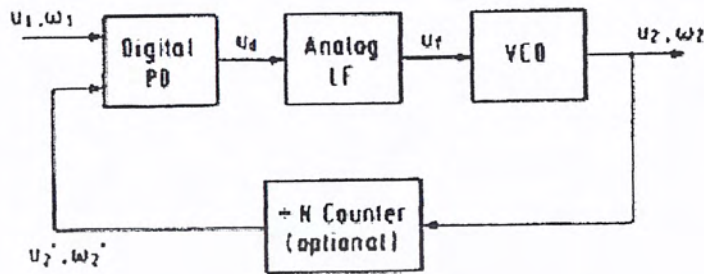
2.3.2.1 ส่วนประกอบของ DPLL (Building Block of the DPLL)

บล็อกโคเอเจอร์มของ DPLL แสดงดังรูป 2.3.3 ซึ่งประกอบด้วยฟังก์ชันบล็อกต่าง ๆ อันได้แก่

- เฟสดีเทคเตอร์ (phase detector)
- ลูปฟิลเตอร์ (Loop Filter)
- ออสซิลเลเตอร์ที่ควบคุมด้วยแรงดัน (voltage - controlled oscillator) และอีกส่วนประกอบหนึ่ง (ที่เพิ่มมาจาก LPLL) คือ
- วงจรนับหาร N (divide - by - N counter)

ซึ่งวงจรมหาร N มักจะถูกนำไปใช้ร่วมกับ DPLL ในการสังเคราะห์ความถี่ (PLL frequency synthesis) เมื่อนำวงจรมหารดังกล่าวมาใช้งาน วงจร VCO จะผลิตความถี่ขึ้นมา N เท่าของความถี่อ้างอิงเมื่อ DPLL อยู่ในสภาวะล็อก ซึ่งเราจะพิจารณาฟังก์ชัน บล็อกต่าง ๆ เหล่านี้ดังต่อไปนี้

เอกสารนี้เป็นเอกสารที่สงวนไว้สำหรับการใช้งานเพื่อการศึกษาเท่านั้น ไม่อนุญาตให้นำไปใช้ประโยชน์ด้านการค้าไม่ว่ากรณีใดๆ ทั้งสิ้น อีกทั้งห้ามมิให้ตัดแปลงเนื้อหาและต้องอ้างอิงถึงเจ้าของเอกสารทุกครั้งที่มีการนำไปใช้



รูปที่ 2.3.3 บล็อกโคอะแกรมของคิจิตอลเฟสล็อกคูลูป

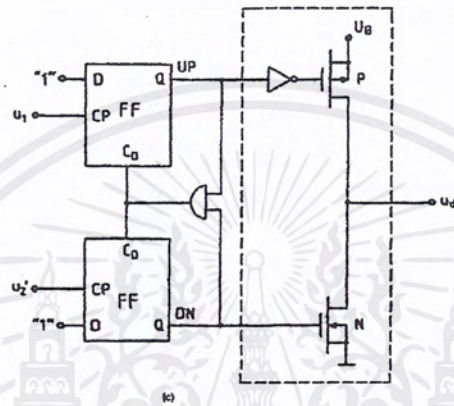
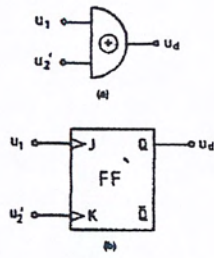
1. เฟสดีเทกเตอร์

เฟสดีเทกเตอร์ของ DPLL สร้างขึ้นมาจากวงจรถลอจิก ซึ่งเฟสดีเทกเตอร์ที่สำคัญมี 3 แบบ คือ

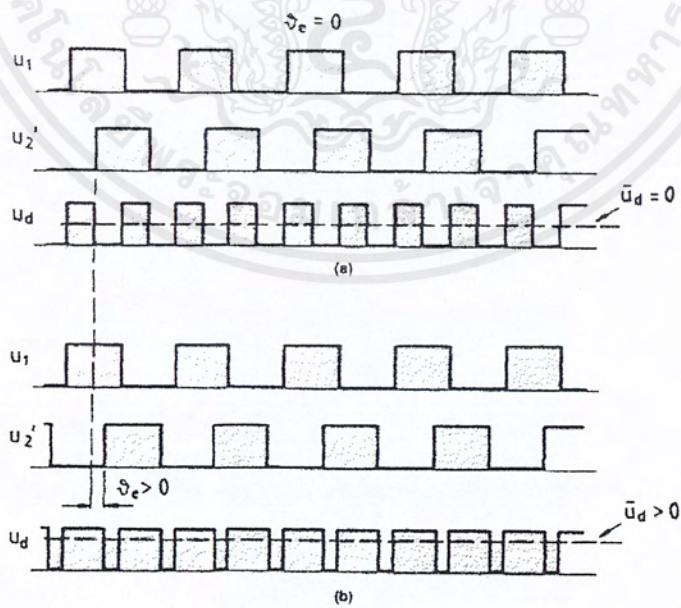
- Exclusive - OR Gate (XOR)
- JK - FlipFlop
- Phase - Frequency Detector (PFD)

เฟสดีเทกเตอร์ทั้ง 3 แบบแสดงได้ดังรูปที่ 2.3.4

อันดับแรกพิจารณา XOR เฟสดีเทกเตอร์ สัญญาณใน DPLL เป็นสัญญาณไบนารีเสมอ นั่นคือสัญญาณรูปคลื่นสี่เหลี่ยม เราจะสมมติว่าในขณะนี้สัญญาณ U_1 และ U_2 เป็นคลื่นสี่เหลี่ยมที่สมมาตร รูปที่ 2.3.5 แสดงรูปคลื่นของ XOR เฟสดีเทกเตอร์ที่ความต่างเฟส (phase error) θ_c ค่าต่าง ๆ ที่ความต่างเฟสเท่ากับศูนย์ สัญญาณ U_1 และ U_2 จะต่างเฟสกันอยู่ 90° ดังรูป 2.3.5 (a) ดังนั้น สัญญาณเอาท์พุท U_d ของเฟสดีเทกเตอร์จะเป็นคลื่นสี่เหลี่ยม ซึ่งมีความถี่เป็นสองเท่าของสัญญาณอ้างอิง คิวตี้ไซเคิล (duty cycle) ของสัญญาณ U_d จะเท่ากับ 50 เปอร์เซ็นต์ เนื่องจากส่วนประกอบทางความถี่สูงของสัญญาณ U_d จะถูกกรองออกโดยลูปฟิลเตอร์ เราจะพิจารณาเฉพาะค่าเฉลี่ยของ U_d ดังแสดงด้วยเส้นประในรูปที่ 2.3.5 (a) ค่าเฉลี่ย U_d เป็นค่าเฉลี่ยทางพีชคณิต (arithmetic mean) ของระดับสัญญาณลอจิก 2 ระดับ ถ้า XOR เฟสดีเทกเตอร์ได้รับไฟเลี้ยง



รูปที่ 2.3.4 เฟสดีเทคเตอร์ที่นิยมใช้ใน DPLL (a) XOR เฟสดีเทคเตอร์ (b) JK - FlipFlop (c) Phase - Frequency Detector



รูปที่ 2.3.5 รูปคลื่นของสัญญาณของ XOR เฟสดีเทคเตอร์

(a) รูปคลื่นที่ θ_c เท่ากับศูนย์ (b) รูปคลื่นที่ θ_c มากกว่าศูนย์

เอกสารนี้เป็นเอกสารที่สงวนไว้สำหรับการใช้งานเพื่อการศึกษาเท่านั้น ไม่นิยมนำไปใช้ประโยชน์ด้านการค้า ไม่ว่าจะกรณีใดๆ ทั้งสิ้น อีกทั้งห้ามมิให้ตัดแปลงเนื้อหาและต้องอ้างอิงถึงเจ้าของเอกสารทุกครั้งที่มีการนำไปใช้

จากแหล่งจ่ายแรงดันไม่สมมาตร (asymmetrical power supply) 5 โวลต์ (5 โวลต์ และกราวนด์) ค่าของ U_d จะมีค่าโดยประมาณเท่ากับ 2.5 โวลต์ ระดับแรงดันนี้จะถูกพิจารณาเป็น quiescent point ของ XOR เฟสดีเทคเตอร์และต่อจากนี้ไปจะแทนด้วย $U_d = 0$ เมื่อเฟสของสัญญาณเอาต์พุต U_2 ล้าหลังเฟสของสัญญาณอ้างอิง U_1 ความต่างเฟส θ_c จะมีค่าเป็นบวก ซึ่งในกรณีนี้แสดงได้ดังรูป 2.3.5 (b) ซึ่งในขณะนี้ควิตีไซเคิลของ U_d จะมากกว่า 50 เปอร์เซ็นต์ นั่นคือ ค่าเฉลี่ยของ U_d มีค่าเป็นบวก ดังแสดงโดยเส้นประในรูปคลื่น U_d จากที่ได้อธิบายมาทั้งหมดนี้ จะเห็นได้อย่างชัดเจนว่า ค่าเฉลี่ยของ U_d มีค่าสูงสุดเมื่อความต่างเฟส θ_c เท่ากับ 90° และมีค่าต่ำสุดที่ θ_c เท่ากับ -90° ถ้าเราพลอตค่าเฉลี่ยของ U_d กับความต่างเฟส θ_c เราจะได้ลักษณะของกราฟดังรูปที่ 2.3.6 (a) ซึ่งจะเห็นค่าเฉลี่ยของสัญญาณเอาต์พุต ของ XOR เฟสดีเทคเตอร์ U_d เป็นฟังก์ชันสามเหลี่ยมของความต่างเฟส θ_c และสามารถเขียนได้เป็น

$$\bar{U}_d = K_d \theta_c \quad (2.3.3)$$

ในกรณีของ XOR เฟสดีเทคเตอร์ ค่าเกนของเฟสดีเทคเตอร์ (phase detector gain) K_d เป็นค่าคงที่ เมื่อแหล่งจ่ายแรงดันของ XOR คือ U_B และ 0 ตามลำดับ และเราสมมติให้ ระดับลอจิก คือ U_B และ 0 ค่าเกนของ XOR เฟสดีเทคเตอร์ จะถูกกำหนดโดย

$$K_d = U_B / \pi \quad (2.3.4)$$

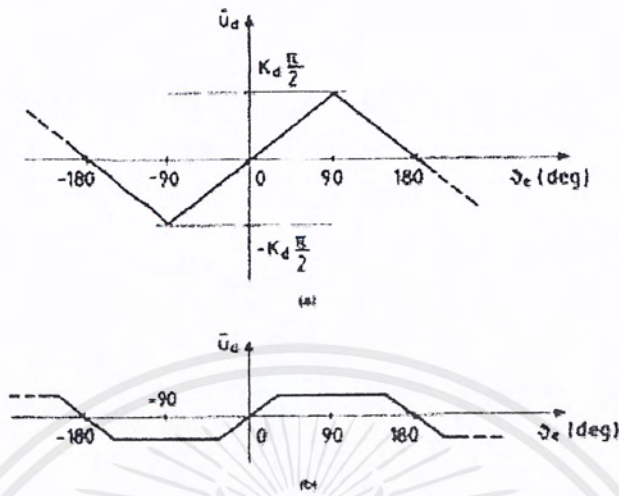
เมื่อสัญญาณเอาต์พุตของ XOR มีค่าไม่ถึงระดับของแหล่งจ่ายไฟเลี้ยง (supply rails) แต่อิ่มตัวอยู่ที่ U_{sat+} ที่สภาวะ high และที่ระดับ U_{sat-} ที่สภาวะ low ค่าของ K_d สามารถคำนวณได้จากสมการ (2.3.5)

$$K_d = \frac{(U_{sat+}) - (U_{sat-})}{\pi} \quad (2.3.5)$$

ซึ่งในทางปฏิบัติ โดยส่วนใหญ่ค่าของ K_d จะถูกระบุมาแล้วในข้อมูลของ PLL แต่ละตัว จุดอ่อนของ XOR เฟสดีเทคเตอร์ก็คือความต่างเฟส θ_c สามารถมีค่าได้อยู่ในช่วง

$$-\frac{\pi}{2} < \theta_c < \frac{\pi}{2}$$

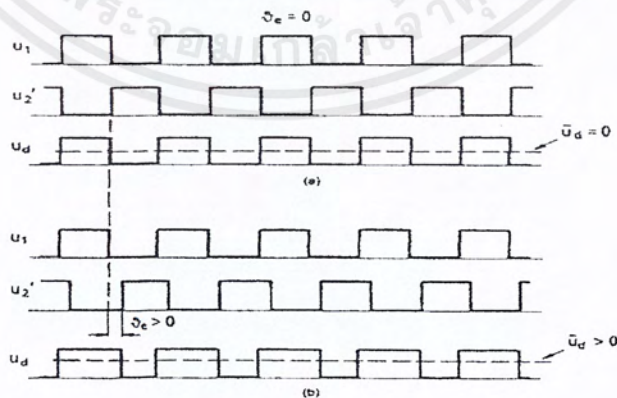
เอกสารนี้เป็นเอกสารที่สงวนไว้สำหรับการใช้งานเพื่อการศึกษาเท่านั้น ไม่อนุญาตให้นำไปใช้ประโยชน์ด้านการค้าไม่ว่ากรณีใดๆ ทั้งสิ้น อีกทั้งห้ามมิให้ตัดแปลงเนื้อหาและต้องอ้างอิงถึงเจ้าของเอกสารทุกครั้งที่มีการนำไปใช้



รูปที่ 2.3.6 พลอตค่าเฉลี่ยของ U_d กับ θ_e

- (a) U_1 และ U_2 สมมาตรกัน
- (b) U_1 และ U_2 ไม่สมมาตรกัน

ที่ยังทำให้ DPLL ทำงานได้อย่างถูกต้อง ประสิทธิภาพของ XOR เฟสดีเทคเตอร์จะลดลงเมื่อสัญญาณ U_1 และ U_2 ไม่สมมาตรกัน ซึ่งเมื่อเกิดเหตุการณ์อย่างนี้ขึ้น สัญญาณเอาต์พุต U_d จะถูกขลิบอยู่ที่ระดับหนึ่ง ดังแสดงในรูปที่ 2.3.6 (b) ซึ่งจะทำให้ลูปเกน (Loop gain) ของ DPLL ลดลง (เราจะกล่าวถึงลูปเกนในหัวข้อถัดไป) และมีผลทำให้ lock rang, pull-out rang และอื่น ๆ มีค่าน้อยตามไปด้วย



รูปที่ 2.3.7 รูปคลื่นของสัญญาณของ JK – FlipFlop เป็นเฟสดีเทคเตอร์

- (a) รูปคลื่นที่ θ_e เท่ากับศูนย์ (b) รูปคลื่นที่ θ_e มากกว่าศูนย์

เอกสารนี้เป็นเอกสารที่สงวนไว้สำหรับการใช้งานเพื่อการศึกษาเท่านั้น ไม่อนุญาตให้นำไปใช้ประโยชน์ด้านการค้าไม่ว่ากรณีใดๆ ทั้งสิ้น อีกทั้งห้ามมิให้ตัดแปลงเนื้อหาและต้องอ้างอิงถึงเจ้าของเอกสารทุกครั้งที่มีการนำไปใช้

ปัญหาความไม่สมมาตรของสัญญาณอ้างอิง และสัญญาณเอาต์พุตจะหมดไป เมื่อเราใช้ JK – FlipFlop เป็นเฟสดีเทคเตอร์ ดังรูปที่ 2.3.4 (b) ซึ่ง J-K FlipFlop ที่ใช้นี้เป็น J-K FlipFlop ที่ทำงานโดยการกระตุ้นของขอบพัลส์ (edge – triggered JK – FlipFlop) เมื่อมีขอบพัลส์บวกปรากฏขึ้นที่อินพุตเจ J-K FlipFlop จะถูกกระตุ้นให้อยู่ในสถานะ “ high ” ($Q = 1$) และเมื่อขอบพัลส์บวกปรากฏขึ้นที่อินพุตเค J-K FlipFlop จะถูกกระตุ้นให้อยู่ในสถานะ “ low ” ($Q=0$) รูปที่ 2.3.7 (a) แสดงรูปคลื่นของ J-K FlipFlop เฟสดีเทคเตอร์ ในกรณีที่ $\theta_c = 0$ เมื่อไม่มีความต่างเฟสสัญญาณ U_1 และ U_2 จะมีเฟสตรงข้ามกัน (มีเฟสต่างกัน 180°) และทำให้สัญญาณ U_d เป็นรูปคลื่นสี่เหลี่ยมที่สมมาตรซึ่งมีความถี่เท่ากับความถี่ของสัญญาณอ้างอิง ที่สภาวะนี้พิจารณาให้ U_d มีค่าเป็นศูนย์ ถ้าความต่างเฟส θ_c มีค่าเป็นบวก (รูป 2.3.7 (b)) คิวต์ไซเคิลของสัญญาณ U_d จะมีค่ามากกว่า 50 เปอร์เซ็นต์ นั่นคือ U_d มีค่าเป็นบวก ค่าของ U_d จะมีค่าสูงสุดเมื่อความต่างเฟส θ_c เท่ากับ -180° ถ้าพลอตค่าเฉลี่ยของ U_d เทียบกับความต่างเฟส θ_c จะได้ลักษณะของกราฟเป็นรูปฟันเลื่อย ดังรูป 2.3.8 ในช่วงของความต่างเฟส $-\pi < \theta_c < \pi$ ค่าเฉลี่ยของสัญญาณ U_d จะเป็นสัดส่วนกับ θ_c และกำหนดโดยสมการที่ (2.3.6)

$$\bar{U}_d = K_d \theta_c \quad (2.3.6)$$

จะเห็นได้อย่างชัดเจนว่า J-K FlipFlop เฟสดีเทคเตอร์ สามารถที่จะควบคุมเฟสของสัญญาณ เอาต์พุต U_2 ให้เหมือนกับเฟสของสัญญาณอินพุตได้เมื่อ ความต่างเฟส θ_c อยู่ในช่วง

$$-\pi < \theta_c < \pi$$

โดยการพิจารณาเช่นเดียวกันกับ XOR เฟสดีเทคเตอร์ ค่าแกนของเฟสดีเทคเตอร์ของ J-K FlipFlop เฟสดีเทคเตอร์ กำหนดโดย

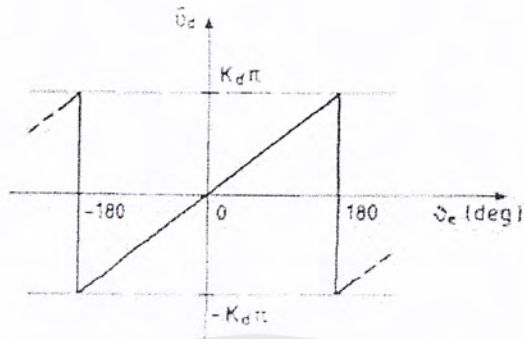
$$K_d = U_B / 2\pi \quad (2.3.7)$$

เมื่อระดับลอจิก คือ U_B และ 0 ตามลำดับ แต่ถ้ระดับลอจิกอิมิตัวเสียก่อน ค่าแกนของเฟสดีเทคเตอร์ สามารถคำนวณได้จาก

$$K_d = \frac{(U_{sat+}) - (U_{sat-})}{2\pi} \quad (2.3.8)$$

จากการทำงานของ J-K FlipFlop เฟสดีเทคเตอร์จะเห็นว่า ความไม่สมมาตรกันของสัญญาณ U_1 และ U_2 ไม่ใช่สิ่งที่สำคัญ เนื่องจากสถานะของฟลิปฟลอปจะเปลี่ยนไปเมื่อมีการเปลี่ยนแปลงในทางบวก (ขอบขาขึ้น) ของสัญญาณเท่านั้น

เอกสารนี้เป็นเอกสารที่สงวนไว้สำหรับการใช้งานเพื่อการศึกษาเท่านั้น ไม่อนุญาตให้นำไปใช้ประโยชน์ด้านการค้าไม่ว่ากรณีใดๆ ทั้งสิ้น อีกทั้งห้ามมิให้ตัดแปลงเนื้อหาและต้องอ้างอิงถึงเจ้าของเอกสารทุกครั้งที่มีการนำไปใช้



รูปที่ 2.3.8 พลอตค่าเฉลี่ยของ U_d กับ θ_e ของ J-K FlipFlop เฟสดีเทคเตอร์

ต่อไปพิจารณา Phase - Frequency Detector (PFD) ซึ่งมีความแตกต่างอย่างสิ้นเชิงกับเฟสดีเทคเตอร์ทั้ง 2 แบบ ที่กล่าวมาแล้ว นั่นคือ ในขณะที่ DPLL ยังไม่อยู่ในสภาวะล็อก สัญญาณเอาต์พุตของ PFD ไม่เพียงแต่ขึ้นอยู่กับความต่างเฟส θ_e เท่านั้น แต่ยังขึ้นอยู่กับความต่างของความถี่ (frequency error) $\Delta\omega = \omega_1 - \omega_2$ อีกด้วย รูปที่ 2.3.4 (c) แสดง PFD ซึ่งสร้างมาจากดี - ฟลิปฟลอป (D- FlipFlop) 2 ตัว ซึ่งมีเอาต์พุตแทนด้วย “UP”(up)และ “DN”(down) ตามลำดับ PFD จะอยู่ในสถานะใดสถานะหนึ่งในสี่สถานะดังต่อไปนี้

- UP = 0 , DN = 0
- UP = 1 , DN = 0
- UP = 0 , DN = 1
- UP = 1 , DN = 1

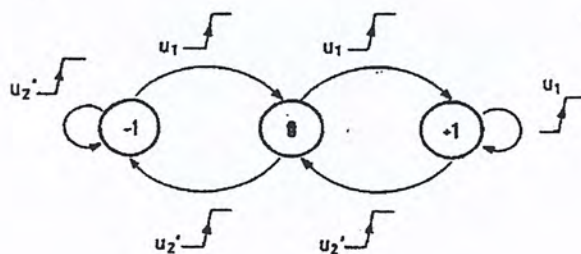
แต่อย่างไรก็ตาม สถานะที่สี่จะถูกยับยั้งไม่ให้เกิดขึ้น โดยการต่อแอนด์เกตเพิ่มเข้าไปดังรูปที่ 2.3.4 (c) ซึ่งเมื่อฟลิปฟลอปทั้งสองอยู่ในสถานะ “1” จะมีลอจิก “high” ปรากฏที่ขาอินพุต C_D (Clear direct) ของฟลิปฟลอปทั้งสอง ทำให้ฟลิปฟลอปทั้งสองถูกรีเซ็ต (UP=0, DN=0) ดังนั้น PFD จึงทำหน้าที่เหมือนกับอุปกรณ์สามสถานะ (tristable device: triflop) เราจะกำหนดสถานะเหล่านี้ด้วยสัญลักษณ์ -1, 0 และ 1 ดังนี้

- UP = 0 , DN = 1 \longrightarrow สถานะ = -1
- UP = 0 , DN = 0 \longrightarrow สถานะ = 0
- UP = 1 , DN = 0 \longrightarrow สถานะ = +1

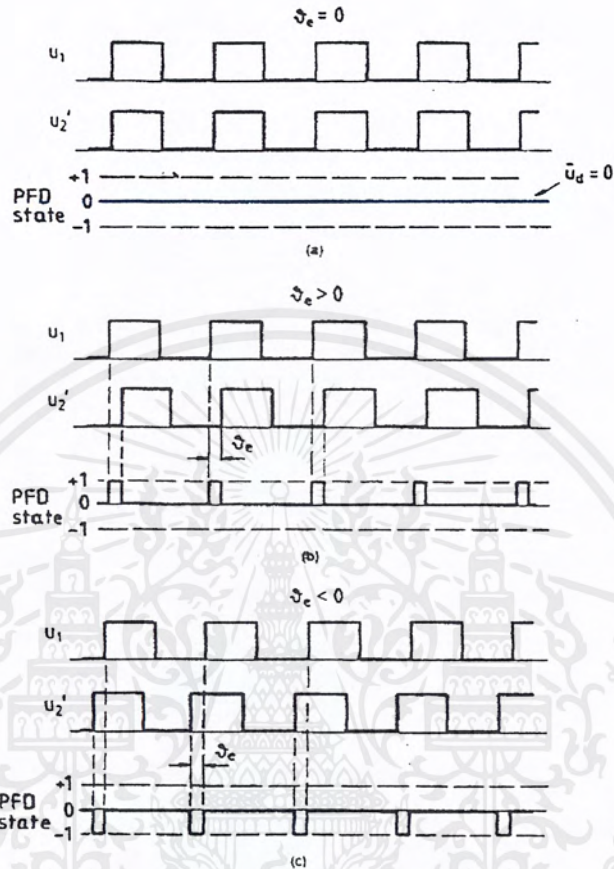
เอกสารนี้เป็นเอกสารที่สงวนไว้สำหรับการใช้งานเพื่อการศึกษาเท่านั้น ไม่อนุญาตให้นำไปใช้ประโยชน์ด้านการค้าไม่ว่ากรณีใดๆ ทั้งสิ้น อีกทั้งห้ามมิให้ตัดแปลงเนื้อหาและต้องอ้างอิงถึงเจ้าของเอกสารทุกครั้งที่มีการนำไปใช้

สถานะของ PFD ถูกกำหนดโดยขอบขาขึ้นของสัญญาณ U_1 และ U_2 ดังอธิบายได้โดยสแตทไดอะแกรม (state diagram) ในรูปที่ 2.3.9 (ในที่นี้เราจะให้ PFD ตอบสนองต่อขอบขาขึ้นของสัญญาณ U_1 และ U_2 เท่านั้น ซึ่งในทางกลับกันเราอาจพิจารณาว่า PFD ตอบสนองต่อขอบขาลงของสัญญาณ U_1 และ U_2 ก็ได้) จากรูปที่ 2.3.9 จะเห็นว่า ขอบขาขึ้นของสัญญาณ U_1 จะทำให้ PFD ไปอยู่ในสถานะถัดไปที่สูงกว่า นอกเสียจากว่ามันอยู่ในสถานะ +1 อยู่แล้ว และเช่นเดียวกัน ขอบขาขึ้นของสัญญาณ U_2 จะทำให้ PFD ไปอยู่ในสถานะถัดไปที่ต่ำกว่า นอกเสียจากว่ามันอยู่ในสถานะ -1 อยู่แล้ว สัญญาณเอาต์พุต U_d เป็นฟังก์ชันทางลอจิกของสถานะของ PFD เมื่อ PFD อยู่ในสถานะ +1 U_d จะต้องเป็นบวก เมื่อ PFD อยู่ในสถานะ -1 U_d จะต้องเป็นลบ และเมื่อ PFD อยู่ในสถานะ 0 U_d จะต้องเท่ากับศูนย์ ในทางทฤษฎี U_d เป็น ternary signal วงจรลอจิกโดยส่วนใหญ่ ในปัจจุบันจะทำให้เกิด binary signal แต่อย่างไรก็ตาม ในสถานะที่สาม ($U_d=0$) อาจแทนได้ด้วยสถานะ “อิมพีแดนซ์สูง (high - impedance)” วงจรในเส้นประของรูปที่ 2.3.4 (c) แสดงให้เห็นว่า สัญญาณ U_d จะเกิดขึ้นได้อย่างไร เมื่อสัญญาณ UP เป็น high มอสทรานซิสเตอร์ แบบ P-Channel จะนำกระแสทำให้ U_d เท่ากับแรงดันบวกของแหล่งจ่าย U_B เมื่อสัญญาณ DN เป็น high มอสทรานซิสเตอร์ แบบ N-Channel จะนำกระแสทำให้ U_d มีศักย์เท่ากับ กราวนด์ เมื่อสัญญาณทั้งสองไม่เป็น high มอสทรานซิสเตอร์ทั้งสองจะคัทออฟ และสัญญาณเอาต์พุตจะเหมือนถูกปล่อยลอยไว้ นั่นคือ อยู่ในสถานะอิมพีแดนซ์สูง ดังนั้น สัญญาณเอาต์พุต U_d จะเป็นสัญญาณสามสถานะ (tristate signal)

ต่อไปพิจารณาการทำงานของ PFD โดยพิจารณารูปที่ 2.3.10 รูปที่ 2.3.10 (a) (ในทางทฤษฎี) ในกรณีที่ความต่างเฟสเท่ากับศูนย์ ซึ่งในขณะนี้สมมติให้ PFD อยู่ในสถานะ 0 ตั้งแต่เริ่มต้น สัญญาณ U_1 และ U_2 จะมีเฟสเท่ากับ (in phase) ขอบขาขึ้นของ U_1 และ U_2 จะเกิดขึ้นที่เวลาเดียวกัน ดังนั้น ในขณะนี้ U_1 และ U_2 จะไม่มีผลต่อสถานะ ของ PFD และ PFD จะอยู่ในสถานะ 0 ต่อไป รูปที่ 2.3.10 (b) แสดงกรณีเมื่อเฟสของ U_1 นำหน้าเฟสของ U_2 ในขณะนี้



รูปที่ 2.3.9 สแตทไดอะแกรมของ PFD



รูปที่ 2.3.10 รูปคลื่นของสัญญาณของ PFD

(a) $\theta_e = 0$ (b) $\theta_e > 0$ (c) $\theta_e < 0$

PFD จะที่อกเกิดอยู่ระหว่างสถานะ 0 และ +1 ถ้า เฟสของ U_1 ล้าหลังเฟสของ U_2' ดังแสดงในรูปที่ 2.3.10 (c) PFD จะที่อกเกิดอยู่ระหว่างสถานะ -1 และ 0 จากรูปที่ 2.3.10 (b) และ (c) จะเห็นว่า U_d จะมีขนาดมากที่สุดเมื่อความต่างเฟส θ_e มีค่าเป็นบวกและเข้าใกล้ 360° (รูปที่ 2.3.10 (b)) และมีขนาดเล็กที่สุดเมื่อความต่างเฟส θ_e มีค่าเป็นลบ และเข้าใกล้ -360° รูปที่ 2.3.10 (c) ถ้าเราพลอตค่าเฉลี่ยของสัญญาณ U_d กับความต่างเฟส θ_e เราจะได้ฟังก์ชันรูปฟันเลื่อย (sawtooth function) ดังแสดงในรูปที่ 2.3.11 ซึ่งในรูปที่ 2.3.11 ยังแสดงค่าเฉลี่ยของสัญญาณ U_d เมื่อความต่างเฟส θ_e มีค่ามากกว่า 2π และน้อยกว่า -2π อีกด้วย เมื่อความต่างเฟส θ_e มีค่าเกิน 2π PFD

จะประพฤติตัวเหมือนกับที่ความต่างเฟส θ_e เท่ากับศูนย์ ดังนั้นเส้นโค้งลักษณะสมบัติ (Characteristic

เอกสารนี้เป็นเอกสารลิขสิทธิ์สงวนไว้สำหรับใช้เพื่อการวิจัยเท่านั้น ไม่อนุญาตให้นำไปใช้ประโยชน์ด้านการค้าไม่ว่ากรณีใดๆ ทั้งสิ้น อีกทั้งห้ามมิให้ตัดแปลงเนื้อหาและต้องอ้างอิงถึงเจ้าของเอกสารทุกครั้งที่มีการนำไปใช้

curve) ของ PFD จะกลายมาเป็นสัญญาณคาบที่มีคาบเท่ากับ 2π และในกรณีที่ความต่างเฟส θ_c น้อยกว่า -2π ก็สามารถพิจารณาได้ในลักษณะเดียวกัน เมื่อความต่างเฟส θ_c ถูกจำกัดอยู่ในช่วง

$$-2\pi < \theta_c < 2\pi$$

ค่าเฉลี่ยของ U_d กำหนดโดย

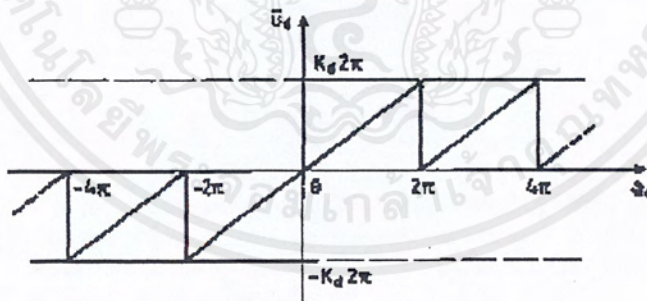
$$\bar{U}_d = K_d \theta_c \quad (2.3.9)$$

และค่าแกนของ PFD สามารถคำนวณได้จาก

$$K_d = \frac{(U_{\text{sat}+}) - (U_{\text{sat}-})}{4\pi} \quad (2.3.10)$$

และในกรณีที่ระดับของลอจิกไม่เท่ากับระดับไฟเลี้ยง เราสามารถคำนวณ K_d ได้จาก

$$K_d = \frac{U_b}{4\pi} \quad (2.3.11)$$



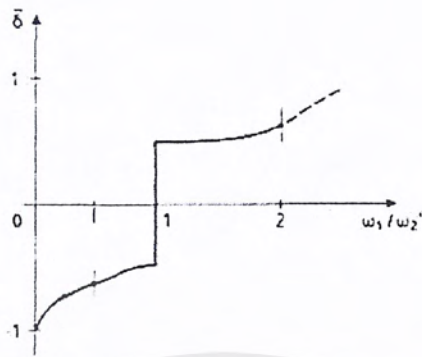
รูปที่ 2.3.11 พล็อตของเอาต์พุตเฉลี่ยของ U_d ของ PFD

ถ้าจะเปรียบเทียบกันระหว่างคุณลักษณะของ PFD รูปที่ 2.3.11 กับคุณลักษณะของ J-K FlipFlop อาจจะยังไม่เห็นคุณสมบัติที่น่าสนใจได้อย่างชัดเจน แต่ PFD จะมีคุณสมบัติอยู่อย่างหนึ่งซึ่งจะพิจารณาได้ดังต่อไปนี้

เอกสารนี้เป็นเอกสารที่สงวนไว้สำหรับการใช้งานเพื่อการศึกษาเท่านั้น ไม่อนุญาตให้นำไปใช้ประโยชน์ด้านการค้าไม่ว่ากรณีใดๆ ทั้งสิ้น อีกทั้งห้ามมิให้ดัดแปลงเนื้อหาและต้องอ้างอิงถึงเจ้าของเอกสารทุกครั้งที่มีการนำไปใช้

สมมติให้ในภาวะเริ่มต้น DPLL ไม่อยู่ในสภาวะล็อกต่อไปสมมติว่า ความถี่อ้างอิง ω_1 สูงกว่าความถี่เอาท์พุท ω_2 มากๆ ดังนั้น สัญญาณ U_1 จะมีขอบขาขึ้นต่อหนึ่งหน่วยเวลามากกว่า สัญญาณ U_2

จากรูปที่ 2.3.9 จะเห็นว่าในสภาวะนี้ PFD จะสามารถที่ออกเกิดอยู่ระหว่างสถานะ 0 และ +1 เท่านั้นและไม่สามารถไปยังสถานะ -1 ได้ ถ้า ω_1 มีค่ามากกว่า ω_2 ต่อไป PFD จะใช้เวลาโดยส่วนใหญ่อยู่ในสถานะ +1 (จำนวนครั้งของขอบขาขึ้นของ U_1 ต่อหนึ่งหน่วยเวลามีค่ามากกว่าของ U_2 มาก ๆ) อย่างไรก็ตาม เมื่อ ω_1 มีค่าน้อยกว่า ω_2 PFD จะที่ออกเกิดอยู่ระหว่างสถานะ -1 และ 0 และเมื่อ ω_1 มีค่าน้อยกว่า ω_2 มากๆ PFD จะใช้เวลาโดยส่วนใหญ่อยู่ในสถานะ -1 (จำนวนครั้งของขอบขาขึ้นของ U_2 ต่อหนึ่งหน่วยเวลามีค่ามากกว่า U_1 มาก ๆ) ดังนั้นเราอาจกล่าวได้ว่าค่าเฉลี่ยของสัญญาณเอาท์พุท ของ U_d จะเปลี่ยนแปลงไปในทางเดียว (monotonically) กับความต่างของความถี่ (frequency error) $\Delta\omega = \omega_1 - \omega_2$ เมื่อ DPLL ไม่อยู่ในสภาวะล็อก ซึ่งคุณสมบัติดังกล่าวนี้เป็นที่มาของคำว่า เฟส - ความถี่ ดิเทคเตอร์ ดังนั้น จึงเป็นไปได้ที่จะคำนวณ คิวตี้ไซเคิลของสัญญาณ U_d ที่เป็นฟังก์ชันกับ อัตราส่วนของความถี่ ω_1 / ω_2 ซึ่งผลของการวิเคราะห์แสดงได้ดังรูปที่ 2.3.12 ในกรณีที่ $\omega_1 > \omega_2$ คิวตี้ไซเคิล δ นิยามได้เป็น อัตราส่วนเฉลี่ยของเวลาที่ PFD อยู่ในสถานะ +1 และในกรณีที่ $\omega_1 < \omega_2$ คิวตี้ไซเคิล δ นิยามได้เป็น ค่าลบของอัตราส่วนเฉลี่ยของเวลาที่ PFD อยู่ในสถานะ -1 และดังที่ได้คาดหวังไว้ ค่า δ จะมีค่าเข้าใกล้ -1 เมื่อ $\omega_1 \ll \omega_2$ และเข้าใกล้ +1 เมื่อ $\omega_1 \gg \omega_2$ มากๆ นอกจากนี้ δ จะอยู่ใกล้ ๆ 0.5 เมื่อ ω_1 มากกว่า ω_2 แต่ความถี่ทั้งสองมีค่าใกล้เคียงกันมาก และ δ จะอยู่ใกล้ -0.5 เมื่อ ω_1 น้อยกว่า ω_2 แต่ความถี่ทั้งสองมีค่าใกล้เคียงกันมาก ซึ่งคุณสมบัตินี้ทำให้การหา pull-in range ทำได้ง่ายขึ้นและอยากจะขออภัยว่าคุณสมบัติดังกล่าวในรูปที่ 2.3.10 ไม่สามารถนิยามได้สำหรับ XOR และ J-K FlipFlop เฟสดีเทคเตอร์ และจากคุณสมบัตินี้ของ PFD ที่สัญญาณเอาท์พุท U_d ขึ้นอยู่กับความต่างเฟสในสภาวะล็อกของ DPLL และขึ้นอยู่กับความต่างของความถี่ในสภาวะไม่ล็อก ทำให้ DPLL ที่ใช้ PFD สามารถล็อกได้ภายใต้เงื่อนไขใด ๆ ที่กำหนด โดยไม่ขึ้นอยู่กับชนิดของลูปฟิลเตอร์ที่ใช้ ด้วยเหตุผลนี้เอง จึงนิยมใช้ PFD ใน DPLL



รูปที่ 2.3.12 พลอตของคิวดัชนีเฟสเชิงเส้นของสัญญาณเอาต์พุต U_o ของ PFD

2. ลูปฟิลเตอร์

โดยทั่วไปในการออกแบบ DPLL จะใช้วงจรกรองความถี่ต่ำอันดับหนึ่ง (first – order lowpass filter) เป็นลูปฟิลเตอร์ ซึ่งวงจรที่นิยมใช้โดยส่วนใหญ่แสดงดังรูปที่ 2.3.13 ในรูปที่ 2.3.13 (a) คือ วงจรกรองความถี่แบบ passive lag ซึ่งมีทรานสเฟอร์ฟังก์ชัน $F(s)$ เป็น

$$F(s) = \frac{1 + s\tau_2}{1 + s(\tau_1 + \tau_2)} \quad (2.3.12)$$

$$\begin{aligned} \text{เมื่อ } \tau_1 &= R_1 C \\ \tau_2 &= R_2 C \end{aligned}$$

ผลตอบสนองทางขนาด (amplitude response) ของวงจรกรองความถี่แบบ passive lag แสดงดังรูปที่ 2.3.14 (a) จาก สมการ(2.1) จะเห็นว่า $F(s)$ ประกอบด้วยซีโร 1 ตัว ที่ τ_2 และ โพล 1 ตัว ที่ $(\tau_1 + \tau_2)$ และจากรูปที่ 2.3.14 (a) จะเห็นได้ว่า ซีโรของวงจรกรองความถี่ชนิดนี้มีผลอย่างมากต่อแอมป์นิ่งแฟคเตอร์(damping factor) ζ ของระบบ DPLL

รูปที่ 2.3.13 (b) แสดงวงจรกรองความถี่แบบ active lag ซึ่งมีทรานสเฟอร์ฟังก์ชันกำหนดโดย

$$F(s) = K \frac{1 + s\tau_2}{1 + s(\tau_1 + \tau_2)} \quad (2.3.13)$$

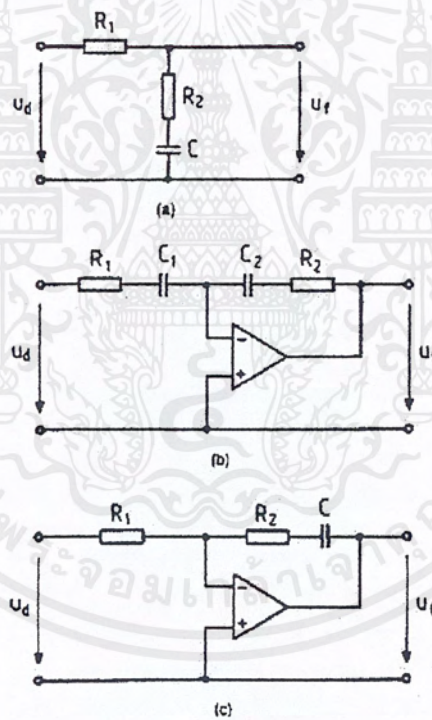
เมื่อ

$$K_s = -\frac{C}{C_2}$$

$$\tau_1 = R_1 C$$

$$\tau_2 = R_2 C$$

ซึ่งจะเห็นว่า มีรูปแบบเหมือนกับวงจรกรองความถี่แบบ passive lag แต่มีเทอมของ เกน K_s เพิ่มเข้ามา ซึ่ง K_s สามารถมีค่าได้มากกว่า 1 ผลตอบสนองทางขนาดของ วงจรกรองความถี่แบบ active lag แสดงได้ดังรูปที่ 2.3.14 (b)



รูปที่ 2.3.13 วงจรรูปฟิลเตอร์แบบต่าง ๆ

(a) Passive lag filter

(b) Active lag filter

(c) Active PI filter

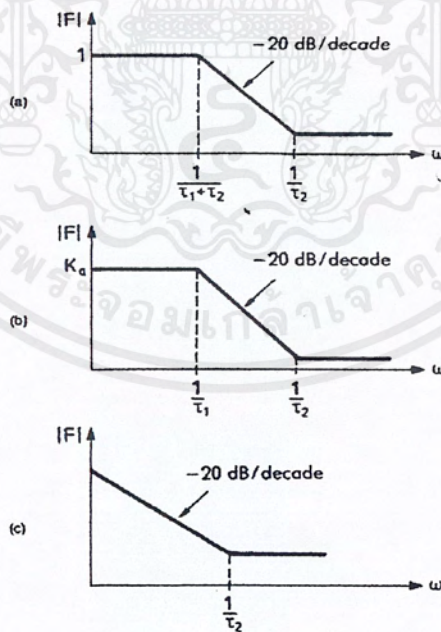
และสุดท้ายในรูปที่ 2.3.13 (c) แสดงวงจรกรองความถี่ต่ำอีกแบบหนึ่ง ซึ่งเรียกกันโดยทั่วไปว่า พายฟิลเตอร์ (PI filter) คำว่า PI ได้มาจากทฤษฎีระบบควบคุม ซึ่งแทนด้วย ปฏิบัติการด้านการคำนวณว่ากรณิใดๆ ทั้งสิ้น อีกทั้งห้ามมิให้ตัดแปลงเนื้อหาและต้องอ้างอิงถึงเจ้าของเอกสารทุกครั้งที่มีการนำไปใช้

“proportional + integral” ทรานสเฟอ์ฟังก์ชันของวงจรรองความถี่แบบพาส กำหนดโดย

$$F(s) = \frac{1 + s\tau_2}{s\tau_1}$$

เมื่อ $\tau_1 = R_1C$
 $\tau_2 = R_2C$

วงจรรองความถี่แบบพาสมีโพลที่ $s = 0$ จึงมีพฤติกรรมเหมือนกับวงจรรีทิเกรเตอร์ ซึ่ง (ในทางทฤษฎี) วงจรรองความถี่แบบพาส จะมีเกนเป็นอนันต์ที่ความถี่ต่ำกับศูนย์ ผลตอบสนองทางขนาดของวงจรรองความถี่แบบพาสแสดงดังรูปที่ 2.3.14 (c)



รูปที่ 2.3.14 โบทไดอะแกรมของฟิลเตอร์ทั้ง 3 แบบ

- (a) Passive lag filter
- (b) Active lag filter

เอกสารนี้เป็นเอกสารที่สงวนไว้สำหรับ(c) **Active PI filter** วิชาเท่านั้น ไม่อนุญาตให้นำไปใช้ประโยชน์ด้านการค้าไม่ว่ากรณีใดๆ ทั้งสิ้น อีกทั้งห้ามมิให้ตัดแปลงเนื้อหาและต้องอ้างอิงถึงเจ้าของเอกสารทุกครั้งที่มีการนำไปใช้

3. วงจรผลิตความถี่ที่ควบคุมด้วยแรงดัน

ดังได้กล่าวมาแล้วในสมการที่ (2.3.1) ความถี่เชิงมุมของ VCO กำหนดโดย

$$\omega_2(t) = \omega_0 + K_0 U_r(t)$$

เมื่อ K_0 คือ เกนของ VCO ($\text{rad S}^{-1}\text{V}^{-1}$) อย่างไรก็ตามแบบจำลอง VCO จะต้องให้เฟสของเอาต์พุต θ_2 ไม่ใช่ความถี่เอาต์พุต ω_2 โดยนิยาม เฟส θ_2 หาได้โดยการอินทิเกรต ตลอดช่วงการเปลี่ยนแปลงความถี่ $\Delta\omega_2$

$$\theta_2(t) = \int \Delta\omega_2 dt = K_0 \int U_r dt$$

ลาปลาซทรานสฟอร์มของเฟสเอาต์พุต $\theta_2(t)$ คือ

$$\Theta(s) = \frac{K_0}{s} U_r(s)$$

ดังนั้น ทรานสเฟอร์ฟังก์ชันของ VCO ก็คือ

$$\frac{\Theta(s)}{U_r(s)} = \frac{K_0}{s}$$

2.4 เครื่องรับ FM และระบบ

เครื่องรับ FM มีหน้าที่รับสัญญาณ FM ที่ต้องการ แล้วแปลงสัญญาณ FM ที่รับมาได้ ให้กลับมาเป็นสัญญาณข้อมูลดั้งเดิม ดังนั้นเครื่องรับ FM ต้องมีความสามารถในการรับสัญญาณในช่องหรือช่วงของความถี่ที่ต้องการ ขยายสัญญาณและตีมอดคูเลทเพื่อเอาสัญญาณข้อมูลเดิมกลับมาให้ได้

2.4.1 พารามิเตอร์ของเครื่องรับ

ก่อนที่จะกล่าวถึงรายละเอียดและส่วนประกอบต่าง ๆ ของเครื่องรับ FM จะขอกกล่าวถึงพารามิเตอร์ของเครื่องรับ ซึ่งพารามิเตอร์เหล่านี้เป็นตัวบ่งบอกความสามารถของเครื่องรับในการที่จะมอดคูเลทสัญญาณกลับมา พารามิเตอร์ที่มีความสำคัญมากที่สุด คือ ซีเล็กทิวิตี (selectivity) และ เซ็นซิวิตี (sensitivity) ซึ่งมักจะใช้เป็นตัวเปรียบเทียบคุณภาพของเครื่องรับ

ซีเล็กทิวิตี (selectivity)

ซีเล็กทิวิตี คือ พารามิเตอร์ของเครื่องรับซึ่งใช้วัดความสามารถของเครื่องรับในการรับสัญญาณที่อยู่ในช่วงความถี่ที่กำหนดเท่านั้น นั่นคือไม่รับสัญญาณที่อยู่นอกช่วงความถี่ที่กำหนดเข้ามา ยกตัวอย่างเช่น ในระบบวิทยุกระจายเสียง FM ซึ่งเครื่องส่งของแต่ละสถานีจะครอบคลุมแถบความถี่ (bandwidth) เท่ากับ 200 KHz ดังนั้นในการที่เครื่องรับ FM ต้องการที่จะเลือกรับฟังเสียงจากสถานีใดสถานีหนึ่งเท่านั้น แถบความถี่ของเครื่องรับจะต้องถูกจำกัดอยู่แค่ 200 KHz ถ้าแถบความถี่มากกว่า 200 KHz สัญญาณของเครื่องส่งที่อยู่ในแถบความถี่ที่ใกล้เคียงกัน อาจจะถูกรับเข้ามาแล้วถูกตีมอดคูเลทออกมาด้วยก็ได้ แต่ถ้าแถบความถี่น้อยกว่า 200 KHz สัญญาณข้อมูลบางส่วนอาจจะไม่สามารถผ่านเข้ามายังเครื่องรับได้

เซ็นซิวิตี (sensitivity)

เซ็นซิวิตีของเครื่องรับคือ ระดับของสัญญาณ RF (Radio Frequency) ที่ต่ำที่สุดที่สามารถตรวจจับได้ที่อินพุทของเครื่องรับ และสามารถที่จะตีมอดคูเลทกลับมาเป็นสัญญาณข้อมูลเดิม ที่ยังคงนำมาใช้เป็นประโยชน์ได้ (หมายถึงว่า ถ้าสัญญาณข้อมูลเดิมเป็นสัญญาณเสียงสัญญาณเสียงที่ตีมอดคูเลทออกมาแล้ว ต้องฟังแล้วสามารถรับรู้ได้ ด้วยประสาทสัมผัสในการฟังของมนุษย์ คุณภาพของเสียงอาจจะไม่จำเป็นต้องเหมือนเดิมทุกประการ หรือ ถ้าสัญญาณข้อมูลเดิมเป็นอ็อบไล็คคของไมโครโปรเซสเซอร์ เมื่อตีมอดคูเลทออกมาแล้ว อ็อบไล็คคที่ได้จะต้องเหมือนเดิม เพื่อให้ไมโครโปรเซสเซอร์ประมวลผลได้ถูกต้อง) เซ็นซิวิตีของเครื่องรับมักจะแสดงอยู่ในรูปของระดับแรงดัน (ในหน่วยไมโครโวลท์) ของสัญญาณที่เข้ามาได้ อย่างเช่น เซ็นซิวิตีของเครื่องรับ FM เครื่องหนึ่งมีค่าเท่ากับ $10 \mu V$ เป็นต้น

เอกสารนี้เป็นเอกสารที่สงวนไว้สำหรับการใช้งานเพื่อการศึกษาเท่านั้น ไม่อนุญาตให้นำไปใช้ประโยชน์ด้านการค้าไม่ว่ากรณีใดๆ ทั้งสิ้น อีกทั้งห้ามมิให้ดัดแปลงเนื้อหาและต้องอ้างอิงถึงเจ้าของเอกสารทุกครั้งที่มีการนำไปใช้

ไดนามิกเรนจ์ (Dynamic Range)

ไดนามิกเรนจ์ ของเครื่องรับ นิยามได้เป็นความแตกต่าง (ในรูปของ เดซิเบล) ระหว่างระดับสัญญาณอินพุตที่ต่ำที่สุดที่เครื่องรับสามารถรับได้และคิมอดคูลเอาท์ออกมาได้กับระดับของสัญญาณอินพุตที่ทำให้เครื่องรับเกิดความผิดเพี้ยน (distortion) ขึ้น หรืออาจกล่าวได้ง่าย ๆ ว่า ไดนามิกเรนจ์ คือ ย่านของกำลังงานที่อินพุตเครื่องรับที่ยังคงทำให้เครื่องรับมีประโยชน์ต่อการสื่อสาร ระดับสัญญาณอินพุตที่ต่ำที่สุดขึ้นอยู่กับสัญญาณรบกวนที่ภาคฟรอนท์ - เอนท์, นอยส์ฟิเกเจอร์ (noise figure) และคุณภาพของสัญญาณที่ต้องการ ส่วนระดับของสัญญาณที่ทำให้เครื่องรับเกิดความผิดเพี้ยนขึ้นอยู่กับเกนสุทธิ (net gain) ของเครื่องรับ (เกนรวมของทุก ๆ สเตจของเครื่องรับ)

ไฟเดลลิตี (Fidelity)

ไฟเดลลิตี คือ ความสามารถของระบบสื่อสาร ในการที่จะทำให้เกิดสัญญาณข้อมูลที่เอาท์พุทของเครื่องรับที่เหมือนกับสัญญาณข้อมูลเดิมทุกประการ การเปลี่ยนแปลงของความถี่, เฟส และ ขนาดที่เกิดขึ้นกับสัญญาณที่คิมอดคูลเอาท์ออกมา ทำให้สัญญาณที่คิมอดคูลเอาท์ออกมาแตกต่างจากสัญญาณข้อมูลเดิม ถือว่าเป็น ความผิดเพี้ยน (distortion) รูปแบบของความผิดเพี้ยนที่ทำให้ไฟเดลลิตีของระบบสื่อสารลดลง มี 3 อย่าง คือ

1. ความผิดเพี้ยนทางขนาด (Amplitude Distortion)
2. ความผิดเพี้ยนทางความถี่ (Frequency Distortion)
3. ความผิดเพี้ยนทางเฟส (Phase Distortion)

โดยทั่วไปความผิดเพี้ยนทางเฟส ไม่ค่อยมีผลต่อการสื่อสารสัญญาณเสียง เพราะหูของมนุษย์ไม่สามารถรับรู้ต่อการเปลี่ยนแปลงของเฟสได้ แต่ความผิดเพี้ยนทางเฟสจะมีผลต่อการส่งผ่านข้อมูล ตัวการหลักที่ทำให้เกิดความผิดเพี้ยนทางเฟสก็คือ วงจรกรองความถี่ ความถี่ของสัญญาณที่ความถี่คัทออฟหรือใกล้เคียงกับความถี่ คัทออฟของวงจรกรองความถี่จะทำให้เกิดการเลื่อนเฟสของสัญญาณ

ความผิดเพี้ยนทางขนาดเกิดขึ้นเมื่อลักษณะความสัมพันธ์ระหว่างขนาดและความถี่ของสัญญาณที่เอาท์พุทของเครื่องรับเปลี่ยนแปลงไปจากสัญญาณข้อมูลเดิม ความผิดเพี้ยนทางเฟสเป็นผลมาจากความไม่สม่ำเสมอของอัตราขยายของวงจรขยายและวงจรกรองความถี่

ความผิดเพี้ยนทางความถี่ เป็นผลมาจาก ฮาร์โมนิก (harmonic) และ อินเตอร์มอดคูลเลชัน คิสทอร์ชัน (intermodulation distortion) และเกิดขึ้น โดยการขยายที่ไม่เป็นเชิงเส้น (nonlinear amplification) ผลคูณอันดับสอง (second-order product) อันได้แก่ส่วนประกอบของความถี่ $2f_1$,

$2f_2$, $f_1 \pm f_2$, มักจะมีปัญหาในระบบแถบความถี่กว้าง (broadband system) แต่สำหรับ

เอกสารนี้เป็นเอกสารที่สงวนไว้สำหรับการใช้งานเพื่อการศึกษาเท่านั้น ไม่อนุญาตให้นำไปใช้ประโยชน์ด้านการค้าไม่ว่ากรณีใดๆ ทั้งสิ้น อีกทั้งห้ามมิให้ตัดแปลงเนื้อหาและต้องอ้างอิงถึงเจ้าของเอกสารทุกครั้งที่มีการนำไปใช้

ระบบแถบความถี่แคบ (narrow band system) ส่วนประกอบของความถี่ดังกล่าวจะอยู่นอกแถบความถี่ของระบบ อย่างไรก็ตาม ผลคูณอันดับสาม (third – order product) มักจะอยู่ในแถบความถี่ของระบบและทำให้เกิดความผิดเพี้ยนที่เรียกว่า third – order intercept distortion ซึ่งเป็นความผิดเพี้ยนหลักของความผิดเพี้ยนทางความถี่ ส่วนประกอบทางความถี่ของผลคูณอันดับสามเกิดขึ้นเมื่อ ฮาร์โมนิกที่สองของสัญญาณหนึ่งบวกกับความถี่หลัก (fundamental frequency) ของอีกสัญญาณหนึ่ง อย่างเช่น $2f_1 \pm 2f_2$, $2f_2 \pm f_1$, ... ความผิดเพี้ยนทางความถี่สามารถลดลงได้โดยการใช้อุปกรณ์ที่มีความสัมพันธ์ระหว่าง อินพุต – เอาท์พุต เป็นสมการกำลังสอง (square – law device) อย่างเช่น เฟต (FET) ในพรีออนท์ – เอ็นด์ ของเครื่องรับ ซึ่งอุปกรณ์ดังกล่าวนี้จะทำให้เกิด ฮาร์โมนิกที่สอง และ intermodulation เท่านั้น

อินเสิร์ตชัน ลอส (Insertion Loss)

อินเสิร์ตชัน ลอส เป็น พารามิเตอร์ที่เกี่ยวข้องกับความถี่ในแถบความถี่ผ่าน (passband) ของวงจรกรองความถี่ ซึ่งโดยทั่วไป นิยามได้เป็น อัตราส่วนของกำลังงานที่ส่งผ่านไปยังโหลด โดยผ่านวงจรกรองความถี่ต่อกำลังงานที่ส่งผ่านไปยังโหลดโดยไม่มีวงจรกรองความถี่ เพราะโดยทั่วไปแล้ววงจรกรองความถี่มักจะสร้างจากอุปกรณ์ที่ทำให้เกิดความสูญเสียในกำลังงาน อย่างเช่น ความต้านทาน , ตัวเก็บประจุที่มีคุณสมบัติไม่เป็นไปทางอุดมคติ อันที่จริงแล้ว อาจกล่าวได้ง่าย ๆ ว่า อินเสิร์ตชัน ลอส คือ อัตราส่วนของกำลังงานที่เอาท์พุตต่อกำลังงานที่อินพุตของวงจรกรองความถี่ (พิจารณาเฉพาะในช่วงแถบความถี่ผ่านของวงจรกรองความถี่)

2.4.2 เครื่องรับ FM

ในสมัยก่อนจะใช้เครื่องรับแบบ TRF (tuned radio frequency) ในการรับสัญญาณซึ่งเครื่องรับแบบนี้จะประกอบไปด้วย วงจรขยายที่ต่อกันอยู่ในลักษณะแคสเคด (cascade) หลาย ๆ ภาค และต่อด้วยวงจรคิเทคเตอร์ โดยที่วงจรขยายแต่ละภาคจะถูกจูนด์ (tuned) ไปที่ความถี่เดียวกัน แต่เครื่องรับแบบนี้ไม่ค่อยนิยมใช้กันในปัจจุบัน เนื่องจากเครื่องรับแบบนี้มีข้อเสียหลายอย่างดังนี้

1. แถบความถี่ (bandwidth) ของเครื่องรับไม่คงที่ เปลี่ยนแปลงตามความถี่กลาง เมื่อมีการจูนด์ ในช่วงความถี่ที่กว้าง ของความถี่อินพุต
2. เสถียรภาพ (stability) ไม่ดี อันเนื่องมาจากประกอบไปด้วยวงจรขยายสัญญาณ RF หลาย ๆ ภาค ที่จูนด์ไปที่ความถี่กลางเดียวกัน วงจรขยายความถี่สูง หลายภาค ๆ มีโอกาสที่จะเกิดการออสซิลเลท (oscillation) ได้ง่าย

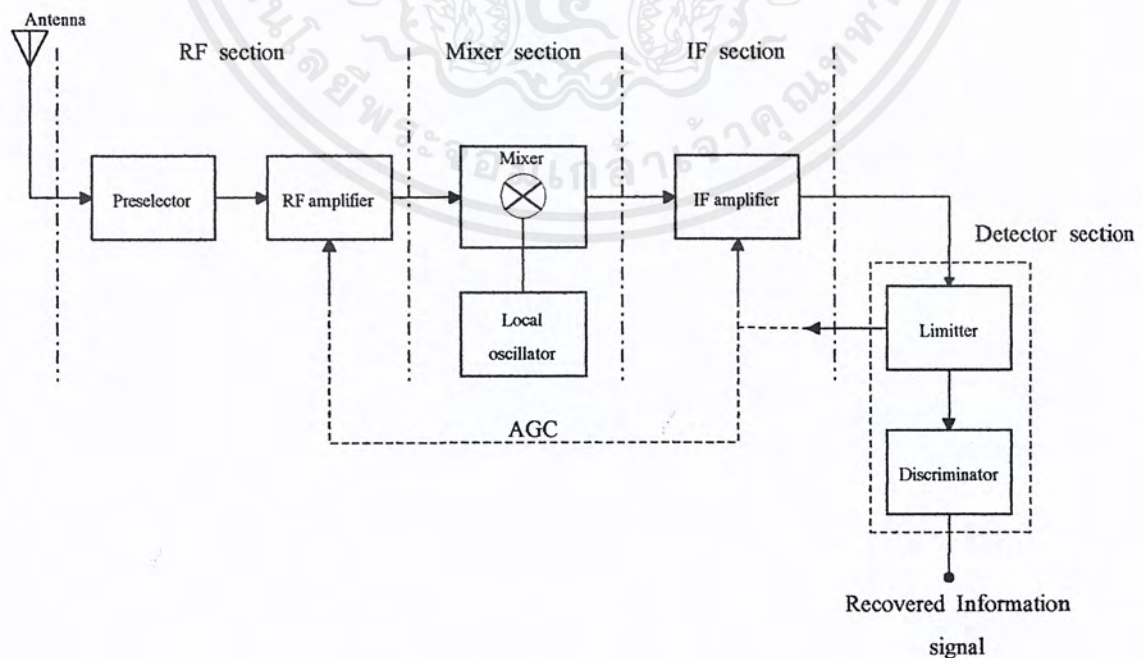
3. มีอัตราขยายที่ไม่คงที่ในช่วงความถี่กว้าง ๆ อันเนื่องมาจากความไม่สม่ำเสมอของอัตราส่วน L/C ของวงจรจูนด์ของวงจรขยายสัญญาณ RF

ต่อมาเครื่องรับแบบ ซุปเปอร์เฮเทอโรไดน์ (Superheterodyne Receiver) ได้ถูกพัฒนาขึ้นมาเพื่อปรับปรุงซีเล็คทิวิตี ของเครื่องรับ

เฮเทอโรไดน์ (Heterodyne) หมายถึง การผสม (mix) ความถี่สองความถี่ เข้าด้วยกัน ในอุปกรณ์ไม่เป็นเชิงเส้น (nonlinear device) หรือ การเลื่อน (translate) ความถี่หนึ่งไปเป็นความถี่อื่น โดยการผสมแบบไม่เป็นเชิงเส้น (nonlinear mixing) รูปที่ 2.4.1 แสดงบล็อกไดอะแกรมของเครื่องรับ FM แบบซุปเปอร์เฮเทอโรไดน์ ซึ่งประกอบไปด้วยภาคต่าง ๆ ดังต่อไปนี้

ภาค RF (RF section)

ภาค RF โดยทั่วไป จะประกอบไปด้วย preselector และ วงจรขยาย ซึ่งอาจจะรวมกันอยู่เป็นวงจรเดียวหรือแยกออกจากกันต่างหากก็ได้ preselector เป็นวงจรจูนด์ ซึ่งสามารถปรับความถี่กลางได้ นั่นคือ จูนด์ไปยังความถี่พาหะที่ต้องการได้ preselector จะต้องมีแถบความถี่ที่เหมาะสมเพื่อป้องกันความถี่ที่ไม่ต้องการที่เรียกว่า image frequency ไม่ให้เข้ามายังเครื่องรับ ส่วนวงจรขยายสัญญาณ RF ทำหน้าที่ขยายสัญญาณที่รับเข้ามาได้ เนื่องจากวงจรขยายสัญญาณ RF เป็นวงจรขยายภาคแรกที่ทำหน้าที่ขยายสัญญาณ ดังนั้น นอยส์ฟีกเกอร์ของระบบมักจะถูกกำหนดโดยวงจรขยายส่วนนี้ และวงจรขยายสัญญาณ RF ยังเป็นตัวกำหนดเซ็นซิทิวิตีของเครื่องรับอีกด้วย



เอกสารนี้เป็นเอกสารรูปที่ 2.4.1 บล็อกไดอะแกรมของเครื่องรับ FM แบบซุปเปอร์เฮเทอโรไดน์ด้านการค้า
ไม่ว่ากรณีใดๆ ทั้งสิ้น อีกทั้งห้ามมิให้ตัดแปลงเนื้อหาและต้องอ้างอิงถึงเจ้าของเอกสารทุกครั้งที่มีการนำไปใช้

ในเครื่องรับ FM โดยส่วนใหญ่มักจะมีวงจรรขยาย IF มากกว่า 1 ภาค และจากลักษณะเฉพาะตัวของเครื่องรับ FM ที่สัญญาณรบกวนมักจะไม่ค่อยมีผลมากนัก ในบางครั้งจึงอาจจะไม่จำเป็นต้องมีวงจรรขยายสัญญาณ RF ก็ได้ ขึ้นอยู่กับความต้องการในเชิงเทคนิคของเครื่องรับ แต่ข้อดีอีกอย่างหนึ่งของการมีวงจรรขยายสัญญาณ RF ในเครื่องรับก็คือ ป้องกันการย้อนกลับมาของสัญญาณความถี่จาก local oscillator ไปยังสายอากาศ และส่งคลื่นกระจายออกไป ทำให้เกิดคลื่นแทรกซ้อนได้

ภาคมิกเซอร์ (Mixer section)

ภาคนี้ประกอบด้วยส่วนของมิกเซอร์กับ โลคัลออสซิลเลเตอร์ หน้าที่หลักของมิกเซอร์ คือ คุณความถี่พาหะที่รับเข้ามากับความถี่จากโลคัลออสซิลเลเตอร์ กระบวนการเฮเทอโรไดน์ จะเกิดขึ้นที่นี่ ผลที่ได้จะประกอบไปด้วยฮาร์โมนิคต่าง ๆ ของสัญญาณทั้งสองและ cross product จำนวนมากมาย แต่สิ่งที่เราต้องการคือ ความถี่ผลต่างระหว่างความถี่พาหะที่รับเข้ามากับความถี่จากโลคัลออสซิลเลเตอร์ ซึ่งก็คือความถี่ IF นั่นเอง ส่วนประกอบของความถี่จำนวนมากที่เกิดขึ้นมานั้นขึ้นอยู่กับชนิดของมิกเซอร์ที่นำมาใช้งาน ส่วนใหญ่สำหรับมิกเซอร์ที่เป็นวงจรรวม (integrated circuit) มักจะใช้มิกเซอร์แบบดับเบิลบาลานซ์ (double balance) ซึ่งข้อดีของมิกเซอร์แบบนี้คือ ป้องกันการไหลย้อนกลับของสัญญาณระหว่างทางด้าน โลคัลออสซิลเลเตอร์กับ RF อินพุท และระหว่างอินพุททั้งสองนี้กับทางด้าน IF และข้อดีอีกอย่างหนึ่งคือ ส่วนประกอบของความถี่ที่ไม่ใช่ผลรวมและผลต่างของความถี่พาหะกับความถี่จากโลคัลออสซิลเลเตอร์จะถูกกำจัดออกไปได้มาก ทำให้ในส่วนของวงจรกรองความถี่ IF สามารถกรองเอาเฉพาะความถี่ผลต่างซึ่งก็คือ ความถี่ IF ออกมาได้โดยง่าย

พารามิเตอร์ที่สำคัญของมิกเซอร์คือ คอนเวอร์ชันเกน (conversion gain) อินพุทอิมพีแดนซ์ เอาท์พุทอิมพีแดนซ์ และ third order intercept คอนเวอร์ชันเกนสูง ๆ จะมีประโยชน์ในการเลือกวงจรกรองความถี่ IF ได้ง่าย เนื่องจากถึงแม้จะมีการสูญเสีย (loss) ไปบ้างในวงจรกรองความถี่ แต่ขนาดของสัญญาณก็ยังเพียงพอที่จะไปขับลิ้มิตเตอร์ (limitter) ได้ อินพุทอิมพีแดนซ์ของมิกเซอร์จำเป็นต้องแมทช์ (match) กับวงจรกรองความถี่ที่กรองความถี่ผ่านเข้ามา (หรือกับวงจรรขยาย RF ในกรณีที่มิกเซอร์ขยาย RF) third-order intercept ของมิกเซอร์เป็นตัวบ่งบอกว่า ความผิดเพี้ยนที่เกิดขึ้นอันเนื่องมาจากส่วนประกอบของความถี่ที่ไม่ต้องการถูกกำจัดไปมากเพียงใด third-order intercept point มักจะถูกระบุในรูปของ dBm ยิ่งมีค่าสูงก็ยิ่งกำจัดความผิดเพี้ยนที่เกิดขึ้นได้ดี

ภาค IF (IF section)

ภาค IF ประกอบด้วยอนุกรมของวงจรขยายสัญญาณ IF และวงจรกรองความถี่ผ่าน ซึ่งมักจะเรียกว่า IF strip หน้าที่หลักของวงจรขยายสัญญาณ IF คือ ขยายสัญญาณที่ได้มาจากเอาต์พุตของมิกเซอร์ เพื่อให้ระดับของสัญญาณที่ได้มีขนาดเพียงพอที่จะไปขับลิ้มิตเตอร์ วงจรกรองความถี่ผ่านจะกรองเอาเฉพาะความถี่ผลต่างคือ ความถี่ IF ออกมา ความถี่กลางและแถบความถี่ของภาค IF จะคงที่ ไม่ว่าจะเลือกรับสัญญาณ RF ช่องใดเข้ามา ความถี่ IF จะต่ำกว่าความถี่ RF เสมอ ทำให้การสร้างวงจรขยายสัญญาณ IF ที่มีอัตราขยายสูง, เสถียรภาพดี ทำได้ง่ายขึ้น และผลก็คือ วงจรมีโอกาสที่จะออสซิลเลทน้อยด้วย ดังนั้นจึงเป็นสิ่งปกติ ถ้าเครื่องรับจะมีวงจรขยายสัญญาณ IF หลายๆ ภาค และมีวงจรขยายสัญญาณ RF เพียงภาคเดียว หรือ อาจจะไม่มียังวงจรขยายสัญญาณ RF เลย

พารามิเตอร์ที่สำคัญที่เกี่ยวข้องกับวงจรขยายสัญญาณ IF คือ อินพุทอิมพีแดนซ์, เอาต์พุทอิมพีแดนซ์ และ อัตราขยาย (gain) อินพุทอิมพีแดนซ์และเอาต์พุทอิมพีแดนซ์ของวงจรขยายสัญญาณ IF จะต้องแมทช์ (match) กับ อิมพีแดนซ์ของวงจรกรองความถี่ เพื่อที่จะให้ความสูญเสีย (loss) อันเนื่องมาจากความไม่แมทช์ (mismatch) มีน้อยที่สุด ในอดีตที่ผ่านมา ความถี่ IF ที่นิยมใช้กันมากที่สุด คือ 10.7 MHz และ 455 KHz และในปัจจุบันนี้มักจะใช้ เซรามิกฟิลเตอร์ (ceramic filter) หรือ คริสตัลฟิลเตอร์ (crystal filter) เป็นวงจรกรองความถี่ผ่าน

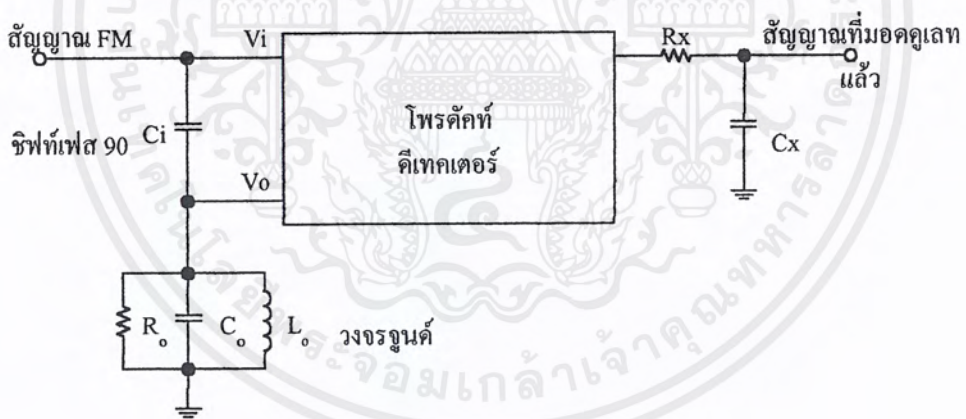
ภาคดีเทคเตอร์ (detector section)

ภาคดีเทคเตอร์ ทำหน้าที่แปลงสัญญาณ IF กลับมาเป็นสัญญาณข้อมูลดั้งเดิม ภาคนี้ประกอบด้วย วงจร ลิ้มิตเตอร์ (limiter) และ วงจร ดีเทคเตอร์ (detector) วงจรลิ้มิตเตอร์จะรับสัญญาณ มาจาก ภาค IF และกำจัดการเปลี่ยนแปลงทางขนาดใดๆ ออกไป การที่จะต้องกำจัดการเปลี่ยนแปลงทางขนาดใดๆ ออกไป ก็เนื่องจากว่า เมื่อมีการเปลี่ยนแปลงทางขนาดเกิดขึ้น นอกจากวงจรดีเทคเตอร์จะตอบสนองต่อการเปลี่ยนแปลงทางความถี่แล้ว ยังต้องตอบสนองต่อการเปลี่ยนแปลงทางขนาดอีกด้วย ทำให้เกิดความผิดเพี้ยนขึ้นต่อสัญญาณข้อมูลที่ได้มอดคูเลทออกมา ส่วนวงจรดีเทคเตอร์จะทำหน้าที่ ดิมอดคูเลท สัญญาณข้อมูลออกมา ซึ่งวงจรดีเทคเตอร์ หรือ ดิสคริมิเนเตอร์ (discriminator) มีหลายชนิด อย่างเช่น สโลปดีเทคเตอร์ (slope detector) ฟอสเตอร์ซีเลย์ ดิสคริมิเนเตอร์ (Foster – Seeley discriminator) เรโม่ดีเทคเตอร์ (ratio detector), PLL ดิมอดคูเลเตอร์ (PLL demodulator) และ ควอดราเทอร์ดีเทคเตอร์ (quadrature detector) โดยที่ สโลปดีเทคเตอร์ ฟอสเตอร์ – ซีเลย์ ดิสคริมิเนเตอร์ และ เรโม่ดีเทคเตอร์ เป็น ดิสคริมิเนเตอร์ แบบ จูนด์ความถี่ วงจรดิสคริมิเนเตอร์แบบจูนด์ความถี่จะมีความเป็นเชิงเส้น ไม่ค่อยดีนัก ยกต่อการจูนด์และไม่สามารถมีคุณสมบัติ limiting อยู่ในตัว ทำให้แรงดันเอาต์พุท

เอกสารนี้เป็นเอกสารที่สงวนไว้สำหรับการใช้งานเพื่อการศึกษาเท่านั้น ไม่อนุญาตให้นำไปใช้ประโยชน์ด้านการค้า ไม่ว่ากรณีใดๆ ทั้งสิ้น อีกทั้งห้ามมิให้ตัดแปลงเนื้อหาและต้องอ้างอิงถึงเจ้าของเอกสารทุกครั้งที่มีการนำไปใช้

นอกจากจะเปลี่ยนแปลงตามความถี่อย่างเดียว ทำให้จำเป็นต้องมีวงจร limiter เพิ่มเข้ามาอีกวงจร ซึ่งในที่นี้เราจะขอกกล่าวถึง ควอคราเทอร์ ดีมอดคูเลเตอร์ เท่านั้น

FM ดีมอดคูเลเตอร์แบบควอคราเทอร์ ดีมอดคูเลเตอร์แบบควอคราเทอร์ จะสกัดสัญญาณข้อมูลเดิมจากสัญญาณ IF รวม(composite IF) โดยการคูณสัญญาณที่ควอคราเทอร์กัน (ต่างเฟสกัน 90 องศา) ซึ่งควอคราเทอร์ดีเทคเตอร์นี้จะใช้ ตัวชิฟท์เฟส 90 องศา (90 องศา phase shifter) วงจรจูนด์และ โพรคักท์ดีเทคเตอร์ (product detector) ในการดีมอดคูเลทสัญญาณ FM โดยตัวชิฟท์เฟส 90 องศา จะทำให้เกิดสัญญาณที่ต่างเฟสกับสัญญาณ IF ที่เข้ามา 90 องศา วงจรจูนด์จะเปลี่ยนแปลงเปลี่ยนแปลงทางความถี่เป็นการเปลี่ยนแปลงทางเฟสและ โพรคักท์ดีเทคเตอร์จะคูณสัญญาณ IF ที่เข้ามา กับสัญญาณ IF ที่ถูกชิฟท์เฟสแล้ว



รูปที่ 2.4.2 FM ดีมอดคูเลเตอร์แบบควอคราเทอร์

รูปที่ 2.4.2 แสดง schematic diagram ของ ควอคราเทอร์ ดีเทคเตอร์ แบบง่าย ๆ โดย C_i เป็นคาปาซิเตอร์ที่มีรีแอคแตนซ์ สูง ซึ่งเมื่อต่ออนุกรมกับวงจรเทงก์ (R_o , L_o , C_o) จะทำให้เฟสของสัญญาณ IF ชิฟท์ไป 90 องศาที่ความถี่กลางของสัญญาณ IF วงจรเทงก์จะถูกจูนด์ไปที่ความถี่กลางของสัญญาณ IF และทำให้เกิดเฟสชิฟท์เพิ่มเข้ามาซึ่งเป็นสัดส่วนกับการเบี่ยงเบนทางความถี่สัญญาณ IF ที่อินพุท (V_i) จะถูกคูณด้วยสัญญาณควอคราเทอร์ (V_o) ที่โพรคักท์ดีเทคเตอร์ เอกสารนี้เป็นเอกสารที่สงวนไว้สำหรับการใช้งานเพื่อการศึกษาเท่านั้น ไม่อนุญาตให้นำไปใช้ประโยชน์ทางการค้า ไม่ว่ากรณีใดๆ ทั้งสิ้น อีกทั้งห้ามมิให้ดัดแปลงเนื้อหาและต้องอ้างอิงถึงเจ้าของเอกสารทุกครั้งที่มีการนำไปใช้

และทำให้เกิดสัญญาณเอาต์พุตที่เป็นสัดส่วนกับการเบี่ยงเบนทางความถี่ ที่ความถี่เรโซแนนท์ อิมพีแดนซ์ของวงจรเทงค์จะมีความต้านทานอย่างเดียวกันแต่เมื่อมีการเปลี่ยนแปลงทางความถี่ของสัญญาณ IF จะทำให้เกิดการซีฟท์เฟสเพิ่มขึ้นหรือลดลง ดังนั้นแรงดันเอาต์พุตของโพรคักต์ดีเทคเตอร์จะเป็นสัดส่วนกับความต่างเฟสระหว่างสองสัญญาณอินพุตหรือเขียนได้เป็น

$$V_{out} = V_i V_o = [V_i \sin(\omega_i t + \theta)] [V_o \cos(\omega_o t)]$$

และจาก

$$\sin x \cos y = \frac{1}{2} [\sin(x+y) + \sin(x-y)]$$

จะได้

$$V_{out} = \frac{V_i V_o}{2} [\sin(2\omega_i t + \theta) + \sin(\theta)]$$

โดยกรองฮาร์โมนิกที่สอง ($2\omega_i$) ออกไปจะเหลือเพียง

$$V_{out} = \frac{V_i V_o}{2} \sin(\theta)$$

เมื่อ

$$\theta = \tan^{-1} \rho Q$$

$$\rho = 2\pi f / f_o$$

$$Q = \text{quality factor ของวงจรเทงค์}$$

เมื่อได้สัญญาณข้อมูลคืนมาแล้ว สัญญาณดังกล่าวก็จะถูกนำไปประมวลผลให้เกิดประโยชน์ตามความต้องการ อย่างเช่น ถ้าเป็นการสื่อสารสัญญาณเสียง เมื่อได้เอาต์พุตสัญญาณเสียงมาแล้ว ที่เอาต์พุตของดีเทคเตอร์ก็จะมีวงจรขยายสัญญาณเสียง (audio frequency amplifier) และถ้าโพงเพื่อทำหน้าที่ขับสัญญาณเสียงออกมา เพื่อให้สามารถรับฟังได้ หรือถ้าสัญญาณเป็นข้อมูลดิจิทัลที่เป็นรหัสควบคุม ที่เอาต์พุตของดีเทคเตอร์อาจมีไมโครโปรเซสเซอร์ มารับสัญญาณ เพื่อนำข้อมูลดังกล่าวไป ประมวลผลในการตัดสินใจการทำงานต่อไป

2.5 รายละเอียดอื่นๆ ที่เกี่ยวข้อง

ในหัวข้อนี้จะกล่าวถึงรายละเอียดอื่น ๆ ที่เกี่ยวข้องกับโครงการงานชิ้นนี้ โดยจะกล่าวแต่ละหัวข้อโดยย่อ ดังนี้

2.5.1 Visual Basic

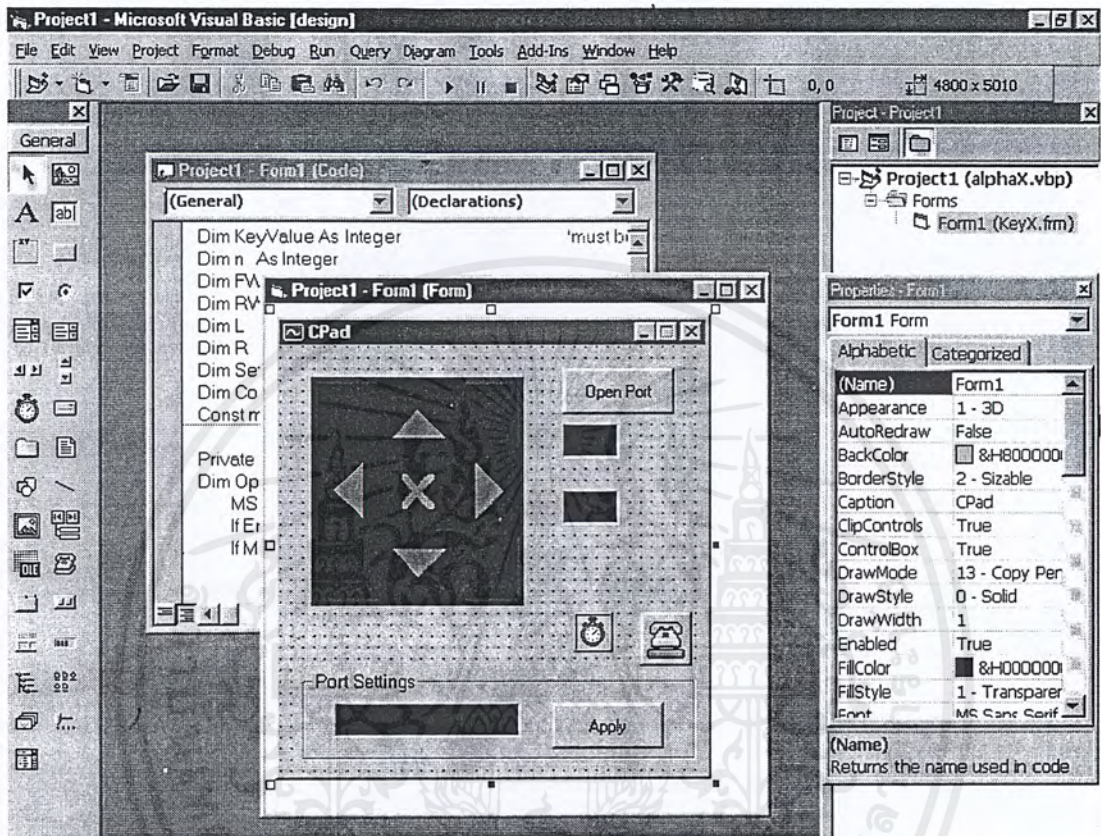
Visual Basic เป็นภาษาคอมพิวเตอร์ (Programming Language) ที่พัฒนาโดยบริษัท ไมโครซอฟท์ ซึ่งเป็นบริษัทยักษ์ใหญ่ที่สร้างระบบปฏิบัติการ Windows 95/98 และ Windows NT ที่เราใช้กันอยู่ในปัจจุบัน โดยตัวภาษาเองมีรากฐานมาจากภาษา Basic ซึ่งย่อมาจาก Beginner's All Purpose Symbolic Instruction ถ้าแปลให้ได้ความหมายก็คือ “ชุดคำสั่งหรือภาษาคอมพิวเตอร์สำหรับผู้เริ่มต้น” ภาษา Basic มีจุดเด่นคือผู้ที่ไม่มีพื้นฐานเรื่องการเขียนโปรแกรมเลยก็สามารถเรียนรู้และนำไปใช้งานได้อย่างง่ายดายและรวดเร็ว เมื่อเทียบกับการเรียนภาษาคอมพิวเตอร์อื่นๆ เช่น ภาษาซี (C) ปาสคาล (Pascal) ฟอรัทเรน (Fortran) หรือ แอสเซมบลี (Assembler)

ไมโครซอฟท์ได้พัฒนาโปรแกรมภาษา Basic มานานนับสิบปี ตั้งแต่ภาษา MBASIC (Microsoft Basic), BASICA (Basic Advanced), GWBASIC และ QuickBasic ซึ่งได้ติดตั้งมาพร้อมกับระบบปฏิบัติการ MS DOS ในที่สุดโดยใช้ชื่อว่า QBASIC โดยแต่ละเวอร์ชันที่ออกมานั้นได้มีการพัฒนาและเพิ่มคำสั่งต่าง ๆ เข้าไปโดยตลอด ในอดีตโปรแกรมภาษาเหล่านี้ล้วนทำงานใน Text Mode คือเป็นตัวอักษรล้วน ๆ ไม่มีภาพกราฟิกสวยงามแบบระบบ Windows อย่างในปัจจุบัน จนกระทั่งเมื่อระบบปฏิบัติการ Windows ได้รับความนิยมนอย่างสูงและเข้ามาแทนที่ DOS ไมโครซอฟท์ก็เล็งเห็นว่าโปรแกรมภาษาใน Text Mode นั้นคงถึงกาลที่หมดสมัย จึงได้พัฒนาปรับปรุงโปรแกรมภาษา Basic ของตนออกมาใหม่ เพื่อสนับสนุนการทำงานในระบบ Windows ทำให้ Visual Basic ถือกำเนิดขึ้นมาตั้งแต่บัดนั้น

Visual Basic เวอร์ชันแรกคือเวอร์ชัน 1.0 ออกสู่สายตาประชาชนตั้งแต่ปี 1991 โดยในช่วงแรกนั้นยังไม่มีความสามารถต่างจากภาษา QBASIC มากนัก แต่จะเน้นเรื่องเครื่องมือที่ช่วยในการเขียนโปรแกรมบนวินโดวส์ ซึ่งปรากฏว่า Visual Basic ได้รับความนิยมและประสบความสำเร็จเป็นอย่างดี ไมโครซอฟท์จึงพัฒนา Visual Basic ให้ดีขึ้นเรื่อย ๆ ทั้งในด้านประสิทธิภาพความสามารถ และ เครื่องมือต่าง ๆ เช่น เครื่องมือตรวจสอบแก้ไขโปรแกรม (debugger) สภาพแวดล้อมของการพัฒนาโปรแกรม การเขียนโปรแกรมแบบหลายวินโดวส์ย่อย (MDI) และอื่น ๆ อีกมากมาย

สำหรับ Visual Basic ในปัจจุบันคือเวอร์ชัน 6.0 ซึ่งออกมาในปี 1998 ได้เพิ่มความสามารถในการเขียนโปรแกรมติดต่อกับเครือข่ายอินเทอร์เน็ต การเชื่อมต่อระบบฐานข้อมูล รวมทั้งปรับปรุงเครื่องมือและการเขียนโปรแกรมเชิงวัตถุ (Object Oriented Programming) ให้เอกสารนี้เป็นเอกสารที่สงวนไว้สำหรับการใช้งานเพื่อการศึกษาเท่านั้น ไมอนุญาตให้นำไปโฆษณาตามการค้าไม่ว่ากรณีใดๆ ทั้งสิ้น อีกทั้งห้ามมิให้ดัดแปลงเนื้อหาและต้องอ้างอิงถึงเจ้าของเอกสารทุกครั้งที่มีการนำไปใช้

สมบูรณ์ยิ่งขึ้น พร้อมทั้งเพิ่มเครื่องมือต่าง ๆ อีกมากมาย ที่ทำให้ใช้ง่ายและสะดวกขึ้นกว่าเดิม รูปที่ 2.5.1 แสดงอินเทอร์เฟซของ Microsoft Visual Basic Version 6.0



รูปที่ 2.5.1 อินเทอร์เฟซของ Microsoft Visual Basic Version 6.0

ทำไมจึงต้องศึกษาการเขียนโปรแกรมด้วย Visual Basic

สาเหตุที่ Visual Basic เป็นภาษาที่เหมาะสมสำหรับการเรียนรู้ในการเขียนโปรแกรมนั้น เนื่องจาก Visual Basic มีข้อดีหลายประการคือ

1. ง่ายต่อการเรียนรู้เหมาะสำหรับผู้เริ่มต้น ทั้งในเรื่องไวยากรณ์ของภาษาเองและเครื่องมือการใช้งาน ดังชื่อที่บอกอยู่แล้วว่า basic ซึ่งเหมาะสำหรับผู้เริ่มต้น
2. ความนิยมของตัวภาษา โดยอาจกล่าวได้ว่าภาษา Basic นั้นเป็นภาษาที่มีคนเรียนรู้และใช้งานมากที่สุดในประวัติศาสตร์ของคอมพิวเตอร์
3. การพัฒนาอย่างต่อเนื่อง การปรับปรุงประสิทธิภาพในด้านของตัวภาษาและความเร็วของการประมวลผล และในเรื่องของความสามารถใหม่ๆ เช่น การติดต่อกับระบบฐานข้อมูล การเชื่อมต่อกับเครือข่ายอินเทอร์เน็ต

เอกสารนี้เป็นเอกสารที่สงวนไว้สำหรับการใช้งานเพื่อการศึกษาเท่านั้น ไม่อนุญาตให้นำไปใช้ประโยชน์ด้านการค้าไม่ว่ากรณีใดๆ ทั้งสิ้น อีกทั้งห้ามมิให้ดัดแปลงเนื้อหาและต้องอ้างอิงถึงเจ้าของเอกสารทุกครั้งที่มีการนำไปใช้

4. ผู้พัฒนาสำคัญของ Visual Basic คือบริษัทไมโครซอฟท์ซึ่งจัดว่าเป็นยักษ์ใหญ่ของวงการคอมพิวเตอร์ในปัจจุบัน เราจึงสามารถมั่นใจได้ว่า Visual Basic จะยังมีการพัฒนา ปรับปรุง และคงอยู่ไปอีกนาน

นอกจาก Visual Basic มาตรฐานแล้วยังมีภาษาที่เป็นแบบเดียวกันอีก 2 แบบ คือ

1. Visual Basic for Application Edition (VBA) ที่มาพร้อมกับชุด Microsoft Office และผลิตภัณฑ์อื่น ๆ อีกมากมายบน Windows เพื่อเพิ่มความสามารถในการเขียนโปรแกรมให้กับแอปพลิเคชันเหล่านั้น

2. VB Script Edition ที่มีการเขียนโปรแกรมเหมือนกับภาษา Visual Basic แทบทุกประการแต่มีการเขียนเป็น Script หรือเป็นชุดคำสั่ง (คล้ายกับ Batch File ใน DOS) ในปัจจุบัน VB Script มีการใช้กันอย่างแพร่หลายในการเขียนสร้างโฮมเพจในอินเทอร์เน็ต หรือในโปรแกรมประยุกต์ที่มีการติดต่อกับระบบฐานข้อมูลและระบบเครือข่าย

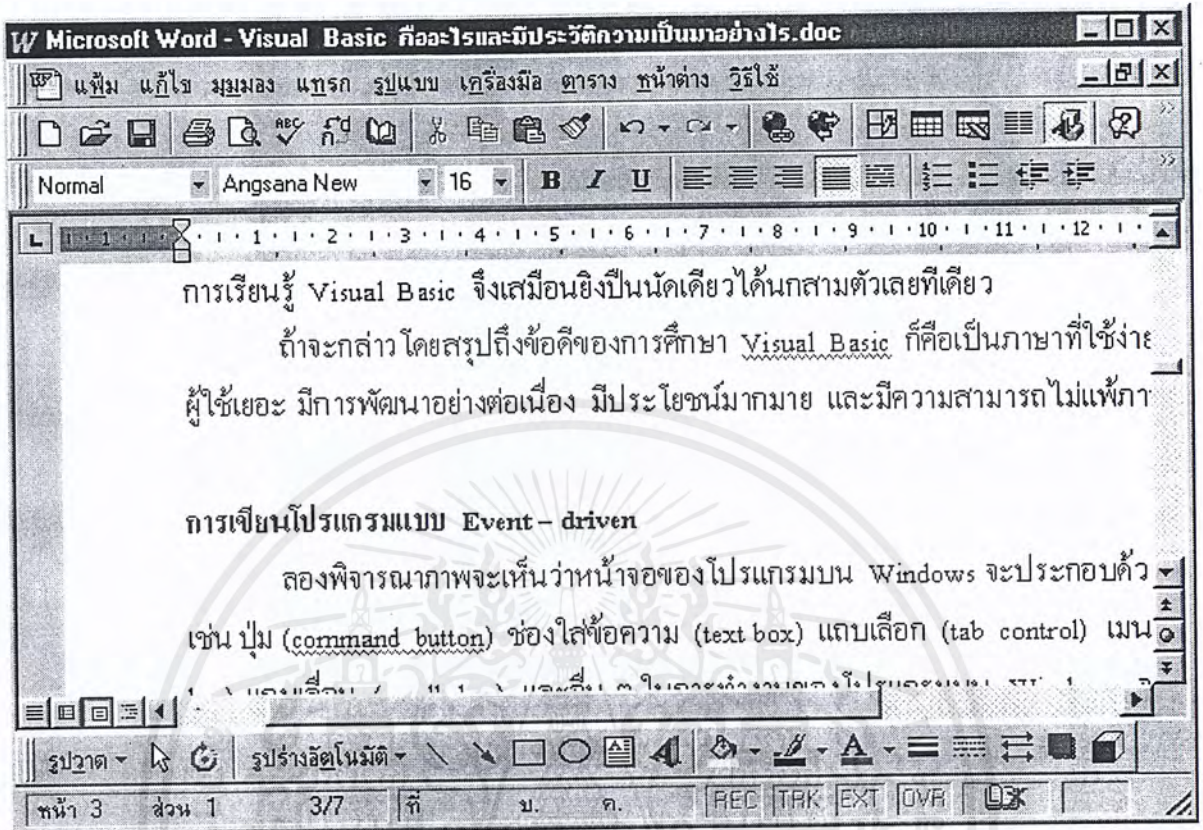
ภาษา VBA นี้จะทำให้ผู้ใช้งานสามารถใช้ภาษา Visual Basic เพื่อปรับปรุงการทำงานของโปรแกรมให้ตรงความต้องการและมีประสิทธิภาพมากยิ่งขึ้น ตัวอย่างเช่น โปรแกรม Word Excel หรือ PowerPoint ได้เตรียมภาษา VBA มาให้ผู้ใช้ ซึ่งการเขียนโปรแกรมแทบจะเหมือนกับภาษา Visual Basic ทุกประการ ทำให้ผู้ใช้สามารถปรับแต่งการทำงานของซีทค่านวณ Excel ได้หรือแม้กระทั่งเชื่อมต่อการทำงานระหว่างโปรแกรม เช่น เชื่อมข้อมูลระหว่าง Excel PowerPoint และ Word ให้ทำงานร่วมกันอย่างอัตโนมัติ ทั้ง VBA และ VB Script นั้นจึงเปรียบเสมือนผลพลอยได้ของผู้ศึกษา Visual Basic เนื่องจากมีไวยากรณ์ของภาษาที่เหมือนกัน ดังนั้นการเรียนรู้ Visual Basic จึงเสมือนยิงปืนนัดเดียวได้นกสามตัวเลยทีเดียว

ถ้าจะกล่าวโดยสรุปถึงข้อดีของการศึกษา Visual Basic ก็คือเป็นภาษาที่ใช้งานง่าย สะดวก มีผู้ใช้เยอะ มีการพัฒนาอย่างต่อเนื่อง มีประโยชน์มากมาย และมีความสามารถไม่แพ้ภาษาใด ๆ

การเขียนโปรแกรมแบบ Event – driven

ลองพิจารณารูปที่ 2.5.2 จะเห็นว่าหน้าจอของโปรแกรมบน Windows จะประกอบด้วยส่วนต่าง ๆ เช่น ปุ่ม (command button) ช่องใส่ข้อความ (text box) แถบเลือก (tab control) เมนูบาร์ (menu bar) แถบเลื่อน (scroll bar) และอื่น ๆ ในการทำงานของโปรแกรมบน Windows จะเห็นได้ว่าผู้ใช้ติดต่อกับโปรแกรมโดยการกระทำกับส่วนประกอบเหล่านั้นนั่นเอง เช่น การกดปุ่ม เลื่อนเมาส์ หรือคีย์ข้อมูลลงในช่องใส่ข้อความ เป็นต้น และโปรแกรมก็จะตอบสนองต่อเหตุการณ์ต่าง ๆ ที่กระทำลงไป

จะสังเกตได้ว่าการทำงานของระบบ Windows ที่ประกอบด้วยการตอบสนองต่อการควบคุมเหตุการณ์ต่าง ๆ มากมาย ที่เกิดจากการกระทำของผู้ใช้ จึงทำให้เกิดแนวคิดของการเขียน

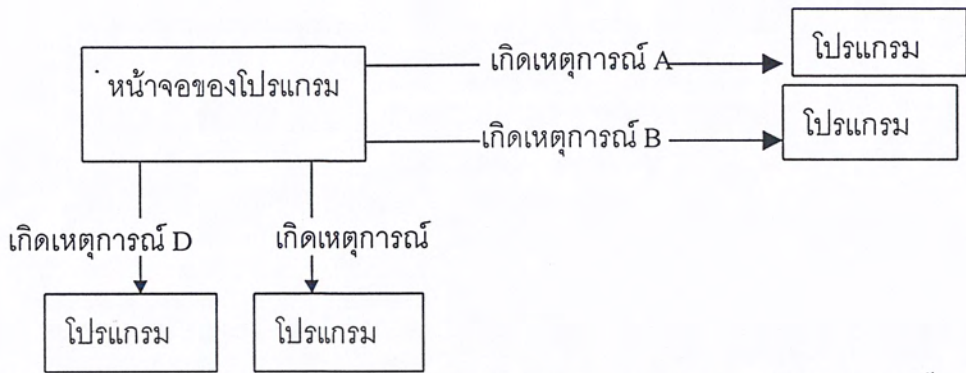


รูปที่ 2.5.2 ใน Windows ตัวโปรแกรมจะประกอบด้วยส่วนต่างๆ มากมาย

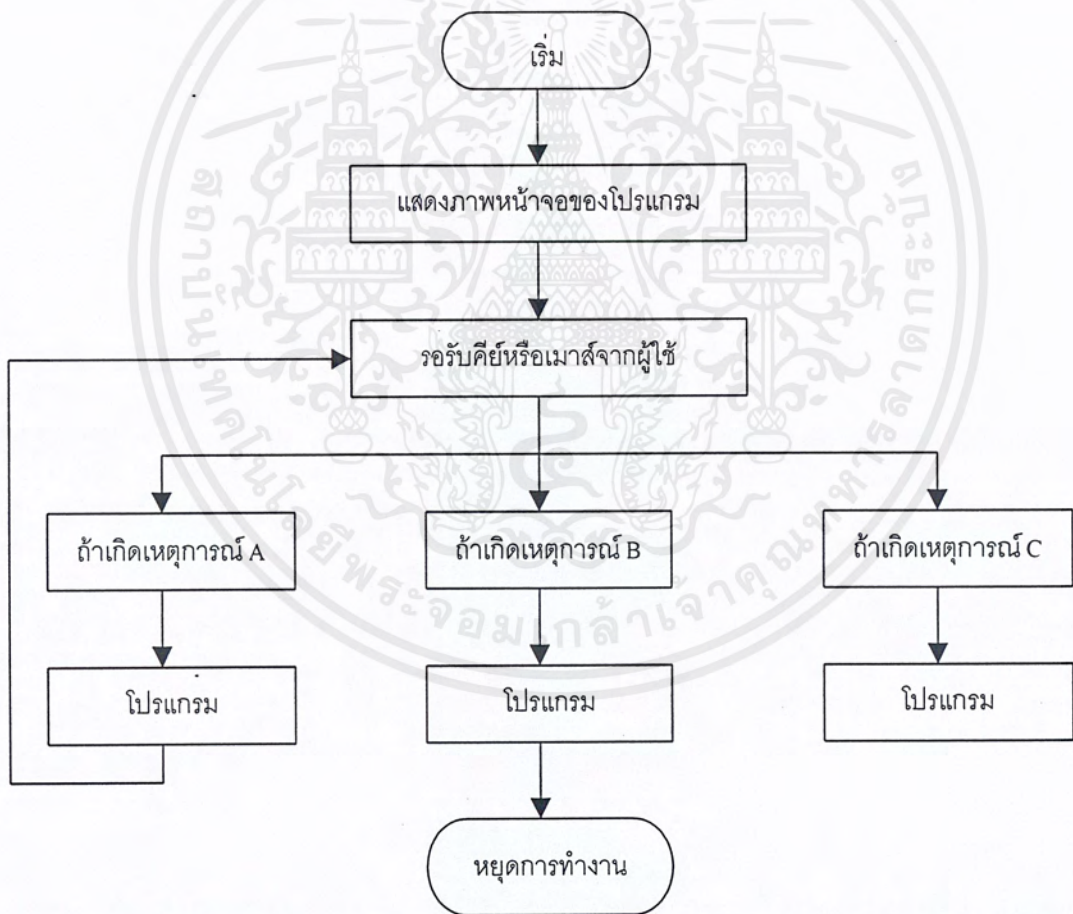
โปรแกรมแบบ Event – driven ขึ้น นั่นคือ การเขียนโปรแกรมผูกไว้กับเหตุการณ์ที่สามารถเกิดขึ้นกับออบเจกต์หรือส่วนประกอบต่าง ๆ ปรากฏอยู่บนหน้าจอให้ผู้ใช้เห็นและทำงานด้วย

ถ้าลองเปรียบเทียบกับ การเขียนโปรแกรมแบบเดิม หรือที่เราเรียกว่า Procedural programming จะเห็นว่าในโปรแกรมแบบเดิมนั้นจะมีจุดเริ่มต้นและทางเดินของโปรแกรมแน่นอนตายตัวตามที่โปรแกรมเมอร์กำหนด โดยคนเขียนโปรแกรมต้องเขียนโค้ดเพื่อตรวจสอบเองว่าผู้ใช้กดคีย์อะไร ใช้เมาส์คลิกที่ส่วนไหนและบอกให้โปรแกรมทำงานตามต้องการ ซึ่งจะต่างจากการเขียนโปรแกรมแบบ Event – driven ที่ในตัวภาษาจะมีการกำหนดแบ่งแยกเหตุการณ์ต่าง ๆ ไว้อย่างชัดเจน และคอยตรวจสอบเหตุการณ์เหล่านั้น ทำให้ผู้เขียนโปรแกรมสามารถควบคุมการทำงาน โดยการสร้างโปรแกรมขึ้นมารองรับเหตุการณ์ได้อย่างง่ายดาย จะเห็นได้ว่า โปรแกรมแบบ Event – driven นี้ทำให้การเขียนโปรแกรมบน Windows ทำได้อย่างง่ายและสะดวกกว่าแบบ Procedural programming มาก

เอกสารนี้เป็นเอกสารที่สงวนไว้สำหรับการใช้งานเพื่อการศึกษาเท่านั้น ไม่อนุญาตให้นำไปใช้ประโยชน์ด้านการค้าไม่ว่ากรณีใดๆ ทั้งสิ้น อีกทั้งห้ามมิให้ดัดแปลงเนื้อหาและต้องอ้างอิงถึงเจ้าของเอกสารทุกครั้งที่มีการนำไปใช้



รูปที่ 2.5.3 โฟลว์ชาร์ตแสดง Event – driven Programming มีทางเดินไม่แน่นอนขึ้นอยู่กับเหตุการณ์ที่เกิดขึ้น



รูปที่ 2.5.4 โฟลว์ชาร์ตแสดง Procedural Programming มีทางเดินตั้งแต่เริ่มต้นจนจบที่ชัดเจน โปรแกรมเมอร์ ต้องตรวจสอบเหตุการณ์ต่างๆ เอง

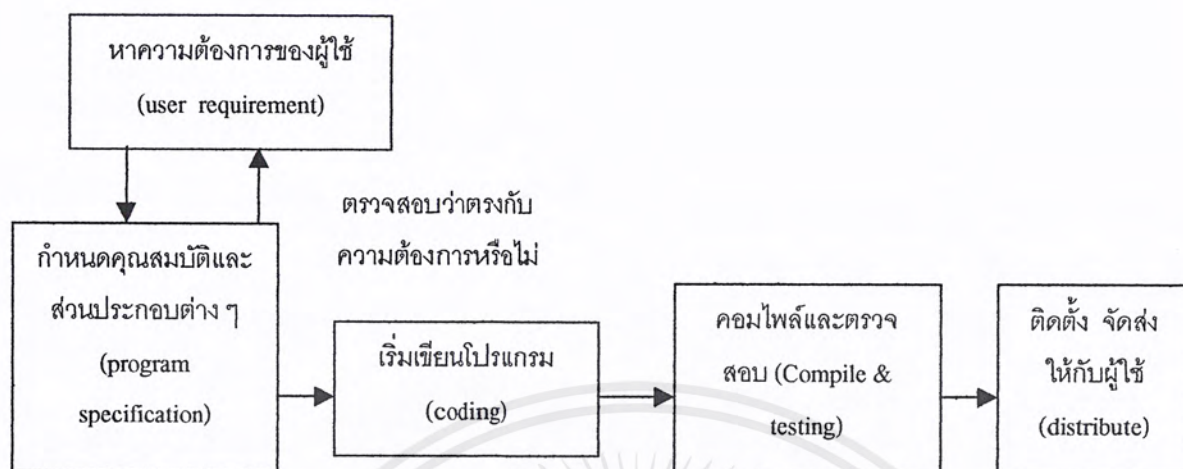
เอกสารนี้เป็นเอกสารที่สงวนไว้สำหรับการใช้งานเพื่อการศึกษาเท่านั้น ไม่อนุญาตให้นำไปใช้ประโยชน์ด้านการค้าไม่ว่ากรณีใดๆ ทั้งสิ้น อีกทั้งห้ามมิให้ดัดแปลงเนื้อหาและต้องอ้างอิงถึงเจ้าของเอกสารทุกครั้งที่มีการนำไปใช้

ขั้นตอนการออกแบบและเขียนโปรแกรมคอมพิวเตอร์โดยทั่วไป

บางคนอาจคิดว่าการวางแผนงานเป็นขั้นตอนนั้นไม่จำเป็นสำหรับงานโปรแกรม แน่แน่นอนขั้นตอนเหล่านี้อาจไม่จำเป็นถ้าเราสร้างโปรแกรมเล็ก ๆ ของเราเองและไม่มีข้อจำกัดของเวลา แต่ในโลกความเป็นจริงแล้ว เวลาเป็นส่วนสำคัญอย่างมากของโครงการใด ๆ เนื่องจากเวลาเปรียบเสมือนทุนที่เราต้องเสียไป การแบ่งการทำงานอย่างเป็นขั้นตอนและเป็นระบบนี้จะช่วยให้เราทราบความต้องการอย่างแท้จริงจากผู้ใช้งานโปรแกรม การสร้าง Program specification ซึ่งเป็นหน้าตาและหน้าที่การทำงานอย่างละเอียดของโปรแกรม จะช่วยให้เรามีเป้าหมายเป็นตัวคนชัดเจน ทำให้ทั้งผู้เขียนโปรแกรมและผู้ใช้โปรแกรมสามารถเห็นภาพของโปรแกรมได้ตรงกันตั้งแต่เริ่มต้น

นอกจากนี้การที่เราแบ่งงานแยกออกเป็นขั้นตอนย่อย ๆ จะช่วยให้ทราบว่าขณะนี้เรากำลังอยู่ ณ จุดใดของเป้าหมาย ทำให้ทราบว่าเราจะไปถึงปลายทางเมื่อใด ทันเวลาและทันความต้องการของผู้ใช้หรือไม่ ซึ่งถ้าเราไม่มีขั้นตอนหรือเป้าที่ชัดเจน ก็เปรียบเสมือนเรือไร้เข็มทิศที่ไม่ทราบเลยว่าขณะนี้อยู่ที่จุดใด ก็น่าจะไปทางไหน และเมื่อไรจะสิ้นสุดโครงการหรือโปรแกรมของเรา โดยทั่วไปสามารถแบ่งการพัฒนาและเขียนโปรแกรมเป็นขั้นตอนหลัก ๆ ได้ดังนี้

- ขั้นตอนที่ 1 ศึกษาความต้องการของผู้ใช้ (user requirement) และกำหนดวัตถุประสงค์ของโปรแกรม (objective)
- ขั้นตอนที่ 2 ออกแบบหน้าจอของโปรแกรมที่เราต้องการ (prototype) พร้อมกำหนดคุณสมบัติและส่วนประกอบต่าง ๆ ของโปรแกรมโดยละเอียด (program specification)
- ขั้นตอนที่ 3 เริ่มเขียนโปรแกรม (coding)
- ขั้นตอนที่ 4 รวบรวมโปรแกรม แปลงให้อยู่ในรูปแบบที่พร้อมใช้งาน (compile) และทดสอบการทำงานของโปรแกรม (testing)
- ขั้นตอนที่ 5 แจกจ่ายโปรแกรมของเราสู่มือของผู้ใช้งาน (distribute)

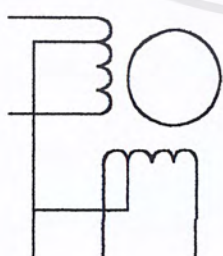


รูปที่ 2.5.5 ขั้นตอนการออกแบบและเขียนโปรแกรมคอมพิวเตอร์

2.5.2 สเต็ปเปอร์มอเตอร์แบบยูนิโพลาร์

สเต็ปเปอร์มอเตอร์ได้รับการพัฒนาอย่างต่อเนื่อง จนในปัจจุบันสเต็ปเปอร์มอเตอร์ที่นิยมใช้อย่างแพร่หลายมากที่สุด และหาได้ง่ายคือ สเต็ปเปอร์มอเตอร์แบบยูนิโพลาร์ (uni – polar stepper motor) มีลักษณะการพันขดลวดของมอเตอร์แสดงในรูปที่ 2.5.6

สเต็ปเปอร์มอเตอร์แบบนี้มีการพันขดลวด 2 ขด บนแต่ละขั้วแม่เหล็กของสเตเตอร์ แต่ละขด แบ่งเป็น 2 เฟส รวมมอเตอร์ทั้งตัวจะมี 4 เฟส คือ เฟส 1 2 3 และ 4 มีการต่อสายออกมาจากขดลวด แต่ละขดเพื่อจ่ายไฟเลี้ยง ทำให้สเต็ปเปอร์มอเตอร์แบบนี้มีทั้งแบบ 5 สายและ 6 สาย ถ้าเป็นแบบ 5 สาย จะเป็นการนำสายไฟเลี้ยงของขดลวดทั้งสองมาต่อรวมกันเป็นสายเดียว



แบบ 5 สาย 4 เฟส



แบบ 6 สาย 4 เฟส

รูปที่ 2.5.6 โครงสร้างอย่างง่ายของสเต็ปเปอร์มอเตอร์แบบยูนิโพลาร์

เอกสารนี้เป็นเอกสารที่สงวนไว้สำหรับการใช้งานเพื่อการศึกษาเท่านั้น ไม่อนุญาตให้นำไปใช้ประโยชน์ด้านการค้าไม่ว่ากรณีใดๆ ทั้งสิ้น อีกทั้งห้ามมิให้ดัดแปลงเนื้อหาและต้องอ้างอิงถึงเจ้าของเอกสารทุกครั้งที่มีการนำไปใช้

การกระตุ้นและควบคุมการหมุนของสเต็ปเปอร์มอเตอร์

การกระตุ้นและควบคุมการหมุนของมอเตอร์ให้เคลื่อนที่ไปแต่ละสเต็ปทำได้โดยจ่ายกำลังไฟฟ้าไปยังขดลวดแต่ละขดบนสเตเตอร์ ซึ่งต้องป้อนเป็นแบบซีควเอนเชียลในรูปแบบที่ถูกต้องด้วย สามารถแบ่งได้เป็น 3 รูปแบบคือ แบบหนึ่งเฟส (single phase) แบบ 2 เฟส (two phase) และแบบครึ่งสเต็ป (half step)

แบบหนึ่งเฟสหรือแบบฟูลสเต็ป (full step) หรือแบบเวฟ เป็นการกระตุ้นที่มีรูปแบบง่ายที่สุด โดยทำการกระตุ้นขดลวดทีละขดในเวลาหนึ่งไล่เรียงถัดกันไป เช่น เริ่มต้นที่ขดที่ 1, 2, 3, 4 แล้ววนกลับมาขดที่ 1 วนไปเรื่อย ๆ หรือเริ่มที่ขดที่ 1 แล้วย้อนไปยังขดที่ 4, 3, 2 แล้วกลับมาขดที่ 1 อีกครั้ง ซึ่งทำให้ทิศทางการหมุนสวนกัน ในการกระตุ้นรูปแบบนี้จึงมีขดลวดเพียงขดเดียวในเวลาหนึ่งที่ถูกกระตุ้นเท่านั้น วงจรกระตุ้นแบบเวฟจึงมีราคาถูกและง่าย ขั้นตอนการทำงานต่าง ๆ แสดงดังในตารางที่ 2.5.1

แบบ 2 เฟส เป็นการกระตุ้นซึ่งคล้ายกับแบบหนึ่งเฟส แต่การกระตุ้นแบบนี้จะทำการกระตุ้นโดยจ่ายกำลังไฟฟ้าไปที่ขดลวด 2 ขด ที่อยู่ใกล้กันในเวลาเดียวกัน และเรียงถัดกันไปเช่นเดียวกับแบบเวฟ ดังตัวอย่าง ขดลวดชุดแรกที่ถูกกระตุ้นจะเป็นขดที่ 1 และ 2 ตามด้วยการกระตุ้นขดที่ 2 และ 3 ต่อไปเป็นขดที่ 3 และ 4 ถัดไปเป็นขดที่ 4 และ 1 แล้วกลับมาที่ขดที่ 1 และ 2 วนไปตามลำดับเช่นนี้ หรือเริ่มที่ขด 1 และ 4 ตามด้วยขดที่ 4 และ 3 ถัดไปเป็นขดที่ 3 และ 2 ต่อไปเป็นขดที่ 2 และ 1 แล้ววนกลับมาที่ขดที่ 1 และ 4 ทิศทางการหมุนจะสวนทางกัน การกระตุ้นสเต็ปเปอร์มอเตอร์แบบนี้สามารถเพิ่มแรงบิดได้มากกว่าแบบเวฟ โรเตอร์จะเคลื่อนที่ด้วยแรงดึงอย่างเต็มแรงจาก 2 ขดลวดที่ถูกกระตุ้นพร้อมกัน และต่อไปด้วยแรงดึงจากอีก 2 ขดลวดถัดไป สำหรับข้อเสียคือการกระตุ้นแบบนี้ต้องใช้กำลังไฟฟ้ามกขึ้น ขั้นตอนการทำงานต่าง ๆ แสดงดังในตารางที่ 2.5.2

แบบครึ่งสเต็ปเป็นรูปแบบที่ผสมผสานระหว่างการกระตุ้นแบบเวฟและแบบ 2 เฟส เพื่อเพิ่มจำนวนของสเต็ปต่อรอบอีกเท่าตัวหนึ่ง ในระบบนี้จะทำการกระตุ้นขดลวดเรียงกันไปเป็นลำดับ เริ่มจากขดลวดที่ 1, 1 และ 2, 2, 2 และ 3, 3, 3 และ 4, 4, 4 และ 1 แล้ววนกลับมาขดลวดที่ 1 แรงบิดที่ได้จากการกระตุ้นแบบนี้จะเพิ่มมากขึ้นอีก เพราะช่วงสเต็ปมีระยะสั้นลง แต่ละสเต็ปเกิดแรงดึงจากขดลวด 2 ขด ที่ถูกกระตุ้นพร้อมกัน ความถูกต้องของตำแหน่งมีเพิ่มมากขึ้น แต่ต้องพึงระวังไว้อีกประการหนึ่งว่า เมื่อกระตุ้นให้ทำงานในรูปแบบนี้จะต้องทำการหมุนถึง 2 สเต็ป จึงจะได้เท่ากับระยะเท่ากับ 1 สเต็ปเต็มของการควบคุมใน 2 แบบแรก สำหรับแหล่งจ่ายกำลังไฟฟ้าต้องใช้ขนาดเท่ากับแบบ 2 เฟส เป็นอย่างน้อย จึงจะเพียงพอ ขั้นตอนการทำงานต่าง ๆ แสดงดังในตารางที่ 2.5.3

สเต็ปที่	เฟสที่ 1	เฟสที่ 2	เฟสที่ 3	เฟสที่ 4
1	ทำงาน	-	-	-
2	-	ทำงาน	-	-
3	-	-	ทำงาน	-
4	-	-	-	ทำงาน

ตารางที่ 2.5.1 แสดงลำดับการทำงานของขดลวดในแต่ละเฟสของมอเตอร์ เมื่อได้รับการกระตุ้นแบบหนึ่งเฟส

สเต็ปที่	เฟสที่ 1	เฟสที่ 2	เฟสที่ 3	เฟสที่ 4
1	ทำงาน	ทำงาน	-	-
2	-	ทำงาน	ทำงาน	-
3	-	-	ทำงาน	ทำงาน
4	ทำงาน	-	-	ทำงาน

ตารางที่ 2.5.2 แสดงลำดับการทำงานของขดลวดในแต่ละเฟสของมอเตอร์ เมื่อได้รับการกระตุ้นแบบสองเฟส

สเต็ปที่	เฟสที่ 1	เฟสที่ 2	เฟสที่ 3	เฟสที่ 4
1	ทำงาน	-	-	-
2	ทำงาน	ทำงาน	-	-
3	-	ทำงาน	-	-
4	-	ทำงาน	ทำงาน	-
5	-	-	ทำงาน	-
6	-	-	ทำงาน	ทำงาน
7	-	-	-	ทำงาน
8	ทำงาน	-	-	ทำงาน

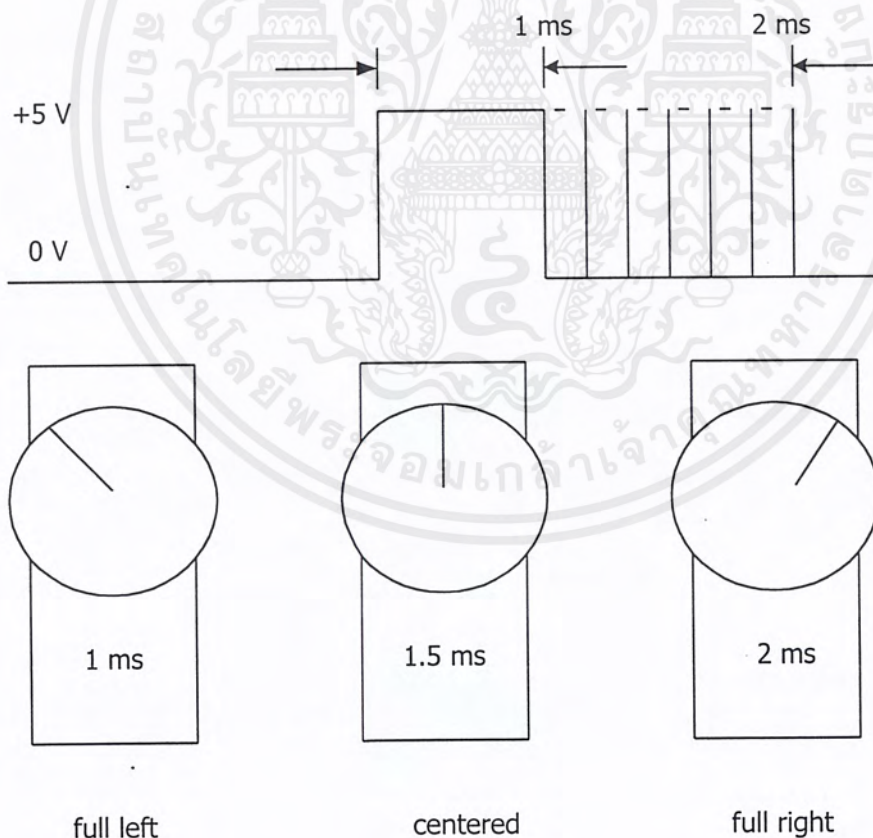
ตารางที่ 2.5.3 แสดงลำดับการทำงานของขดลวดในแต่ละเฟสของมอเตอร์ เมื่อได้รับการกระตุ้นแบบครึ่งสเต็ป

เอกสารนี้เป็นเอกสารที่สงวนไว้สำหรับการใช้งานเพื่อการศึกษาเท่านั้น ไม่อนุญาตให้นำไปใช้ประโยชน์ด้านการค้าไม่ว่ากรณีใดๆ ทั้งสิ้น อีกทั้งห้ามมิให้ดัดแปลงเนื้อหาและต้องอ้างอิงถึงเจ้าของเอกสารทุกครั้งที่มีการนำไปใช้

2.5.3 การทำงานของเซอไวมอเตอร์

เซอไวมอเตอร์จะรับสัญญาณพัลส์ (Pluse) เพื่อใช้ในการกำหนดการหมุน สัญญาณพัลส์ที่ได้มีความกว้าง 1.5 ms จะทำให้เซอไวมอเตอร์ กลับมาอยู่ที่ตำแหน่งกึ่งกลาง (Centered) เมื่อสัญญาณพัลส์มีความกว้างเพิ่มมากขึ้นเช่น ถ้าต้องการให้เซอไวมอเตอร์หมุนมาทางขวา (Right) ก็ต้องเพิ่มความกว้างของช่วงพัลส์จาก 1.5 ms เพิ่มมาเป็น 1.8 , 1.9 , 2.0 เซอไวมอเตอร์ก็จะหมุนตามมาทางขวาเรื่อย ๆ เมื่อเพิ่มความกว้างของช่วงพัลส์ไปจนถึง 2 ms ซึ่งเป็นตำแหน่งที่เซอไวมอเตอร์จะหมุนไปที่ตำแหน่งขวาสุด (Full Right) ในทำนองกลับกัน ถ้าต้องการให้เซอไวมอเตอร์หมุนไปทางซ้าย (Left) ก็ต้องลดช่วงพัลส์ให้แคบลงไปเรื่อย ๆ จนไปถึง 1 ms เซอไวมอเตอร์ก็จะหมุนมาทางซ้ายสุด (Full Left)

กระแสไฟที่ใช้กับเซอไวมอเตอร์ใช้ได้ตั้งแต่ 4.8 Vdc. ไปจนถึง 6.0 Vdc. ห้ามจ่ายแรงดันไฟฟ้ามากเกินไป เพราะจะมีผลทำให้วงจรที่อยู่ภายในเซอไวมอเตอร์เกิดความเสียหายได้

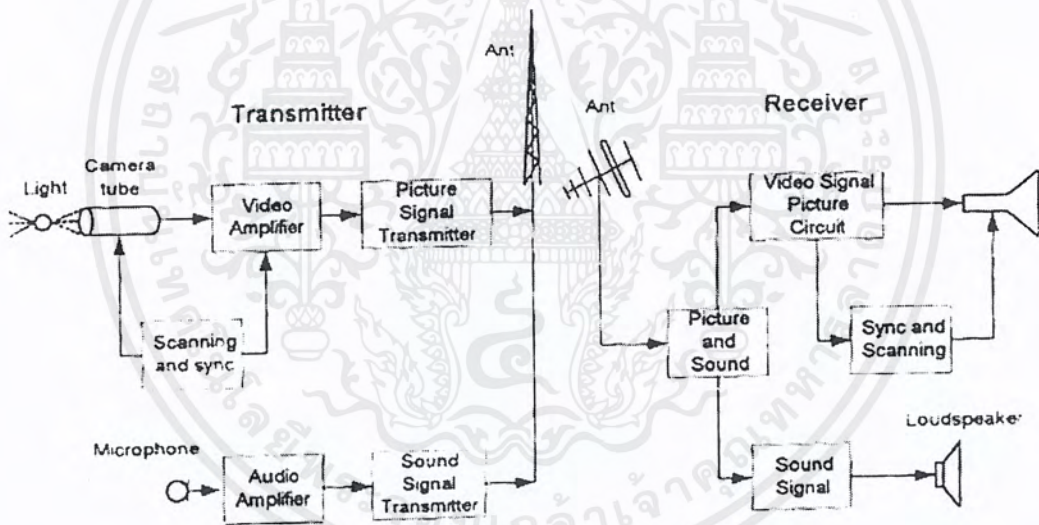


รูปที่ 2.5.7 การควบคุมเซอไวมอเตอร์

เอกสารนี้เป็นเอกสารที่สงวนไว้สำหรับการใช้งานเพื่อการศึกษาเท่านั้น ไม่อนุญาตให้นำไปใช้ประโยชน์ด้านการค้าไม่ว่ากรณีใดๆ ทั้งสิ้น อีกทั้งห้ามมิให้ดัดแปลงเนื้อหาและต้องอ้างอิงถึงเจ้าของเอกสารทุกครั้งที่มีการนำไปใช้

2.5.4 หลักการเบื้องต้นของการแพร่ภาพ

การแพร่ภาพ (Television Broadcasting) หากจะเอาความหมายของคำว่า Broadcast แล้ว คงจะหมายถึงการส่งสัญญาณออกไปรอบตัว (to sent out in al direction) ซึ่งได้แสดงวิธีการเอาไว้ในรูป 2.5.5 หลักการเบื้องต้นของการแพร่ภาพโทรทัศน์คือ การส่งกระจายทั้งภาพและเสียงออกไปในรูปสัญญาณแม่เหล็กไฟฟ้า เพื่อให้เครื่องรับสามารถรับได้ทั้งภาพและเสียงอย่างต่อเนื่อง แต่จริง ๆ แล้ว ภาพที่ต่อเนื่องได้นั้นมาจากการส่งภาพนิ่งที่มีความแตกต่างกันเล็กน้อยหลาย ๆ ภาพต่อเนื่องกันในช่วงเวลาสั้น ๆ เหมือนหลักการของภาพยนตร์นั่นเอง เราได้หลักการอยู่อย่างหนึ่งว่า หากภาพนิ่งเหล่านั้นถูกนำมาลำดับตั้งแต่ 16 ภาพต่อวินาทีขึ้นไป สายตาของคนเราจะเห็นเป็นภาพต่อเนื่องหรือภาพเคลื่อนไหวที่ได้ เพราะการทำงานของประสาทตามีลักษณะพิเศษที่เรียกว่า Persistence of Vision เป็นความรู้สึกเห็นติดตาชั่วขณะจึงจะจางหายไปจากระบบประสาท



รูปที่ 2.5.8 แสดงบล็อกไดอะแกรมเบื้องต้นของกระบวนการแพร่ภาพโทรทัศน์

เครื่องส่งโทรทัศน์ต้องประกอบไปด้วย 2 ส่วนใหญ่ ๆ คือ ส่วนที่เป็นสัญญาณภาพและส่วนที่เป็นสัญญาณเสียง (Visual and Aural) โดยสัญญาณภาพจะส่งไปในรูปของสัญญาณเอเอ็ม และสัญญาณเสียงจะส่งไปในรูปของสัญญาณเอฟเอ็ม การแพร่กระจายคลื่นออกไปในรูปของแม่เหล็กไฟฟ้าจากตัวสายอากาศ (Radiating Antenna) โดยทั่วไปหากเป็นสถานีภาคพื้นดินจะครอบคลุมพื้นที่ทางตรงได้ประมาณ 75 ไมล์ หรือ 121 กิโลเมตร

กล้องโทรทัศน์จะรับเอาสัญญาณภาพในรูปของพลังงานแสงเข้าไปยังตัวของมันเพื่อเปลี่ยนให้เป็นพลังงานไฟฟ้า หลักการเบื้องต้นของกล้องอยู่ที่ว่าแสงจะผ่าเลนส์เข้าไปกระทบแผ่นโฟโตอิเล็กตรอนเป็นอิเล็กตรอนที่ส่งแรงไว้สำหรับกระชากเพื่อการศึกษาเท่านั้น ไม่นับญาติเหินาไปไซ้ประโยชน์ดานการค่าไม่ว่ากรณีใดๆ ทั้งสิ้น อีกทั้งห้ามมิให้ตัดแปลงเนื้อหาและต้องอ้างอิงถึงเจ้าของเอกสารทุกครั้งที่มีการนำไปใช้

อิเล็กทริกเพลท(Photoelectric Plate) ของหลอดถ่ายภาพ ซึ่งหลอดนี้จะทำการสแกนหรือกวาดรับสัญญาณในแนวนอน (Horizontal Line) โดยการบังคับตัวอิเล็กตรอนบีม(Electron Beam) ให้กวาดจากซ้ายไปขวาและบนลงล่าง โดยภาพหนึ่งเฟรมจะใช้เวลา 1/25 หรือ 1/30 วินาที รวมการสแกนทั้งหมดด้วยเส้นสแกน 625 เส้น หรือ 525 เส้น สัญญาณที่ออกไปทางเอาต์พุตจะเป็นสัญญาณไฟฟ้าที่ต่อเนื่อง (Sequence of Electrical Variation) สัญญาณภาพดังกล่าวจะถูกส่งไปขยายให้แรงขึ้น แล้วนำไปผสมกับซิงโครไนซิงพัลส์ (Synchronizing Pulse) แล้วทำการผสมสัญญาณทางแอมพลิฟายด์กับคลื่นพาหภาพ (Picture Carrier) เพื่อให้ได้สัญญาณภาพเป็น เอเอ็ม ส่วนสัญญาณเสียงจะถูกส่งเข้าวงจรขยายสัญญาณก่อนที่ผสมสัญญาณกับคลื่นพาหเสียง เพื่อให้ได้สัญญาณเสียงเป็นเอฟเอ็ม

เครื่องรับโทรทัศน์จะรับสัญญาณจากสายอากาศเข้ามาทั้งภาพและเสียง นำสัญญาณนี้ไปทำการดีเทคเตอร์แยกภาพและเสียงออกไปใช้งาน โดยสัญญาณภาพนั้นจะถูกส่งไปจอหลอดภาพ (CRT) ซึ่งมีส่วนคล้ายหลอดคออสซิลโลสโคปที่แก้วข้างหน้าเคลือบฉาบฟลูออเรสเซนต์ไว้ ภายในหลอดจะมีปืนอิเล็กตรอนที่มีการบังคับการบีบลำให้ยิงไปยังหน้าจอ ทำให้สารฟอสเฟอร์เกิดการเรืองแสงขึ้นที่จอ

ความถี่และช่องที่ใช้ส่งโทรทัศน์

ในประเทศไทยสถานีส่งโทรทัศน์ทั้งหมดใช้ความถี่ระบบ CCIR และส่งออกอากาศเป็นโทรทัศน์สีระบบ PAL-B ไม่มีช่องใดส่งเป็นโทรทัศน์ขาวดำเลย แต่สัญญาณของโทรทัศน์สีก็ต้องทำให้ (compatible) กับเครื่องรับโทรทัศน์ขาวดำ คือ ให้เครื่องรับขาวดำสามารถรับสัญญาณจากโทรทัศน์สีได้โดยไม่ต้องดัดแปลงแก้ไข

สถานีส่งโทรทัศน์ที่เป็นแม่ข่ายจะตั้งอยู่ในกรุงเทพฯ ในระบบ VHF มีทั้งหมด 5 ช่อง คือ ช่อง 3, ช่อง 5, ช่อง 7, ช่อง 9 และช่อง 11 ระบบ UHF ของไอทีวีอีก 3 ช่อง คือ ช่อง 26, 29 และ 47

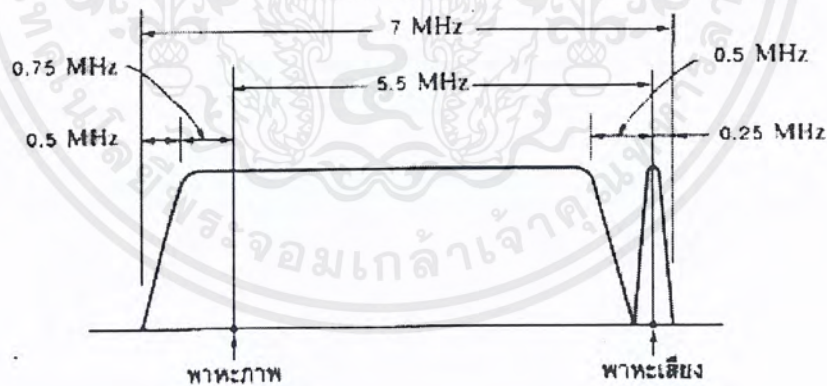
สถานีที่เป็นลูกข่ายสำหรับถ่ายทอดจะมีกระจายอยู่ทั่วประเทศ ซึ่งออกอากาศในความถี่ช่องที่แตกต่างกันออกไป แต่ในเขตพื้นที่หนึ่งไม่ควรจะมีช่องโทรทัศน์ที่มีความถี่ติดกัน จะต้องส่งช่องเว้นช่องเพื่อหลีกเลี่ยงการรบกวนกันให้มึนน้อยที่สุด เช่น สถานีเครือข่ายที่จังหวัดเชียงใหม่ซึ่งอยู่ไกลจากกรุงเทพฯ สามารถใช้ช่องระบบเลขที่ความถี่เดียวกับกรุงเทพฯ ได้ทั้ง 5 ช่อง ส่วนสถานีเครือข่ายที่จังหวัดลำปางซึ่งอยู่ติดกับจังหวัดเชียงใหม่ต้องใช้ช่องที่ไม่ซ้ำกับที่จังหวัดเชียงใหม่โดยใช้ช่องระบบเลขคู่ คือ ช่อง 4-6-8-10-12 เช่น สถานีเครือข่ายของไทยทีวีสีช่อง 3 ออกอากาศในช่อง 6 สถานีเครือข่ายของโทรทัศน์กองทัพบกช่อง 5 ออกอากาศช่อง 4 สถานีเครือข่ายของโทรทัศน์กองทัพบกช่อง 7 ออกอากาศในช่อง 12 และสถานีเครือข่ายของโทรทัศน์กรมประชาสัมพันธ์ช่อง 11 ออกอากาศในช่อง 8 เป็นต้น เมื่อสถานีเครือข่ายที่ถ่ายทอดอยู่ไกล และต่างพื้นที่รัศมีคลื่นไม่ถึงกันก็

จะสามารถใช้ช่องความถี่ช่องเดียวกันได้ เช่น ที่จังหวัดนครสวรรค์ นครราชสีมา และสงขลา จะใช้ความถี่ช่องเลขคู่ ส่วนจังหวัดขอนแก่น สุโขทัย ยะลา ภูเก็ต จะใช้ความถี่ช่องเลขคี่ เป็นต้น

โทรทัศน์ระบบ CCIR จะส่งความถี่ในย่าน VHF จำนวน 2 แบนด์ คือ แบนด์ต่ำจำนวน 3 ช่อง คือ ช่อง 2-3-4 ความถี่ตั้งแต่ 47-68 MHz กับแบนด์สูงจำนวน 8 ช่อง ตั้งแต่ช่อง 5 ถึงช่อง 12 ช่วงความถี่ 174-230 MHz ขอบเขตความถี่ของแต่ละช่องกว้าง 7 MHz ส่วนสัญญาณสูงกว่าพาหะภาพ 5.5 MHz รวมแล้วการส่งโทรทัศน์ VHF ระบบ CCIR จะมีเพียง 11 ช่อง

พาหะภาพกับเสียงห่างกัน 5.5 MHz โดยพาหะเสียงใช้ความถี่ที่สูงกว่า สัญญาณภาพจะถูกส่งไซด์แบนด์บนเต็มที 5 MHz ไซด์แบนด์ล่างส่งแบบเวสติเจิลไซด์แบนด์เพียง 0.75 MHz รวมสโลปของฐานอีก 0.5 MHz ดังนั้นไซด์แบนด์ล่างจึงมีเพียง 1.25 MHz เท่านั้น สโลปด้านไซด์แบนด์บนของสัญญาณภาพมีความชัน 0.25 MHz และสโลปของพาหะเสียงมีด้านละ 0.25 MHz รวมความกว้างทั้งหมดของสัญญาณโทรทัศน์ 1 ช่อง มีความกว้าง 7 MHz

นอกจากการส่งโทรทัศน์ในย่าน VHF แล้วยังมีการส่งโทรทัศน์ในย่าน UHF ความถี่ตั้งแต่ประมาณ 400-900 MHz ระบบ CCIR แบ่งย่านความถี่ UHF ออกเป็น 2 แบนด์ คือ แบนด์ IV ส่งช่อง 21 ถึงช่อง 37 (ความถี่ 470-582 MHz) กับแบนด์ V ส่งตั้งแต่ช่อง 38 ถึงช่อง 69 (ความถี่ 606-790 MHz)



รูปที่ 2.5.9 รูปคลื่นความกว้างของช่องโทรทัศน์ CCIR 1 ช่อง

ระบบโทรทัศน์ CCIR ที่ประเทศไทยใช้อยู่จะแตกต่างจากระบบ NTSC ของสหรัฐอเมริกา และญี่ปุ่นทั้งจำนวนเส้น ระบบสี และเสียง รวมทั้งแตกต่างจากระบบ SECAM ของฝรั่งเศสและรัสเซีย การนำเครื่องรับโทรทัศน์ที่มีมาตรฐานในระบบหนึ่งไปรับสัญญาณในอีกระบบหนึ่งที่แตกต่างกันจะไม่สามารถรับกันได้ จะเกิดปัญหาขึ้น เช่น แบนด์วิดท์ของช่องและไอเอฟพูนไว้ไม่เท่ากัน ความถี่พาหะเสียงไม่เท่ากัน การถอดรหัสสีแตกต่างกันซึ่งจะใช้ไม่ได้เลย ปัญหาเหล่านี้จะเกิดขึ้นกับ

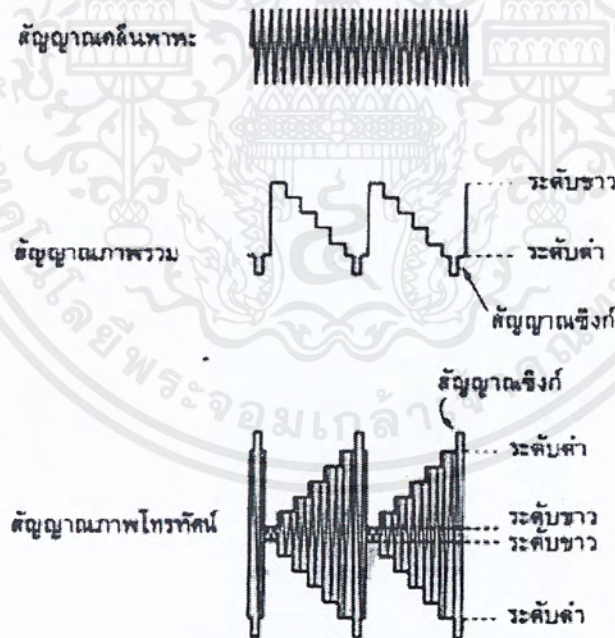
เอกสารนี้เป็นเอกสารที่สงวนไว้สำหรับใช้เพื่อการศึกษาเท่านั้น ไม่อนุญาตให้นำไปใช้ประโยชน์ด้านการค้าไม่ว่ากรณีใดๆ ทั้งสิ้น อีกทั้งห้ามมิให้ตัดแปลงเนื้อหาและต้องอ้างอิงถึงเจ้าของเอกสารทุกครั้งที่มีการนำไปใช้

เครื่องรับรุ่นเก่าเท่านั้น เพราะเครื่องรับที่ใช้เทคโนโลยีสมัยใหม่ในปัจจุบันจะถูกสร้างให้สามารถรับหลาย ๆ ระบบได้อย่างอัตโนมัติซึ่งจะเรียกว่า ระบบมัลติซิสเต็ม (multisystem)

การผสมสัญญาณภาพรวมกับพาหะ

การสร้างสัญญาณภาพโทรทัศน์เพื่อส่งออกอากาศนั้น จะใช้สัญญาณภาพรวมที่มีสัญญาณซิงก์แนวนอน สัญญาณแนวตั้ง สัญญาณแบล็กกิ้ง และสัญญาณอ็ควอไลซิง จะผสมแบบ ATM กับคลื่นพาหะคือ ระดับของสัญญาณภาพจะทำให้แอมพลิจูดของคลื่นพาหะเปลี่ยนแปลงทั้งทางบวกและทางลบ การผสมสัญญาณภาพมี 2 แบบ คือ ผสมแบบบวกกับผสมแบบลบ

การผสมแบบบวก หมายถึงระดับขาวของภาพจะมีแอมพลิจูดสูงสุดและระดับดำมีแอมพลิจูดต่ำ ส่วน การผสมแบบลบ หมายถึงระบบดำจะมีแอมพลิจูดสูงและระดับขาวจะมีแอมพลิจูดต่ำ รูปที่ 2.5.10 แสดงการผสมสัญญาณภาพกับพาหะ แบบลบเพื่อให้เป็นสัญญาณภาพโทรทัศน์ สำหรับใช้เพื่อการส่งออกอากาศต่อไป



รูปที่ 2.5.10 การผสมสัญญาณภาพกับคลื่นพาหะ

เอกสารนี้เป็นเอกสารที่สงวนไว้สำหรับการใช้งานเพื่อการศึกษาเท่านั้น ไม่อนุญาตให้นำไปใช้ประโยชน์ด้านการค้าไม่ว่ากรณีใดๆ ทั้งสิ้น อีกทั้งห้ามมิให้ตัดแปลงเนื้อหาและต้องอ้างอิงถึงเจ้าของเอกสารทุกครั้งที่มีการนำไปใช้

สัญญาณเสียงโทรทัศน์

สัญญาณเสียงที่ต้องการส่งเป็นคลื่นสัญญาณโทรทัศน์ต้องทำการผสมกับคลื่นพาหะที่มีความถี่สูงกว่าความถี่พาหะภาพ ตามมาตรฐานของระบบที่ส่ง (เช่น 4.5 MHz ในระบบ 525 เส้น และ 5.5 MHz ในระบบ 625 เส้น) การผสมใช้แบบ FM โดยยอมให้มีการเบี่ยงเบนความถี่ จากความถี่กลางได้สูงสุด ± 50 kHz



คลื่นที่ผสมแล้วเป็นสัญญาณเสียงโทรทัศน์

รูปที่ 2.5.11 การผสมสัญญาณเสียงกับคลื่นพาหะ

เอกสารนี้เป็นเอกสารที่สงวนไว้สำหรับการใช้งานเพื่อการศึกษาเท่านั้น ไม่อนุญาตให้นำไปใช้ประโยชน์ด้านการค้าไม่ว่ากรณีใดๆ ทั้งสิ้น อีกทั้งห้ามมิให้ตัดแปลงเนื้อหาและต้องอ้างอิงถึงเจ้าของเอกสารทุกครั้งที่มีการนำไปใช้

บทที่ 3

การออกแบบและการสร้าง

ในบทนี้จะกล่าวถึงการดำเนินงานในส่วนต่าง ๆ ของโครงการ ซึ่งในที่นี่ได้แบ่งการดำเนินงานออกเป็นส่วนย่อย ๆ ดังนี้

1. FSK มอดูเลเตอร์และดีมอดูเลเตอร์ (รวมทั้งวงจรแปลงระดับสัญญาณ RS-232 เป็นระดับสัญญาณ TTL)
2. เครื่องรับ FM
3. เครื่องส่ง FM
4. โปรแกรมควบคุมการทำงาน
5. โปรแกรมในส่วนของการขับเคลื่อนรถและควบคุมกล้อง
6. เครื่องส่งสัญญาณวีดีโอ

ซึ่งจะได้กล่าวถึงรายละเอียดของแต่ละส่วนแยกกันไปดังต่อไปนี้

3.1 FSK มอดูเลเตอร์และดีมอดูเลเตอร์

วงจร FSK มอดูเลเตอร์ ทำหน้าที่ เปลี่ยนสัญญาณดิจิทัล(digital signal) เป็นสัญญาณอะนาล็อก(analog signal) โดยเปลี่ยนสัญญาณลอจิก “0” ให้กลายเป็นรูปคลื่นไซน์ความถี่หนึ่งเรียกว่า ความถี่สเปซ(space frequency : f_{space}) และเปลี่ยนสัญญาณลอจิก “1” ให้กลายเป็นอีกความถี่หนึ่งเรียกว่า ความถี่มาร์ค(mark frequency : f_{mark}) ส่วนวงจร FSK มอดูเลเตอร์ทำหน้าที่ เปลี่ยนรูปคลื่นไซน์ 2 ความถี่ดังกล่าวให้เป็นสัญญาณข้อมูลดิจิทัลดั้งเดิม หัวข้อต่อไปจะกล่าวถึงวงจร FSK มอดูเลเตอร์และจะกล่าวถึงวงจร FSK มอดูเลเตอร์ ในหัวข้อถัดไป

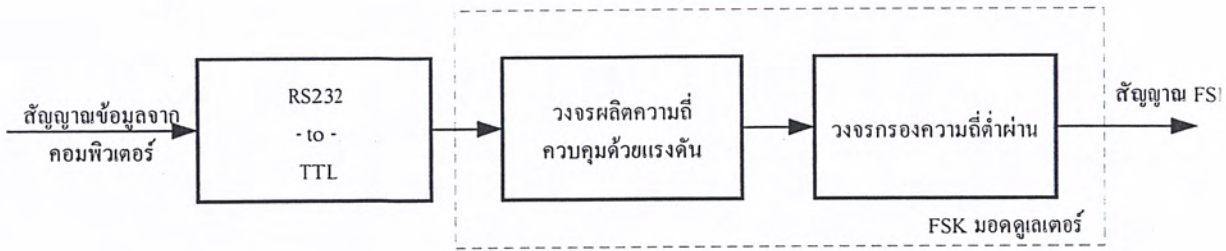
3.1.1 FSK มอดูเลเตอร์

รูปที่ 3.1 (ก) แสดงบล็อกไดอะแกรมของวงจร FSK มอดูเลเตอร์ทั้งหมด ซึ่งประกอบด้วย

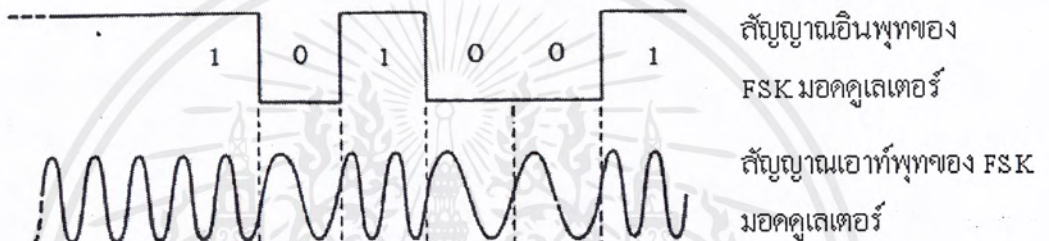
- วงจรผลิตความถี่ควบคุมด้วยแรงดัน (Voltage Control Oscillator)
- วงจรกรองความถี่ต่ำผ่าน (Lowpass Filter)

และรูปที่ 3.1 (ข) แสดงความสัมพันธ์ระหว่างสัญญาณอินพุตและเอาต์พุตของ FSK มอดูเลเตอร์

เนื่องจากข้อมูลที่ส่งออกมาจากคอมพิวเตอร์มีระดับสัญญาณเป็น RS - 232 ดังนั้นจึงจำเป็นต้องเปลี่ยนระดับสัญญาณดังกล่าวให้เป็นระดับสัญญาณ TTL เสียก่อน ต่อจากนี้ไปเราจะกล่าวถึงการออกแบบวงจร FSK มอดูเลเตอร์แต่ละส่วน ดังนี้

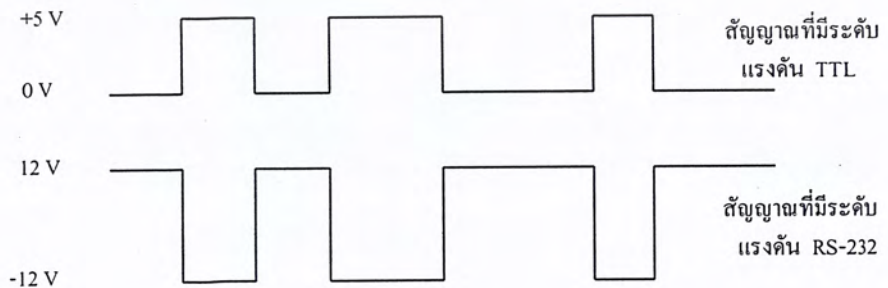


รูปที่ 3.1(ก) บล็อกไดอะแกรมของวงจร FSK มอดูเลเตอร์ทั้งหมด



รูปที่ 3.1 (ข) ความสัมพันธ์ระหว่างสัญญาณอินพุทและเอาต์พุทของ FSK มอดูเลเตอร์

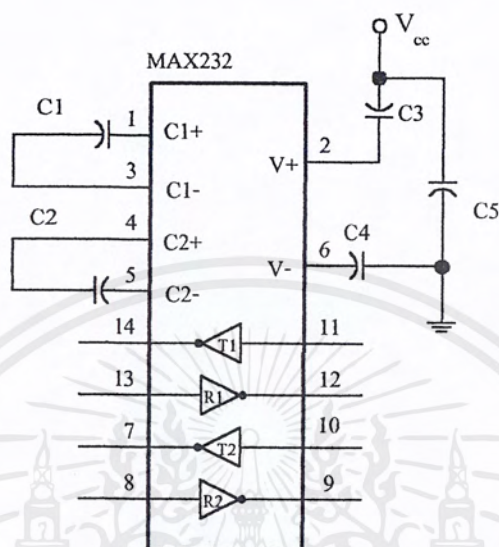
(ก) วงจรแปลงระดับแรงดัน RS - 232 เป็นระดับแรงดัน TTL (RS - 232 to TTL Driver) วงจรแปลงระดับแรงดัน RS-232 เป็นระดับแรงดัน TTL ทำหน้าที่เปลี่ยนระดับสัญญาณข้อมูลจากคอมพิวเตอร์ ที่มีระดับแรงดันของลอจิก “0” ประมาณ 12 โวลต์ และระดับแรงดันของลอจิก “1” ประมาณ -12 โวลต์ ให้เป็นระดับแรงดัน TTL รูปที่ 3.2 แสดงระดับแรงดันของสัญญาณ RS-232 และ TTL ที่สอดคล้องกัน



รูปที่ 3.2 ความสัมพันธ์ระหว่างสัญญาณที่มีระดับแรงดัน TTL กับสัญญาณที่มีระดับ

แรงดัน RS-232 เอกสารนี้เป็นเอกสารที่สงวนไว้สำหรับการใช้งานเพื่อการศึกษาเท่านั้น ไม่อนุญาตให้นำไปใช้ประโยชน์ด้านการค้าไม่ว่ากรณีใดๆ ทั้งสิ้น อีกทั้งห้ามมิให้ดัดแปลงเนื้อหาและต้องอ้างอิงถึงเจ้าของเอกสารทุกครั้งที่มีการนำไปใช้

วงจรในส่วนนี้ใช้ไอซี RS-232 Driver ตระกูล MAX232 ซึ่งต้องต่อคาปาซิเตอร์ charge pump รวมภายนอก ดังรูปที่ 3.3 ค่าของ C แต่ละตัว ตามที่ระบุในตารางแสดงดังตารางที่ 3.1



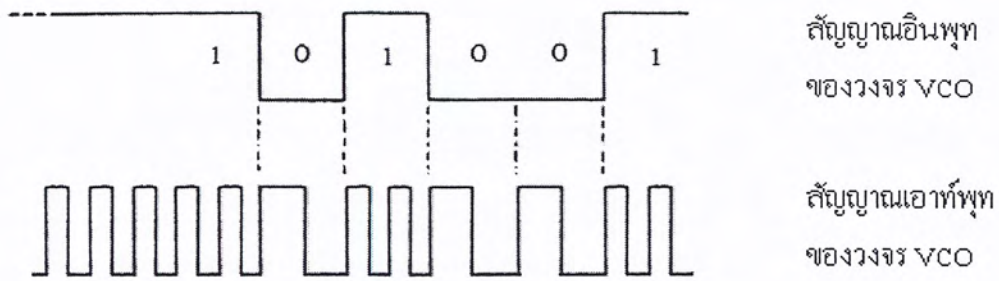
รูปที่ 3.3 วงจรแปลงระดับสัญญาณ RS-232 เป็น TTL

ค่าประจุ (μF)					
อุปกรณ์	C1	C2	C3	C4	C5
MAX232	1.0	1.0	1.0	1.0	1.0
MAX232A	0.1	0.1	0.1	0.1	0.1

ตารางที่ 3.1 แสดงค่าประจุของวงจรแปลงระดับสัญญาณ RS-232 เป็น TTL

(ข) วงจรผลิตความถี่ควบคุมด้วยแรงดัน (Voltage Controlled Oscillator) วงจรผลิตความถี่ควบคุมด้วยแรงดัน หรือวงจร VCO ทำหน้าที่ ผลิตความถี่ตามระดับแรงดันของสัญญาณอินพุต ในที่นี้เราจะผลิตความถี่ f_{space} และ f_{mark} ตามระดับลอจิก “0”, “1” ของสัญญาณอินพุตตามลำดับ รูปที่ 3.4 แสดงความสัมพันธ์ระหว่างอินพุตและเอาต์พุตของวงจรผลิตความถี่ควบคุมด้วยแรงดัน

เอกสารนี้เป็นเอกสารที่สงวนไว้สำหรับการใช้งานเพื่อการศึกษาเท่านั้น ไม่อนุญาตให้นำไปใช้ประโยชน์ด้านการค้าไม่ว่ากรณีใดๆ ทั้งสิ้น อีกทั้งห้ามมิให้ดัดแปลงเนื้อหาและต้องอ้างอิงถึงเจ้าของเอกสารทุกครั้งที่มีการนำไปใช้



รูปที่ 3.4 แสดงความสัมพันธ์ระหว่างสัญญาณอินพุทและเอาต์พุทของ FSK มอดคูเลเตอร์

การกำหนด f_{space} และ f_{mark} นิยมกำหนดให้ f_{space} และ f_{mark} มีค่าเป็นจำนวนคี่ของครึ่งหนึ่งของอัตราบอด (Baud rate) ของสัญญาณดิจิทัลที่อินพุท เพื่อให้สัญญาณ FSK ที่ได้มีความต่อเนื่องทางเฟสหรือเรียกว่าสัญญาณ FSK ที่มีความต่อเนื่องทางเฟส (Continuous Phase Frequency Shift Keying : CPFSK) หรืออาจเขียนเป็นสมการได้เป็น

$$f_{space} = \frac{(2N - 1)}{2} * \text{Baud rate} \quad ; N \geq 1 \quad (3.1)$$

$$f_{mark} = \frac{(2M - 1)}{2} * \text{Baud rate} \quad ; M > N \quad (3.2)$$

การกำหนดค่าของ N และ M จะต้องคำนึงถึง Bandwidth เป็นสำคัญ การให้ N และ M ค่ามากๆ จะทำให้ f_{space} และ f_{mark} มีค่าสูง แบนด์วิดท์ของสัญญาณ FSK จะกว้าง แต่สามารถตีเทคกลับมาเป็นสัญญาณดิจิทัลดั้งเดิมได้ง่ายกว่า แต่ถ้าค่า N และ M มีค่าต่ำๆ จะทำให้ FSK มอดคูเลเตอร์ตีเทคสัญญาณกลับมาได้ยาก ในที่นี่ใช้ baud rate เท่ากับ 600 และกำหนดให้ $N = 4$ และ $M = 5$ ซึ่งจะได้

$$f_{space} = 2100 \text{ Hz}$$

$$f_{mark} = 2700 \text{ Hz}$$

และใช้ไอซีเบอร์ MC14046 ในการผลิตความถี่ ซึ่งใช้ส่วนของ VCO ของไอซีดังกล่าวในการผลิตความถี่ วงจรผลิตความถี่ควบคุมด้วยแรงดันแสดงดังรูปที่ 3.5 โดย $R1$, $R2$, C เป็นตัวกำหนดความถี่ต่ำสุด(f_{min}), ความถี่สูงสุด(f_{max}) ที่จะผลิต ซึ่งค่า f_{min} , f_{max} จากคาตาไลซ์ที่กำหนดโดย

$$f_{\min} = \frac{1}{[R_2(C + 32\text{pF})]} \quad (3.3)$$

$$f_{\max} = f_{\min} + \frac{1}{[R_1(C + 32\text{pF})]} \quad (3.4)$$

โดย f_{\min} จะเกิดขึ้นเมื่อ VCO_{in} เท่ากับศูนย์โวลต์ และ f_{\max} จะเกิดขึ้นเมื่อ VCO_{in} เท่ากับ V_{cc} ซึ่งในกรณีที่เรารู้วงจร VCO มาทำเป็น FSK มอดูเลเตอร์ เราจะได้ว่า f_{\min} เท่ากับ f_{space} และ f_{\max} เท่ากับ f_{mark} ค่า R_1 และ R_2 ในสมการ (3.3) และ (3.4) หาได้จาก

$$R_2 = \frac{1}{f_{\min}(C + 32\text{ pF})} \quad (3.5)$$

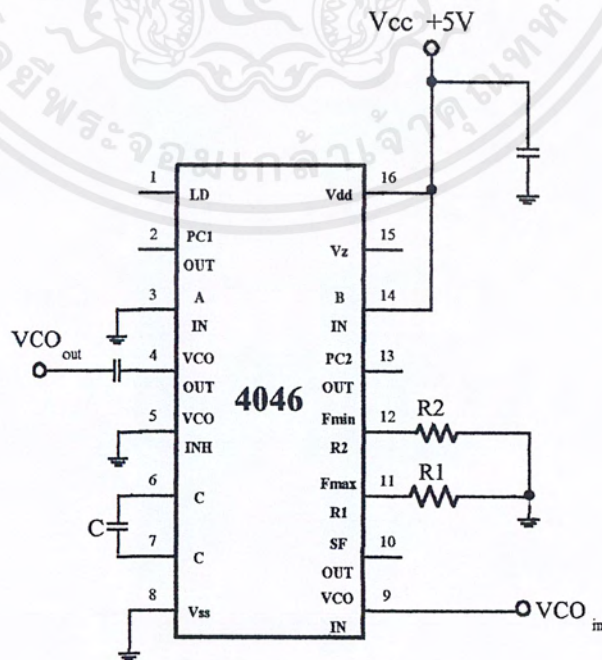
$$R_1 = \frac{1}{(f_{\max} - f_{\min})(C + 32\text{ pF})} \quad (3.6)$$

จากค่าตัวชี้ของ MC14046 การกำหนดค่าของอุปกรณ์ต้องกำหนดให้อยู่ในช่วงดังกล่าวนี้

$$10\text{ K}\Omega \leq R_1 \leq 1\text{M}\Omega$$

$$10\text{ K}\Omega \leq R_2 \leq 1\text{M}\Omega$$

$$100\text{ pF} \leq C \leq 10\text{ nF}$$



รูปที่ 3.5 การออกแบบวงจรผลิตความถี่ควบคุมด้วยแรงดัน

เอกสารนี้เป็นเอกสารที่สงวนไว้สำหรับการใช้งานเพื่อการศึกษาเท่านั้น ไม่อนุญาตให้นำไปใช้ประโยชน์ด้านการค้าไม่ว่ากรณีใดๆ ทั้งสิ้น อีกทั้งห้ามมิให้ตัดแปลงเนื้อหาและต้องอ้างอิงถึงเจ้าของเอกสารทุกครั้งที่มีการนำไปใช้

แต่จากการทดลองค่า R , C ที่กำหนดจากสมการ (3.5) และ (3.6) ปรากฏว่าให้ค่าความถี่ f_{\min} และ f_{\max} ไม่ค่อยจะตรงนัก และจากการทดลองซ้ำๆ หลายๆ ครั้ง ผู้ทำได้พบว่าค่า R , C ที่ทำให้ได้ f_{\min} , f_{\max} ตามที่กำหนดแม่นยำยิ่งขึ้นคือ สมการ 3.5ก และสมการ 3.5ข ตามลำดับ

$$R_2 = \frac{1}{(0.6)(f_{\min})(C + 32 \text{ pF})} \quad (3.5 \text{ ก})$$

$$R_1 = \frac{1}{(0.8)(f_{\max} - f_{\min})(C + 32 \text{ pF})} \quad (3.5 \text{ ข})$$

จากที่กำหนดให้

$$f_{\text{space}} = f_{\min} = 2.1 \text{ KHz}$$

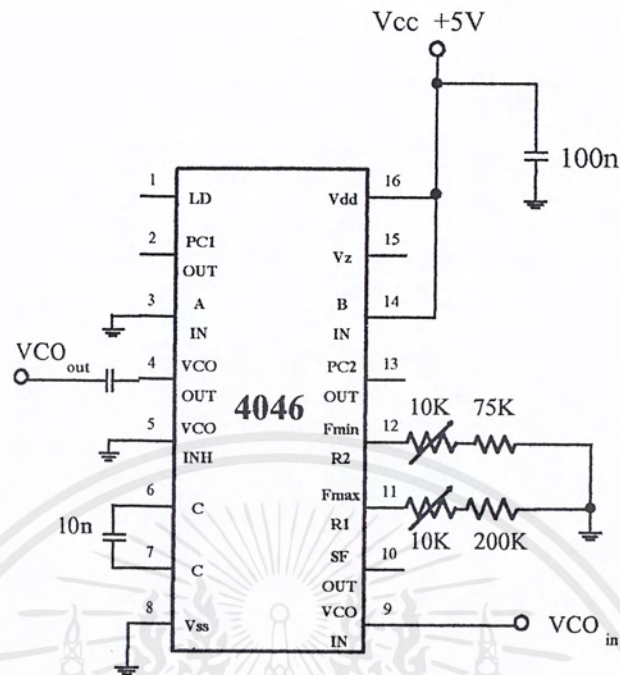
$$f_{\text{mark}} = f_{\max} = 2.7 \text{ KHz}$$

และกำหนดให้ $C = 10 \text{ nF}$ ดังนั้น

$$\begin{aligned} R_2 &= \frac{1}{(0.6)(2.1\text{K})(10\text{n} + 32 \text{ p})} \\ &= 79.1 \text{ K}\Omega \end{aligned}$$

$$\begin{aligned} R_1 &= \frac{1}{(0.8)(600)(10\text{n} + 32 \text{ p})} \\ &= 207.6 \text{ K}\Omega \end{aligned}$$

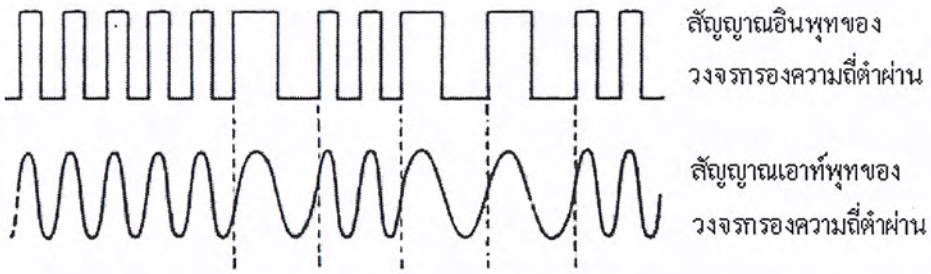
ในวงจรให้ R_2 เป็นความต้านทานค่าคงที่ $75 \text{ K}\Omega$ อนุกรมกับความต้านทานปรับค่าได้ $10 \text{ K}\Omega$ และให้ R_1 เป็น ความต้านทานค่าคงที่ $200 \text{ K}\Omega$ อนุกรมกับความต้านทานปรับค่าได้ $10 \text{ K}\Omega$ วงจร VCO ที่ออกแบบแล้วแสดงดังรูปที่ 3.6 ในการใช้งานให้ปรับความต้านทานปรับค่าได้เพื่อให้ผลิตความถี่ f_{space} และ f_{mark} ตามที่ต้องการ



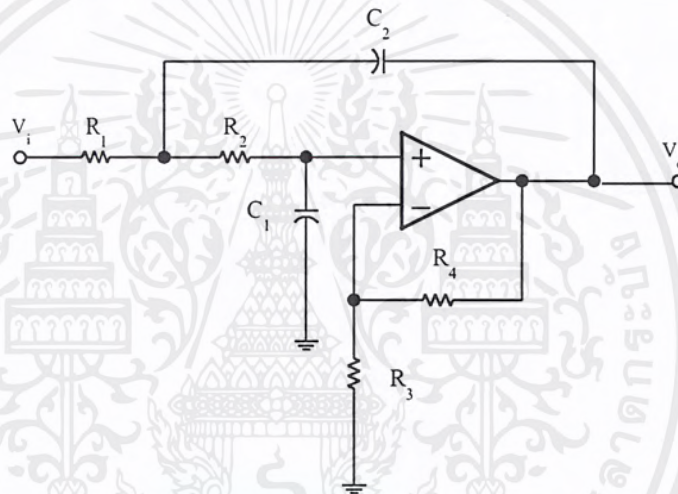
รูปที่ 3.6 วงจร VCO ของภาค FSK มอดคูเลเตอร์

(ค) วงจรกรองความถี่ต่ำผ่าน (Low-pass Filter) วงจรกรองความถี่ต่ำผ่านทำหน้าที่ผ่านสัญญาณที่ต่ำกว่าความถี่คัทออฟของวงจรและลดทอนสัญญาณที่มีความถี่สูงกว่าความถี่คัทออฟ ในที่นี้เราต้องการเปลี่ยนสัญญาณพัลส์ 2 ความถี่จากเอาต์พุตของวงจร VCO ให้เป็นสัญญาณไซน์ 2 ความถี่ดังรูปที่ 3.7 นั่นคือเราต้องการให้องค์ประกอบของความถี่หลัก (fundamental frequency component) ของ f_{mark} และ f_{space} เท่านั้นที่ผ่านไปได้

ในที่นี้เราจะใช้วงจรกรองความถี่ต่ำผ่านแบบบัทเทอร์เวิร์ท (Low-pass Butterworth Filter) โดยกำหนดให้ความถี่คัทออฟเท่ากับ 3 KHz และมีอันดับเท่ากับ 5 และใช้รูปแบบวงจรเป็นแบบ Sallen and Key ดังรูป 3.8 และตารางที่ 3.2 แสดงตารางวงจรกรองความถี่แบบบัทเทอร์เวิร์ท



รูปที่ 3.7 ความสัมพันธ์ระหว่างอินพุทและเอาต์พุทของวงจรกรองความถี่ต่ำผ่าน



รูปที่ 3.8 โครงสร้างของวงจร Sallen and Key

FILTER ORDER	Stage 1		Stage 2		Stage 3		Stage 4		Stage 5	
	FSF	Q	FSF	Q	FSF	Q	FSF	Q	FSF	Q
2	1.000	0.7071								
3	1.000	1.0000	1.000							
4	1.000	0.5412	1.000	1.3065						
5	1.000	0.6180	1.000	1.6181	1.000					
6	1.000	0.5177	1.000	0.7071	1.000	1.9320				
7	1.000	0.5549	1.000	0.8019	1.000	2.2472	1.000			
8	1.000	0.5098	1.000	0.6013	1.000	0.8999	1.000	2.5628		
9	1.000	0.5321	1.000	0.6527	1.000	1.0000	1.000	2.8802	1.000	
10	1.000	0.5062	1.000	0.5612	1.000	0.7071	1.000	1.1013	1.000	3.1969

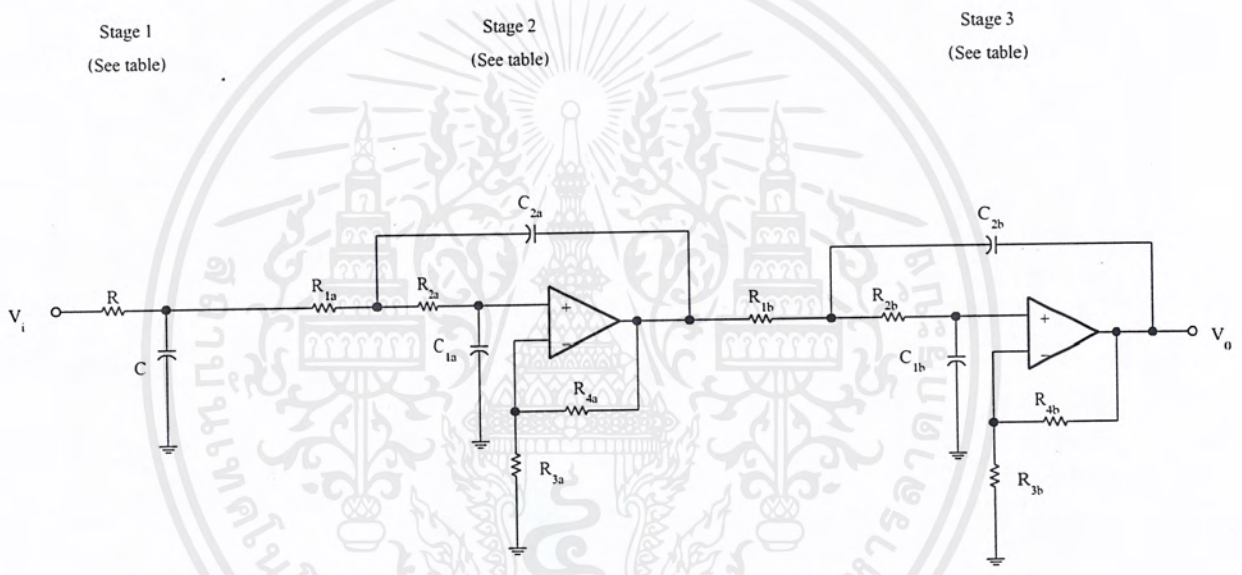
ตารางที่ 3.2 ตารางวงจรกรองความถี่แบบบัทเทอร์เวิร์ท

เอกสารนี้เป็นเอกสารที่สงวนไว้สำหรับการใช้งานเพื่อการศึกษาเท่านั้น ไม่อนุญาตให้นำไปใช้ประโยชน์ด้านการค้า ไม่ว่ากรณีใดๆ ทั้งสิ้น อีกทั้งห้ามมิให้ดัดแปลงเนื้อหาและต้องอ้างอิงถึงเจ้าของเอกสารทุกครั้งที่มีการนำไปใช้

จากตารางที่ 3.2 เราสามารถเขียนทรานสเฟอ์ฟังก์ชันของวงจรกรองความถี่แบบบัทเทอร์เวิร์ทอันดับที่ 5 ได้เป็น

$$H(s) = \frac{K}{\left(\frac{s}{\omega_c} + 1\right) \left(\frac{s^2}{\omega_c^2} + \frac{1}{0.6180} \frac{s}{\omega_c} + 1\right) \left(\frac{s^2}{\omega_c^2} + \frac{1}{1.6180} \frac{s}{\omega_c} + 1\right)}$$

เมื่อ $\omega_c = 2\pi f_c$ คือความถี่(เชิงมุม)คัทออฟ และ K คือเกนทั้งหมดของวงจรใน pass band รูปที่ 3.9 แสดงวงจรที่จะต้องสร้างและค่าของอุปกรณ์ที่จะต้องออกแบบ



Stage	f_c	Q	K
1	$\frac{1}{2\pi RC}$	NA	1
2	$\frac{1}{2\pi\sqrt{R_{1a}R_{2a}C_{1a}C_{2a}}}$	$\frac{\sqrt{R_{1a}R_{2a}C_{1a}C_{2a}}}{R_{1a}C_{1a} + R_{2a}C_{1a} + R_{1a}C_{2a}(1-K_a)} = 0.618$	$K_a = \frac{R_{3a} + R_{4a}}{R_{3a}}$
3	$\frac{1}{2\pi\sqrt{R_{1b}R_{2b}C_{1b}C_{2b}}}$	$\frac{\sqrt{R_{1b}R_{2b}C_{1b}C_{2b}}}{R_{1b}C_{1b} + R_{2b}C_{1b} + R_{1b}C_{2b}(1-K_b)} = 1.618$	$K_b = \frac{R_{3b} + R_{4b}}{R_{3b}}$

เอกสารนี้เป็นเอกสารที่สงวนไว้สำหรับใช้เฉพาะแบบวงจรกรองความถี่ต่ำแบบบัทเทอร์เวิร์ทอันดับที่ 5 ด้านการคำนวณว่ากรณีใดๆ ทั้งสิ้น อีกทั้งห้ามมิให้ตัดแปลงเนื้อหาและต้องอ้างอิงถึงเจ้าของเอกสารทุกครั้งที่มีการนำไปใช้

ในการออกแบบวงจรแสดงที่ 2 และ 3 เราจะให้ $R_{1a} = R_{2a}$, $R_{1b} = R_{2b}$ เท่ากับ R และ $C_{1a} = C_{2a}$, $C_{1b} = C_{2b}$ เท่ากับ C ทำให้ได้

$$f_c = \frac{1}{2\pi RC}$$

และ

$$Q = \frac{1}{3 - K}$$

ซึ่งจะเห็นได้ว่าเราสามารถออกแบบ f_c และ Q ได้อย่างอิสระ โดย Q ถูกกำหนดด้วยอัตราขยายของวงจรและ f_c กำหนดด้วย RC และเนื่องจาก K เป็นตัวกำหนด Q ดังนั้นอาจจำเป็นต้องมีการลดทอนหรือขยายสัญญาณเพื่อให้ได้ระดับสัญญาณที่เอาต์พุตตามต้องการ

ที่แสดงที่ 2

จาก $f_c = \frac{1}{2\pi RC}$

กำหนด $C = 500 \text{ pF}$ ดังนั้นหา R ได้จาก

$$R = \frac{1}{2\pi f_c} = \frac{1}{2\pi(3K)(500 \text{ p})} = 106 \text{ K}\Omega$$

\therefore ใช้ R เท่ากับ $100 \text{ K}\Omega$

และจาก $Q = \frac{1}{3 - K_a} = 0.618$

$$\begin{aligned} \text{ดังนั้น } K_a &= 3 - \frac{1}{Q} = 3 - \frac{1}{0.618} \\ &= 1.381 = 1 + \frac{R_{4a}}{R_{3a}} \end{aligned}$$

$$\text{ดังนั้น } \frac{R_{4a}}{R_{3a}} = 0.381$$

\therefore ใช้ $R_{4a} = 24 \text{ K}\Omega$ และ $R_{3a} = 62 \text{ K}\Omega$

เอกสารนี้เป็นเอกสารที่สงวนไว้สำหรับการใช้งานเพื่อการศึกษาเท่านั้น ไม่อนุญาตให้นำไปใช้ประโยชน์ด้านการค้าไม่ว่ากรณีใดๆ ทั้งสิ้น อีกทั้งห้ามมิให้ดัดแปลงเนื้อหาและต้องอ้างอิงถึงเจ้าของเอกสารทุกครั้งที่มีการนำไปใช้

ที่สเตรจที่ 3

$$\text{จาก } f_c = \frac{1}{2\pi RC}$$

กำหนด $C = 5 \text{ nF}$ ดังนั้น หา R ได้จาก

$$R = \frac{1}{2\pi f_c C} = \frac{1}{2\pi(3\text{K})(5\text{n})} = 10.6 \text{ K}\Omega$$

∴ ใช้ R เท่ากับ $10 \text{ K}\Omega$

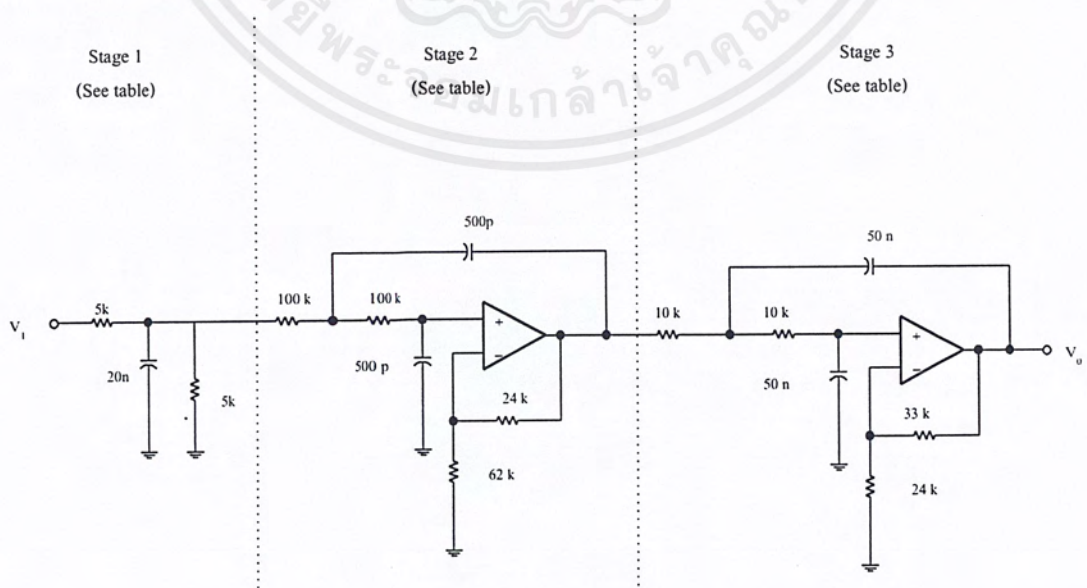
และจาก $Q = \frac{1}{3 - K_b} = 1.618$

ดังนั้น $K_b = 3 - \frac{1}{Q} = 3 - \frac{1}{1.618}$
 $= 2.382 = 1 + \frac{R_{4b}}{R_{3b}}$

ดังนั้น $\frac{R_{4b}}{R_{3b}} = 1.382$

∴ ใช้ $R_{4b} = 33 \text{ K}\Omega$ และ $R_{3b} = 24 \text{ K}\Omega$

ที่สเตรจที่ 1 ใช้ $R = 5 \text{ K}$, $C = 20 \text{ nF}$ และต่อ $R = 5\text{K}$ ระหว่างสเตรจที่ 1 และ 2 รูปที่ 3.10 แสดงวงจรสมบูรณข์ของวงจรกรองความถี่ต่ำผ่านที่ต้องการ



รูปที่ 3.10 วงจรกรองความถี่ต่ำผ่านแบบบัทเทอร์เวิร์ทอันดับที่ 5 ความถี่คัทออฟเท่ากับ 3 KHz

เอกสารนี้เป็นเอกสารที่สงวนลิขสิทธิ์ไว้สำหรับใช้เพื่อการศึกษาเท่านั้น ไม่อนุญาตให้นำไปใช้ประโยชน์ทางการค้าไม่ว่ากรณีใดๆ ทั้งสิ้น อีกทั้งห้ามมิให้ตัดแปลงเนื้อหาและต้องอ้างอิงถึงเจ้าของเอกสารทุกครั้งที่มีการนำไปใช้

3.1.2 FSK ดิมอดคูเลเตอร์

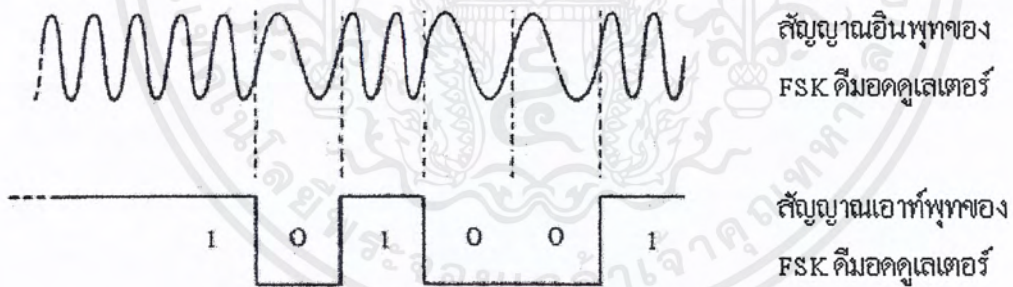
วงจร FSK ดิมอดคูเลเตอร์ทำหน้าที่เปลี่ยนสัญญาณ FSK ให้กลับเป็นสัญญาณข้อมูลดิจิทัลดังเดิม โดยเปลี่ยนสัญญาณความถี่สเปซเป็นสัญญาณลอจิก “0” และสัญญาณข้อมูลความถี่มาร์คกลับไปเป็นสัญญาณลอจิก “1” รูปที่ 3.11 (ก) แสดงบล็อกไดอะแกรมของ FSK ดิมอดคูเลเตอร์ ซึ่งประกอบด้วย

- FSK ดีเทคเตอร์
- คอมพาราเตอร์

และรูปที่ 3.11 (ข) แสดงความสัมพันธ์ระหว่างสัญญาณที่อินพุตและเอาต์พุตของ FSK ดิมอดคูเลเตอร์



รูปที่ 3.11 (ก) บล็อกไดอะแกรมของ FSK ดิมอดคูเลเตอร์



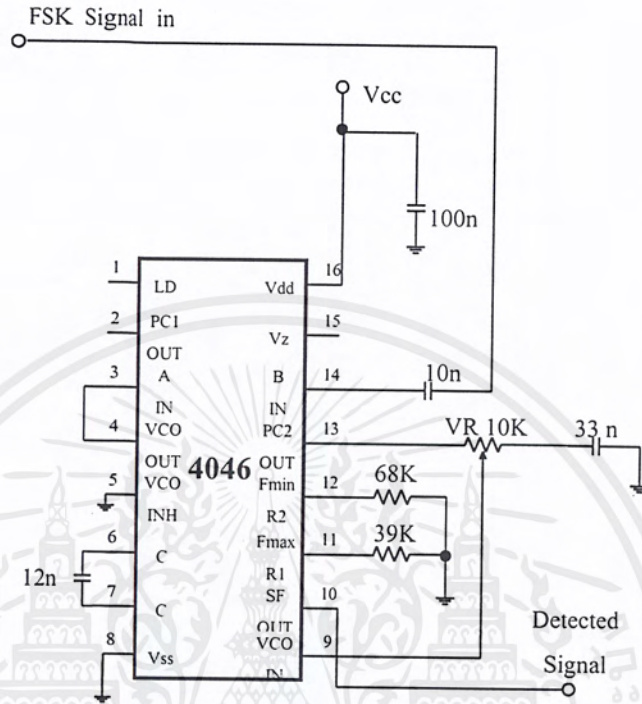
รูปที่ 3.11 (ข) แสดงความสัมพันธ์ระหว่างสัญญาณที่อินพุตและเอาต์พุตของ FSK ดิมอดคูเลเตอร์

(ก) FSK ดีเทคเตอร์ การทำงานของ FSK ดีเทคเตอร์ อาศัยหลักการทำงานของเฟส ล็อกคูลูปที่จะพยายามซิงโครไนซ์ความถี่อินพุตกับความถี่ที่ผลิตขึ้นจาก VCO นั่นคือ อาศัยหลักการที่ว่า ถ้าสัญญาณอินพุตของเฟสล็อกคูลูปเป็นสัญญาณที่ถูกมอดคูเลททางความถี่สัญญาณเอาต์พุตที่ ลูปฟิลเตอร์ คือ สัญญาณที่ถูกดิมอดคูเลทแล้ว

ในที่นี้ใช้ไอซีเฟสล็อกคูลูปเบอร์ MC14046 ซึ่งมีเฟสดีเทคเตอร์ภายใน 2 แบบ คือ XOR เฟสดีเทคเตอร์และ PFD ดีเทคเตอร์ ในที่นี้เลือกใช้ PFD ดีเทคเตอร์ และเอาสัญญาณเอาต์พุตที่

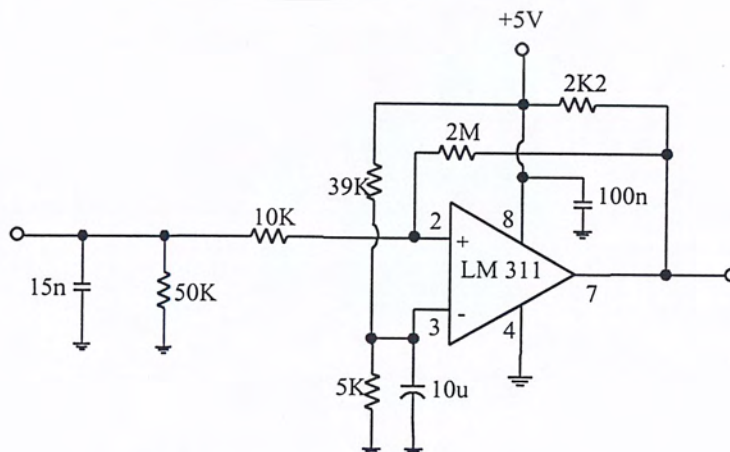
เอกสารนี้เป็นเอกสารที่สงวนไว้สำหรับการใช้งานเพื่อการศึกษาเท่านั้น ไม่อนุญาตให้นำไปใช้ประโยชน์ด้านการค้า ไม่ว่ากรณีใดๆ ทั้งสิ้น อีกทั้งห้ามมิให้ดัดแปลงเนื้อหาและต้องอ้างอิงถึงเจ้าของเอกสารทุกครั้งที่มีการนำไปใช้

ขา 10 ซึ่งเป็นสัญญาณเดียวกับสัญญาณที่จะเป็นอินพุทของส่วน VCO แต่ผ่าน วงจร source follower ภายในก่อน รูปที่ 3.12 แสดงวงจร FSK ดีเทคเตอร์

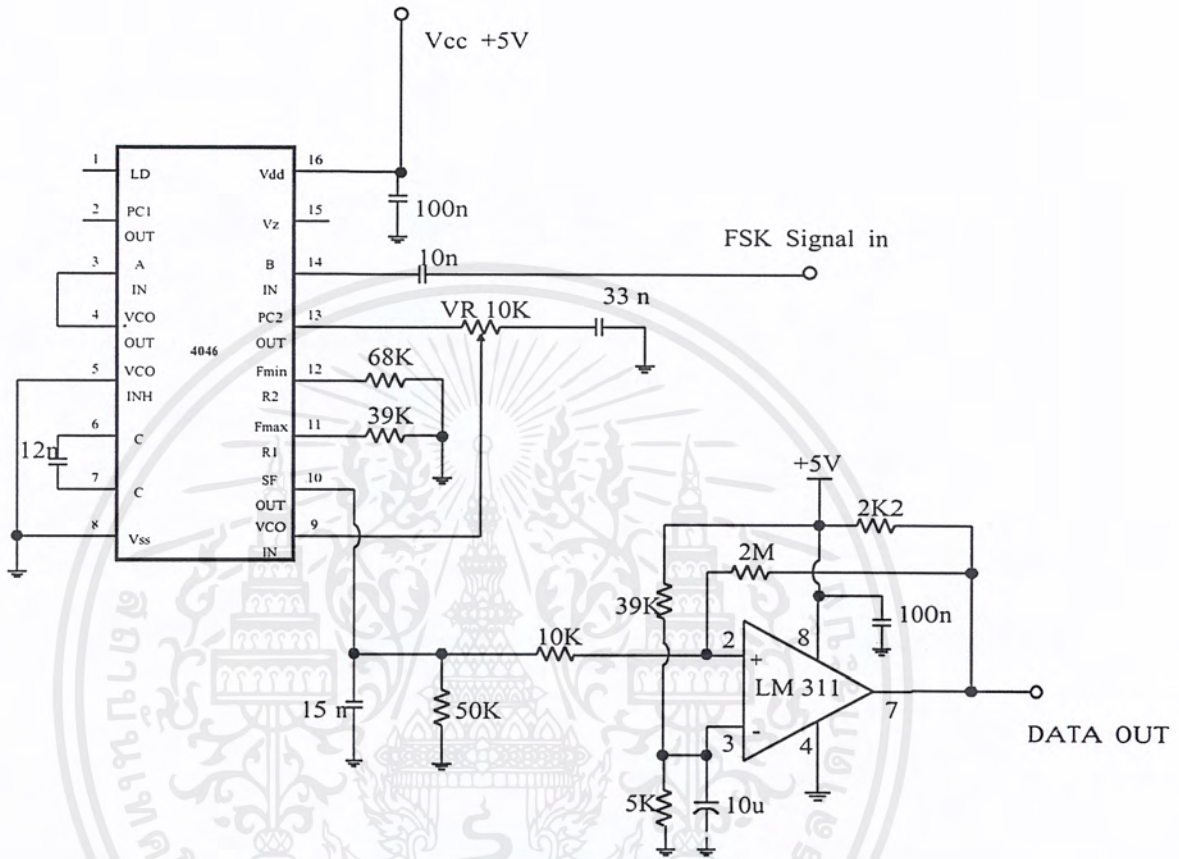


รูปที่ 3.12 FSK ดีเทคเตอร์

(ข) คอมพาราเตอร์ เนื่องจากสัญญาณเอาท์พุทที่ออกมาจาก FSK ดีเทคเตอร์ ไม่ได้เป็นสัญญาณดิจิตอลและมีขนาดของสัญญาณเล็กมาก ๆ ดังนั้นจึงจำเป็นต้องมีวงจรคอมพาราเตอร์ เพื่อให้ได้สัญญาณดิจิตอลที่เอาท์พุทของวงจร FSK ดีมอดคูเลเตอร์ตามต้องการ รูปที่ 3.13 แสดงวงจรคอมพาราเตอร์ และรูปที่ 3.14 แสดงวงจร FSK มอดคูเลเตอร์ที่สมบูรณ์



เอกสารนี้เป็นเอกสารที่สงวนไว้สำหรับการศึกษา รูปที่ 3.13 วงจรคอมพาราเตอร์ อนุญาตให้นำไปใช้ประโยชน์ด้านการค้าไม่ว่ากรณีใดๆ ทั้งสิ้น อีกทั้งห้ามมิให้ดัดแปลงเนื้อหาและต้องอ้างอิงถึงเจ้าของเอกสารทุกครั้งที่มีการนำไปใช้



รูปที่ 3.14 วงจร FSK ตียอดคุณเลเตอร์ทั้งหมด

3.2 เครื่องรับ FM

การดำเนินการสร้างเครื่องรับ FM สำหรับโครงการนี้ได้เลือกใช้ไอซี เครื่องรับ FM เบอร์ MC13135 ของบริษัทโมโตโรล่า ซึ่งมีราคาถูก และรวบรวมฟังก์ชัน บล็อกต่าง ๆ ไว้สมบูรณ์ภายในไอซีขนาด 24 ขา ตัวเดียว MC13135 เป็นไอซี เครื่องรับแบบคอนเวอร์ชัน (dual conversion) ประกอบด้วย วงจรผลิตความถี่แบบโคลพิทส์ (colpitts) วาเรคเตอร์ไดโอด มิกเซอร์ วงจรขยาย IF และวงจรแสดงแรงของสัญญาณ (RSSI) ส่วนของวงจรกำเนิดความถี่โลคัล ออสซิลเลเตอร์นั้นได้ใช้ ไอซีเบอร์ MC145166 ของบริษัท โมโตโรล่า ซึ่งเป็นไอซีเฟสล็อกคูลูที่ ใช้ในโทรศัพท์ไร้สาย ความถี่ 46 / 49 MHz มาเป็นตัวควบคุมการผลิตความถี่ ซึ่ง MC 13135 มี ขา 1 "LO Out" ซึ่งเป็นเอาท์พุทของวงจรกำเนิดความถี่ ที่สามารถนำไปเป็นสัญญาณอินพุทให้กับ เฟสล็อกคูลูได้ และในหัวข้อนี้เราจะได้กล่าวถึงการกำหนดค่าอุปกรณ์ที่ใช้ร่วมกับ MC13135 ใน ส่วนต่าง ๆ ดังนี้

เอกสารนี้เป็นเอกสารที่สงวนไว้สำหรับการใช้งานเพื่อการศึกษาเท่านั้น ไม่อนุญาตให้นำไปใช้ประโยชน์ด้านการค้า ไม่ว่ากรณีใดๆ ทั้งสิ้น อีกทั้งห้ามมิให้ตัดแปลงเนื้อหาและต้องอ้างอิงถึงเจ้าของเอกสารทุกครั้งที่มีการนำไปใช้

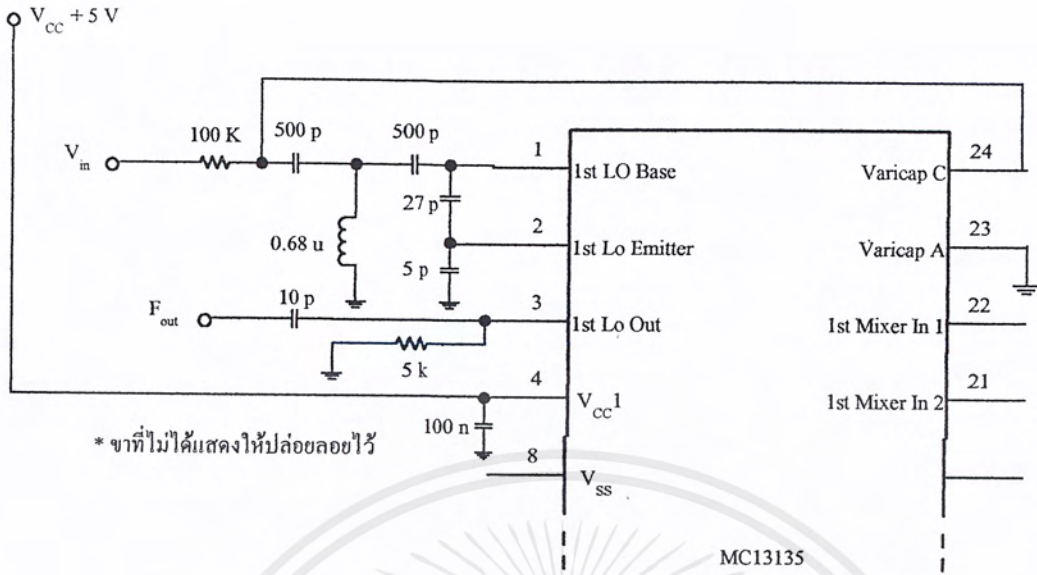
ส่วนผลิตความถี่โลคัลออสซิลเลเตอร์ภาคแรก

ภายใน MC 13135 มีวงจรออสซิลเลเตอร์แบบโคลพิทส์ คอมมอนคอลลเลคเตอร์อยู่ภายในซึ่งได้มีการจัดไบอัสไว้เรียบร้อยแล้ว และมีขาเบสและอิมิตเตอร์ต่อออกมาข้างนอกเพื่อใช้ในการควบคุมการผลิตความถี่และเพื่อเพิ่มกระแสไบอัสตามลำดับ ซึ่งในส่วนนี้ก็มีวงจรการประยุกต์ใช้งานอยู่แล้ว แต่เนื่องจากได้มีปัญหาเกิดขึ้น (อธิบายไว้แล้วในบทปัญหา – การแก้ไข) ซึ่งค่า L ที่ระบุไว้ไม่สามารถกำเนิดความถี่ได้ในช่วงตามที่ต้องการ จึงต้องเลือกค่า L ใหม่ เพื่อให้วงจรผลิตความถี่ในช่วง 35.915 – 36.275 MHz ได้ วงจรการเลือกหาค่า L เพื่อให้ผลิตความถี่ในช่วงที่ต้องการแสดงได้ ดังรูปที่ 3.3 จากนั้นใช้ค่า L ค่าต่าง ๆ ที่มีขายในท้องตลาดมาใส่ในวงจร (ผู้ทำเริ่มที่ค่า $L = 680$ เนื่องจากที่ L ค่านี้เคยผลิตความถี่ในช่วงที่ต้องการได้) ทำการป้อน V_{IN} ค่า 0 โวลต์ แล้วบันทึกค่า $F_{out (min)}$ แล้วป้อน V_{IN} เท่ากับ 5 โวลต์ บันทึก $F_{out (max)}$ ซึ่งจากการทดลองโดยใช้ L 4 ตัว ตามลำดับได้ผลดังนี้

ค่า L (nH)	$F_{out(min)}$ (MHz)	$F_{out(max)}$ (MHz)
680 (1/4w)	39.83	45.98
820 (1/4w)	36.17	41.79
1000 (1/4w)	36.13	35.14
820 (1/2w)	33.28	38.03

ตารางที่ 3.3 แสดงค่า L ที่เลือกใช้ในการผลิตความถี่

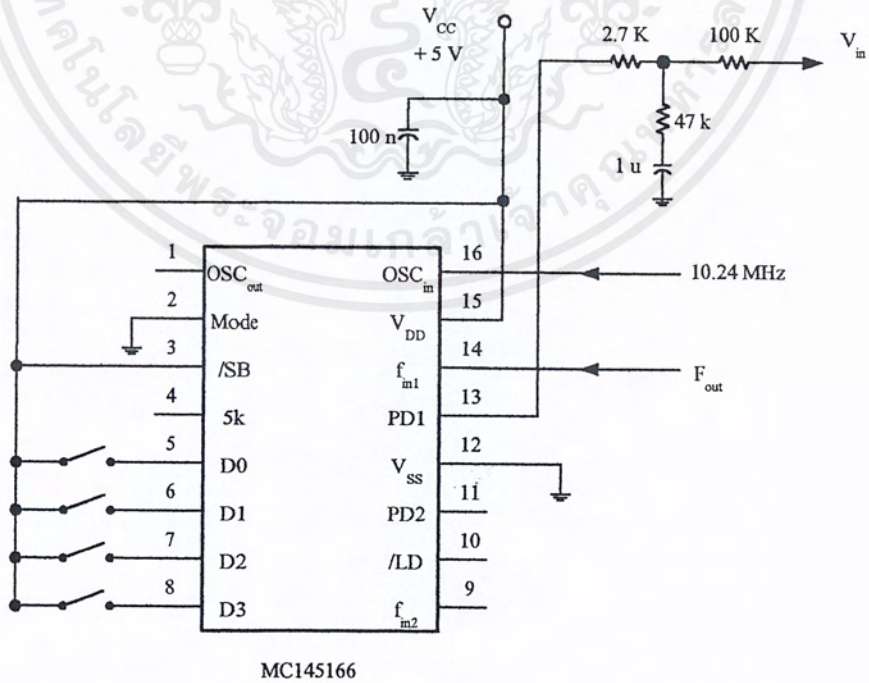
ซึ่งจะเห็นว่าที่ค่า L เท่ากับ 820 nH ขนาด 1/2w สามารถผลิตความถี่ในช่วง 33.28 – 38.03 MHz โดยการควบคุมแรงดัน V_{IN} ระหว่าง 0 – 5 โวลต์ ค่าความถี่ที่ V_{IN} ค่าต่าง ๆ สามารถดูได้ที่บทที่ 4 ในหัวข้อการทดลองในส่วนของเครื่องรับ



รูปที่ 3.15 วงจรการทดลองหาค่า L

ส่วนควบคุมการผลิตความถี่ด้วยเฟสล็อกคูลูป

ในส่วนนี้ใช้ MC145166 ในการควบคุมการผลิตความถี่ โดยเพียงแค่ต่ออุปกรณ์เพิ่มข้างนอกเท่านั้นส่วนของวงจรมีแสดงดังรูปที่ 3.16

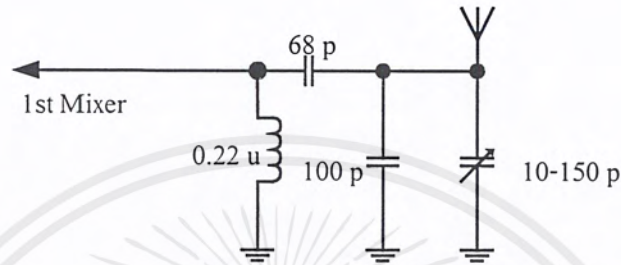


รูปที่ 3.16 ส่วนควบคุมการผลิตความถี่ด้วยเฟสล็อกคูลูป

เอกสารนี้เป็นเอกสารที่สงวนไว้สำหรับการใช้งานเพื่อการศึกษาเท่านั้น ไม่อนุญาตให้นำไปใช้ประโยชน์ด้านการค้าไม่ว่ากรณีใดๆ ทั้งสิ้น อีกทั้งห้ามมิให้ดัดแปลงเนื้อหาและต้องอ้างอิงถึงเจ้าของเอกสารทุกครั้งที่มีการนำไปใช้

วงจรจูนต์

ส่วนนี้ได้ใช้วงจรเมทซิ่งแบบพาย ซึ่งออกแบบให้มีความถี่ศูนย์กลางประมาณ 46MHz และมีแบนด์วิดท์ประมาณ 18 MHz วงจรแสดงดังรูปที่ 3.17



รูปที่ 3.17 วงจรจูนต์

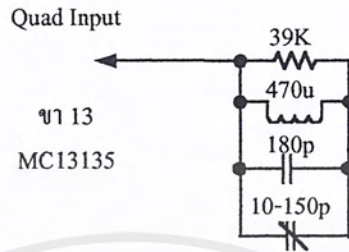
ส่วนของวงจรมิกเซอร์ภาคที่ 1 และภาคที่ 2

วงจรมิกเซอร์ทั้งสองภาคถูกรวมไว้ใน MC 13135 ทั้งหมดแล้ว แต่จำเป็นต้องต่ออุปกรณ์ภายนอกเพิ่มไม่กี่ตัว สำหรับมิกเซอร์ภาคแรกมีเอาต์พุตอิมพีแดนซ์ 330 Ω ถูกออกแบบมาให้ใช้กับเซรามิกฟิลเตอร์ ในที่นี้ใช้ความถี่ $IF_1 = 10.7$ MHz จึงเลือกใช้เซรามิกฟิลเตอร์ความถี่ 10.7 MHz ต่อที่ขา 18, 19, 20 แสดงดังรูปที่ 3.19 ส่วนมิกเซอร์ภาคที่สองมีอินพุตอิมพีแดนซ์ 4.0 K Ω จึงต้องต่อความต้านทาน 360 Ω คร่อมที่อินพุท (ขา 18, 19) เพื่อให้อิมพีแดนซ์ของเซรามิกฟิลเตอร์กับอินพุตอิมพีแดนซ์ของมิกเซอร์ภาคที่สองแมตซ์กัน

สำหรับความถี่ IF_2 ใช้ความถี่ 455 KHz จึงใช้เซรามิกฟิลเตอร์ 455 KHz แต่เนื่องจากจากว่า ความถี่กลางของเซรามิกฟิลเตอร์ความถี่ 455 KHz มีค่าไม่แน่นอน ดังนั้นในส่วนนี้จึงทำการแก้ไขโดยใช้คริสตัลความถี่ 10.24 MHz ต่อร่วมกับคาปาซเตอร์ปรับค่าได้เป็นตัวควบคุมการกำเนิดความถี่ของโลคัลออสซิลเลเตอร์ภาคที่สอง

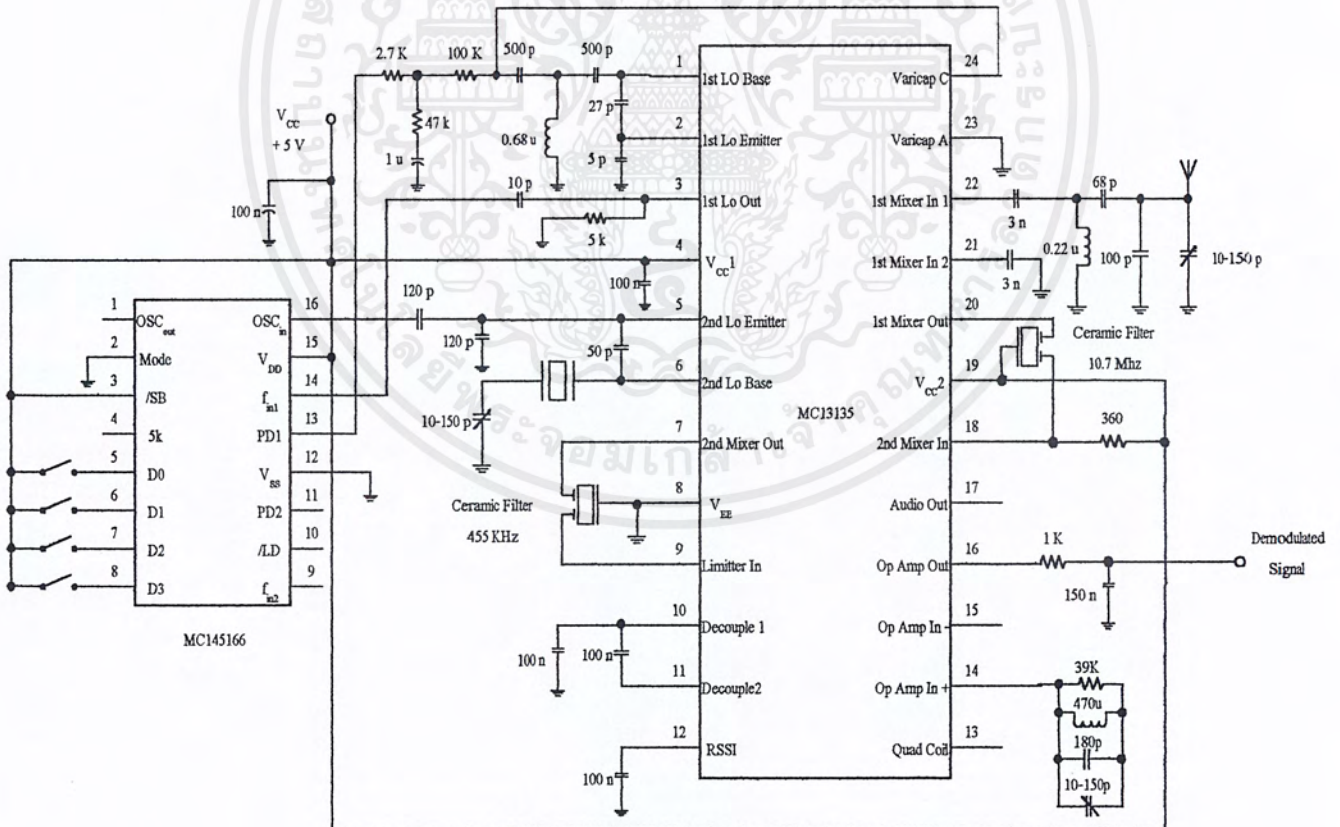
ควอดคอยล์

ในส่วนนี้ประกอบด้วย R,L และ C ต่อขนานกันเป็นวงจรจูนด์ โดยจะจูนด์ไปที่ความถี่ IF ที่
 ๑๐๗



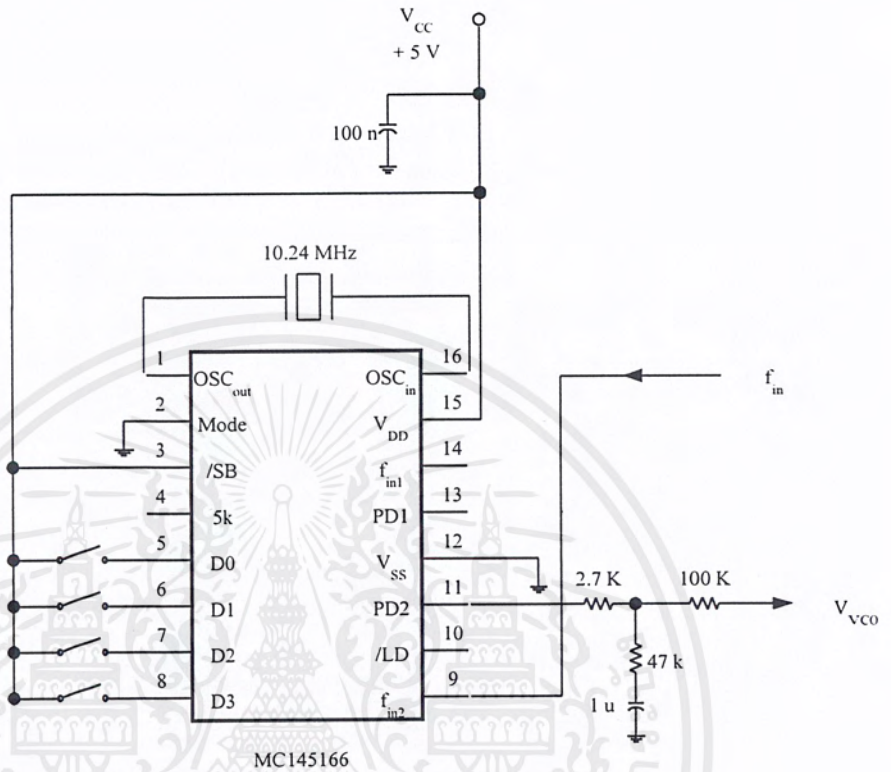
รูปที่ 3.18 ควอดคอยล์

และที่ Audio output ต่อ R เท่ากับ 1K และ C เท่ากับ 150 nF ตามลำดับ



รูปที่ 3.19 วงจรเครื่องรับ FM

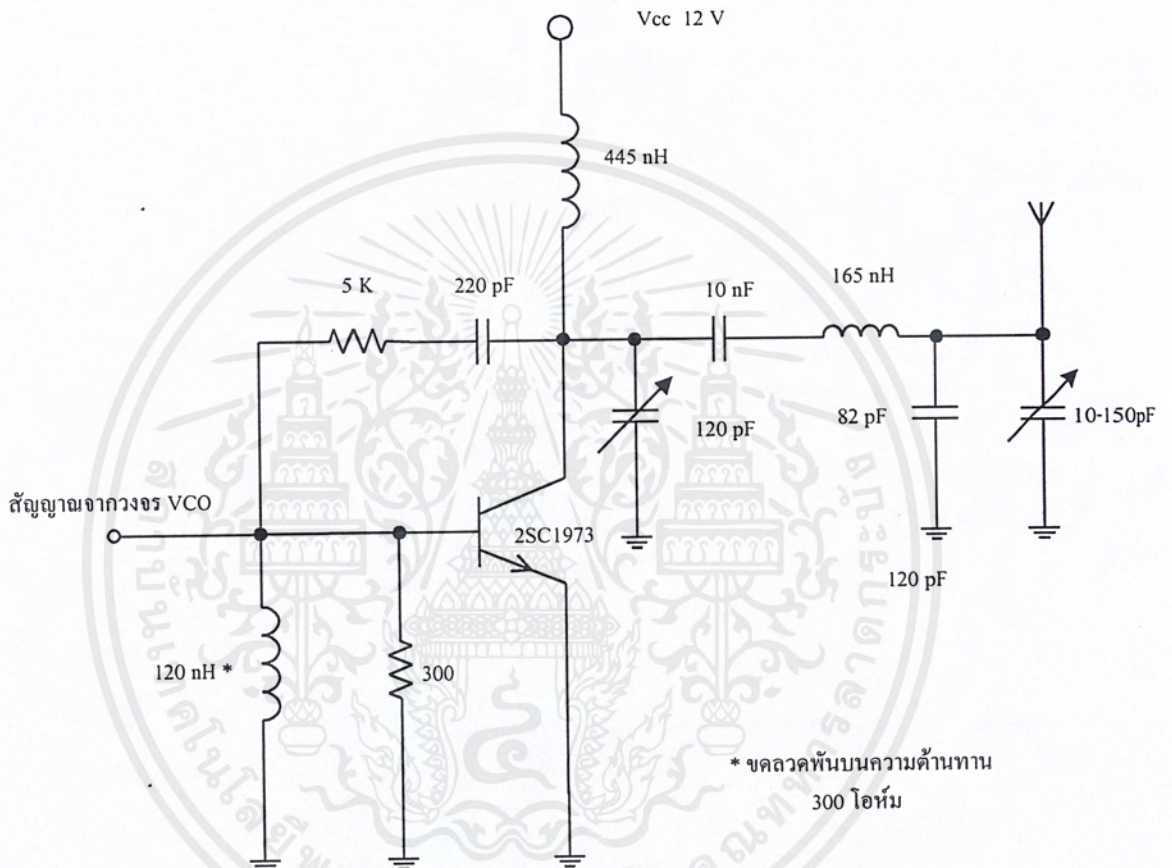
เอกสารนี้เป็นเอกสารที่สงวนไว้สำหรับการใช้งานเพื่อการศึกษาเท่านั้น ไม่อนุญาตให้นำไปใช้ประโยชน์ด้านการค้า
 ไม่ว่ากรณีใดๆ ทั้งสิ้น อีกทั้งห้ามมิให้ดัดแปลงเนื้อหาและต้องอ้างอิงถึงเจ้าของเอกสารทุกครั้งที่มีการนำไปใช้



รูปที่ 3.20 (ข) วงจรเฟสล็อกคูล์ที่ใช้ในการควบคุมการผลิตความถี่

3.3.2 วงจรขยายสัญญาณ RF

วงจรขยายสัญญาณ RF ทำหน้าที่ขยายสัญญาณ ที่มอดูเลตแล้วให้แรงขึ้นเพื่อส่งออกอากาศ ในที่นี้ได้จัดวงจรให้เป็นวงจรขยายคลาส C โดยในครั้งแรกได้ใช้ทรานซิสเตอร์เบอร์ 2N3866 แต่จากการทดลองปรากฏว่า 2N3866 ไม่สามารถทำงานได้ตามที่กำหนด จึงต้องเปลี่ยนทรานซิสเตอร์เป็นเบอร์ 2SC1973 ซึ่งค่อนข้างหาซื้อได้ยากในท้องตลาด วงจร RF AMP แสดงดังรูปที่ 3.21

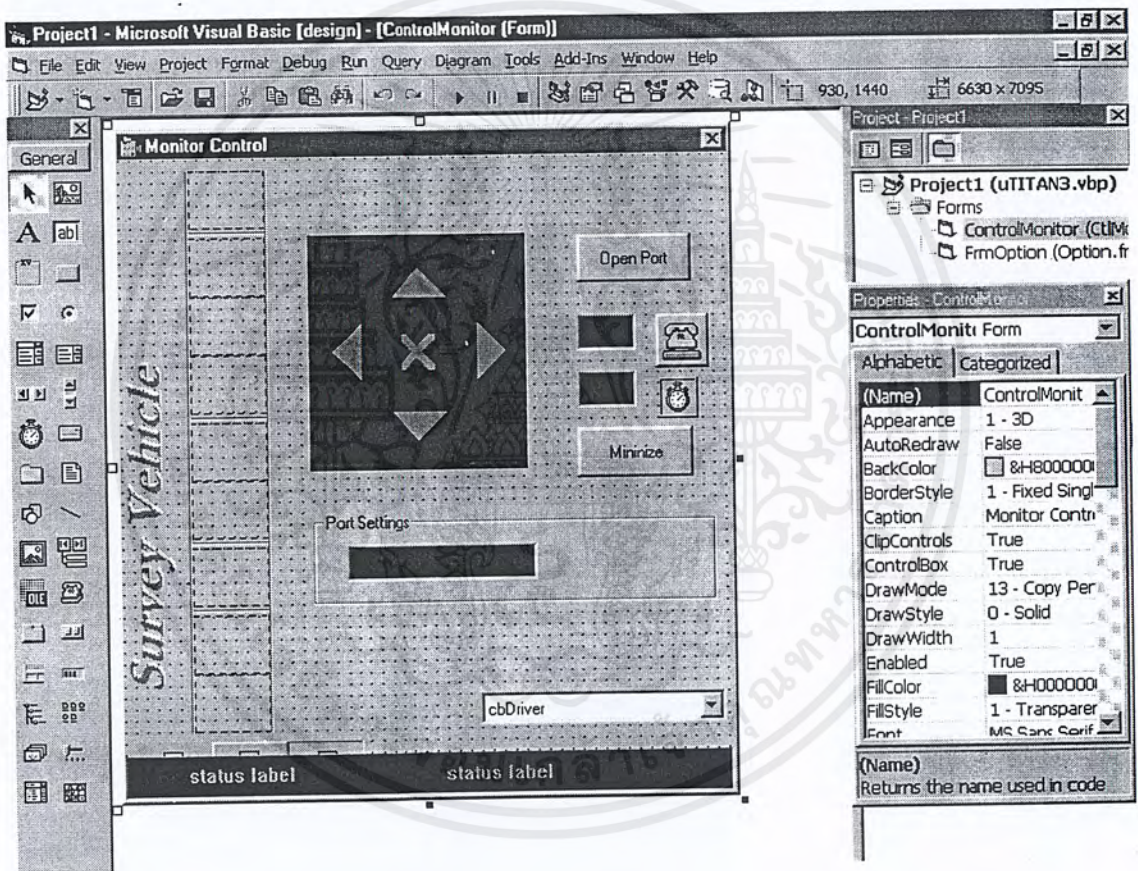


รูปที่ 3.21 วงจรขยายสัญญาณ RF

เอกสารนี้เป็นเอกสารที่สงวนไว้สำหรับการใช้งานเพื่อการศึกษาเท่านั้น ไม่อนุญาตให้นำไปใช้ประโยชน์ด้านการค้าไม่ว่ากรณีใดๆ ทั้งสิ้น อีกทั้งห้ามมิให้ตัดแปลงเนื้อหาและต้องอ้างอิงถึงเจ้าของเอกสารทุกครั้งที่มีการนำไปใช้

3.4 โปรแกรมควบคุมการทำงาน

โปรแกรมควบคุมการทำงาน ทำหน้าที่ส่งรหัสควบคุมไปยังตัวรถ ในที่นี่ได้ใช้ Visual Basic ในการเขียนโปรแกรม โดยอาศัยคอนโทรล CommPort ในการส่งข้อมูลอนุกรมจากคอมพิวเตอร์ โดยอาศัยเหตุการณ์ Keydown และ Keyup ในการตรวจสอบการกดคีย์ของผู้ใช้ ประมวลผลค่าคีย์ดังกล่าวแล้ว จึงส่งข้อมูลออกทางพอร์ตอนุกรม ในส่วนของการแสดงภาพ video ได้อาศัย component eZvidcap ในการแสดงผล ซึ่ง คอนโทรลดังกล่าว สามารถหาดาวน์โหลดได้ที่ www.vbshrinkwrap.com รูปที่ 3.22 แสดงหน้าจออินเทอร์เน็ตเฟสขณะออกแบบ



รูปที่ 3.22 โปรแกรมควบคุมการทำงานขณะออกแบบ

เอกสารนี้เป็นเอกสารที่สงวนไว้สำหรับการใช้งานเพื่อการศึกษาเท่านั้น ไม่อนุญาตให้นำไปใช้ประโยชน์ด้านการค้าไม่ว่ากรณีใดๆ ทั้งสิ้น อีกทั้งห้ามมิให้ดัดแปลงเนื้อหาและต้องอ้างอิงถึงเจ้าของเอกสารทุกครั้งที่มีการนำไปใช้

3.5 โปรแกรมในส่วนของการขับเคลื่อนรถและควบคุมกล้อง

ในส่วนนี้อาศัยไมโครคอนโทรลเลอร์เบอร์ AT89C2051 เป็นตัวประมวลผลกลาง โดยรับข้อมูลจากภาค FSK ดิมอดคูเลเตอร์ แล้วตรวจสอบรหัสที่ส่งมาแล้วทำตามรหัสที่รับมาได้

ส่วนของการขับเคลื่อนรถ ใช้ไอซี ขับมอเตอร์เบอร์ A3951SW ซึ่งสามารถจ่ายกระแสได้สูงสุดถึง 2.5A ง่ายต่อการควบคุม เหมาะสำหรันำมาใช้ร่วมกับไมโครโปรเซสเซอร์

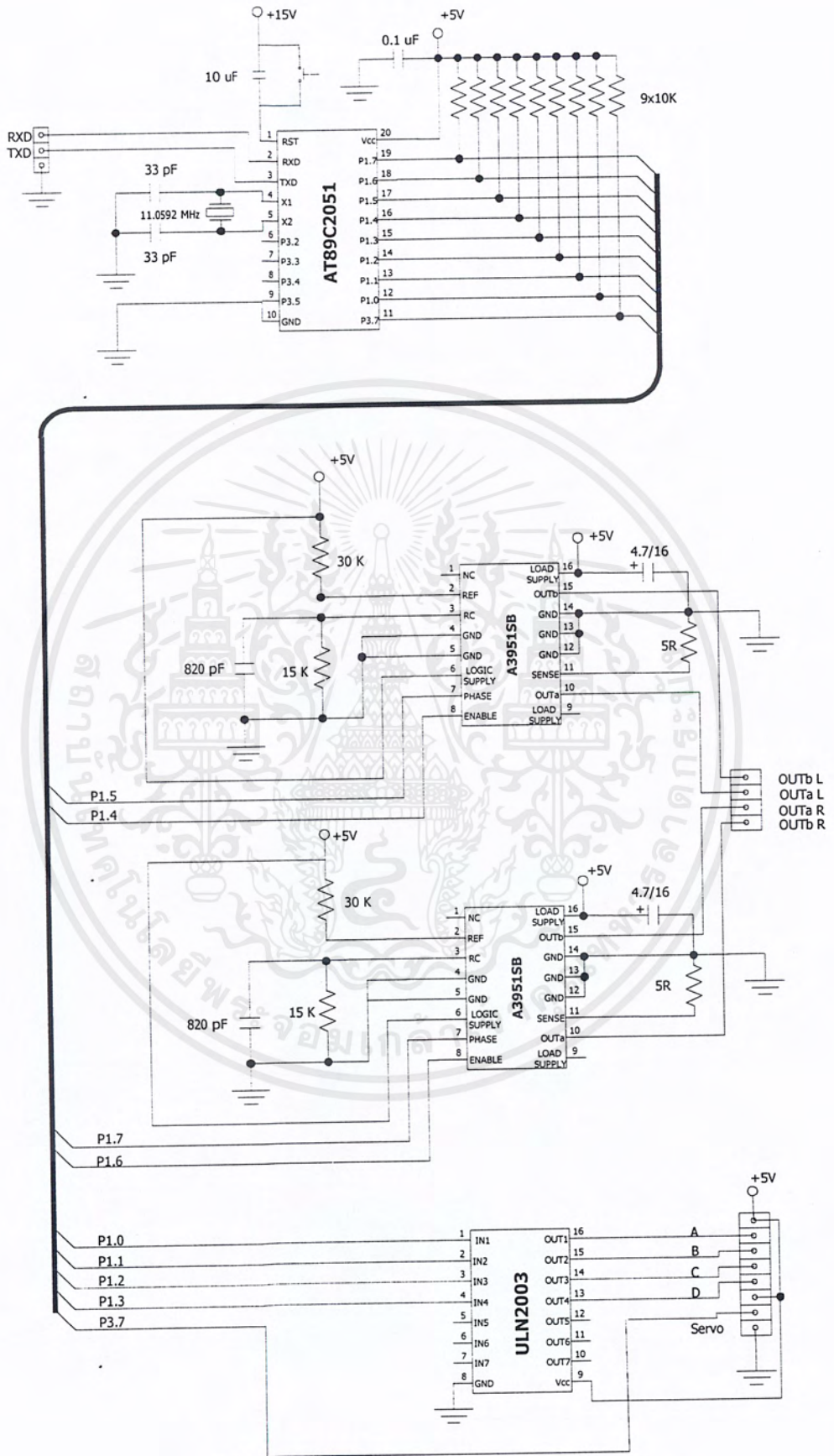
ส่วนของการควบคุมกล้องได้ใช้ สเตปปีงมอเตอร์ ในการแพนกล้องซ้ายขวา และใช้ servo motor ในการควบคุมการก้มยก ซึ่งในส่วนนี้ใช้ ไอซี เบอร์ ULN 2003 ในการขับกระแสจจรทั้งหมดในส่วนนี้ แสดงผังรูปที่ 3.23

3.6 เครื่องส่งสัญญาณวิทยุไอ

รูปที่ 3.24 แสดงวงจรเครื่องส่งสัญญาณวิทยุไอ

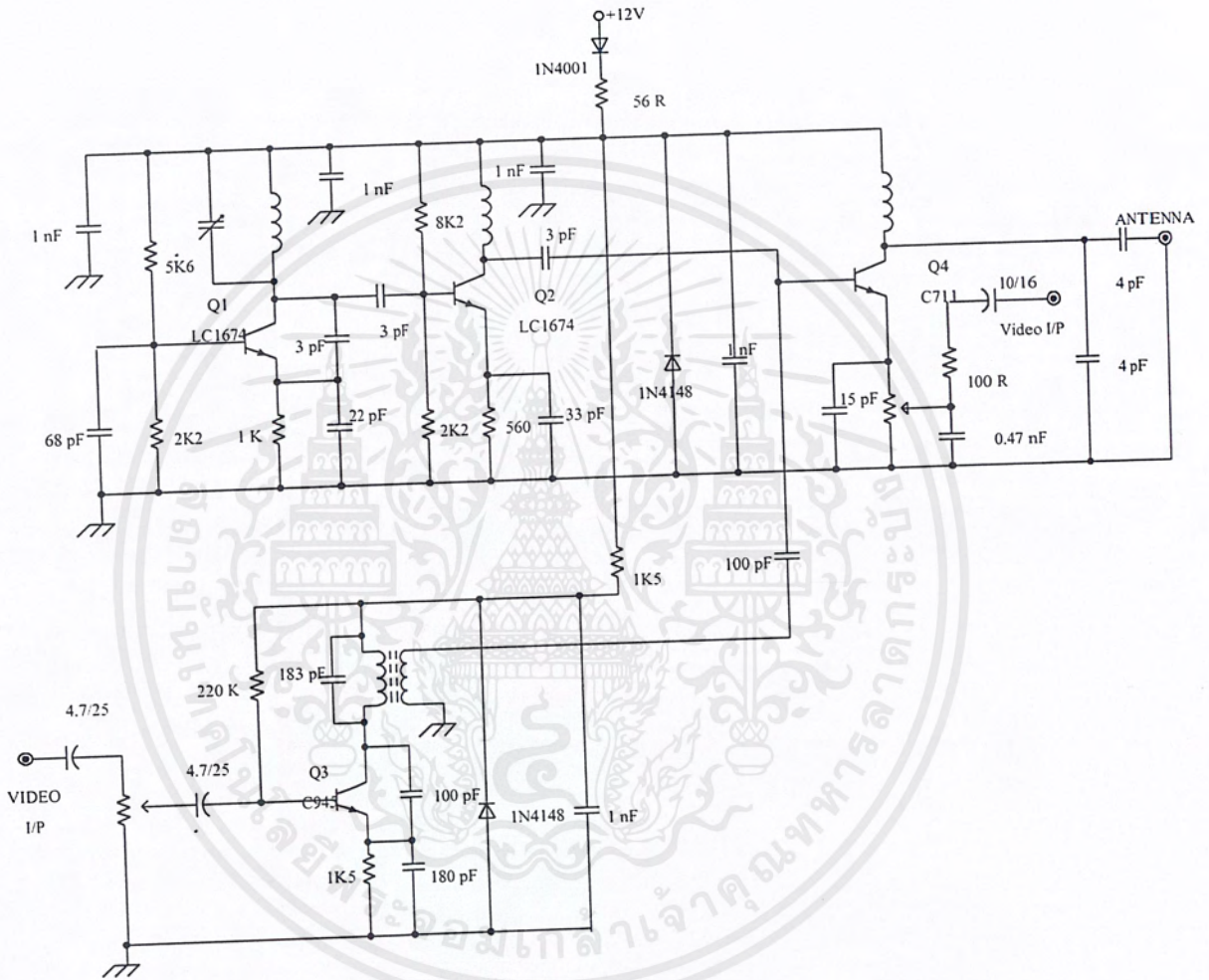
การทำงานของวงจร

1. ภาคผลิตสัญญาณพาหะสำหรับสัญญาณภาพประกอบด้วย ภาคออสซิลเลเตอร์ ทำหน้าที่โดย Q_1 ร่วมกับ L และ C ทริเมอร์ ความถี่ที่ผลิตขึ้นมานี้จะถูกนำไปทำการเพิ่มความถี่ให้สูง ขึ้นด้วยภาคทวีคูณความถี่เป็นสองเท่า โดย Q_2
2. ภาคผลิตสัญญาณพาหะสำหรับสัญญาณเสียงร่วมกับเอฟเอ็มมอดูเลเตอร์ ประกอบด้วย Q_3 เป็นรีแอกแตนท่มอดูเลเตอร์ ร่วมกับ LC แทงค์ ซึ่งทำด้วยไอเอฟทรานฟอร์มเมอร์ เป็นตัวกำเนิดความถี่ 5.5 MHz สัญญาณเสียงที่เข้ามาทางขาเบสของ Q_3 จะทำให้รีแอกแตนซ์ของวงจรกำเนิดความถี่เปลี่ยนไป จึงทำให้ความถี่ 5.5 MHz เปลี่ยนแปลงไปตามสัญญาณ นั่นคือ เกิดคลื่น FM ออกไปยังขาเบสของ Q_4
3. ภาคมอดูเลเตอร์ภาพ และขยายกำลัง สัญญาณภาพถูกป้อนเข้าทางขาอิมิตเตอร์ของ Q_4 เพื่อทำให้เกิดการมอดูเลตแบบเอเอ็ม โดยโวลต์เตจจากสัญญาณภาพควบคุมการไบอัสของ Q_4 เปลี่ยนแปลงไปตามขนาดของสัญญาณและในขณะเดียวกัน ความถี่พาหะของภาพและเสียงที่เบสของ Q_4 จะเกิดการบีบกัน ได้ ดังนั้นที่เบสของ Q_4 ซึ่งเป็นจุดที่ความถี่พาหะภาพและเสียงสูงกว่าพาหะภาพอยู่ 5.5 MHz



รูปที่ 3.23 วงจรการขับเคลื่อนรถและควบคุมกล้อง

เอกสารนี้เป็นเอกสารที่สงวนไว้สำหรับการใช้งานเพื่อการศึกษาเท่านั้น ไม่อนุญาตให้นำไปใช้ประโยชน์ด้านการค้าไม่ว่ากรณีใดๆ ทั้งสิ้น อีกทั้งห้ามมิให้ดัดแปลงเนื้อหาและต้องอ้างอิงถึงเจ้าของเอกสารทุกครั้งที่มีการนำไปใช้



รูปที่ 3.24 วงจรเครื่องส่งสัญญาณวิดีโอ

เอกสารนี้เป็นเอกสารที่สงวนไว้สำหรับการใช้งานเพื่อการศึกษาเท่านั้น ไม่อนุญาตให้นำไปใช้ประโยชน์ด้านการค้าไม่ว่ากรณีใดๆ ทั้งสิ้น อีกทั้งห้ามมิให้ตัดแปลงเนื้อหาและต้องอ้างอิงถึงเจ้าของเอกสารทุกครั้งที่มีการนำไปใช้

บทที่ 4

การทดลองและผลการทดลอง

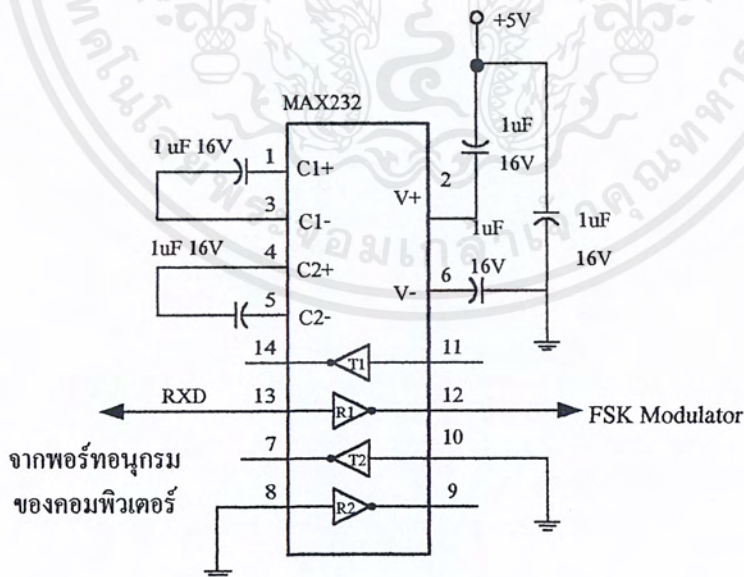
ในบทนี้จะกล่าวถึงการทดลองวงจรในส่วนต่าง ๆ พร้อมทั้งผลการทดลอง และเพื่อให้เห็นถึงการเปลี่ยนแปลงของสัญญาณที่ผ่านไปแต่ละภาคอย่างต่อเนื่อง จะทำการทดลองเริ่มจากเครื่องรับไปยังเครื่องส่งตามลำดับ ดังต่อไปนี้

4.1 การทดลองในส่วนของเครื่องส่ง

4.1.1 วงจรแปลงระดับสัญญาณ RS-232 เป็น TTL

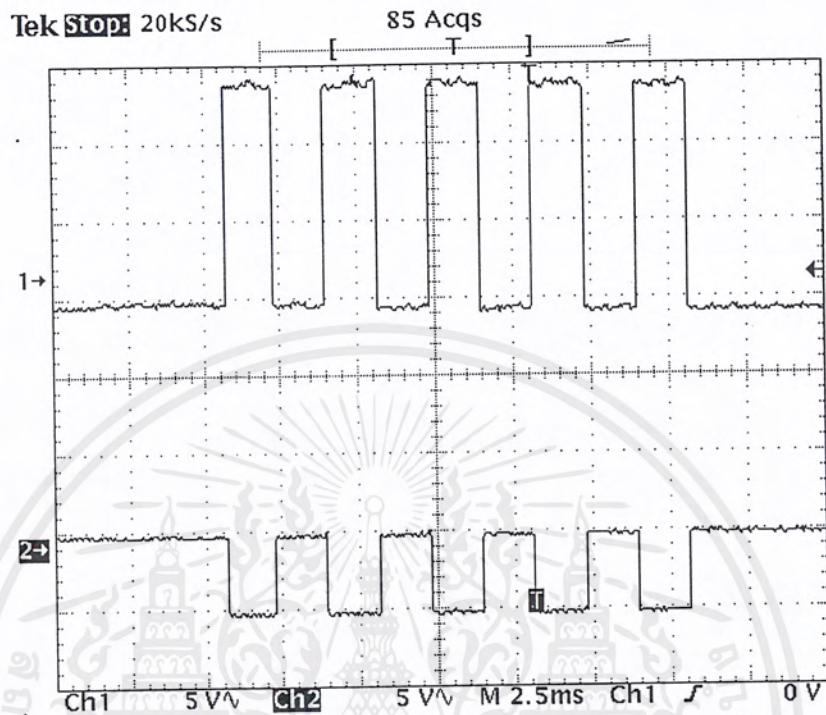
การทดลอง วงจรทดลองแสดงดังรูปที่ 4.1 โดยการส่งสัญญาณข้อมูลออกจากคอมพิวเตอร์ แล้ววัดสัญญาณที่ขา 13 ของ MAX 232 เทียบกับขาสัญญาณ 12 ดังรูป 4.1 ผลการทดลองแสดงดังรูป 4.2

ผลการทดลอง ผลการทดลองแสดงดังรูป 4.2



รูปที่ 4.1 วงจรทดลองการแปลงระดับสัญญาณ RS 232 เป็น TTL

เอกสารนี้เป็นเอกสารที่สงวนไว้สำหรับการใช้งานเพื่อการศึกษาเท่านั้น ไม่อนุญาตให้นำไปใช้ประโยชน์ด้านการค้าไม่ว่ากรณีใดๆ ทั้งสิ้น อีกทั้งห้ามมิให้ตัดแปลงเนื้อหาและต้องอ้างอิงถึงเจ้าของเอกสารทุกครั้งที่มีการนำไปใช้



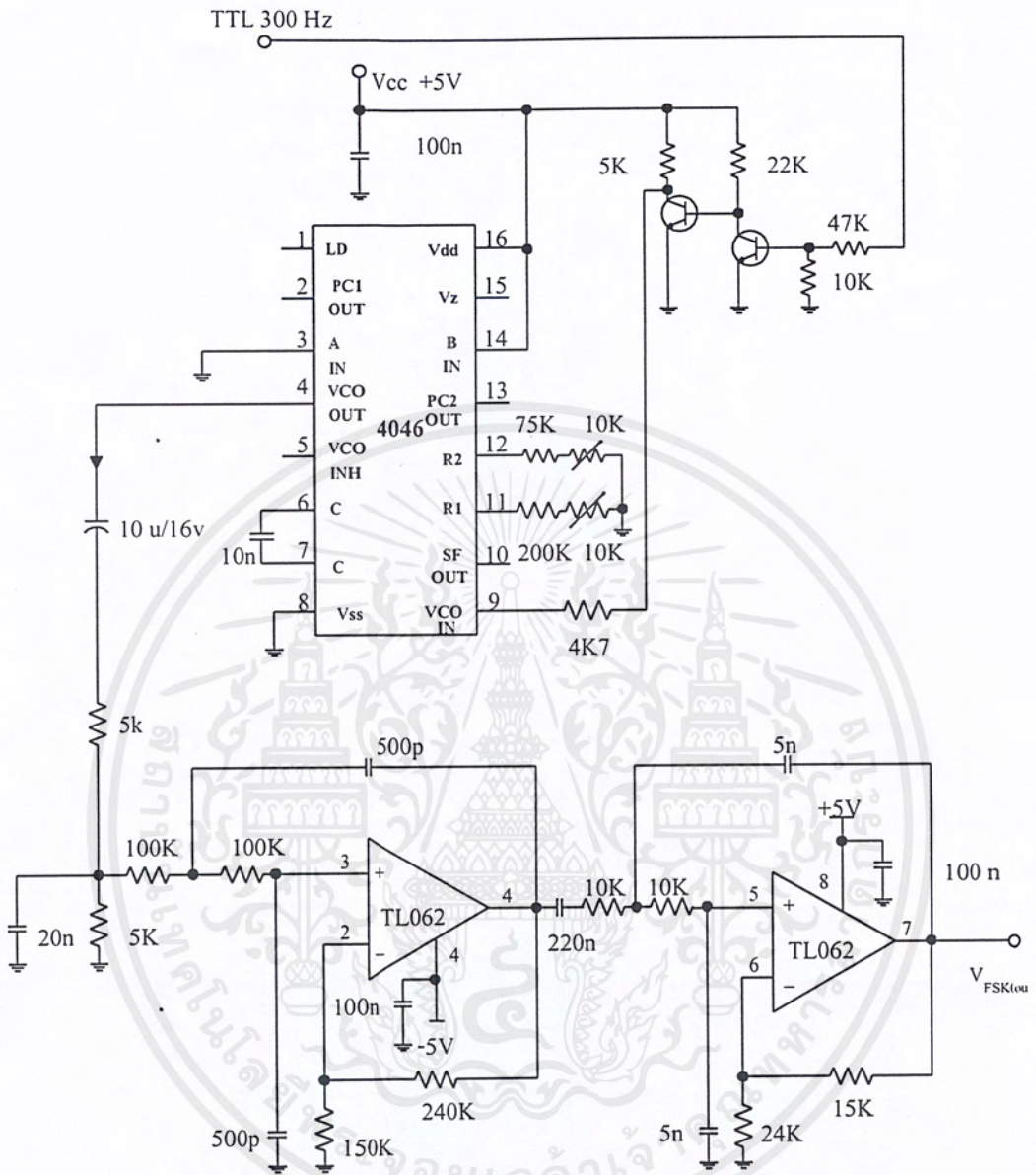
14 Oct 2000
03:03:30

รูปที่ 4.2 สัญญาณที่ขา 13 ของ MAX 232 เทียบกับขาสัญญาณ 12
ช่อง 1 แสดงสัญญาณที่ออกจากคอมพิวเตอรื
ช่อง 2 แสดงสัญญาณ TTL ที่เอาท์พุท

4.1.2 วงจร FSK มอดคูเลเตอร์

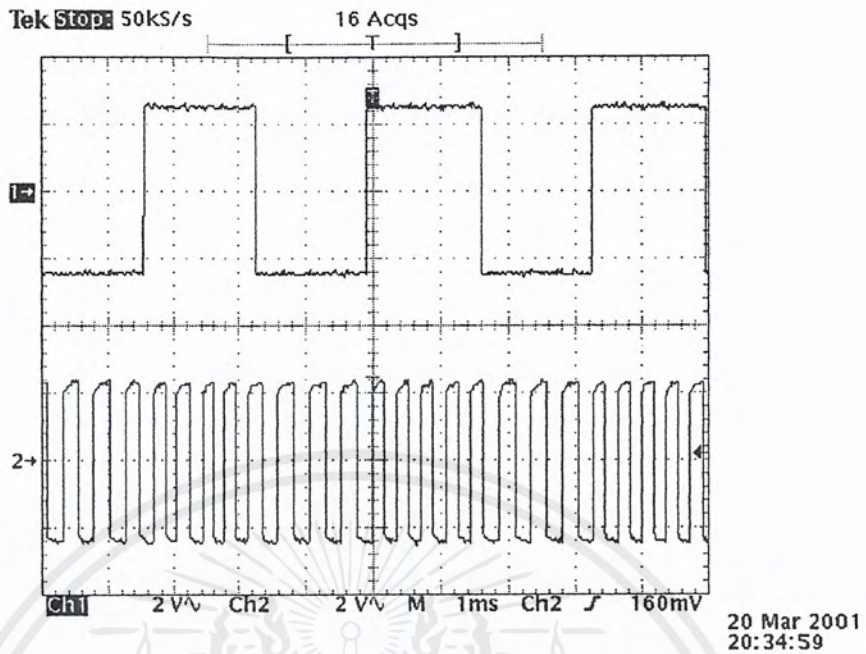
การทดลอง วงจรการทดลองแสดงดังรูปที่ 4.3 โดยการป้อนสัญญาณพัลส์ความถี่ 300 Hz เข้าที่อินพุทของ FSK มอดคูเลเตอร์ ดังรูปที่ 4.3 แล้ววัดสัญญาณที่ขา 4 ของ MC 14046 เทียบกับอินพุท สัญญาณที่เอาท์พุทของวงจรองความถี่ต่ำผ่านเทียบกับสัญญาณที่ขา 4 ของ MC 14046 จากนั้นจึงวัดสัญญาณที่เอาท์พุทของวงจรองความถี่ต่ำผ่าน

ผลการทดลอง ผลการทดลองของสัญญาณที่จุดต่าง ๆ แสดงดังรูปที่ 4.4 และ 4.5



รูปที่ 4.3 วงจรการทดลอง FSK มอดดูเลเตอร์

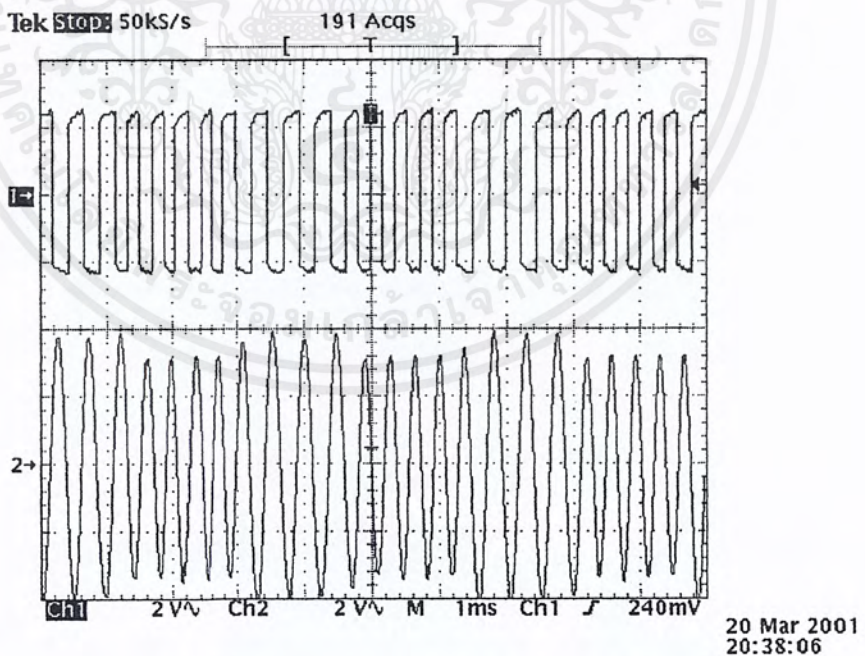
เอกสารนี้เป็นเอกสารที่สงวนไว้สำหรับการใช้งานเพื่อการศึกษาเท่านั้น ไม่อนุญาตให้นำไปใช้ประโยชน์ด้านการค้าไม่ว่ากรณีใดๆ ทั้งสิ้น อีกทั้งห้ามมิให้ดัดแปลงเนื้อหาและต้องอ้างอิงถึงเจ้าของเอกสารทุกครั้งที่มีการนำไปใช้



รูปที่ 4.4 (ก) แสดงสัญญาณอินพุตกับสัญญาณที่ขา 4 ของ MC 14046

ช่องที่ 1 แสดงสัญญาณอินพุต

ช่องที่ 2 แสดงสัญญาณที่ขา 4 ของ MC 14046

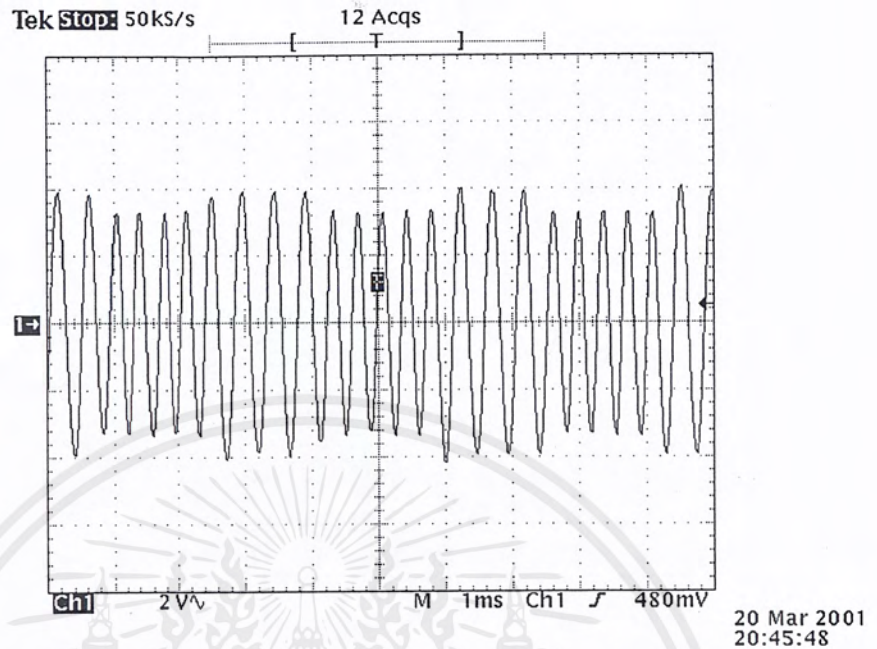


รูปที่ 4.4 (ข) แสดงสัญญาณที่อินพุตและเอาต์พุตของวงจรรองความถี่ต่ำผ่าน

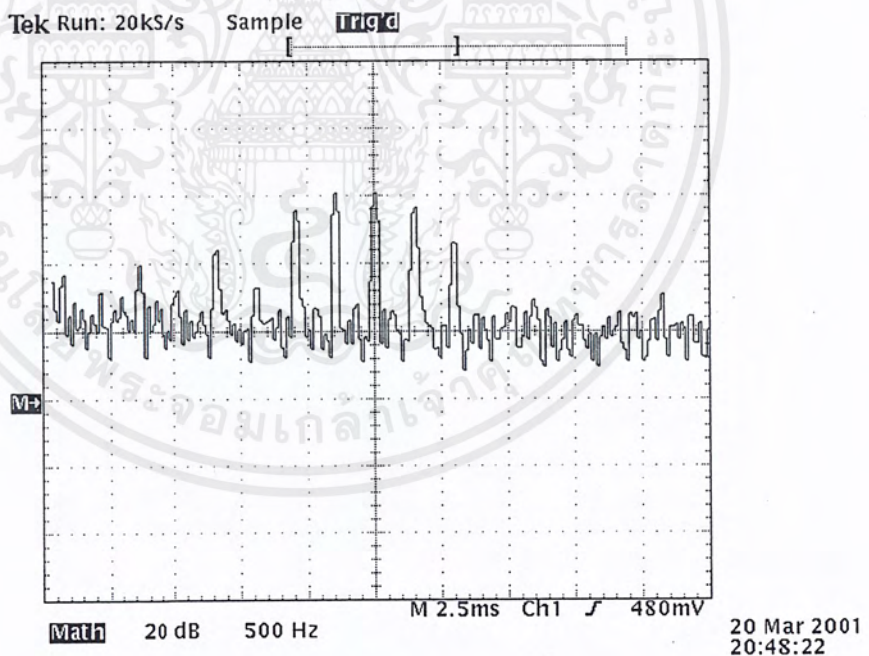
ช่อง 1 แสดงสัญญาณที่อินพุตของวงจรรองความถี่ต่ำผ่าน

ช่อง 2 แสดงสัญญาณที่เอาต์พุตของวงจรรองความถี่ต่ำผ่าน

เอกสารนี้เป็นเอกสารที่สงวนไว้สำหรับการใช้งานเพื่อการศึกษาเท่านั้น ไม่นอนุญาตให้นำไปใช้ประโยชน์ด้านการค้า
ไม่ว่ากรณีใดๆ ทั้งสิ้น อีกทั้งห้ามมิให้ตัดแปลงเนื้อหาและต้องอ้างอิงถึงเจ้าของเอกสารทุกครั้งที่มีการนำไปใช้



(ก)



(ข)

รูปที่ 4.5 สัญญาณที่เอาต์พุตของวงจรกรองความถี่ต่ำผ่านพร้อมทั้งสเปกตรัมความถี่

(ก) สัญญาณที่เอาต์พุตของวงจรกรองความถี่ต่ำผ่าน

(ข) สเปกตรัมความถี่ของสัญญาณที่เอาต์พุตของวงจรกรองความถี่ต่ำผ่าน

เอกสารนี้เป็นเอกสารที่สงวนไว้สำหรับการใช้งานเพื่อการศึกษาเท่านั้น ไม่อนุญาตให้นำไปใช้ประโยชน์ด้านการค้าไม่ว่ากรณีใดๆ ทั้งสิ้น อีกทั้งห้ามมิให้ดัดแปลงเนื้อหาและต้องอ้างอิงถึงเจ้าของเอกสารทุกครั้งที่มีการนำไปใช้

4.1.3 ผลตอบสนองทางความถี่ของวงจรกรองความถี่ต่ำผ่าน

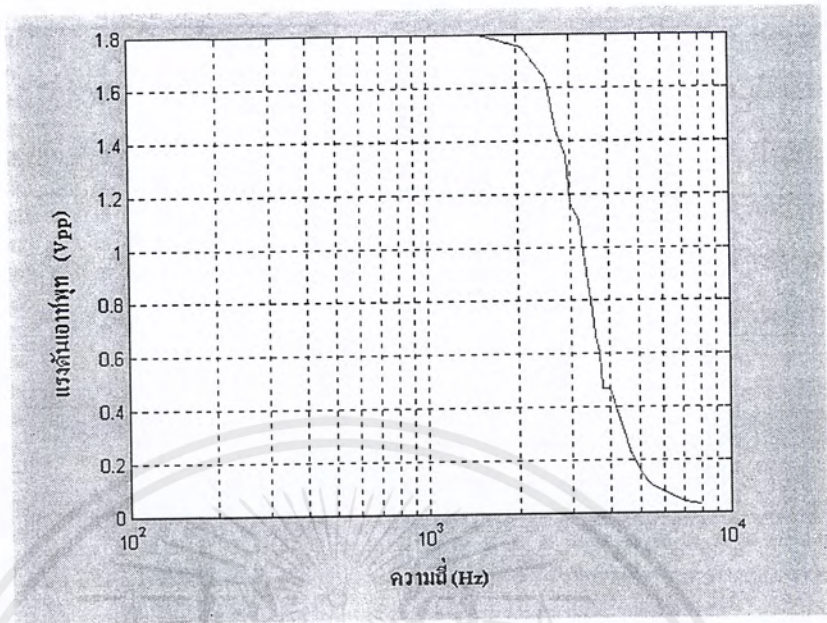
การทดลอง จากวงจรในรูป 4.3 เฉพาะส่วนของวงจรกรองความถี่ต่ำผ่าน ทำการป้อน สัญญาณอินพุตรูปคลื่นไซน์ ขนาด 1 Vpp ตั้งแต่ 100 Hz ถึง 8 KHz แล้วบันทึกขนาดของแรงดันของสัญญาณที่เอาต์พุต

ผลการทดลอง ตารางที่ 4.1 แสดงขนาดของสัญญาณเอาต์พุตของวงจรกรองความถี่ต่ำผ่านที่ความถี่ต่าง ๆ และรูปที่ 4.6 แสดงพล็อตของผลตอบสนองทางความถี่ของวงจร

ความถี่ (Hz)	แรงดันเอาต์พุต (Vp-p)	ความถี่ (Hz)	แรงดันเอาต์พุต (Vp-p)
100-1K	1.8	4.1 K	0.444
1.5 K	1.8	4.2 K	0.400
2.1 K	1.75	4.5 K	0.290
2.5 K	1.63	4.6 K	0.254
2.7 K	1.44	4.7 K	0.222
2.9 K	1.34	4.8 K	0.200
3.0 K	1.16	5.0 K	0.160
3.2 K	1.10	5.3 K	0.122
3.3 K	0.984	5.5 K	0.100
3.4 K	0.868	5.8 K	0.092
3.5 K	0.796	6.0 K	0.080
3.6 K	0.672	6.5 K	0.063
3.7 K	0.600	7.0 K	0.044
3.8 K	0.472	8.0 K	0.030
4.0 K	0.472	-	-

ตารางที่ 4.1 ขนาดของสัญญาณเอาต์พุตของวงจรกรองความถี่ต่ำผ่านที่ความถี่ต่าง ๆ

เอกสารนี้เป็นเอกสารที่สงวนไว้สำหรับการใช้งานเพื่อการศึกษาเท่านั้น ไม่อนุญาตให้นำไปใช้ประโยชน์ด้านการค้าไม่ว่ากรณีใดๆ ทั้งสิ้น อีกทั้งห้ามมิให้ดัดแปลงเนื้อหาและต้องอ้างอิงถึงเจ้าของเอกสารทุกครั้งที่มีการนำไปใช้



รูปที่ 4.6 พล็อตของผลตอบสนองทางความถี่ของวงจรรองความถี่ต่ำผ่าน

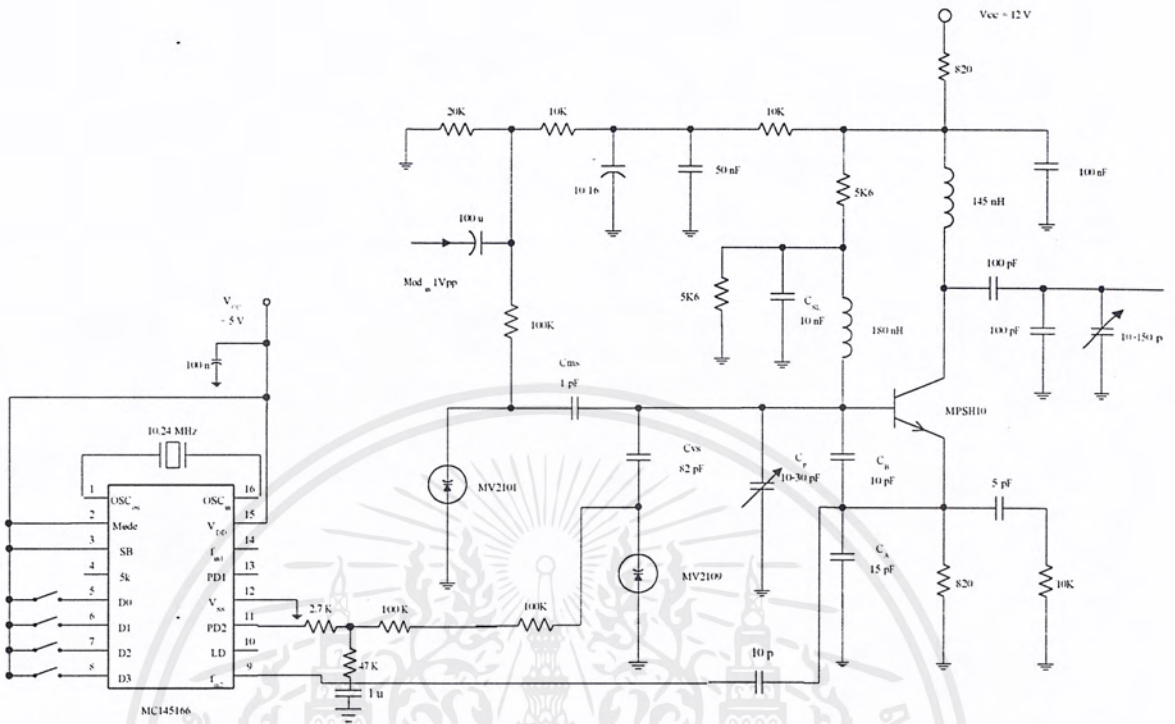
4.1.4 การผลิตความถี่ของวงจรมีความถี่ที่ควบคุมแรงดันด้วย PLL

การทดลอง ทำการต่อวงจรตามรูปที่ 4.7 เปลี่ยนดิพสวิทซ์จาก 0000 ถึง 1010 แล้ววัดความถี่ที่เอาต์พุต จากนั้นเซตดิพสวิทซ์ไว้ที่ช่อง 1 แล้ววัดสัญญาณที่เอาต์พุต

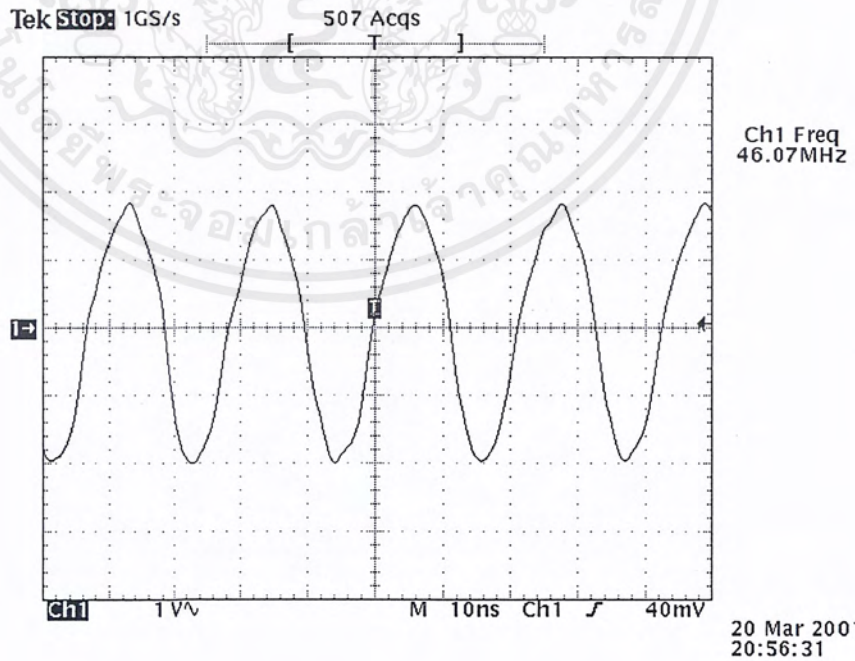
ผลการทดลอง ตารางที่ 4.2 แสดงความถี่ของสัญญาณเอาต์พุตของวงจรมีความถี่ที่ควบคุมแรงดันด้วย PLL และรูปที่ 4.8 แสดงสัญญาณที่เอาต์พุตของวงจรมีความถี่ที่ควบคุมแรงดันด้วย PLL

ช่อง	ดิพสวิทซ์	ความถี่เอาต์พุต (MHz)
1	0001	46.61
2	0010	46.63
3	0011	46.67
4	0100	46.71
5	0101	46.73
6	0110	46.77
7	0111	46.83
8	1000	46.87
9	1001	46.93
10	1010	46.97

เอกสารนี้เป็นเอกสารที่สงวนไว้สำหรับการใช้งานเพื่อการศึกษาเท่านั้น ไม่อนุญาตให้ทำซ้ำโดยไม่ขออนุญาต
ไม่ว่ากรณีใดๆ ทั้งสิ้น อีกทั้งห้ามมิให้ตัดแปลงเนื้อหาและต้องอ้างอิงถึงเจ้าของเอกสารทุกครั้งที่มีการนำไปใช้



รูปที่ 4.7 วงจรการทดลองการผลิตความถี่ของวงจรผลิตความถี่ที่ควบคุมแรงดันด้วย PLL



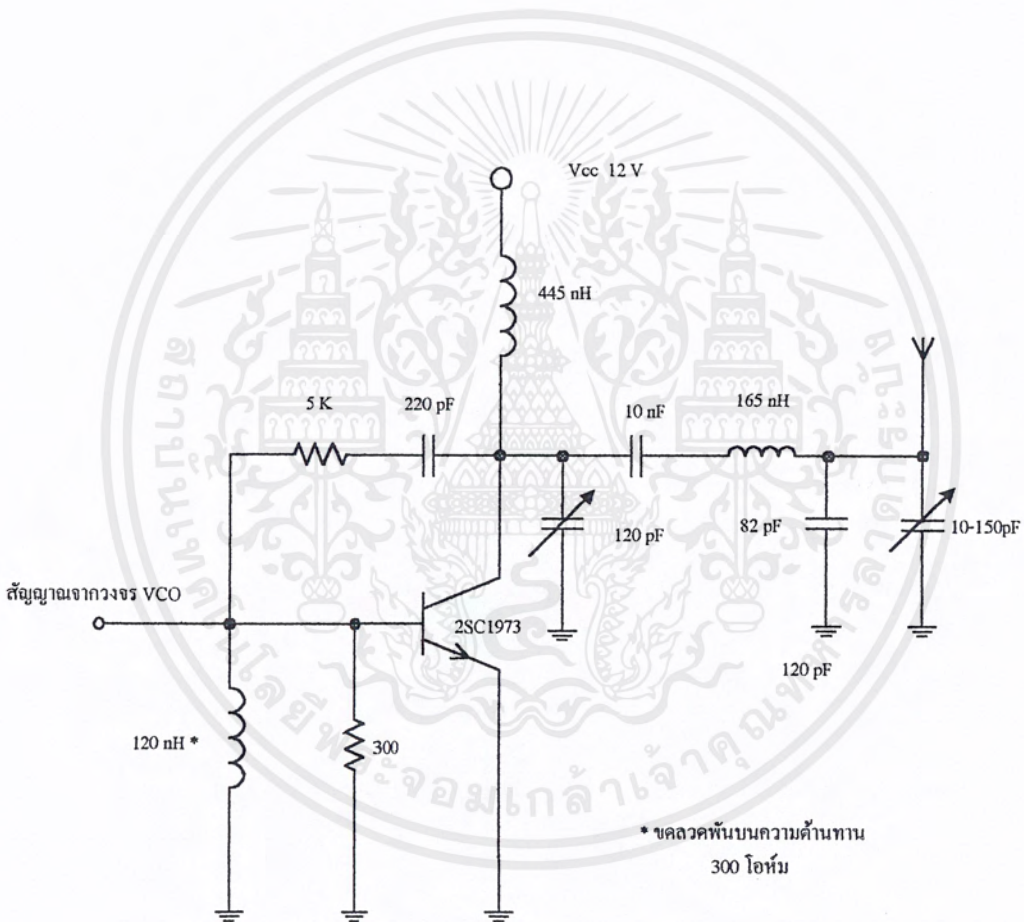
รูปที่ 4.8 สัญญาณเอาต์พุตของวงจรผลิตความถี่ที่ควบคุมแรงดันด้วย PLL

เอกสารนี้เป็นเอกสารที่สงวนไว้สำหรับการใช้งานเพื่อการศึกษาเท่านั้น ไม่อนุญาตให้นำไปใช้ประโยชน์ด้านการค้าไม่ว่ากรณีใดๆ ทั้งสิ้น อีกทั้งห้ามมิให้ดัดแปลงเนื้อหาและต้องอ้างอิงถึงเจ้าของเอกสารทุกครั้งที่มีการนำไปใช้

4.1.5 วงจรขยายสัญญาณ RF

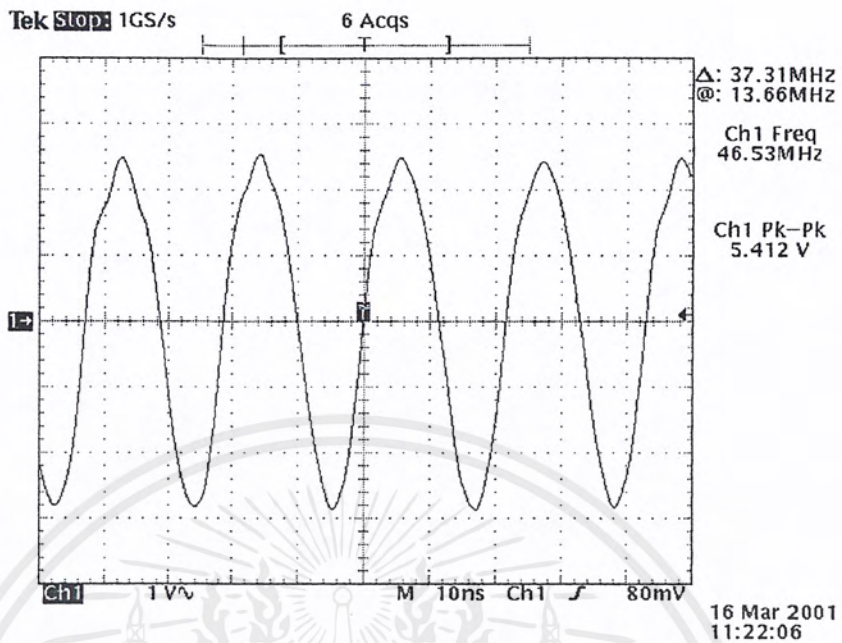
การทดลอง ต่อวงจขยายสัญญาณ RF ดังรูปที่ 4.9 แล้วนำสัญญาณเอาต์พุตจากวงจรผลิตความถี่ความคุมแรงดันด้วย PLL มาเป็นสัญญาณอินพุตโดยเซ็คติฟสวิทช์ไว้ที่ช่อง 1 ทำการวัดสัญญาณที่เอาต์พุต

ผลการทดลอง รูปที่ 4.10 แสดงรูปคลื่นสัญญาณที่เอาต์พุตของวงจขยายสัญญาณ RF พร้อมทั้งสเปกตรัมความถี่

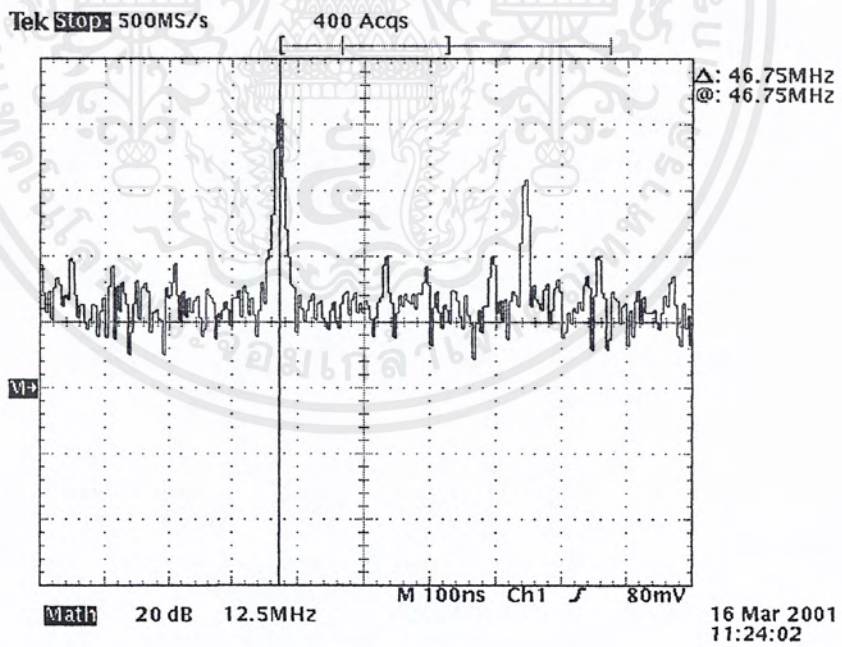


รูปที่ 4.9 วงจขยายสัญญาณ RF

เอกสารนี้เป็นเอกสารที่สงวนไว้สำหรับการใช้งานเพื่อการศึกษาเท่านั้น ไม่อนุญาตให้นำไปใช้ประโยชน์ด้านการค้าไม่ว่ากรณีใดๆ ทั้งสิ้น อีกทั้งห้ามมิให้ดัดแปลงเนื้อหาและต้องอ้างอิงถึงเจ้าของเอกสารทุกครั้งที่มีการนำไปใช้



(จ)



(ก)

รูปที่ 4.10 รูปคลื่นสัญญาณที่เอาท์พุทของวงจรขยายสัญญาณ RF พร้อมทั้งสเปกตรัมความถี่

(ก) สัญญาณที่เอาท์พุทของวงจรขยายสัญญาณ RF

(ข) สเปกตรัมความถี่ของวงจรขยายสัญญาณ RF

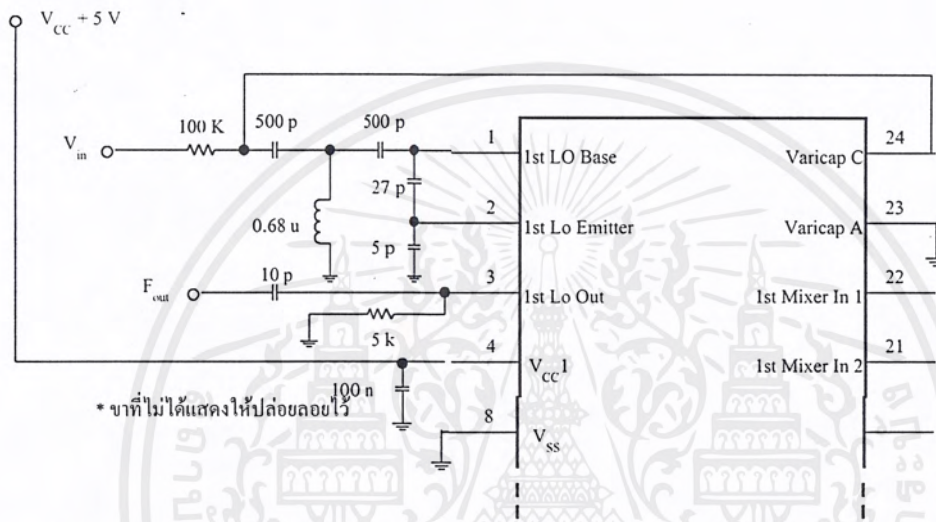
เอกสารนี้เป็นเอกสารที่สงวนไว้สำหรับการใช้งานเพื่อการศึกษาเท่านั้น ไม่อนุญาตให้นำไปใช้ประโยชน์ด้านการค้าไม่ว่ากรณีใดๆ ทั้งสิ้น อีกทั้งห้ามมิให้ดัดแปลงเนื้อหาและต้องอ้างอิงถึงเจ้าของเอกสารทุกครั้งที่มีการนำไปใช้

4.2 การทดลองในส่วนของเครื่องรับ

4.2.1 การผลิตความถี่ของวงจรโลคัลออสซิลเลเตอร์ภาคแรกของเครื่องรับ FM

การทดลอง วงจรทดลองแสดงดังรูปที่ 4.11 โดยการป้อนแรงดันอินพุต V_{in} ตั้งแต่ 0-5 โวลต์ แล้ววัดความถี่เอาต์พุต F_{out}

ผลการทดลอง ตารางที่ 4.3 แสดงความถี่ของสัญญาณเอาต์พุตที่เปลี่ยนแปลงตามแรงดัน



รูปที่ 4.11 วงจรทดลองการผลิตความถี่ของวงจร โลคัลออสซิลเลเตอร์ภาคแรกของเครื่องรับ FM

Vin (V)	Fout (MHz)
0	33.28
0.5	34.52
1.0	35.33
1.5	35.79
2.0	36.21
2.5	36.53
3.0	36.78
3.5	37.16
4.0	37.56
4.5	37.83
5.0	38.03

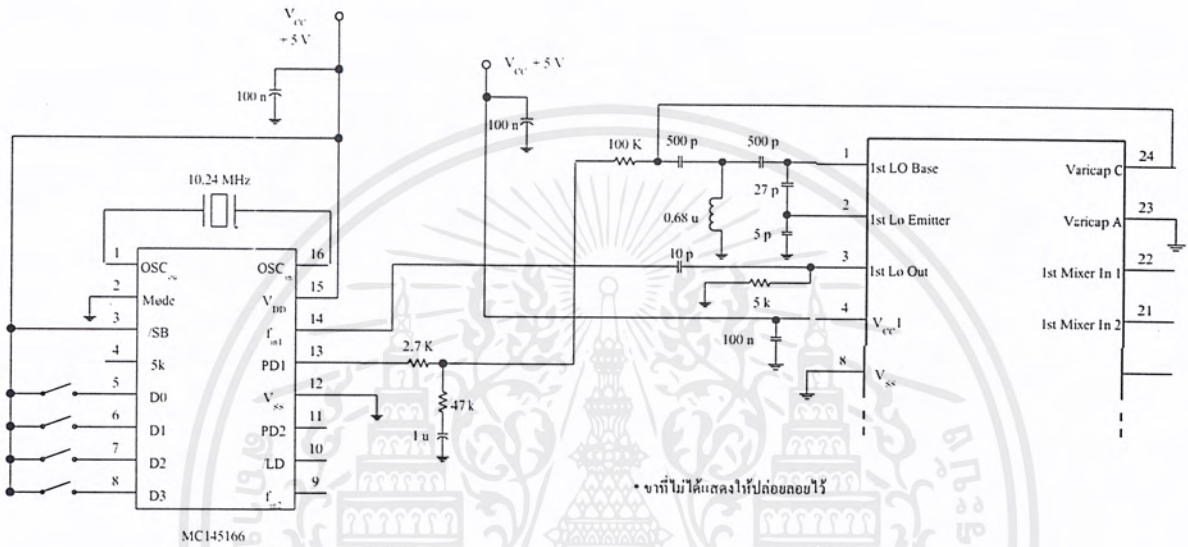
ตารางที่ 4.3 ความถี่เอาต์พุตของวงจร โลคัลออสซิลเลเตอร์ภาคแรกที่มีแรงดัน V_{in} 0 ถึง 5 โวลต์

เอกสารนี้เป็นเอกสารที่สงวนไว้สำหรับการใช้งานเพื่อการศึกษาเท่านั้น ไม่อนุญาตให้นำไปใช้ประโยชน์ด้านการค้าไม่ว่ากรณีใดๆ ทั้งสิ้น อีกทั้งห้ามมิให้ดัดแปลงเนื้อหาและต้องอ้างอิงถึงเจ้าของเอกสารทุกครั้งที่มีการนำไปใช้

4.2.2 การควบคุมการผลิตความถี่ด้วยเฟสล็อกคูลูปของวงจรถอดสซิติลเลเตอร์ภาคแรก

การทดลอง จากวงจรถังรูปที่ 4.12 ทำการเปลี่ยนคิพสวิทช์ D₀ - D₃ ตามตารางที่ 4.4 แล้วบันทึกความถี่ที่ขา 3 ของ MC13135 แล้ววัดสัญญาณที่ขา 3 ของ MC13135

ผลการทดลอง ตารางที่ 4.4 แสดงความถี่ของวงจรถอดสซิติลเลเตอร์ภาคแรกที่ช่องต่าง ๆ และรูปที่ 4.13 แสดงสัญญาณที่ขา 3 ของ MC13135

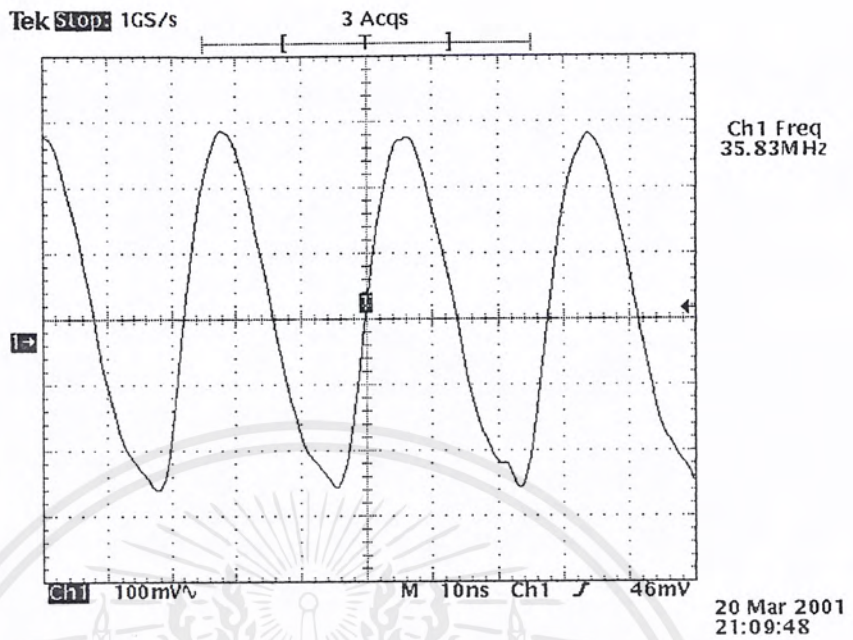


รูปที่ 4.12 วงจรถอดสซิติลเลเตอร์ที่ควบคุมด้วยเฟสล็อกคูลูป

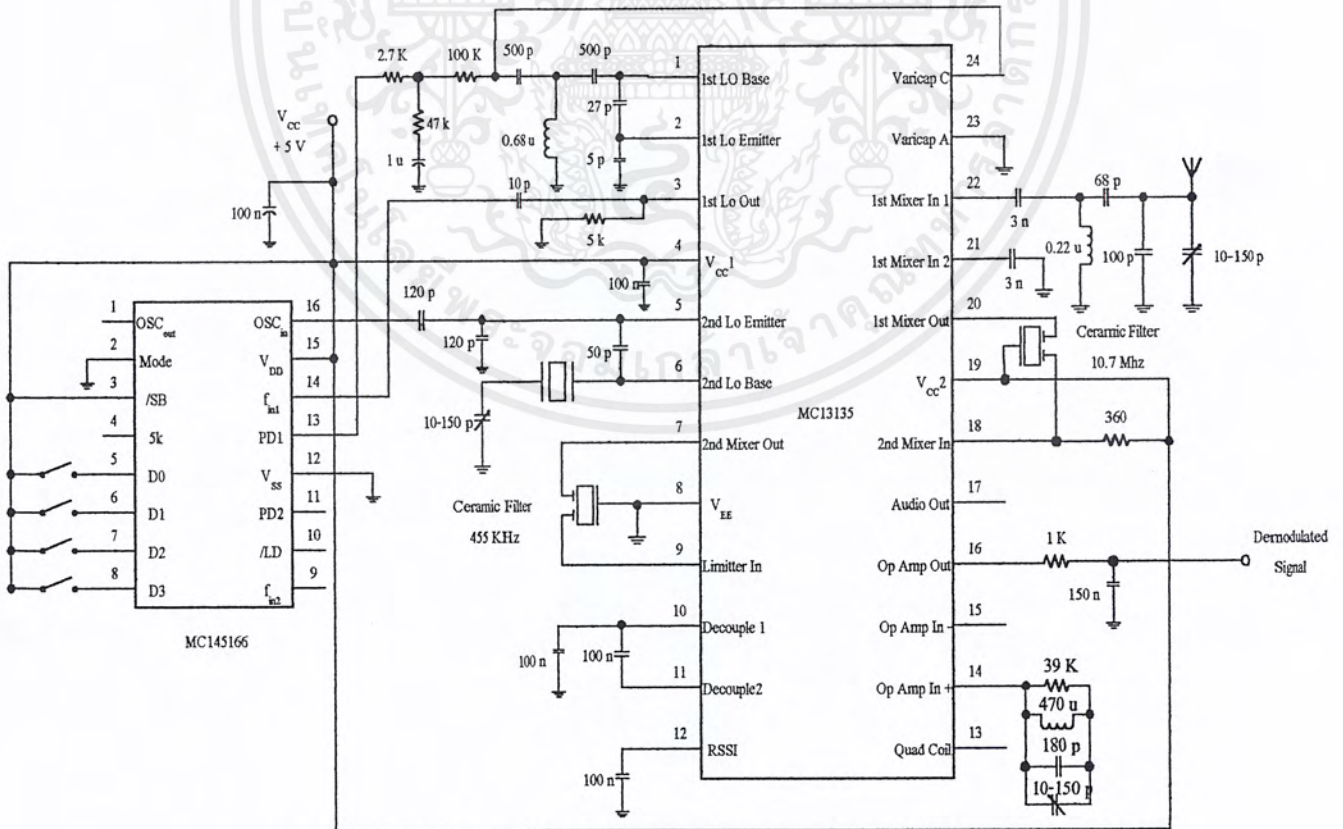
D3-D2-D1-D0	F _{out} (MHz)
0 0 0 1	35.92
0 0 1 0	35.94
0 0 1 1	35.98
0 1 0 0	36.02
0 1 0 1	36.04
0 1 1 0	36.08
0 1 1 1	36.14
1 0 0 0	36.18
1 0 0 1	36.24
1 0 1 0	36.27

ตารางที่ 4.4 ความถี่ของวงจรถอดสซิติลเลเตอร์ภาคแรกที่ช่องต่าง ๆ

เอกสารนี้เป็นเอกสารที่สงวนไว้สำหรับการใช้งานเพื่อการศึกษาเท่านั้น ไม่อนุญาตให้นำไปใช้ประโยชน์ด้านการค้าไม่ว่ากรณีใดๆ ทั้งสิ้น อีกทั้งห้ามมิให้ดัดแปลงเนื้อหาและต้องอ้างอิงถึงเจ้าของเอกสารทุกครั้งที่มีการนำไปใช้



รูปที่ 4.13 สัญญาณความถี่โลคัลลอสมิเตอร์ (ขา 3 ของ MC13135)



รูปที่ 4.14 วงจรทดลองเครื่องรับ FM

เอกสารนี้เป็นเอกสารที่สงวนไว้สำหรับการใช้งานเพื่อการศึกษาเท่านั้น ไม่นอนุญาตให้นำไปใช้ประโยชน์ด้านการค้า ไม่ว่าจะกรณีใดๆ ทั้งสิ้น อีกทั้งห้ามมิให้ดัดแปลงเนื้อหาและต้องอ้างอิงถึงเจ้าของเอกสารทุกครั้งที่มีการนำไปใช้

4.2.3 การทำงานโดยรวมของเครื่องรับ FM

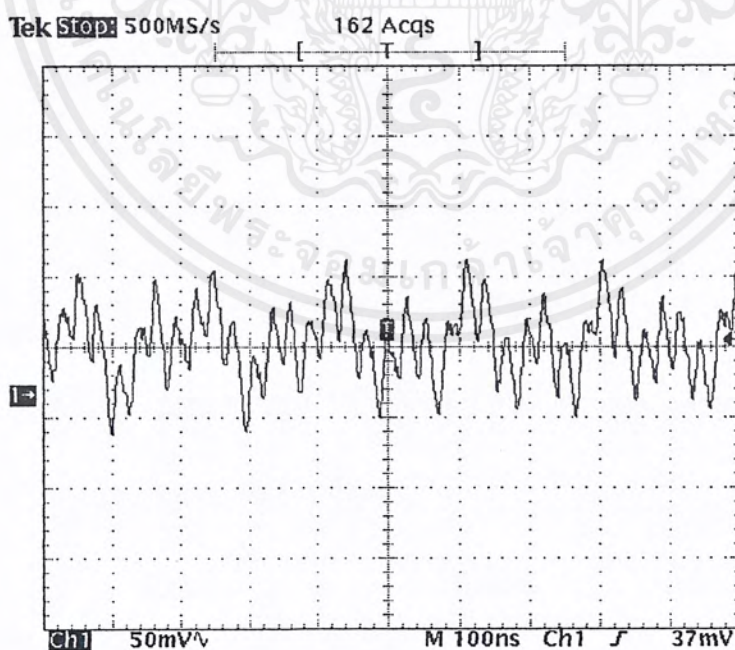
1. สัญญาณที่จุดต่าง ๆ ของเครื่องรับ FM

การทดลอง จากวงจรทดลองแสดงดังรูปที่ 4.14 ให้ใช้เทคนิคสวิทช์ไว้ที่ ช่อง 1 ป้อนไปเลี้ยงให้กับวงจรแล้วจ่ายสัญญาณ RF จากเครื่องกำเนิดความถี่ RF ความถี่ 46.62 MHz ขนาด 80 dB μ เข้าที่จุดต่อเสาอากาศแล้วทำการทดลองวัดสัญญาณที่จุดต่าง ๆ ดังนี้

- สัญญาณเอาต์พุตของ MIXER ภาคแรก (ขา 20 ของ MC13135)
- สัญญาณ IF₁ (ขา 18 ของ MC13135)
- สัญญาณเอาต์พุตของ MIXER ภาคที่สอง (ขา 7 ของ MC13135)
- สัญญาณ IF₂ (ขา 9 ของ MC13135)

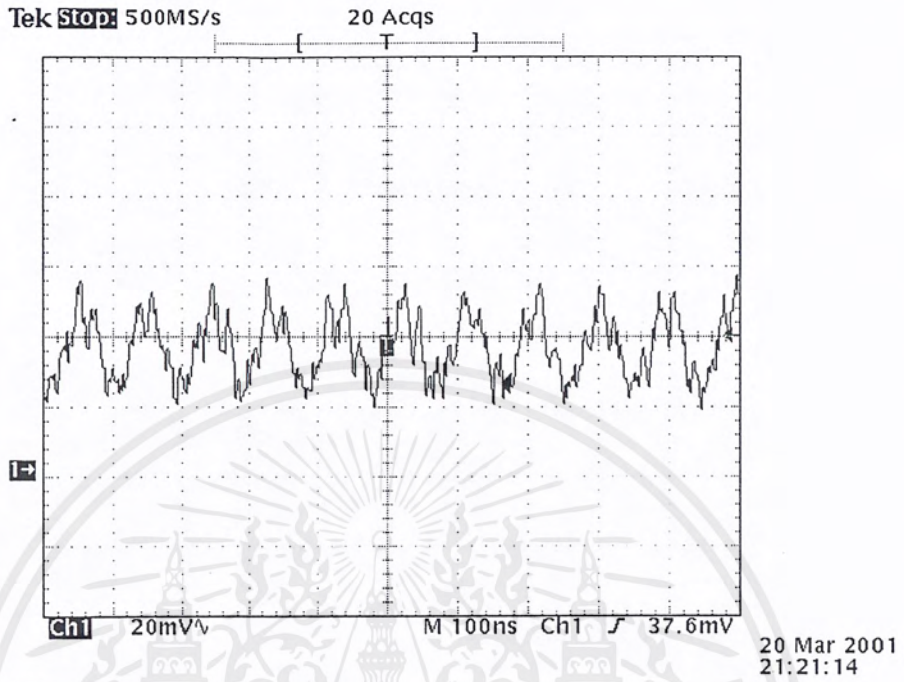
จากนั้นใช้เทคให้เครื่องกำเนิดสัญญาณ RF มอดคูเลทสัญญาณ 1 KHz แล้ววัดสัญญาณที่ติ่มมอดคูเลทออกมาแล้ว

ผลการทดลอง รูปที่ 4.15 ถึง 4.19 แสดงสัญญาณที่จุดต่าง ๆ ของ เครื่องรับ FM

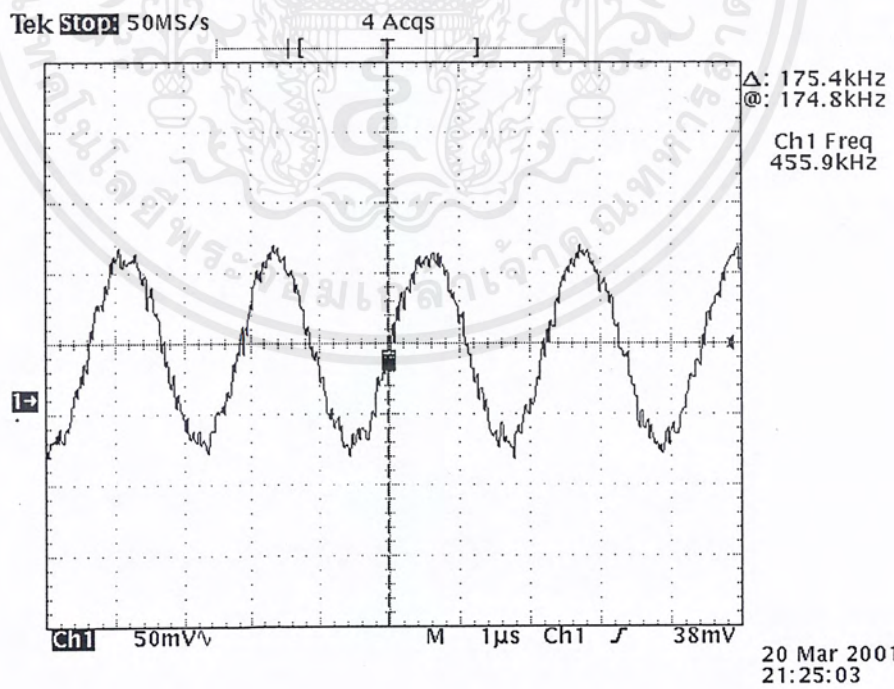


20 Mar 2001
21:18:40

รูปที่ 4.15 สัญญาณเอาต์พุตของ MIXER ภาคแรก (ขา 20 ของ MC13135)
เอกสารนี้เป็นเอกสารที่สงวนลิขสิทธิ์ไว้เพื่อใช้ภายในเท่านั้น ไม่อนุญาตให้เผยแพร่หรือใช้ประโยชน์ด้านการค้า
ไม่ว่ากรณีใดๆ ทั้งสิ้น อีกทั้งห้ามมิให้ตัดแปลงเนื้อหาและต้องอ้างอิงถึงเจ้าของเอกสารทุกครั้งที่มีการนำไปใช้

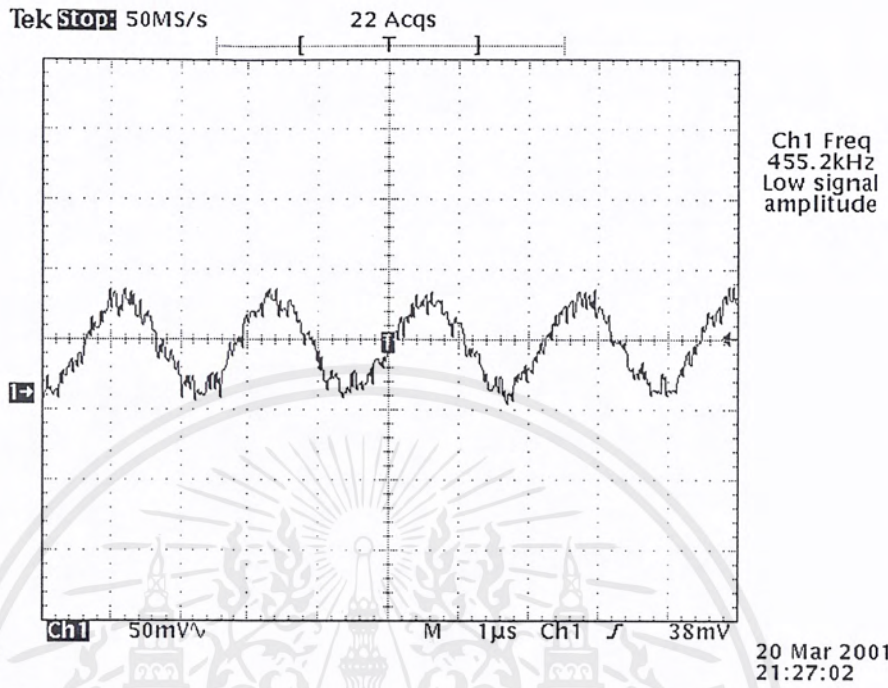


รูปที่ 4.16 สัญญาณ IF₁ (ขา 18 ของ MC13135)

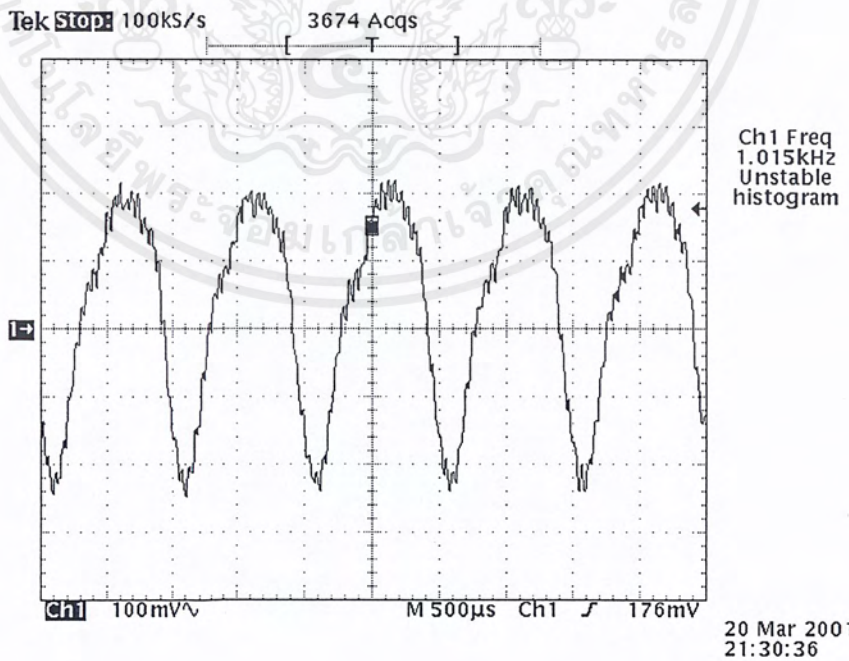


รูปที่ 4.17 สัญญาณเอาต์พุตของ MIXER ภาคที่สอง (ขา 7 ของ MC13135)

เอกสารนี้เป็นเอกสารที่สงวนไว้สำหรับการใช้งานเพื่อการศึกษาเท่านั้น ไม่อนุญาตให้นำไปใช้ประโยชน์ด้านการค้าไม่ว่ากรณีใดๆ ทั้งสิ้น อีกทั้งห้ามมิให้ดัดแปลงเนื้อหาและต้องอ้างอิงถึงเจ้าของเอกสารทุกครั้งที่มีการนำไปใช้



รูปที่ 4.18 สัญญาณ IF₂ (ขา 9 ของ MC13135)



รูปที่ 4.19 สัญญาณที่คีมอดคูลเลทออกมาแล้ว

เอกสารนี้เป็นเอกสารที่สงวนไว้สำหรับการใช้งานเพื่อการศึกษาเท่านั้น ไม่อนุญาตให้นำไปใช้ประโยชน์ด้านการค้าไม่ว่ากรณีใดๆ ทั้งสิ้น อีกทั้งห้ามมิให้ดัดแปลงเนื้อหาและต้องอ้างอิงถึงเจ้าของเอกสารทุกครั้งที่มีการนำไปใช้

2. เชนซิทีฟิตีและไดนามิกเรนจ์ของเครื่องรับ FM

ในกรณีนี้กำหนดให้

เซนซิทีฟิตี คือขนาดของสัญญาณอินพุตที่ต่ำที่สุด ที่ทำให้สัญญาณที่มอดคูเลทออกมาแล้ว แล้วนำไปผ่านวงจร FSK ดิมอดคูเลเตอร์ แล้วได้สัญญาณดิจิทัลที่ไม่โครคอนโทรลเลอร์สามารถนำไปประมวลผลได้

ไดนามิกเรนจ์ คือย่านของขนาดของสัญญาณอินพุตที่ทำให้สัญญาณที่มอดคูเลทออกมาแล้ว แล้วนำไปผ่านวงจร FSK ดิมอดคูเลเตอร์ แล้วได้สัญญาณดิจิทัลที่ไม่โครคอนโทรลเลอร์สามารถนำไปประมวลผลได้

การทดลอง จากวงจรทดลองแสดงดังรูปที่ 4.14 ให้เซ็คติฟิตีสวิทช์ไว้ที่ ช่อง 1 ป้อนไปเลี้ยงให้กับวงจรแล้วจ่ายสัญญาณ RF จากเครื่องกำเนิดความถี่ RF ความถี่ 46.62 MHz ขนาด 80 dB μ เข้าที่จุดต่อเสาอากาศ โดยนำสัญญาณจากเอาต์พุทของ FSK ที่มีอินพุตเป็นสัญญาณ TTL ความถี่ 300 Hz มาเป็นสัญญาณมอดคูเลทให้กับเครื่องกำเนิดสัญญาณ RF จากนั้นค่อย ๆ ลดขนาดสัญญาณ RF ที่ป้อนเข้ามาลงเรื่อย ๆ จนกว่าสัญญาณที่เอาต์พุทของ FSK ดิมอดคูเลเตอร์ มีความผิดเพี้ยนไป จากนั้นค่อย ๆ เพิ่มขนาดของสัญญาณ RF จนสามารถสร้างสัญญาณที่เอาต์พุทของ FSK ดิมอดคูเลเตอร์กลับคืนมาได้เหมือนเดิม บันทึกขนาดของสัญญาณที่จ่ายมาจากเครื่องกำเนิดสัญญาณ RF เป็น เชนซิทีฟิตี

จากนั้นปรับขนาดของสัญญาณ RF จากเครื่องกำเนิดสัญญาณ RF เป็น 80 dB μ เหมือนเดิม แล้วค่อย ๆ เพิ่มขนาดสัญญาณ RF ที่ป้อนเข้ามาขึ้นเรื่อย ๆ จนกว่าสัญญาณที่เอาต์พุทของ FSK ดิมอดคูเลเตอร์ มีความผิดเพี้ยนไป จึงค่อย ๆ ลดขนาดของสัญญาณ RF จนสามารถสร้างสัญญาณที่เอาต์พุทของ FSK ดิมอดคูเลเตอร์กลับคืนมาได้เหมือนเดิม บันทึกขนาดของสัญญาณที่จ่ายมาจากเครื่องกำเนิดสัญญาณ RF เป็นขอบบนของไดนามิกเรนจ์

ผลการทดลอง จากผลการทดลองปรากฏว่า

- ขนาดของสัญญาณ RF ที่ต่ำที่สุดที่ทำให้สัญญาณเอาต์พุทของ FSK มอดคูเลเตอร์ไม่ผิดเพี้ยน เท่ากับ 60 dB μ

- ขนาดของสัญญาณ RF ที่สูงที่สุดที่ทำให้สัญญาณเอาต์พุทของ FSK มอดคูเลเตอร์ไม่ผิดเพี้ยน เท่ากับ 86 dB μ

ดังนั้น

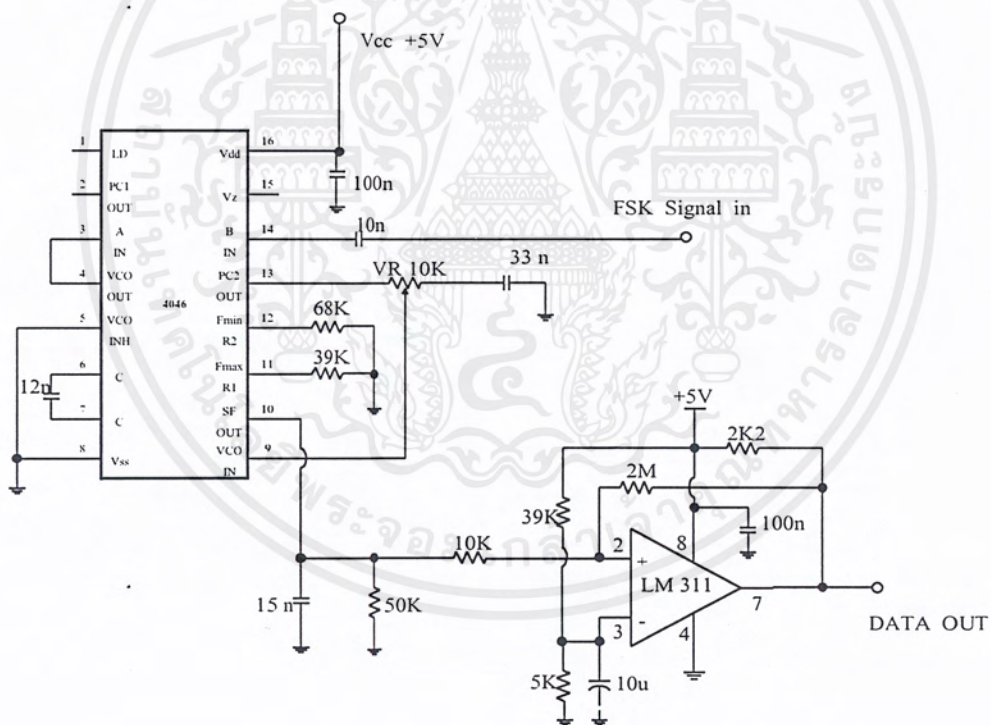
∴ เชนซิทีฟิตีเท่ากับ 60 dB μ

∴ ไดนามิกเรนจ์เท่ากับ 60 – 86 dB μ

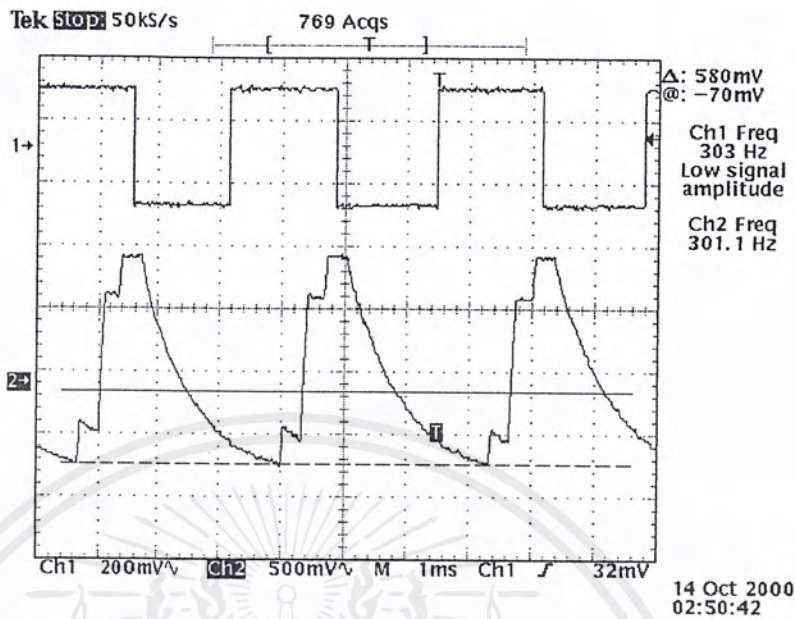
4.2.4 วงจร FSK ดีมอดคูเลเตอร์

การทดลอง นำสัญญาณเอาต์พุต จากวงจร FSK มอดคูเลเตอร์ มาเป็นอินพุตของวงจร FSK ดีมอดคูเลเตอร์ ดังรูปที่ 4.20 แล้ววัดสัญญาณที่ขา 10 ของ MC14046 กับสัญญาณเอาต์พุตของวงจรถอดพาราเตอร์ เทียบกับสัญญาณอินพุตของ FSK มอดคูเลเตอร์

ผลการทดลอง รูปที่ 4.21 และ 4.22 แสดงสัญญาณที่ ขา 10 ของ MC14046 และ ที่เอาต์พุตของ FSK ดีมอดคูเลเตอร์เมื่อเทียบกับสัญญาณอินพุตของ FSK มอดคูเลเตอร์ ตามลำดับ



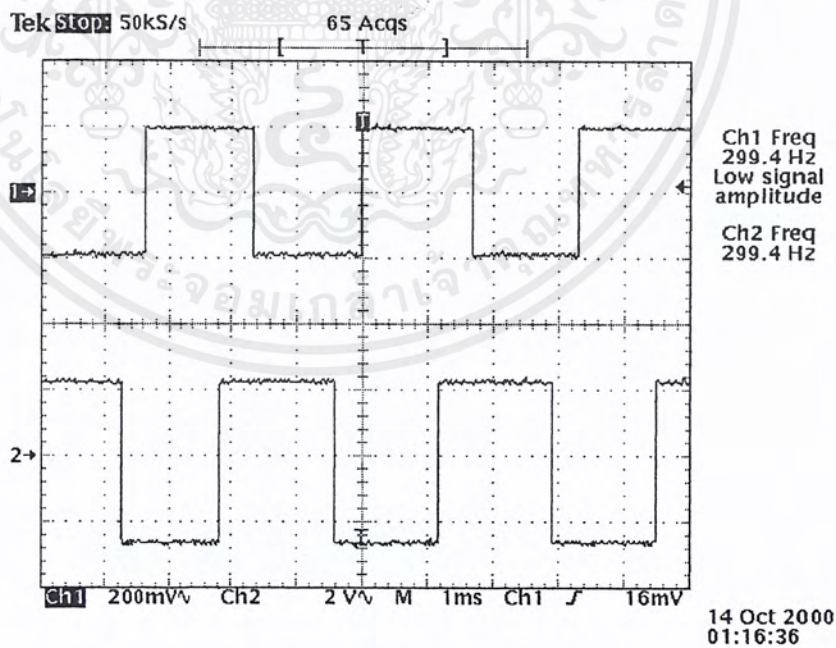
รูปที่ 4.20 วงจรทดลองของส่วน FSK มอดคูเลเตอร์



รูปที่ 4.21 สัญญาณที่ขา 10 ของ MC14046 เทียบกับสัญญาณอินพุทของ FSK มอดคูเลเตอร์

ช่อง 1 สัญญาณอินพุทของ FSK มอดคูเลเตอร์

ช่อง 2 สัญญาณที่ขา 10 ของ MC14046



รูปที่ 4.22 สัญญาณที่เอาต์พุทของคอมพาราเตอร์เทียบกับสัญญาณอินพุทของ FSK มอดคูเลเตอร์

ช่อง 1 สัญญาณอินพุทของ FSK มอดคูเลเตอร์

ช่อง 2 สัญญาณเอาต์พุทของวงจร FSK คีมอดคูเลเตอร์

เอกสารนี้เป็นเอกสารที่สงวนไว้สำหรับการใช้งานเพื่อการศึกษาเท่านั้น ไม่นิยมนำไปใช้ประโยชน์ด้านการค้า ไม่ว่าจะกรณีใดๆ ทั้งสิ้น อีกทั้งห้ามมิให้ดัดแปลงเนื้อหาและต้องอ้างอิงถึงเจ้าของเอกสารทุกครั้งที่มีการนำไปใช้

บทที่ 5

ปัญหา แนวทางแก้ไขและบทสรุป

ในบทนี้จะกล่าวถึงปัญหาต่าง ๆ ที่เกิดขึ้นในการดำเนินงาน และการแก้ไขปัญหาที่เกิดขึ้น ตลอดจนผลสรุปในการดำเนินงานที่ผ่านมาทั้งหมด

5.1 ปัญหาและแนวทางแก้ไข

1. วงจร FSK มอดคูเลเตอร์

1.1. ค่าของ R1 และ R2 ที่คำนวณได้จากสมการเมื่อนำมาต่อวงจร และวัดความถี่ของ f_{Space} และ f_{Mark} จะได้ความถี่ของ f_{Space} และ f_{Mark} สูงกว่าค่าที่กำหนดไว้ในสมการ เพื่อที่จะให้ได้ความถี่ของ f_{Space} และ f_{Mark} ตามที่ตรงจะต้องปรับค่า R1 และ R2 ในวงจรให้มีค่าสูงขึ้นค่าที่คำนวณได้ประมาณ 15 – 20 %

1.2. ในการปรับเพื่อให้ได้ความถี่ f_{Space} และ f_{Mark} ในขั้นตอนแรกควรที่จะปรับให้ได้ความถี่ของ f_{Space} ก่อน โดยต่ออินพุทของ FSK Modulator ลงกราวด์ และให้ปรับที่ R2 จนได้ความถี่ f_{Space} ที่ต้องการ หลังจากนั้นจึงปรับความถี่ f_{Mark} โดยต่ออินพุทของ FSK Modulator ที่แรงดัน +5 Volt และให้ปรับที่ R1 จนได้ความถี่ f_{Mark} ที่ต้องการ

2. วงจร FSK ดีมอดคูเลเตอร์

2.1. การปรับแต่งรูปของสัญญาณที่ขา 10 ไอซี 4046 นั้นสามารถทำได้โดยการปรับค่าของ R และ C ที่ต่ออยู่ที่ขา 13 ของไอซี ซึ่งทำหน้าที่เป็นวงจร Low pass filter การปรับค่าของ R และ C ดังกล่าวจะเป็นการปรับค่า Over shoot ของสัญญาณ ดังนั้นการปรับควรที่จะปรับให้สัญญาณนั้นมีค่าของ Over shoot ต่ำที่สุด

2.2. ค่าของ C_A ควรมีการทดลองเปลี่ยนค่าให้เหมาะสม เพื่อให้รูปของสัญญาณที่ดีที่สุด

3. เครื่องรับ FM

ในตอนเริ่มต้นของการดำเนินงาน ซึ่งเป็นส่วนของการผลิตความถี่ โลคัลออสซิลเลเตอร์ของภาค ปรากฏว่า เมื่อจ่ายแรงดันอินพุท V_{IN} แล้ว สัญญาณ โลคัลออสซิลเลเตอร์ ที่ขา 3 ของ MC13135 ซึ่งต้องนำไปจ่ายเป็นอินพุทความถี่ของ MX 145166 มีขนาดเพียงแค่ว่า 27 mV_{pp} ซึ่งไม่เพียงพอที่จะนำไปขับ MC 145166 ซึ่งต้องการแรงดันอินพุท f_m อย่างน้อย 200 mV_{pp} ผู้จัดทำจึงได้แก้ไขโดยการเปลี่ยน R ที่ขา 3 ของ MC 13135 จาก 3.9KΩ ในเริ่มต้น เป็น 5KΩ และต่อ R_{BIAS} ค่า 3K ครอบตัวเก็บประจุ 5 PF ที่ขา 2 ของ MC13135 แล้ววัดสัญญาณที่ ขา 3 ปรากฏว่าสัญญาณที่ได้มีขนาดประมาณ 140 mV_{pp} ซึ่งยังไม่เพียงพอที่จะนำไปขับ MC 145166 อยู่ดี แต่จากการทดลองวัดสัญญาณที่ขา 2 ของ MC13135 ปรากฏว่าที่จุดนี้สัญญาณมีขนาดมากถึง 720 mV_{pp} ซึ่งสัญญาณที่จุดนี้เป็นสัญญาณความถี่เดียวกับสัญญาณที่ขา 3 ผู้จัดทำจึงได้นำสัญญาณที่จุดนี้ไปเป็น

อินพุท f_m ให้ MC 145166 และจากการทดลองให้ MC 145166 ทำงานร่วมกับ MC13135 ในการ

ผลิตความถี่ ก็ปรากฏว่าสามารถผลิตความถี่ได้ถูกต้อง จากนั้นจึงได้ดำเนินงานต่อไปโดยการทดลองป้อนสัญญาณ RF จากเครื่องกำเนิดความถี่ RF แล้ววัดสัญญาณที่ขา 18 ซึ่งผ่านเซรามิกฟิลเตอร์แล้ว ปรากฏว่าได้ความถี่ 10.8 MHz ซึ่งในความเป็นจริงน่าจะมีความถี่ 10.7 MHz ถึงแม้ว่าจะทดลองเปลี่ยนความถี่ RF ไปเล็กน้อย เพื่อว่าจะได้ความถี่ 10.7 MHz แต่ปรากฏว่ายังได้ความถี่ 10.8 MHz เหมือนเดิม มาถึงจุดนี้ผู้จัดทำจึงได้ทดลองนำ MC13135 ตัวใหม่มาใส่แทนปรากฏว่าความถี่ที่ขา 3 ของ MC 13135 เท่ากับ 39.85 MHz และถึงแม้ว่าจะเปลี่ยนคิพสวิทช์ที่ต่ออยู่กับ MC145166 แล้ว ความถี่ที่ผลิตได้ต่ำสุดก็ยังคงเท่ากับ 39.85 MHz เหมือนเดิม ซึ่งมากกว่าความถี่ที่ช่อง 10 ของ MC 145166 ซึ่งเท่ากับ 36.27 MHz แต่จากการทดลองป้อนความถี่ RF ความถี่ 50.55MHz ให้กับมิกเซอร์ แล้ววัดสัญญาณที่ขา 28 ปรากฏว่าได้ ความถี่ IF = 10.7 MHz ตามที่ต้องการ ผู้จัดทำจึงดำเนินการแก้ไขในส่วนของภาคกำเนิดความถี่โลคัลออสซิลเลเตอร์ใหม่ โดยการหาค่า L ที่ทำให้ วงจรสามารถผลิตความถี่ในช่วงตามที่อธิบายไว้แล้วในบทที่ 3 หลังจากนั้น การดำเนินงานก็เป็นไปด้วยดี

3. ระบบโดยรวม

เมื่อวงจรส่วนต่าง ๆ ถูกสร้างเรียบร้อยแล้ว และได้ทดลองแล้วว่า วงจรส่วนย่อยเหล่านั้นทำงานได้อย่างถูกต้องตามหน้าที่แต่ละวงจร แต่ระบบรับส่งข้อมูล ระหว่างเครื่องส่งกับเครื่องรับไม่สามารถทำงานร่วมกันได้ จากการสังเกตพบว่า เมื่อเปิดเครื่องส่ง ความถี่โลคัลออสซิลเลเตอร์ของเครื่องรับ ผิดเพี้ยนไปจากเดิมทำให้ระบบของเครื่องรับทั้งหมดทำงานอย่างไม่เป็นปกติและจากการสังเกตยังพบอีกว่า ทุก ๆ จุด ของเครื่องรับ จะมีส่วนประกอบความถี่ พาหะของเครื่องส่งซึ่งปกติจะไม่มีในการป้อนสัญญาณ RF ตรง ๆ เข้าที่เครื่องรับ ทางกลุ่มได้ทำการแก้ไขโดยการชิลด์ที่เครื่องรับและเครื่องส่ง แต่ปรากฏว่า ก็ยังไม่สามารถแก้ไขปัญหานี้ได้

5.2 สรุปผลการดำเนินงาน

จากการดำเนินงานที่ผ่านมาทั้งหมดนั้น วงจรส่วนต่าง ๆ ทำงานได้อย่างถูกต้องตามหน้าที่ของมัน วงจร FSK มอดคูเลเตอร์ , ดีมอดคูเลเตอร์ สามารถทำงานร่วมกันได้ เครื่องรับ สามารถดีมอดคูเลทสัญญาณที่ป้อนมาจาก เครื่องกำเนิดสัญญาณ RF เครื่องส่งสามารถส่งได้ด้วยกำลังส่งมากกว่า 50 mW โปรแกรมคอมพิวเตอร์สามารถส่งข้อมูลมาควบคุมการเคลื่อนที่ของรถ และกล้องวีดีโอได้ แต่ระบบรับส่ง FM ไม่สามารถทำงานร่วมกันได้

บรรณานุกรม

1. นัททวุฒิ พีชผล. Visual Basic 6. กรุงเทพฯ : โปรวิชั่น, 2542.
2. ชัยวัฒน์ ลิมพรจิตรวิไล. เรียนรู้และปฏิบัติการ ไมโครคอนโทรลเลอร์ MCS-51. กรุงเทพฯ : บริษัทอินโนเวทีฟอิเล็กทรอนิกส์, 2543.
3. บุญชัย เนติศักดิ์. เครื่องรับโทรทัศน์ เล่ม 1. กรุงเทพฯ : ซีเอ็ดดูเคชั่น, 2541.
4. Best, Roland E., Phase-Locked loops: design, simulation, and application 3rd ed. Newyork : Mcgraw-hill,c1997
5. Connor FR. Modulation. 1982. ed.,Edward Arnold, Great Britain,1982
6. Tomasi,Wayne., Advanced electronic communications systems 4th. Upper Saddle River,NJ : Prentice-Hall,c1998
7. Bowick,Chris., RF circuit design.Howard W.Sams,NI:Macmillan,1982
8. Jim Karki.,Active Low-Pass Filter Design.Texas Instrument SLOA049A,October 2000
9. www.mot-sps.com
10. www.ti.com
11. www.onsemi.com
12. www.vbshrinkwrap.com
13. www.allegromicro.com



เอกสารนี้เป็นเอกสารที่สงวนไว้สำหรับการใช้งานเพื่อการศึกษาเท่านั้น ไม่อนุญาตให้นำไปใช้ประโยชน์ด้านการค้า
ไม่ว่ากรณีใดๆ ทั้งสิ้น อีกทั้งห้ามมิให้ตัดแปลงเนื้อหาและต้องอ้างอิงถึงเจ้าของเอกสารทุกครั้งที่มีการนำไปใช้



FM Communications Receivers

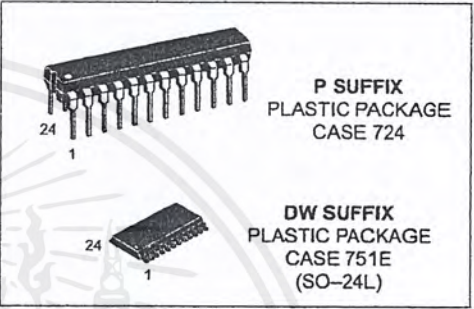
MC13135 MC13136

DUAL CONVERSION NARROWBAND FM RECEIVERS

The MC13135/MC13136 are the second generation of single chip, dual conversion FM communications receivers developed by Motorola. Major improvements in signal handling, RSSI and first oscillator operation have been made. In addition, recovered audio distortion and audio drive have improved. Using Motorola's MOSAIC™ 1.5 process, these receivers offer low noise, high gain and stability over a wide operating voltage range.

Both the MC13135 and MC13136 include a Colpitts oscillator, VCO tuning diode, low noise first and second mixer and LO, high gain limiting IF, and RSSI. The MC13135 is designed for use with an LC quadrature detector and has an uncommitted op amp that can be used either for an RSSI buffer or as a data comparator. The MC13136 can be used with either a ceramic discriminator or an LC quad coil and the op amp is internally connected for a voltage buffered RSSI output.

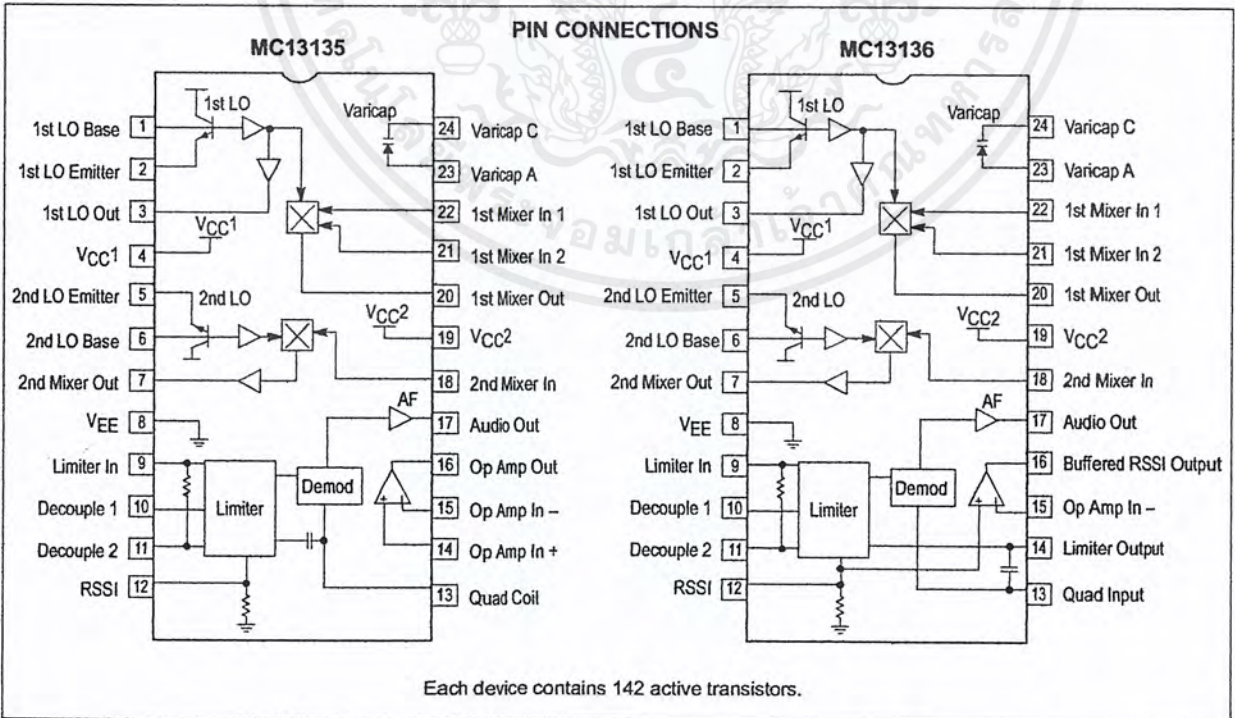
These devices can be used as stand-alone VHF receivers or as the lower IF of a triple conversion system. Applications include cordless telephones, short range data links, walkie-talkies, low cost land mobile, amateur radio receivers, baby monitors and scanners.



- Complete Dual Conversion FM Receiver – Antenna to Audio Output
- Input Frequency Range – 200 MHz
- Voltage Buffered RSSI with 70 dB of Usable Range
- Low Voltage Operation – 2.0 to 6.0 Vdc (2 Cell NiCad Supply)
- Low Current Drain – 3.5 mA Typ
- Low Impedance Audio Output < 25 Ω
- VHF Colpitts First LO for Crystal or VCO Operation
- Isolated Tuning Diode
- Buffered First LO Output to Drive CMOS PLL Synthesizer

ORDERING INFORMATION

Device	Operating Temperature Range	Package
MC13135P	T _A = -40° to +85°C	Plastic DIP
MC13135DW		SO-24L
MC13136DW		SO-24L



เอกสารนี้เป็นเอกสารที่สงวนไว้สำหรับการใช้งานเพื่อการศึกษาเท่านั้น ไม่อนุญาตให้นำไปใช้ประโยชน์ด้านการค้า ไม่ว่าจะกรณีใดๆ ทั้งสิ้น อีกทั้งห้ามมิให้ดัดแปลงเนื้อหาและต้องอ้างอิงถึงเจ้าของเอกสารทุกครั้งที่มีการนำไปใช้

MC13135 MC13136

MAXIMUM RATINGS

Rating	Pin	Symbol	Value	Unit
Power Supply Voltage	4, 19	V _{CC} (max)	6.5	Vdc
RF Input Voltage	22	RF _{in}	1.0	Vrms
Junction Temperature	–	T _J	+150	°C
Storage Temperature Range	–	T _{stg}	– 65 to +150	°C

RECOMMENDED OPERATING CONDITIONS

Rating	Pin	Symbol	Value	Unit
Power Supply Voltage	4, 19	V _{CC}	2.0 to 6.0	Vdc
Maximum 1st IF	–	f _{IF1}	21	MHz
Maximum 2nd IF	–	f _{IF2}	3.0	MHz
Ambient Temperature Range	–	T _A	– 40 to + 85	°C

ELECTRICAL CHARACTERISTICS (T_A=25°C, V_{CC}=4.0Vdc, f_o=49.7 MHz, f_{MOD}=1.0kHz, Deviation=±3.0kHz, f_{1st LO}=39 MHz, f_{2nd LO}=10.245 MHz, IF1=10.7 MHz, IF2=455 kHz, unless otherwise noted. All measurements performed in the test circuit of Figure 1.)

Characteristic	Condition	Symbol	Min	Typ	Max	Unit
Total Drain Current	No Input Signal	I _{CC}	–	4.0	6.0	mAdc
Sensitivity (Input for 12 dB SINAD)	Matched Input	V _{SIN}	–	1.0	–	μVrms
Recovered Audio MC13135 MC13136	V _{RF} = 1.0 mV	A _{FO}	170 215	220 265	300 365	mVrms
Limiter Output Level (Pin 14, MC13136)		V _{LIM}	–	130	–	mVrms
1st Mixer Conversion Gain	V _{RF} = – 40 dBm	MX _{gain1}	–	12	–	dB
2nd Mixer Conversion Gain	V _{RF} = – 40 dBm	MX _{gain2}	–	13	–	dB
First LO Buffered Output	–	V _{LO}	–	100	–	mVrms
Total Harmonic Distortion	V _{RF} = – 30 dBm	THD	–	1.2	3.0	%
Demodulator Bandwidth	–	BW	–	50	–	kHz
RSSI Dynamic Range	–	RSSI	–	70	–	dB
First Mixer 3rd Order Intercept (Input)	Matched Unmatched	TOI _{Mix1}	– –	–17 –11	– –	dBm
Second Mixer 3rd Order Intercept (RF Input)	Matched Input	TOI _{Mix2}	–	–27	–	dBm
First LO Buffer Output Resistance	–	R _{LO}	–	–	–	Ω
First Mixer Parallel Input Resistance	–	R	–	722	–	Ω
First Mixer Parallel Input Capacitance	–	C	–	3.3	–	pF
First Mixer Output Impedance	–	Z _O	–	330	–	Ω
Second Mixer Input Impedance	–	Z _I	–	4.0	–	kΩ
Second Mixer Output Impedance	–	Z _O	–	1.8	–	kΩ
Detector Output Impedance	–	Z _O	–	25	–	Ω

MC13135 MC13136 TEST CIRCUIT INFORMATION

Although the MC13136 can be operated with a ceramic discriminator, the recovered audio measurements for both the MC13135 and MC13136 are made with an LC quadrature detector. The typical recovered audio will depend on the external circuit; either the Q of the quad coil, or the RC matching network for the ceramic discriminator. On the MC13136, an external capacitor between Pins 13 and 14 can be used with a quad coil for slightly higher recovered audio. See Figures 10 through 13 for additional information.

Since adding a matching circuit to the RF input increases the signal level to the mixer, the third order intercept (TOI) point is better with an unmatched input (50 Ω from Pin 21 to Pin 22). Typical values for both have been included in the Electrical Characterization Table. TOI measurements were taken at the pins with a high impedance probe/spectrum analyzer system. The first mixer input impedance was measured at the pin with a network analyzer.

Figure 1a. MC13135 Test Circuit

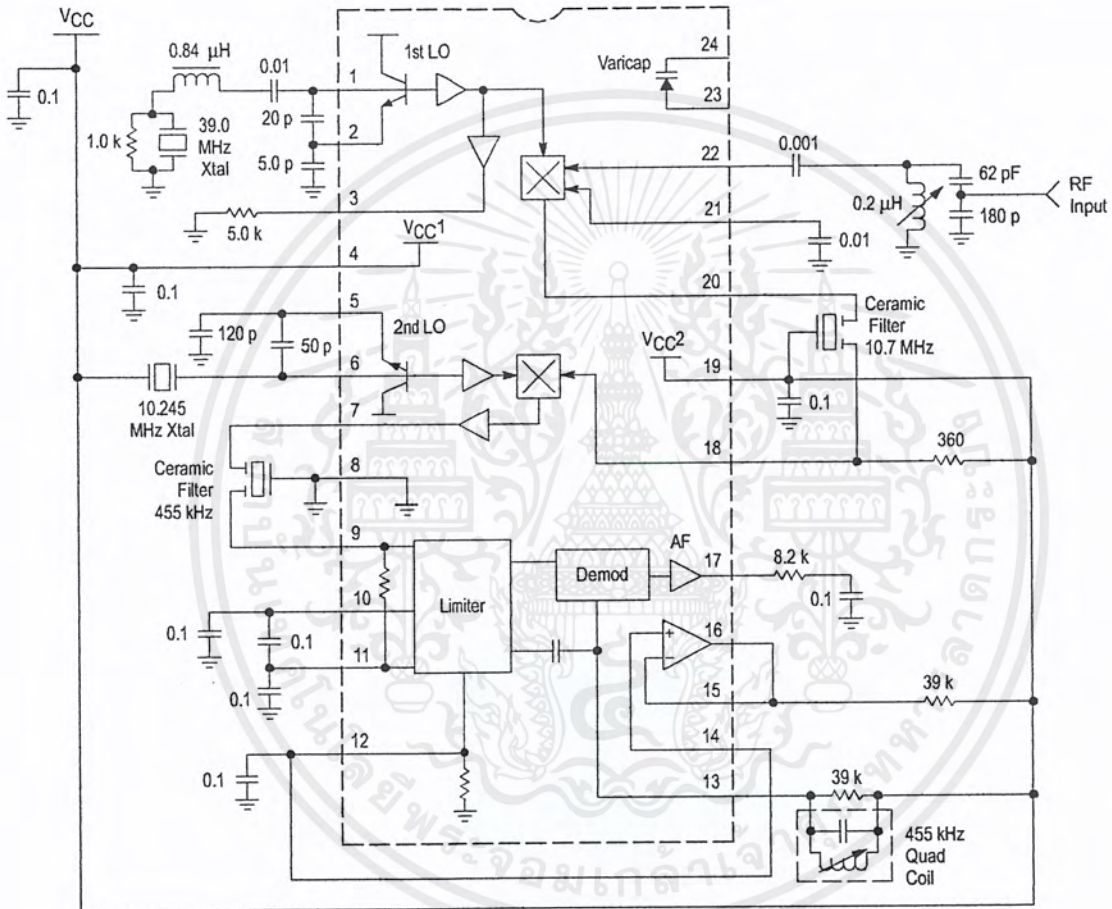
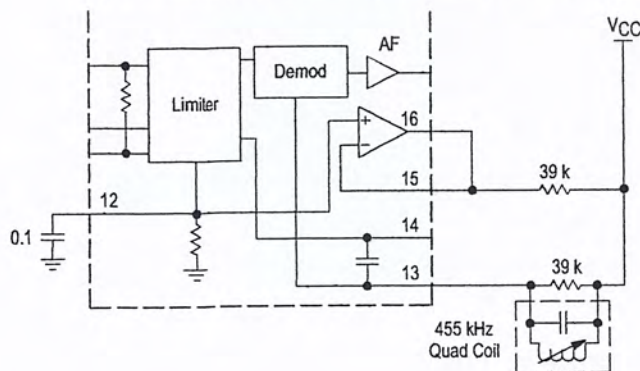


Figure 1b. MC13136 Quad Detector Test Circuit



MC13135 MC13136

Figure 2. Supply Current versus Supply Voltage

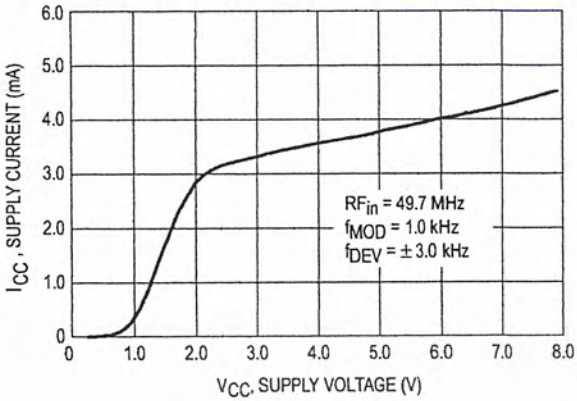


Figure 3. RSSI Output versus RF Input

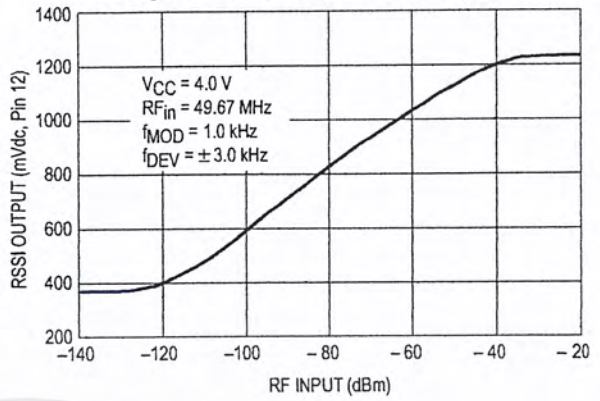


Figure 4. Varactor Capacitance, Resistance versus Bias Voltage

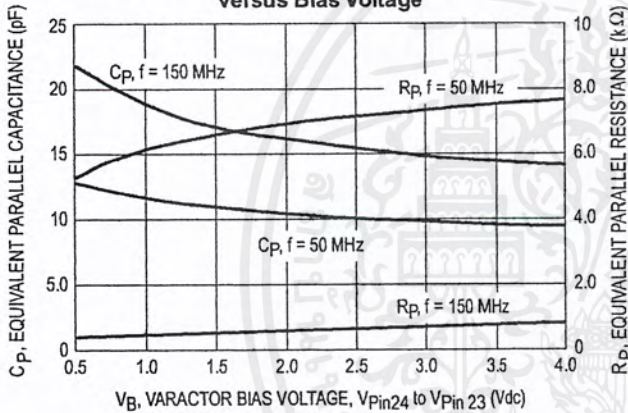


Figure 5. Oscillator Frequency versus Varactor Bias

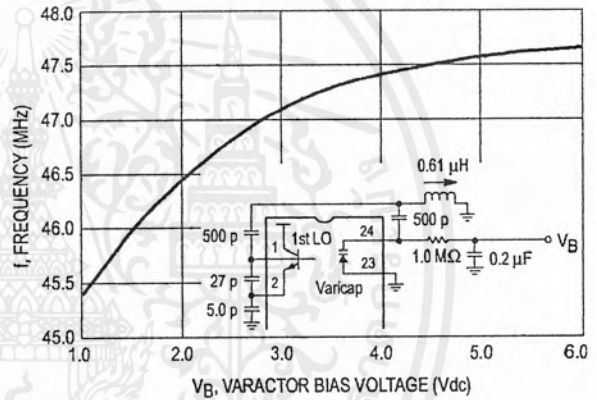


Figure 6. Signal Levels versus RF Input

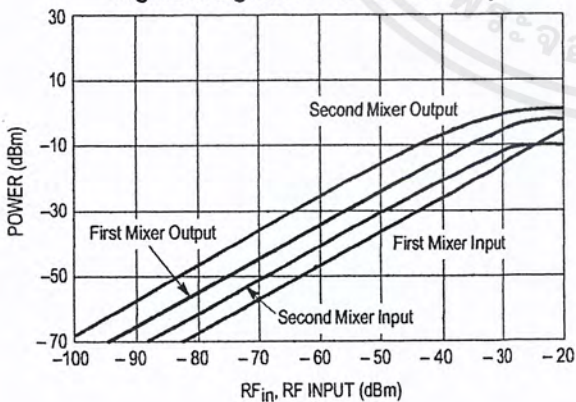
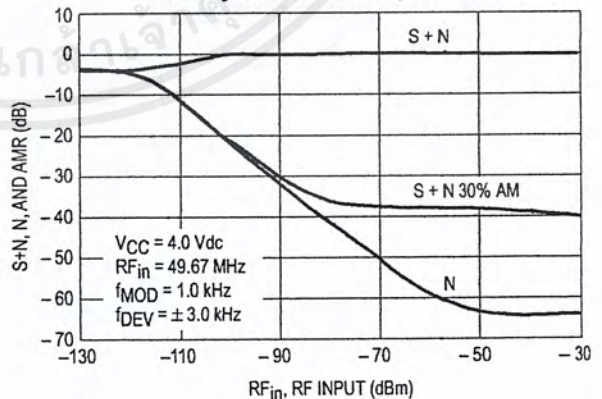


Figure 7. Signal + Noise, Noise, and AM Rejection versus Input Power



MC13135 MC13136

Figure 8. Op Amp Gain and Phase versus Frequency

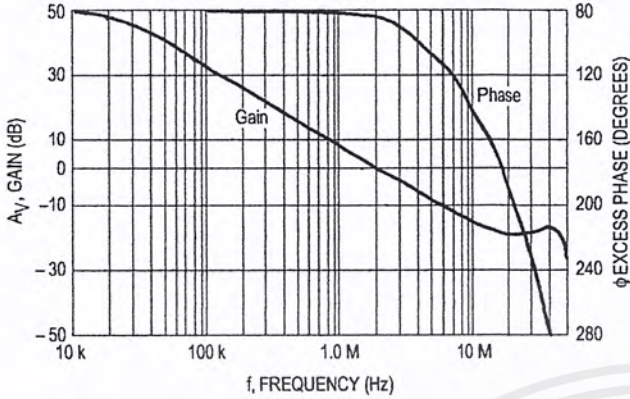


Figure 9. First Mixer Third Order Intermodulation (Unmatched Input)

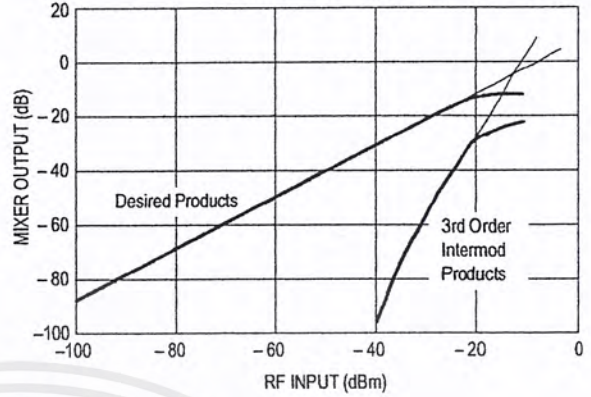


Figure 10. Recovered Audio versus Deviation for MC13135

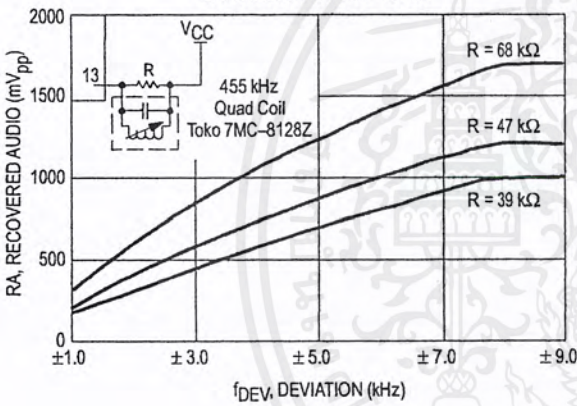


Figure 11. Distortion versus Deviation for MC13135

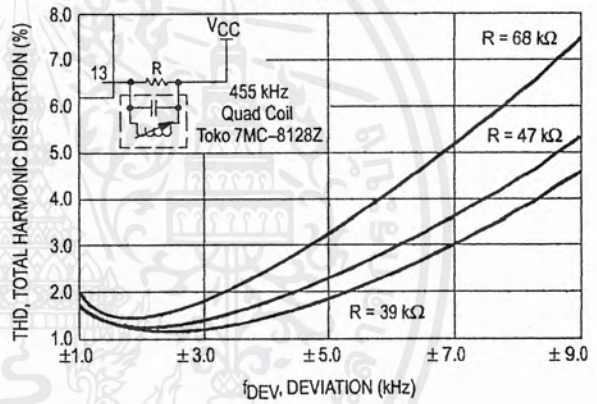


Figure 12. Recovered Audio versus Deviation for MC13136

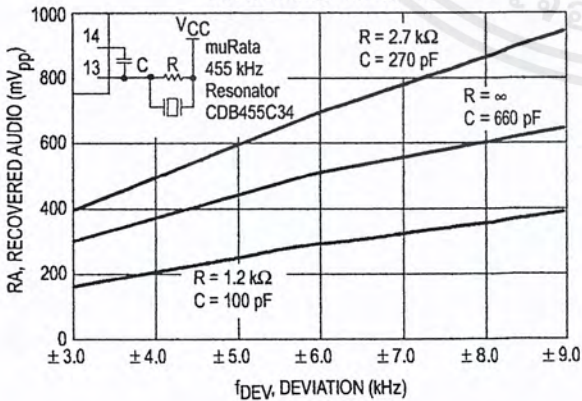
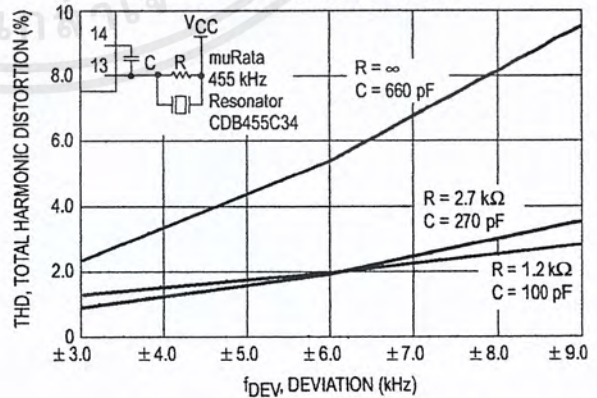


Figure 13. Distortion versus Deviation for MC13136



MC13135 MC13136 CIRCUIT DESCRIPTION

The MC13135/13136 are complete dual conversion receivers. They include two local oscillators, two mixers, a limiting IF amplifier and detector, and an op amp. Both provide a voltage buffered RSSI with 70 dB of usable range, isolated tuning diode and buffered LO output for PLL operation, and a separate V_{CC} pin for the first mixer and LO. Improvements have been made in the temperature performance of both the recovered audio and the RSSI.

V_{CC}

Two separate V_{CC} lines enable the first LO and mixer to continue running while the rest of the circuit is powered down. They also isolate the RF from the rest of the internal circuit.

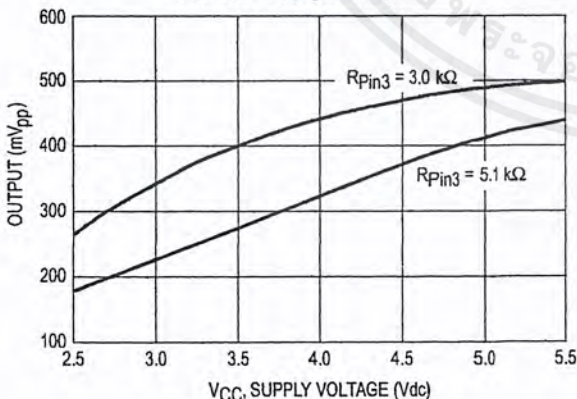
Local Oscillators

The local oscillators are grounded collector Colpitts, which can be easily crystal-controlled or VCO controlled with the on-board varactor and external PLL. The first LO transistor is internally biased, but the emitter is pinned-out and I_Q can be increased for high frequency or VCO operation. The collector is not pinned out, so for crystal operation, the LO is generally limited to 3rd overtone crystal frequencies; typically around 60 MHz. For higher frequency operation, the LO can be provided externally as shown in Figure 16.

Buffer

An amplifier on the 1st LO output converts the single-ended LO output to a differential signal to drive the mixer. Capacitive coupling between the LO and the amplifier minimizes the effects of the change in oscillator current on the mixer. Buffered LO output is pinned-out at Pin 3 for use with a PLL, with a typical output voltage of 320 mV_{pp} at $V_{CC} = 4.0$ V and with a 5.1 k resistor from Pin 3 to ground. As seen in Figure 14, the buffered LO output varies with the supply voltage and a smaller external resistor may be needed for low voltage operation. The LO buffer operates up to 60 MHz, typically. Above 60 MHz, the output at Pin 3 rolls off at approximately 6.0 dB per octave. Since most PLLs require about 200 mV_{pp} drive, an external amplifier may be required.

Figure 14. Buffered LO Output Voltage versus Supply Voltage



Mixers

The first and second mixer are of similar design. Both are double balanced to suppress the LO and input frequencies to give only the sum and difference frequencies out. This configuration typically provides 40 to 60 dB of LO suppression. New design techniques provide improved mixer linearity and third order intercept without increased noise. The gain on the output of the 1st mixer starts to roll off at about 20 MHz, so this receiver could be used with a 21 MHz first IF. It is designed for use with a ceramic filter, with an output impedance of 330 Ω. A series resistor can be used to raise the impedance for use with a crystal filter, which typically has an input impedance of 4.0 kΩ. The second mixer input impedance is approximately 4.0 kΩ; it requires an external 360 Ω parallel resistor for use with a standard ceramic filter.

Limiting IF Amplifier and Detector

The limiter has approximately 110 dB of gain, which starts rolling off at 2.0 MHz. Although not designed for wideband operation, the bandwidth of the audio frequency amplifier has been widened to 50 kHz, which gives less phase shift and enables the receiver to run at higher data rates. However, care should be taken not to exceed the bandwidth allowed by local regulations.

The MC13135 is designed for use with an LC quadrature detector, and does not have sufficient drive to be used with a ceramic discriminator. The MC13136 was designed to use a ceramic discriminator, but can also be run with an LC quad coil, as mentioned in the Test Circuit Information section. The data shown in Figures 12 and 13 was taken using a muRata CDB455C34 ceramic discriminator which has been specially matched to the MC13136. Both the choice of discriminators and the external matching circuit will affect the distortion and recovered audio.

RSSI/Op Amp

The Received Signal Strength Indicator (RSSI) on the MC13135/13136 has about 70 dB of range. The resistor needed to translate the RSSI current to a voltage output has been included on the internal circuit, which gives it a tighter tolerance. A temperature compensated reference current also improves the RSSI accuracy over temperature. On the MC13136, the op amp on board is connected to the output to provide a voltage buffered RSSI. On the MC13135, the op amp is not connected internally and can be used for the RSSI or as a data slicer (see Figure 17c).

MC13135 MC13136

Figure 15. PLL Controlled Narrowband FM Receiver at 46/49 MHz

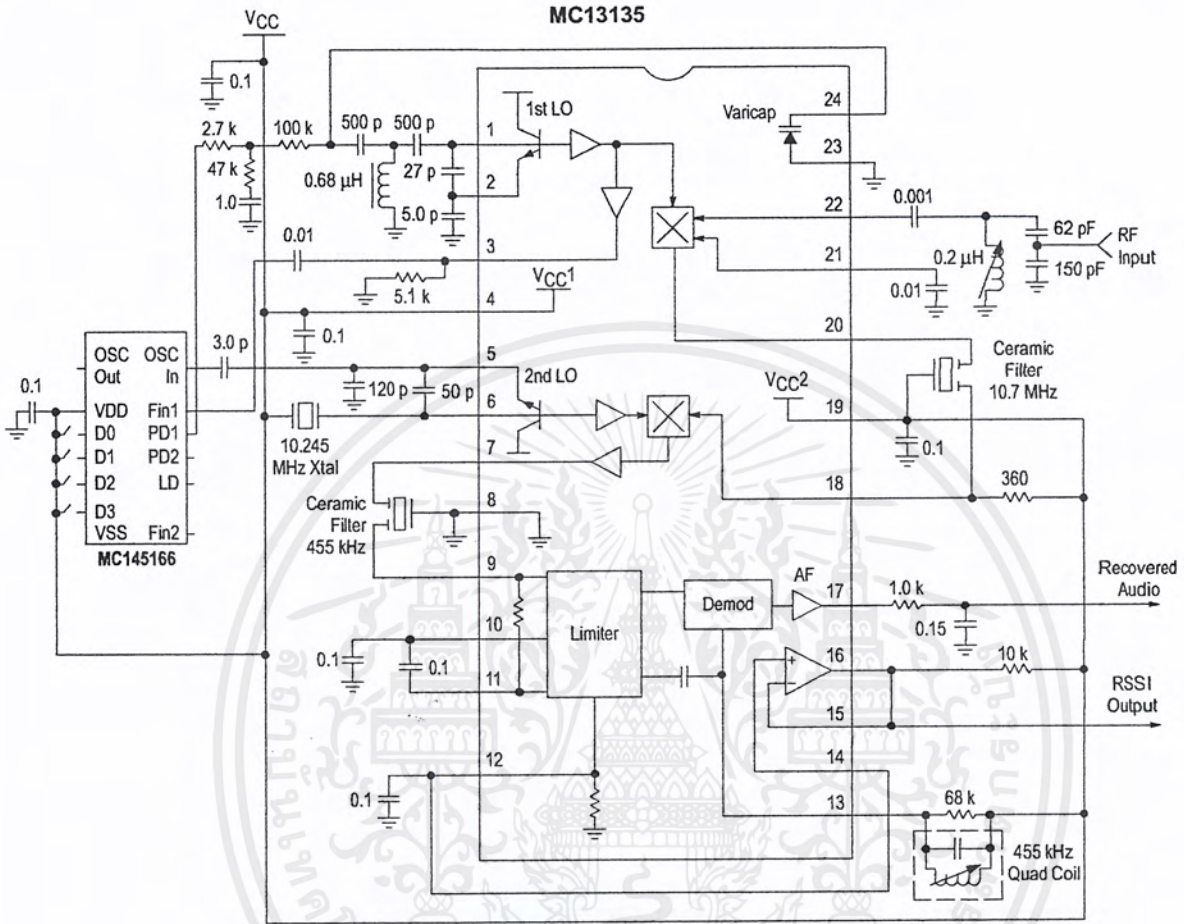
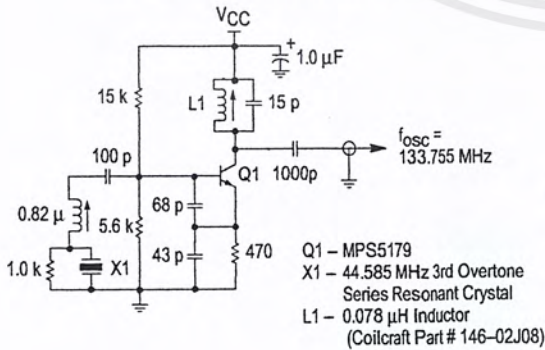
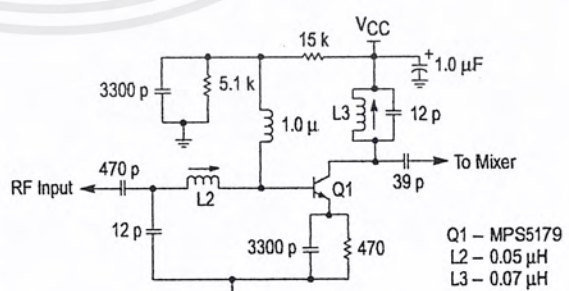


Figure 16. 144 MHz Single Channel Application Circuit

1st LO External Oscillator Circuit



Preamp for MC13135 at 144.455 MHz



MC13135 MC13136

Figure 17a. Single Channel Narrowband FM Receiver at 49.7 MHz

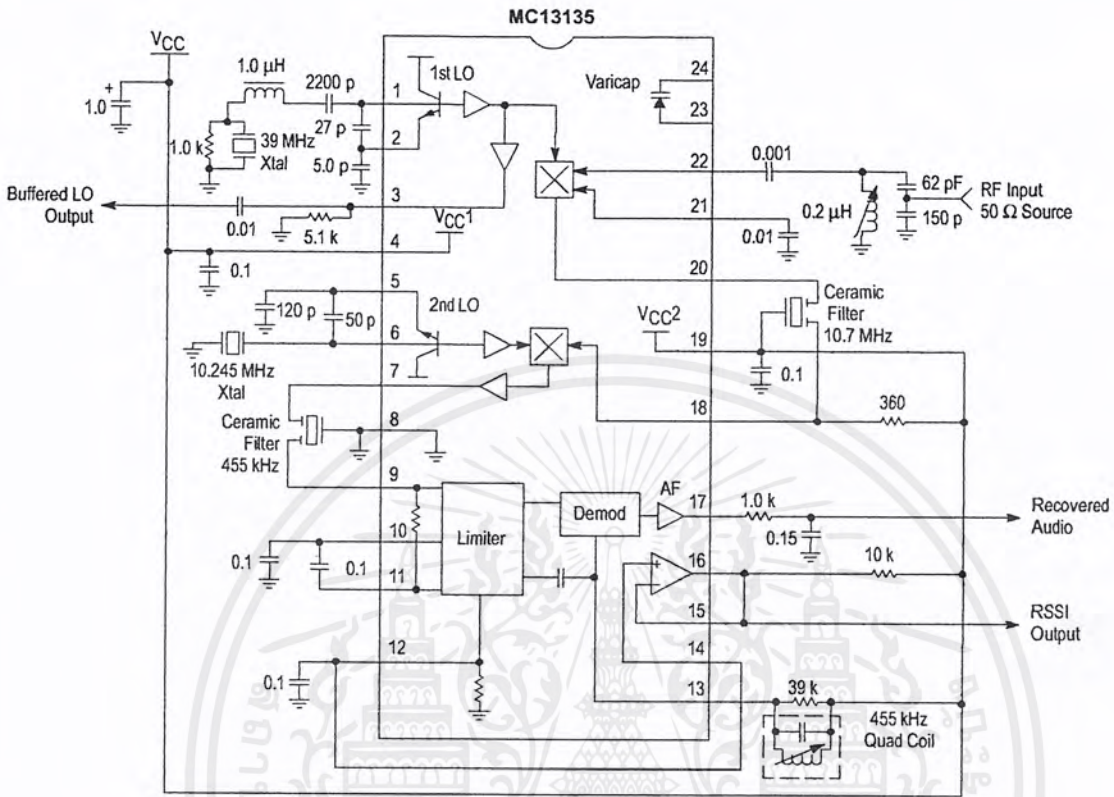
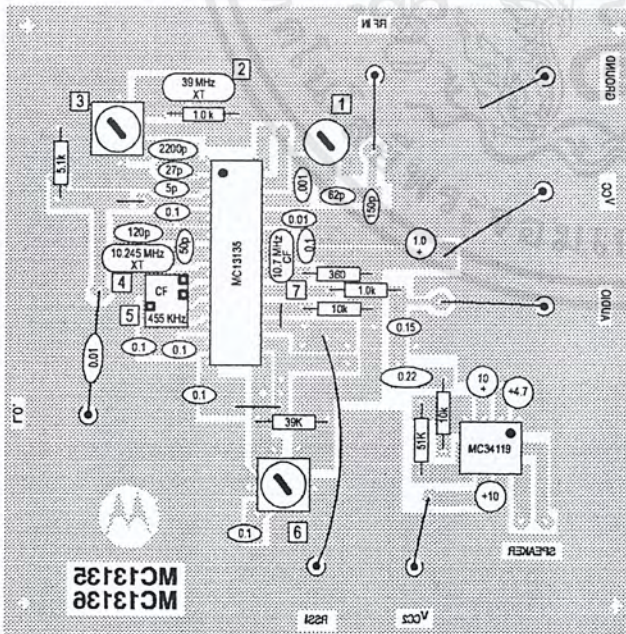
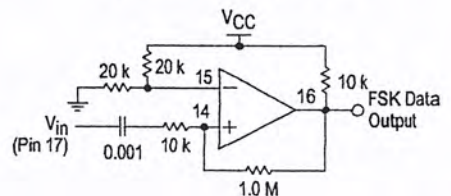


Figure 17b. PC Board Component View



- NOTES: 1. 0.2 μ H tunable (unshielded) inductor
 2. 39 MHz Series mode resonant 3rd Overtone Crystal
 3. 1.5 μ H tunable (shielded) inductor
 4. 10.245 MHz Fundamental mode crystal, 32 pF load
 5. 455 kHz ceramic filter, muRata CFU 455B or equivalent
 6. Quadrature coil, Toko 7MC-8128Z (7mm) or Toko RMC-2A6597HM (10mm)
 7. 10.7 MHz ceramic filter, muRata SFE10.7MJ-A or equivalent

Figure 17c. Optional Data Slicer Circuit (Using Internal Op Amp)



MC13135 MC13136

Figure 20a. Single Channel Narrowband FM Receiver at 49.7 MHz

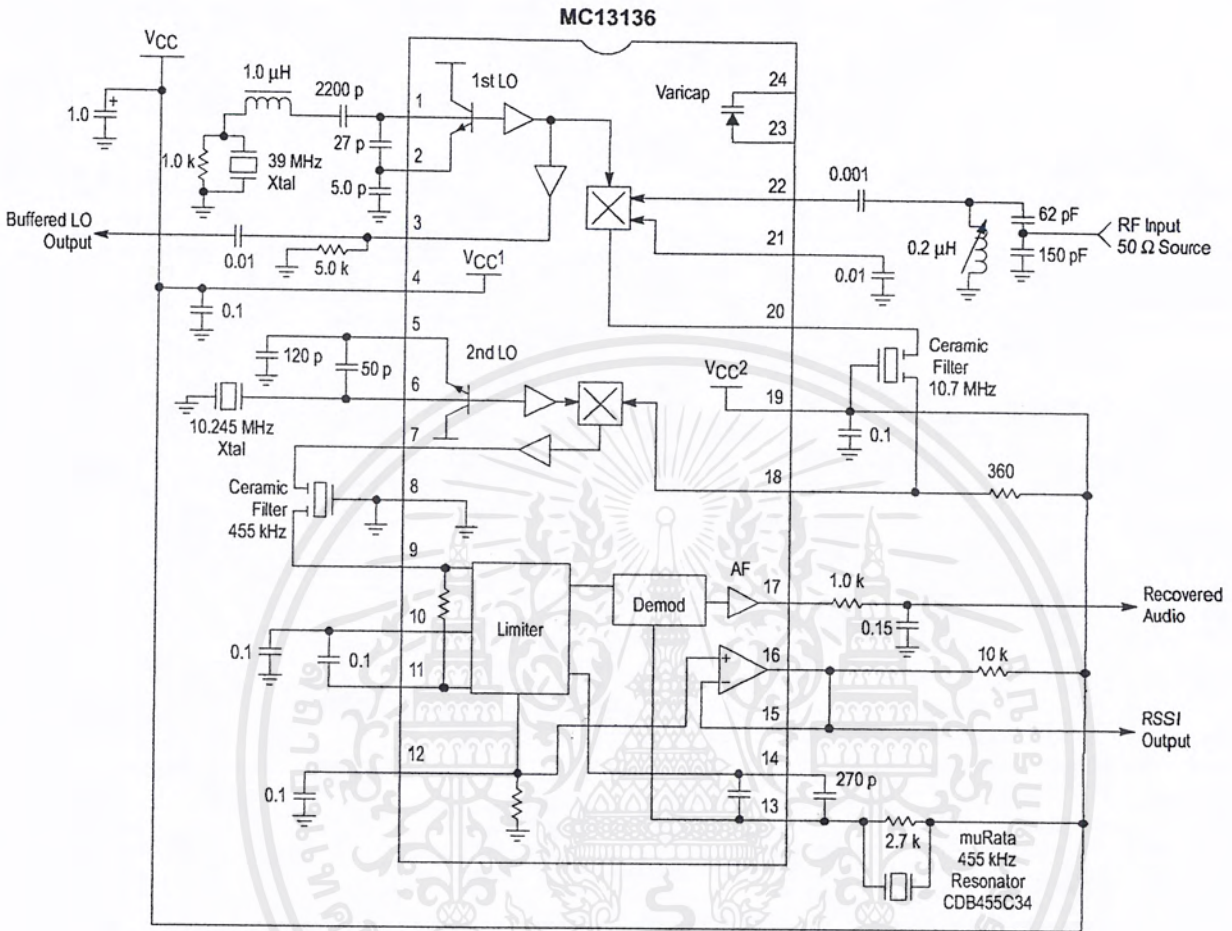
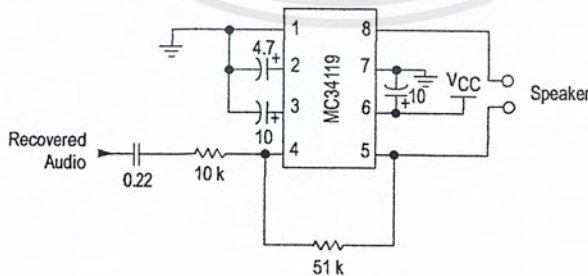


Figure 20b. Optional Audio Amplifier Circuit



MC13135 MC13136

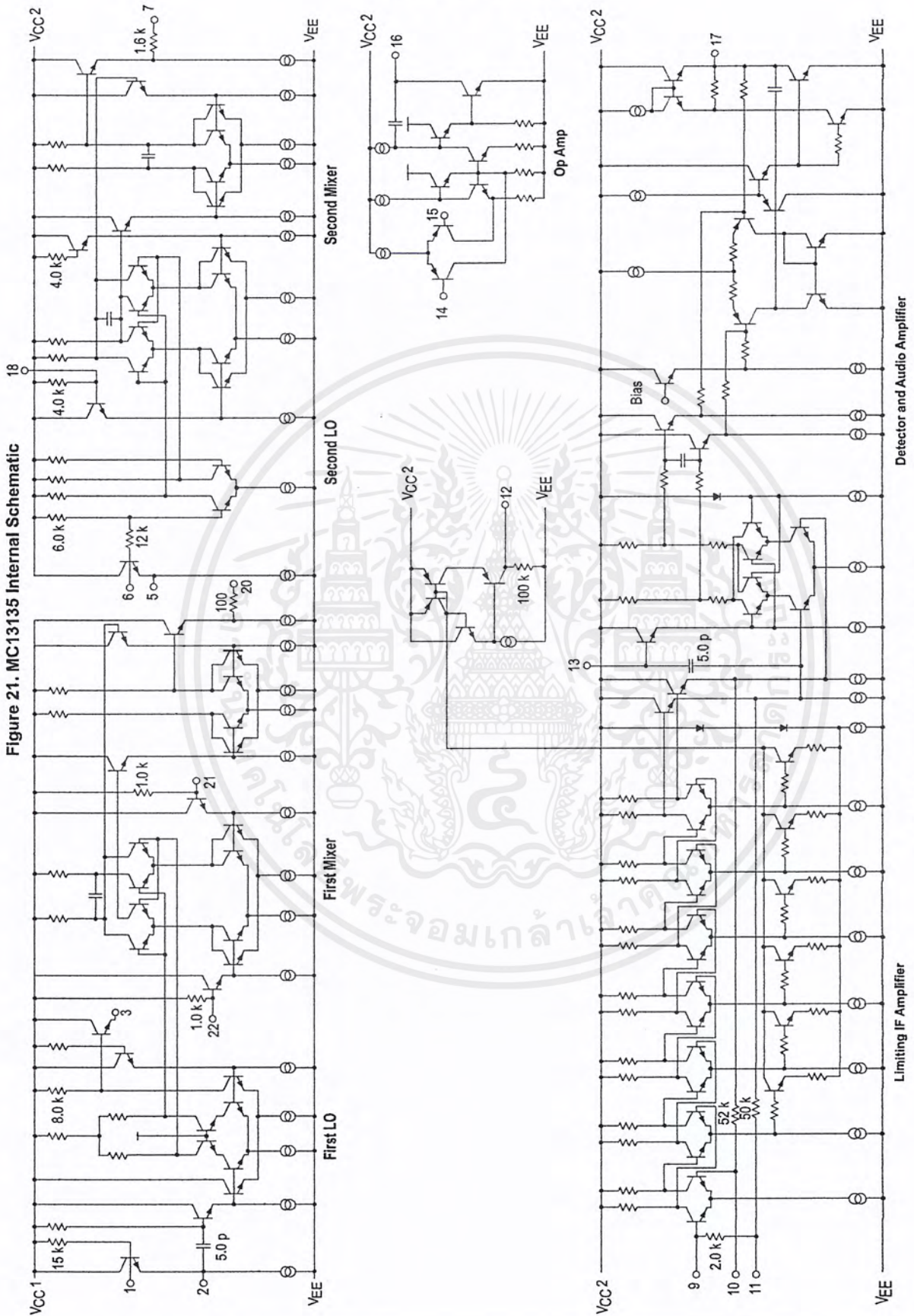


Figure 21. MC13135 Internal Schematic

This device contains 142 active transistors.

Dual PLLs for 46/49 MHz Cordless Telephones CMOS

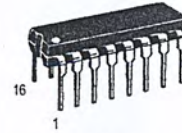
These devices are dual phase-locked loop (PLL) frequency synthesizers intended for use primarily in 46/49 MHz cordless phones with up to 10 channels. These parts contain two mask-programmable counter ROMs for receive and transmit loops with two independent phase detect circuits. A common reference oscillator and reference divider are shared by the receive and transmit circuits.

Frequency selection is accomplished via a 4-bit parallel input for the MC145166. The MC145167 utilizes a serial interface.

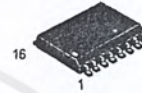
Other features include a lock detect circuit for the transmit loop, illegal code default, and a 5 kHz tone output.

- Synthesizes Up to Ten Channel Pairs
- Maximum Operating Frequency: 60 MHz @ $V_{in} = 200$ mV p-p
- Operating Temperature Range: -40 to +75°C
- Operating Voltage Range: 2.5 to 5.5 V
- On-Chip Oscillator Circuit Supports External Crystal
- Lock Detect Signal
- Operating Power Consumption: 3.0 mA @ 3.0 V
- Standby Mode for Power Savings: 1.5 mA @ 3.0 V
- Also See MC145162

MC145166 MC145167



P SUFFIX
PLASTIC DIP
CASE 648



DW SUFFIX
SOG PACKAGE
CASE 751G

ORDERING INFORMATION

MC145166P	Plastic DIP
MC145166DW	SOG Package
MC145167P	Plastic DIP
MC145167DW	SOG Package

PIN ASSIGNMENTS

MC145166P MC145166DW

OSC _{out}	1 •	16	OSC _{in}
MODE	2	15	V _{DD}
SB	3	14	f _{in1}
5 k	4	13	PD1
D0	5	12	V _{SS}
D1	6	11	PD2
D2	7	10	LD
D3	8	9	f _{in2}

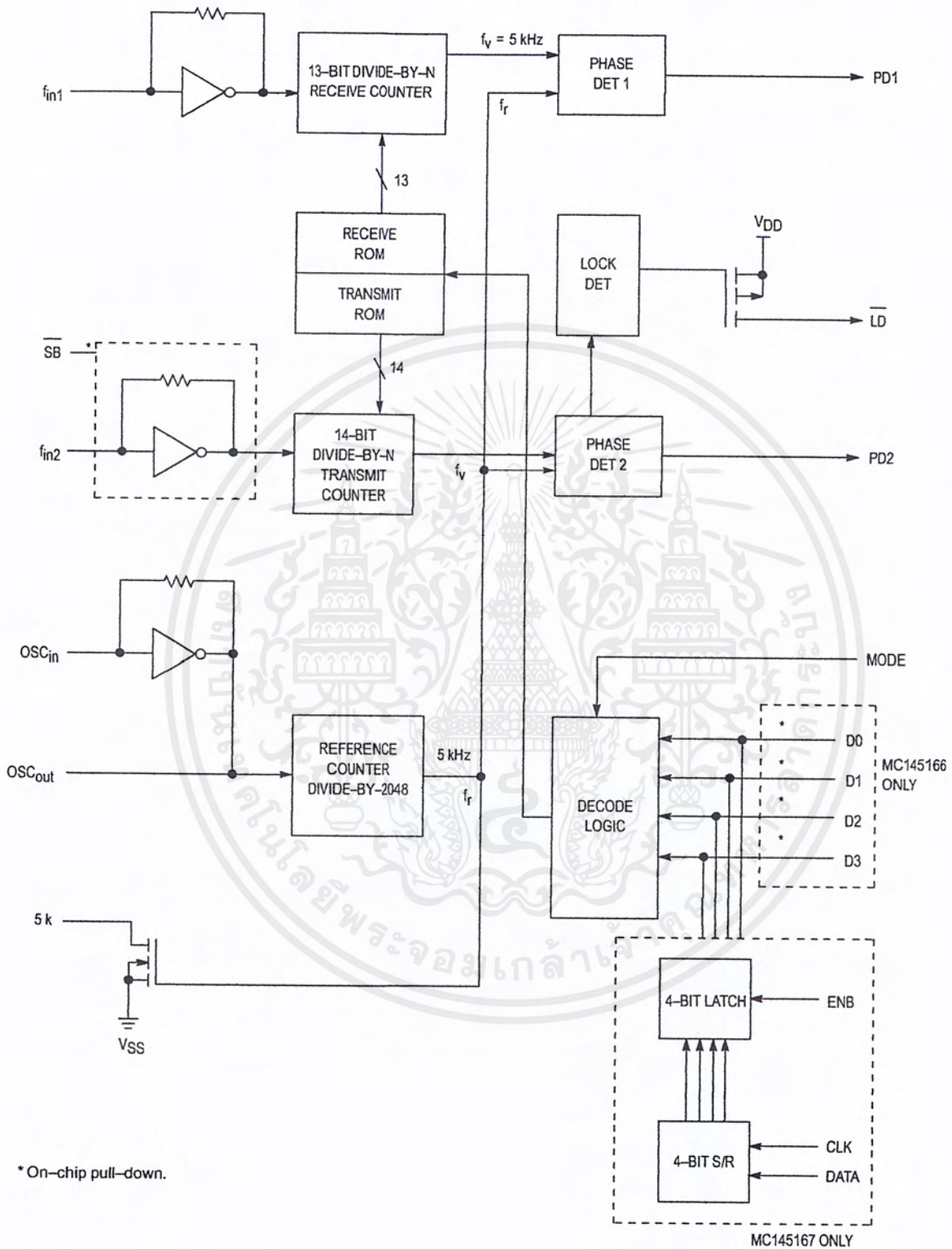
MC145167P MC145167DW

OSC _{out}	1 •	16	OSC _{in}
MODE	2	15	V _{DD}
SB	3	14	f _{in1}
5 k	4	13	PD1
DATA	5	12	V _{SS}
CLK	6	11	PD2
NC	7	10	LD
ENB	8	9	f _{in2}

NC = NO CONNECTION



BLOCK DIAGRAM



* On-chip pull-down.

MAXIMUM RATINGS* (Voltages Referenced to V_{SS})

Symbol	Rating	Value	Unit
V _{DD}	DC Supply Voltage	- 0.5 to + 6.0	V
V _{in}	Input Voltage, All Inputs	- 0.5 to V _{DD} + 0.5	V
I _{in} , I _{out}	DC Current Drain Per Pin	10	mA
I _{DD} , I _{SS}	DC Current Drain V _{DD} or V _{SS} Pins	30	mA
T _{stg}	Storage Temperature Range	- 65 to + 150	°C

* Maximum Ratings are those values beyond which damage to the device may occur. Functional operation should be restricted to the limits in the Electrical Characteristics tables or Pin Descriptions section.

This device contains protection circuitry to guard against damage due to high static voltages or electric fields. However, precautions must be taken to avoid applications of any voltage higher than maximum rated voltages to this high-impedance circuit. For proper operation, V_{in} and V_{out} should be constrained to the range V_{SS} ≤ (V_{in} or V_{out}) ≤ V_{DD}.

Unused inputs must always be tied to an appropriate logic voltage level (e.g., either V_{SS} or V_{DD}). Unused outputs must be left open.

ELECTRICAL CHARACTERISTICS (Voltages Referenced to V_{SS}, T_A = 25°C)

Symbol	Characteristic	V _{DD}	Guaranteed Limit		Unit	
			Min	Max		
V _{DD}	Power Supply Voltage Range	—	2.5	5.5	V	
V _{OL}	Output Voltage (I _{out} = 0)	0 Level	2.5	—	0.05	V
			5.5	—	0.05	
V _{OH}	(V _{in} = V _{DD} or 0)	1 Level	2.5	2.45	—	
			5.5	5.45	—	
V _{IL}	Input Voltage (V _{out} = 0.5 V or V _{DD} - 0.5 V)	0 Level	2.5	—	0.75	V
			5.5	—	1.65	
V _{IH}		1 Level	2.5	1.75	—	
			5.5	3.85	—	
I _{OH}	Output Current (V _{out} = 2.2 V) (V _{out} = 5.0 V)	Source	2.5	- 0.18	—	mA
			5.5	- 0.55	—	
I _{OL}	(V _{out} = 0.3 V) (V _{out} = 0.5 V)	Sink	2.5	0.18	—	
			5.5	0.55	—	
I _{IL}	Input Current (V _{in} = 0)	OSC _{in} , f _{in1} , f _{in2}	2.5	—	- 30	μA
			5.5	—	- 66	
		DATA, SB, Mode	2.5	—	- 0.05	
			5.5	—	- 0.11	
I _{IH}	(V _{in} = V _{DD} - 0.5)	OSC _{in} , f _{in1} , f _{in2}	2.5	—	30	μA
			5.5	—	66	
		DATA, SB, Mode	2.5	—	50	
			5.5	—	121	
C _{in}	Input Capacitance	—	—	14.0	pF	
C _{out}	Output Capacitance	—	—	8.0	pF	
I _{DD}	Standby Current, SB = V _{SS} or Open	2.5	—	1.4	mA	
		5.5	—	3.6		
I _{dd}	Operating Current (200 mV p-p input at f _{in1} and f _{in2} , SB = V _{DD})	2.5	—	2.8	mA	
		5.5	—	6.2		
I _{OZ}	Three-State Leakage Current (V _{out} = 0 or 5.5 V)	5.5	—	± 1.0	μA	

SWITCHING CHARACTERISTICS ($T_A = 25^\circ\text{C}$, $C_L = 50\text{ pF}$)

Symbol	Characteristic	Figure No.	VDD	Guaranteed Limit		Unit
				Min	Max	
t_{TLH}	Output Rise Time	1, 5	3.0 5.0	— —	200 100	ns
t_{THL}	Output Fall Time	1, 5	3.0 5.0	— —	200 100	ns
t_r, t_f	Input Rise and Fall Time, OSC_{in}	2	3.0 5.0	— —	5.0 4.0	μs
f_{max}	Input Frequency Input = Sine Wave 200 mV p-p	OSC_{in} f_{in1} f_{in2}	3.0 – 5.0 3.0 – 5.0 3.0 – 5.0	— — —	12 60 60	MHz
t_{su}	Setup Time (MC145167)	DATA to CLK	3.0 5.0	100 50	— —	ns
		ENB to CLK	3.0 5.0	200 100	— —	
t_h	Hold Time (MC145167), CLK to DATA	3	3.0 5.0	80 40	— —	ns
t_{rec}	Recovery Time (MC145167), ENB to CLK	3	3.0 5.0	80 40	— —	ns
t_w	Input Pulse Width (MC145167), CLK and ENB	4	3.0	80	—	ns
			5.0	60	—	

SWITCHING WAVEFORMS

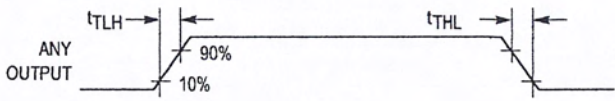


Figure 1.

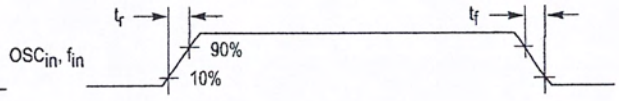


Figure 2.



Figure 3.

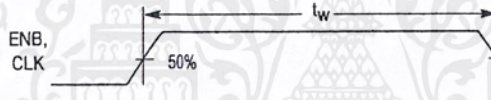


Figure 4.

PIN DESCRIPTIONS

INPUT PINS

OSC_{in}/OSC_{out}

Reference Oscillator Input/Output (Pins 1, 16)

These pins form a reference oscillator when connected to an external parallel-resonant crystal. For a 46/49 MHz cordless phone application, a 10.24 MHz crystal is needed. OSC_{in} may also serve as input for an externally generated reference signal. This signal is typically ac coupled to OSC_{in}, but for larger amplitude signals (standard CMOS logic levels) dc coupling may also be used. In the external reference mode, no connection is required for OSC_{out}.

MODE

Mode Select (Pin 2)

Mode is for determining whether the part is to be used in the base or handset of a cordless phone. Internally, this pin is used in the decoding logic for selecting the ROM address. When high, the device is set in the base mode, and when low, it is set in the handset mode. This input has an internal pull-down device.

SB

Standby Input (Pin 3)

The standby pin is used to save power when not transmitting. When high, both the transmit and receive loops are in operation. When low, the transmit loop is disabled, thereby reducing power consumption. This input has an internal pull-down device.

D0 – D3

Data Inputs (MC145166 — Pins 5 – 8)

These inputs provide the BCD code for selecting the one of ten channels to be locked in both the transmit and receive loop. When address data other than 1 – 10 are input, the decoding logic defaults to channel 10. The frequency assignments with reference to Mode and D0 – D3 are shown in Table 1. These inputs have internal pull-down devices.

f_{in1}, f_{in2}

Frequency Inputs (Pins 14, 9)

f_{in1} and f_{in2} are inputs to the divide-by-N receive and transmit counters, respectively. These signals are typically derived from the loop VCO and are ac coupled. For larger amplitude signals (standard CMOS logic levels), dc coupling may be used. The minimum input level is 200 mV p-p.

CLK, DATA

Clock, Data (MC145167 — Pins 5, 6)

These pins provide the BCD input by using serial channel programming instead of parallel. Logical high represents a 1. Each low-to-high transition of the clock shifts one bit of data into the on-chip shift register.

ENB

Enable (MC145167 — Pin 8)

The enable pin controls the data transfer from the shift register to the 4-bit latch. A positive pulse latches the data.

OUTPUT PINS

5 k

5 kHz Tone Signals (Pin 4)

The 5 kHz tone signals are N-channel, open-drain outputs derived from the reference oscillator.

LD

Lock Detect Signal (Pin 10)

The lock detect signal is associated with the transmit loop. The lock output goes high to indicate an out-of-lock condition. This is a P-channel open-drain output.

PD1, PD2

Phase Detector Outputs (Pins 13, 11)

These are three-state outputs of the transmit and receive phase detectors for use as loop error signals. Phase detector gain is $V_{DD}/4\pi$ volts per radian.

- Frequency $f_v > f_r$ or f_v leading: Output = Negative pulses
- Frequency $f_v < f_r$ or f_v lagging: Output = Positive pulses
- Frequency $f_v = f_r$ and phase coincidence: Output = High-impedance state

POWER SUPPLY

VSS

Negative Power Supply (Pin 12)

This pin is the negative supply potential and is usually ground.

VDD

Positive Power Supply (Pin 15)

This pin is the positive supply potential and may range from +2.5 to +5.5 V with respect to VSS.

Table 1. MC145166/67 Divide Ratios and VCO Frequencies

Channels					Handset (Mode = 0)				Base (Mode = 1)			
					Transmit		Receive		Transmit		Receive	
D3	D2	D1	D0	CH#	f _{in2} (MHz)	÷ N	f _{in1} (MHz)	÷ N	f _{in2} (MHz)	÷ N	f _{in1} (MHz)	÷ N
0	0	0	1	1	49.670	9934	35.915	7183	46.610	9322	38.975	7795
0	0	1	0	2	49.845	9969	35.935	7187	46.630	9326	39.150	7830
0	0	1	1	3	49.860	9972	35.975	7195	46.670	9334	39.165	7833
0	1	0	0	4	49.770	9954	36.015	7203	46.710	9342	39.075	7815
0	1	0	1	5	49.875	9975	36.035	7207	46.730	9346	39.180	7836
0	1	1	0	6	49.830	9966	36.075	7215	46.770	9354	39.135	7827
0	1	1	1	7	49.890	9978	36.135	7227	46.830	9366	39.195	7839
1	0	0	0	8	49.930	9986	36.175	7235	46.870	9374	39.235	7847
1	0	0	1	9	49.990	9998	36.235	7247	46.930	9386	39.295	7859
1	0	1	0	10	49.970	9994	36.275	7255	46.970	9394	39.275	7855

NOTES:

1. Other input combinations will be defaulted to channel 10.
2. 0 = logic low, 1 = logic high.



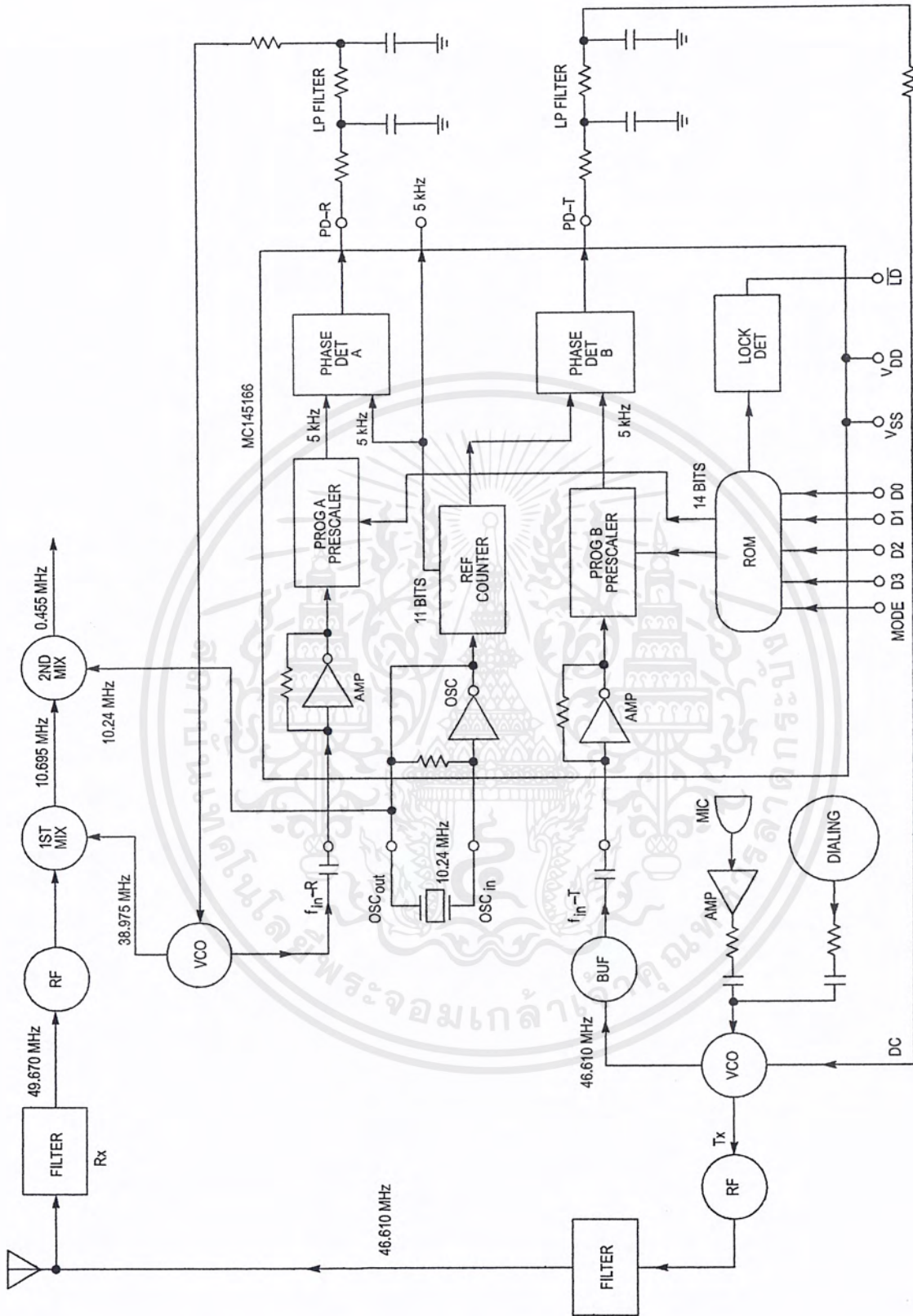


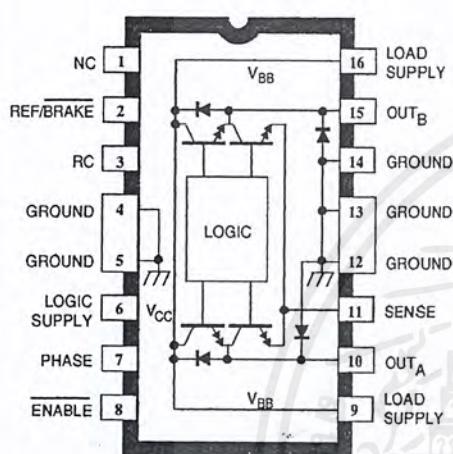
Figure 6. DPLL Application in 46/49 MHz Cordless Phone

3951

Data Sheet
29319.4t

FULL-BRIDGE PWM MOTOR DRIVER

A3951SB



Dwg. PP-056-1

ABSOLUTE MAXIMUM RATINGS

Load Supply Voltage, V_{BB}	50 V
Output Current, I_{OUT} ($t_w \leq 20 \mu s$)	± 3.5 A
(Continuous)	± 2.0 A
Logic Supply Voltage, V_{CC}	7.0 V
Logic Input Voltage Range, V_{IN}	-0.3 V to $V_{CC} + 0.3$ V
Sense Voltage, V_{SENSE}	1.5 V
Reference Voltage, V_{REF}	V_{CC}
Package Power Dissipation, P_D	See Graph
Operating Temperature Range, T_A	-20°C to +85°C
Junction Temperature, T_J	+150°C*
Storage Temperature Range, T_S	-55°C to +150°C

Output current rating may be limited by duty cycle, ambient temperature, heat sinking and/or forced cooling. Under any set of conditions, do not exceed the specified current rating or a junction temperature of +150°C.

* Fault conditions that produce excessive junction temperature will activate device thermal shutdown circuitry. These conditions can be tolerated but should be avoided.

Designed for bidirectional pulse-width modulated current control of inductive loads, the A3951SB and A3951SW are capable of continuous output currents to ± 2 A and operating voltages to 50 V. Internal fixed off-time PWM current-control circuitry can be used to regulate the maximum load current to a desired value. The peak load current limit is set by the user's selection of an input reference voltage and external sensing resistor. The fixed off-time pulse duration is set by a user-selected external RC timing network. Internal circuit protection includes thermal shutdown with hysteresis, transient suppression diodes, and crossover-current protection. Special power-up sequencing is not required. The A3951SB and A3951SW are improved replacements for the UDN2953B and UDN2954W, respectively. For new system designs, the A3952SB/SEB/SLB/SW are recommended.

With the ENABLE input held low, the PHASE input controls load current polarity by selecting the appropriate source and sink driver pair. A user-selectable blanking window prevents false triggering of the PWM current control circuitry. With the ENABLE input held high, all output drivers are disabled.

When a logic low is applied to the BRAKE input, the braking function is enabled. This overrides ENABLE and PHASE to turn off both source drivers and turn on both sink drivers. The brake function can be safely used to dynamically brake brush dc motors.

The A3951SB is supplied in a 16-pin dual in-line plastic package with copper heat-sink contact tabs. The lead configuration enables easy attachment of a heat sink while fitting a standard printed wiring board layout. The A3951SW, for higher package power dissipation requirements, is supplied in a 12-pin single in-line power-tab package. In either package style, the batwing/power tab is at ground potential and needs no isolation.

FEATURES

- ± 2 A Continuous Output Current Rating
- 50 V Output Voltage Rating
- Internal PWM Current Control
- Internal Transient Suppression Diodes
- Under-Voltage Lockout
- Internal Thermal Shutdown Circuitry
- Crossover-Current Protection
- Default Brake Current Limit

Always order by complete part number:

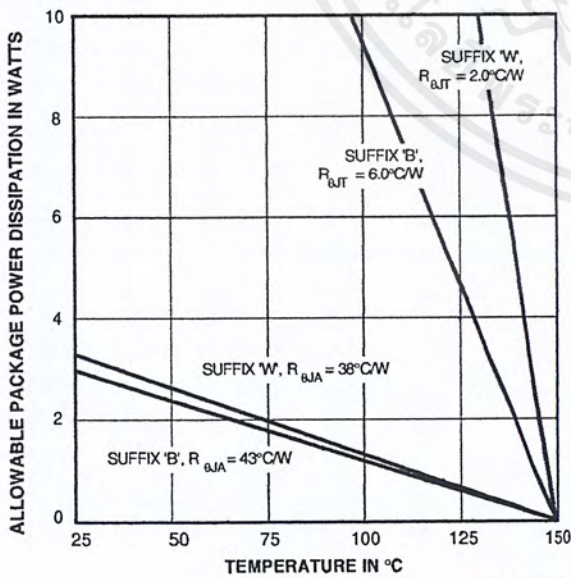
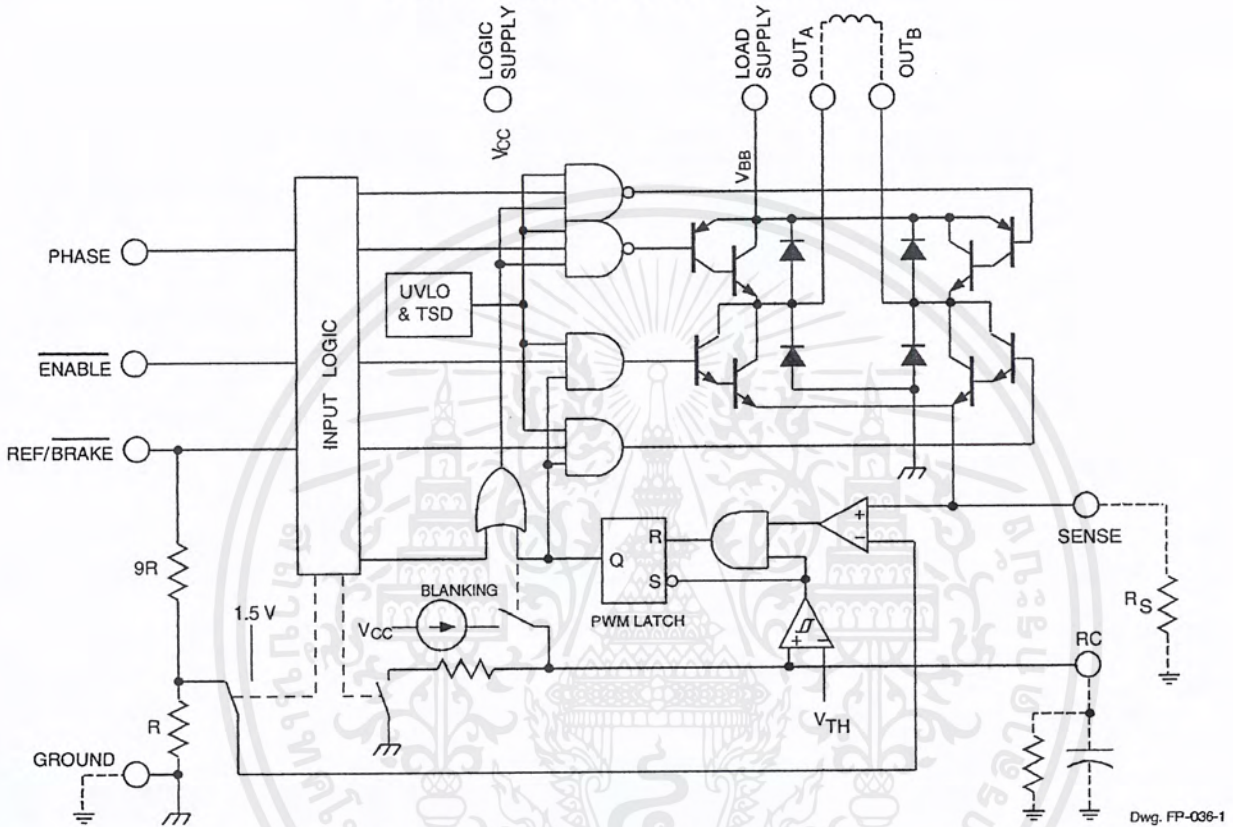
Part Number	Package	$R_{\theta JA}$	$R_{\theta JT}$
A3951SB	16-Pin DIP	43°C/W	6.0°C/W
A3951SW	12-Pin Power-Tab SIP	36°C/W	2.0°C/W



เอกสารนี้เป็นเอกสารที่สงวนไว้สำหรับกรใช้เฉพาะทางเท่านั้น ไม่อนุญาตให้นำไปใช้ประโยชน์ด้านการค้า
ไม่ว่ากรณีใดๆ ทั้งสิ้น อีกทั้งห้ามมิให้ดัดแปลงเนื้อหาและต้องอ้างอิงถึงเจ้าของเอกสารทุกครั้งที่มีการนำไปใช้

3951 FULL-BRIDGE PWM MOTOR DRIVER

FUNCTIONAL BLOCK DIAGRAM



TRUTH TABLE

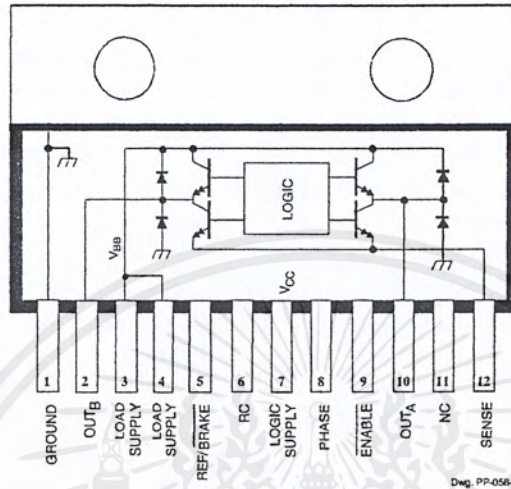
BRAKE	ENABLE	PHASE	OUT _A	OUT _B	DESCRIPTION
H	H	X	Z	Z	Outputs Disabled
H	L	H	H	L	Forward
H	L	L	L	H	Reverse
L	X	X	L	L	Brake, See Note

X = Irrelevant Z = High Impedance (source and sink both off)
NOTE: Includes internal default V_{sense} level for over-current protection.

Dwg. GP-032A

3951 FULL-BRIDGE PWM MOTOR DRIVER

A3951SW



Dwg. PP-056-1

ELECTRICAL CHARACTERISTICS at $T_A = +25^\circ\text{C}$, $V_{BB} = 50\text{ V}$, $V_{CC} = 5.0\text{ V}$,
 $V_{REF} = 2.0\text{ V}$, $V_{SENSE} = 0\text{ V}$, $RC = 20\text{ k}\Omega/1000\text{ pF}$ to Ground (unless noted otherwise).

Characteristic	Symbol	Test Conditions	Limits			
			Min.	Typ.	Max.	Units
Output Drivers						
Load Supply Voltage Range	V_{BB}	Operating, $I_{OUT} = \pm 2.0\text{ A}$, $L = 3\text{ mH}$	V_{CC}	–	50	V
Output Leakage Current	I_{CEX}	$V_{OUT} = V_{BB}$	–	<1.0	50	μA
		$V_{OUT} = 0\text{ V}$	–	<-1.0	-50	μA
Output Saturation Voltage	$V_{CE(SAT)}$	Source driver, $I_{OUT} = -0.5\text{ A}$	–	0.9	1.2	V
		Source driver, $I_{OUT} = -1.0\text{ A}$	–	1.0	1.4	V
		Source driver, $I_{OUT} = -2.0\text{ A}$	–	1.2	1.8	V
		Sink driver, $I_{OUT} = +0.5\text{ A}$	–	0.9	1.2	V
		Sink driver, $I_{OUT} = +1.0\text{ A}$	–	1.0	1.4	V
		Sink driver, $I_{OUT} = +2.0\text{ A}$	–	1.3	1.8	V
Clamp Diode Forward Voltage (Source or Sink)	V_F	$I_F = 0.5\text{ A}$	–	1.0	1.4	V
		$I_F = 1.0\text{ A}$	–	1.1	1.6	V
		$I_F = 2.0\text{ A}$	–	1.4	2.0	V
Load Supply Current (No Load)	$I_{BB(ON)}$	$V_{ENABLE} = 0.8\text{ V}$, $V_{REF} = 2.0\text{ V}$	–	2.9	6.0	mA
	$I_{BB(OFF)}$	$V_{ENABLE} = V_{REF} = 2.0\text{ V}$	–	3.1	6.5	mA
	$I_{BB(BRAKE)}$	$V_{BRAKE} = 0.8\text{ V}$	–	3.1	6.5	mA

Continued next page ...

3951 FULL-BRIDGE PWM MOTOR DRIVER

ELECTRICAL CHARACTERISTICS (Continued)

Characteristic	Symbol	Test Conditions	Limits			
			Min.	Typ.	Max.	Units
Control Logic						
Logic Supply Voltage Range	V_{CC}	Operating	4.5	5.0	5.5	V
Logic Input Voltage	$V_{IN(1)}$		2.0	–	–	V
	$V_{IN(0)}$		–	–	0.8	V
Logic Input Current	$I_{IN(1)}$	$V_{IN} = 2.0\text{ V}$	–	<1.0	20	μA
	$I_{IN(0)}$	$V_{IN} = 0.8\text{ V}$	–	<-2.0	-200	μA
Reference Voltage Range	V_{REF}	Operating	2.0	–	V_{CC}	V
Reference Input Current	I_{REF}	$2.0\text{ V} \leq V_{REF} \leq V_{CC}$	25	40	55	μA
Reference Voltage Divider Ratio	–	$V_{REF} = 5\text{ V}$	9.5	10.0	10.5	–
PWM RC Fixed Off Time	t_{off}	$C_T = 1000\text{ pF}, R_T = 20\text{ k}\Omega$	18	20	22	μs
PWM Minimum On Time	$t_{on(min)}$	$C_T = 820\text{ pF}, R_T \geq 12\text{ k}\Omega$	–	1.7	3.0	μs
		$C_T = 1200\text{ pF}, R_T \geq 12\text{ k}\Omega$	–	2.5	3.8	μs
Propagation Delay Time	t_{pd}	$I_{OUT} = \pm 2.0\text{ A}, 50\% E_{IN}$ to 90% E_{OUT} transition:				
		ENABLE on to source driver on	–	2.9	–	μs
		ENABLE off to source driver off	–	0.7	–	μs
		ENABLE on to sink driver on	–	2.4	–	μs
		ENABLE off to sink driver off	–	0.7	–	μs
		PHASE change to source driver on	–	2.9	–	μs
		PHASE change to source driver off	–	0.7	–	μs
		PHASE change to sink driver on	–	2.4	–	μs
PHASE change to sink driver off	–	0.7	–	μs		
	$t_{pd(pwm)}$	Comparator trip to sink driver off	–	0.8	1.5	μs
Thermal Shutdown Temperature	T_J		–	165	–	$^{\circ}\text{C}$
Thermal Shutdown Hysteresis	ΔT_J		–	15	–	$^{\circ}\text{C}$
UVLO Disable Threshold	$V_{CC(UVLO)}$		3.15	3.50	3.85	V
UVLO Hysteresis	$\Delta V_{CC(UVLO)}$		300	400	500	mV
Logic Supply Current (No Load)	$I_{CC(ON)}$	$V_{ENABLE} = 0.8\text{ V}, V_{REF} = 2.0\text{ V}$	–	20	30	mA
	$I_{CC(OFF)}$	$V_{ENABLE} = V_{REF} = 2.0\text{ V}$	–	12	18	mA
	$I_{CC(BRAKE)}$	$V_{REF} = 0.8\text{ V}$	–	26	40	mA

- NOTES: 1. Typical Data is for design information only.
 2. Each driver is tested separately.
 3. Negative current is defined as coming out of (sourcing) the specified device terminal.



115 Northeast Cutoff, Box 15036
 Worcester, Massachusetts 01615-0036 (508) 853-5000

เอกสารนี้เป็นเอกสารของบริษัท Allegro MicroSystems, Inc. บริการใช้งานเพื่อการศึกษเท่านั้น ไม่อนุญาตให้นำไปใช้ประโยชน์ด้านการค้า
 ไม่ว่ากรณีใดๆ ทั้งสิ้น อีกทั้งห้ามมิให้ดัดแปลงเนื้อหาและต้องอ้างอิงถึงเจ้าของเอกสารทุกครั้งที่มีการนำไปใช้

3951 FULL-BRIDGE PWM MOTOR DRIVER

FUNCTIONAL DESCRIPTION

INTERNAL PWM CURRENT CONTROL DURING FORWARD AND REVERSE OPERATION

The A3951SB/SW contain a fixed off-time pulse-width modulated (PWM) current-control circuit that can be used to limit the load current to a desired value. The value of the current limiting (I_{TRIP}) is set by the selection of an external current sensing resistor (R_S) and reference input voltage (V_{REF}). The internal circuitry compares the voltage across the external sense resistor to one tenth the voltage on the REF input terminal, resulting in a function approximated by

$$I_{TRIP} = V_{REF} / (10 \cdot R_S).$$

In forward or reverse mode the current-control circuitry limits the load current. When the load current reaches I_{TRIP} , the comparator resets a latch to turn off the selected sink driver. The load inductance causes the current to recirculate through the source driver and flyback diode (two-quadrant operation or slow decay). See figure 1.

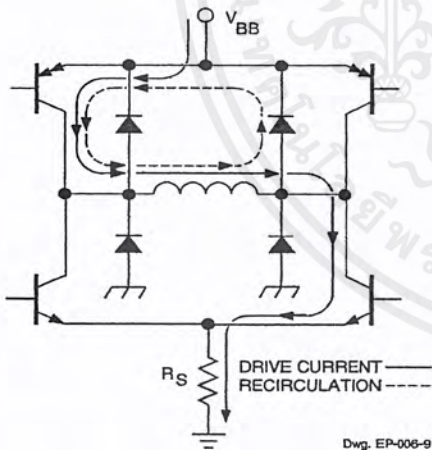
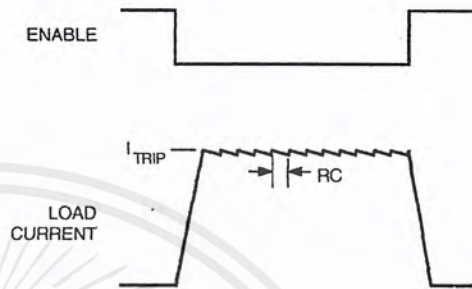


Figure 1 — Load-Current Paths

The user selects an external resistor (R_T) and capacitor (C_T) to determine the time period ($t_{off} = R_T \cdot C_T$) during which the drivers remain disabled (see "RC Fixed OFF Time" below). At the end of the $R_T \cdot C_T$ interval, the drivers are re-enabled allowing the load current to increase again. The PWM cycle repeats, maintaining the load current at the desired value (see figure 2).



Dwg. WP-015-3

Figure 2 — Load-Current Waveform

INTERNAL PWM CURRENT CONTROL DURING BRAKE MODE OPERATION

The brake circuit turns off both source drivers and turns on both sink drivers. For dc motor applications, this has the effect of shorting the motor's back-EMF voltage, resulting in current flow that brakes the motor dynamically. However, if the back-EMF voltage is large and there is no PWM current limiting, then the load current can increase to a value that approaches a locked rotor condition. To limit the current, when the I_{TRIP} level is reached, the PWM circuit disables the conducting sink driver. The energy stored in the motor's inductance is then discharged into the load supply causing the motor current to decay.

As in the case of forward/reverse operation, the drivers are re-enabled after a time given by $t_{off} = R_T \cdot C_T$ (see "RC Fixed Off Time" below). Depending on the back-EMF voltage (proportional to the motor's decreasing speed), the load current again may increase to I_{TRIP} . If so, the PWM cycle will repeat, limiting the load current to the desired value.

Brake Operation

During braking, the peak current limit defaults internally to a value approximated by

$$I_{TRIP} = 1.5 V / R_S.$$

In this mode, the value of R_S determines the I_{TRIP} value independent of V_{REF} . This is useful in applications with differing run and brake currents and no practical method of varying V_{REF} .

3951 FULL-BRIDGE PWM MOTOR DRIVER

Choosing a small value for R_S essentially disables the current limiting during braking. Therefore, care should be taken to ensure that the motor's current does not exceed the absolute maximum ratings of the device. The braking current can be measured by using an oscilloscope with a current probe connected to one of the motor's leads.

CAUTION: Because the kinetic energy stored in the motor and load inertia is being converted into current, which charges the V_{BB} supply bulk capacitance (power supply output and decoupling capacitance), care must be taken to ensure the capacitance is sufficient to absorb the energy without exceeding the voltage rating of any devices connected to the motor supply.

RC Fixed Off Time

The internal PWM current control circuitry uses a one shot to control the time the driver remains off. The one shot time, t_{off} (fixed off time), is determined by the selection of an external resistor (R_T) and capacitor (C_T) connected in parallel from the RC terminal to ground. The fixed off time, over a range of values of $C_T = 820$ pF to 1500 pF and $R_T = 12$ k Ω to 100 k Ω , is approximated by

$$t_{off} = R_T \cdot C_T$$

When the PWM latch is reset by the current comparator, the voltage on the RC terminal will begin to decay from approximately 3 volts. When the voltage on the RC terminal reaches approximately 1.1 volts, the PWM latch is set, thereby re-enabling the driver.

RC Blanking

In addition to determining the fixed off time of the PWM control circuit, the C_T component sets the comparator blanking time. This function blanks the output of the comparator when the outputs are switched by the internal current control circuitry (or by the PHASE, BRAKE, or ENABLE inputs). The comparator output is blanked to prevent false over-current detections due to reverse recovery currents of the clamp diodes, and/or switching transients related to distributed capacitance in the load.

During internal PWM operation, at the end of the off time, the comparator's output is blanked and C_T begins to be charged from approximately 1.1 V by an internal current source of approximately 1 mA. The comparator output remains blanked until the voltage on C_T reaches approximately 3.0 volts.

Similarly, when a transition of the PHASE input occurs, C_T is discharged to near ground during the crossover delay time (the crossover delay time is present to prevent simultaneous conduction of the source and sink drivers). After the crossover delay, C_T is charged by an internal current source of approximately 1 mA. The comparator output remains blanked until the voltage on C_T reaches approximately 3.0 volts.

Similarly, when the device is disabled via the ENABLE input, C_T is discharged to near ground. When the device is re-enabled, C_T is charged by the internal current source. The comparator output remains blanked until the voltage on C_T reaches approximately 3.0 V.

For most applications, the minimum recommended value is $C_T = 820$ pF $\pm 5\%$. This value ensures that the blanking time is sufficient to avoid false trips of the comparator under normal operating conditions. For optimal regulation of the load current, the above value for C_T is recommended and the value of R_T can be sized to determine t_{off} . For more information regarding load current regulation, see below.

LOAD CURRENT REGULATION WITH THE INTERNAL PWM CURRENT-CONTROL CIRCUITRY

During operation, the A3951S- have a lower limit to the range of PWM current control. This directly relates to the limitations imposed by the V_{REF} input (2.0 V, minimum).

Applications requiring a broader or full range ($\approx 0\%$ to 100%) should utilize the A3952S-, which are recommended for the improvements they bring to new designs.

LOAD CURRENT REGULATION WITH EXTERNAL PWM OF THE PHASE OR ENABLE INPUTS

The PHASE or ENABLE inputs can be pulse-width modulated to regulate load current. Typical propagation delays from the PHASE and ENABLE inputs to transitions of the power outputs are specified in the electrical characteristics table. If the normal PWM current control is used, then the comparator blanking function is active during phase and enable transitions. This eliminates false tripping of the over-current comparator caused by switching transients (see "RC Blanking" above).



115 Northeast Cutoff, Box 15036
Worcester, Massachusetts 01615-0036 (508) 853-5000

3951 FULL-BRIDGE PWM MOTOR DRIVER

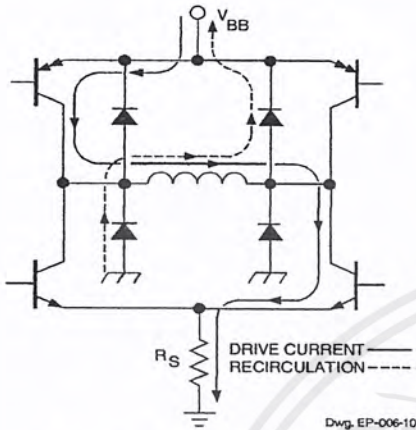


Figure 3 — Load-Current Paths

ENABLE Pulse-Width Modulation

toggling the ENABLE input turns on and off the selected source and sink drivers; the load inductance causes the current to flow from ground to the load supply via the ground clamp and flyback diodes (four-quadrant operation or fast decay). See figure 3. When the device is enabled, the internal current-control circuitry will be active and can be used to limit the load current in the normal internal PWM slow-decay or two-quadrant mode of operation.

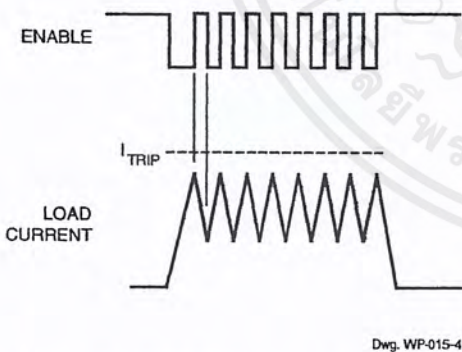


Figure 4 — ENABLE PWM Load-Current Waveform

PHASE Pulse-Width Modulation

toggling the PHASE terminal determines/controls which sink/source pair is enabled, producing a load current that varies with the duty cycle and remains continuous at all times. This can have added benefits in bidirectional brush dc servo motor applications as the transfer function

between the duty cycle on the phase input and the average voltage applied to the motor is more linear than in the case of ENABLE PWM control (which produces a discontinuous current at low current levels). See also, "DC Motor Applications" below.

MISCELLANEOUS INFORMATION

An internally generated dead time prevents crossover currents that can occur when switching phase or braking.

Thermal protection circuitry turns off all drivers should the junction temperature reach 165°C (typical). This is intended only to protect the device from failures due to excessive junction temperatures and should not imply that output short circuits are permitted. The hysteresis of the thermal shutdown circuit is approximately 15°C.

If the internal current-control circuitry is not used; the V_{REF} terminal should be connected to V_{CC} ; the SENSE terminal should be connected to ground, and the RC terminal should be left floating (no connection).

An internal under-voltage lockout circuit prevents simultaneous conduction of the outputs when the device is powered up or powered down.

APPLICATIONS NOTES

Current Sensing

The actual peak load current (I_{OUTP}) will be greater than the calculated value of I_{TRIP} due to delays in the turn off of the drivers. The amount of overshoot can be approximated as

$$I_{OUTP} \approx \frac{(V_{BB} - ((I_{TRIP} \cdot R_{LOAD}) + V_{BEMF})) \cdot t_{pd(pwm)}}{L_{LOAD}}$$

where V_{BB} is the load/motor supply voltage, V_{BEMF} is the back-EMF voltage of the load, R_{LOAD} and L_{LOAD} are the resistance and inductance of the load respectively, and $t_{pd(pwm)}$ is the propagation delay as specified in the electrical characteristics table.

The reference terminal has an equivalent input resistance of 50 kΩ ±30%. This should be taken into account when determining the impedance of the external circuit that sets the reference voltage value.

3951 FULL-BRIDGE PWM MOTOR DRIVER

To minimize current-sensing inaccuracies caused by ground trace I•R drops, the current-sensing resistor should have a separate return to the ground terminal of the device. For low-value sense resistors, the I•R drops in the PCB can be significant and should be taken into account. The use of sockets should be avoided as contact resistance can cause variations in the effective value of R_S .

Larger values of R_S reduce the aforementioned effects but can result in excessive heating and power loss in the sense resistor. The selected value of R_S must not result in the SENSE terminal absolute maximum voltage rating being exceeded. The recommended value of R_S is in the range of

$$R_S = (0.375 \text{ to } 1.125) / I_{TRIP}$$

Thermal Considerations

For the most reliable operation, it is recommended that the maximum junction temperature be kept as low as practical, preferably below 125°C. The junction temperature can be measured by attaching a thermocouple to the power tab/batwing of the device and measuring the tab temperature, T_T . The junction temperature then can be approximated as

$$T_J = T_T + (2 \cdot V_F \cdot I_{OUT} \cdot R_{\theta JT})$$

where V_F is the clamp diode forward voltage and can be determined from the electrical specification table for the given level of I_{OUT} . The value for $R_{\theta JT}$ is given in the package thermal resistance table for the appropriate package.

The power dissipation of the batwing package can be improved by approximately 20% by adding a section of printed circuit board copper (typically 6 to 18 square centimeters) connected to the batwing terminals of the device.

The thermal performance in applications with high load currents and/or high duty cycles can be improved by adding external diodes in parallel with the internal diodes. In internal PWM applications, only the two top-side (flyback) diodes need be added. For external PHASE or ENABLE input PWM applications, four external diodes should be added for maximum junction temperature reduction.

PCB Layout

The load supply terminal, V_{BB} , should be decoupled (>47 μ F electrolytic and 0.1 μ F ceramic capacitors are

recommended) as close to the device as is physically practical. To minimize the effect of system ground I•R drops on the logic and reference input signals, the system ground should have a low-resistance return to the load supply voltage.

See also "Current Sensing" and "Thermal Considerations" above.

Fixed Off-Time Selection

With increasing values of t_{off} , switching losses decrease, low-level load-current regulation improves, EMI is reduced, the PWM frequency will decrease, and ripple current will increase. The value of t_{off} can be chosen for optimization of these parameters. For applications where audible noise is a concern, typical values of t_{off} are chosen to be in the range of 15 to 35 μ s.

DC Motor Applications

In closed-loop systems, the speed of a dc motor can be controlled by PWM of the PHASE or ENABLE inputs, or by varying the REF input voltage (V_{REF}). In digital systems (microprocessor controlled), PWM of the PHASE or ENABLE input is used typically thus avoiding the need to generate a variable analog voltage reference. In this case, a dc voltage on the REF input is used typically to limit the maximum load current.

In dc servo applications that require accurate positioning at low or zero speed, PWM of the PHASE input is selected typically. This simplifies the servo-control loop because the transfer function between the duty cycle on the PHASE input and the average voltage applied to the motor is more linear than in the case of ENABLE PWM control (which produces a discontinuous current at low-current levels).

With bidirectional dc servo motors, the PHASE terminal can be used for mechanical direction control. Similar to when braking the motor dynamically, abrupt changes in the direction of a rotating motor produce a current generated by the back EMF. The current generated will depend on the mode of operation. If the internal two-quadrant slow-decay PWM current-control circuitry is used, the maximum load current generated can be approximated by $I_{LOAD} = V_{BEMF} / R_{LOAD}$ where V_{BEMF} is proportional to the motor's speed. If external four-quadrant fast-decay ENABLE PWM current-control is used, then the maximum load current generated can be approximated by

$$I_{LOAD} = (V_{BEMF} + V_{BB}) / R_{LOAD}$$



115 Northeast Cutoff, Box 15036
Worcester, Massachusetts 01615-0036 (508) 853-5000

3951 FULL-BRIDGE PWM MOTOR DRIVER

For both cases, care must be taken to ensure that the maximum current ratings of the device are not exceeded. The load current will limit at a value

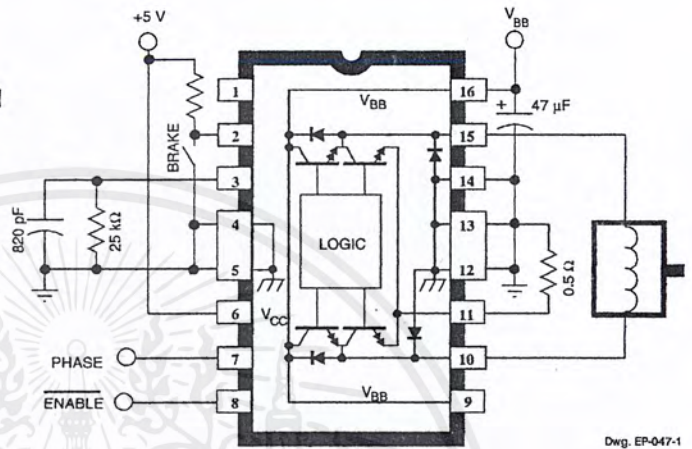
$$I_{LOAD} = V_{REF} / (10 \cdot R_s).$$

CAUTION: When the direction of the motor is changed abruptly, the kinetic energy stored in the motor and load inertia will be converted into current that charges the V_{BB} supply bulk capacitance (power supply output and decoupling capacitance). Care must be taken to ensure the capacitance is sufficient to absorb the energy without exceeding the voltage rating of any devices connected to the motor supply.

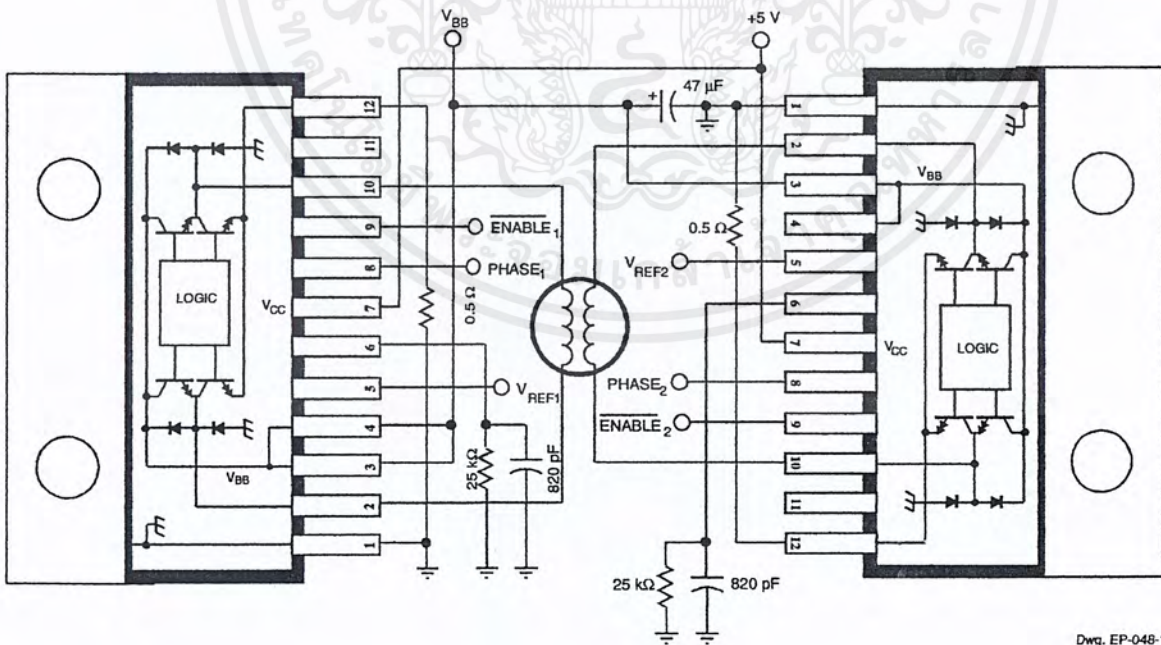
See also, the section on brake operation under "Functional Description", above.

Stepper Motor Applications

The A3951SB and A3951SW may be used for bidirectional control of bipolar stepper motors with continuous output currents to 2 A and peak start-up currents as high as 3.5 A.



Typical DC Servo Motor Application



Typical Bipolar Stepper Motor Application